

GM 59102

RESULTATS DE LA CAMPAGNE DE FORAGE 2000, PROPRIETES BEVCON ET SLEEPY LAKE, PROJET NO.
00311 / 00316

Documents complémentaires

Additional Files



Licence



License

Cette première page a été ajoutée
au document et ne fait pas partie du
rapport tel que soumis par les auteurs.

Énergie et Ressources
naturelles

Québec 



**RÉSULTATS DE LA CAMPAGNE DE FORAGE 2000
PROPRIÉTÉS BEVCON ET SLEEPY LAKE
Projet No. 00311/00316
Canton Louvicourt
NTS 32C/03**

Ressources Naturelles
Canada Inc.

28 NOV. 2000

Bureau Régional Val-d'Or

Janvier 2001

311-316-ML00.doc

Martin Lapointe

SOMMAIRE

Ce rapport est le compte rendu d'un sondage effectué sur les propriétés Bevcon et Sleepy Lake à l'été 2000.

Celles-ci sont localisées dans la région immédiate de Val-d'Or. Les roches sous-jacentes appartiennent à la Formation de Val-d'Or, hôte des principaux indices et gisements de sulfures massifs de la région. Les lithologies présentes sont constituées de roches volcanoclastiques/pyroclastites intermédiaires à felsiques variant de tuf fin à tuf à lapilli polygéniques, intercalées de coulées massives à fragmentaires intermédiaires à felsiques et d'intrusifs dioritiques. La propriété Bevcon inclut la majorité du pluton de Bevcon ainsi que son contact est et ouest avec les roches volcaniques de la Formation de Val-d'Or.

L'objectif premier des travaux d'exploration de l'année 2000 visait à tester l'extension est, en profondeur, du gîte d'Abitibi Copper (zone à filonnets de quartz et chalcopyrite, 1.3 Mt @ 0.76 % Cu) dans un contexte structural et géochimique favorable. Quelques anomalies géophysiques étaient aussi présentes dans la région investiguée. Le sondage testait également l'intersection entre une structure synvolcanique interprétée et une zone stratiforme d'altération en pyrophyllite.

Afin d'atteindre cet objectif, un sondage totalisant 1,538.1 mètres a été effectué sur le secteur extrême ouest de la propriété Bevcon ainsi que sur le secteur ouest de la propriété Sleepy Lake.

Le sondage n'a révélé aucune valeur significative; il a, par contre, permis de préciser la stratigraphie et d'améliorer les connaissances géologiques dans un secteur peu exploré. Le levé de Pulse-EM effectué dans le sondage n'a détecté aucun conducteur significatif.

TABLE DES MATIÈRES

	<u>Page</u>
SOMMAIRE	i
1.0 INTRODUCTION	1
2.0 LOCALISATION, DESCRIPTION DES PROPRIÉTÉS ET ACCÈS.....	1
3.0 TRAVAUX EFFECTUÉS	1
4.0 TRAVAUX ANTÉRIEURS	3
5.0 GÉOLOGIE RÉGIONALE.....	4
6.0 GÉOLOGIE DE LA PROPRIÉTÉ.....	9
6.1 Lithologies	9
7.0 GÉOLOGIE ÉCONOMIQUE.....	12
8.0 RÉSULTATS DE LA CAMPAGNE DE FORAGE.....	13
9.0 CONCLUSIONS ET RECOMMANDATIONS.....	16
RÉFÉRENCES.....	17

LISTE DES ANNEXES

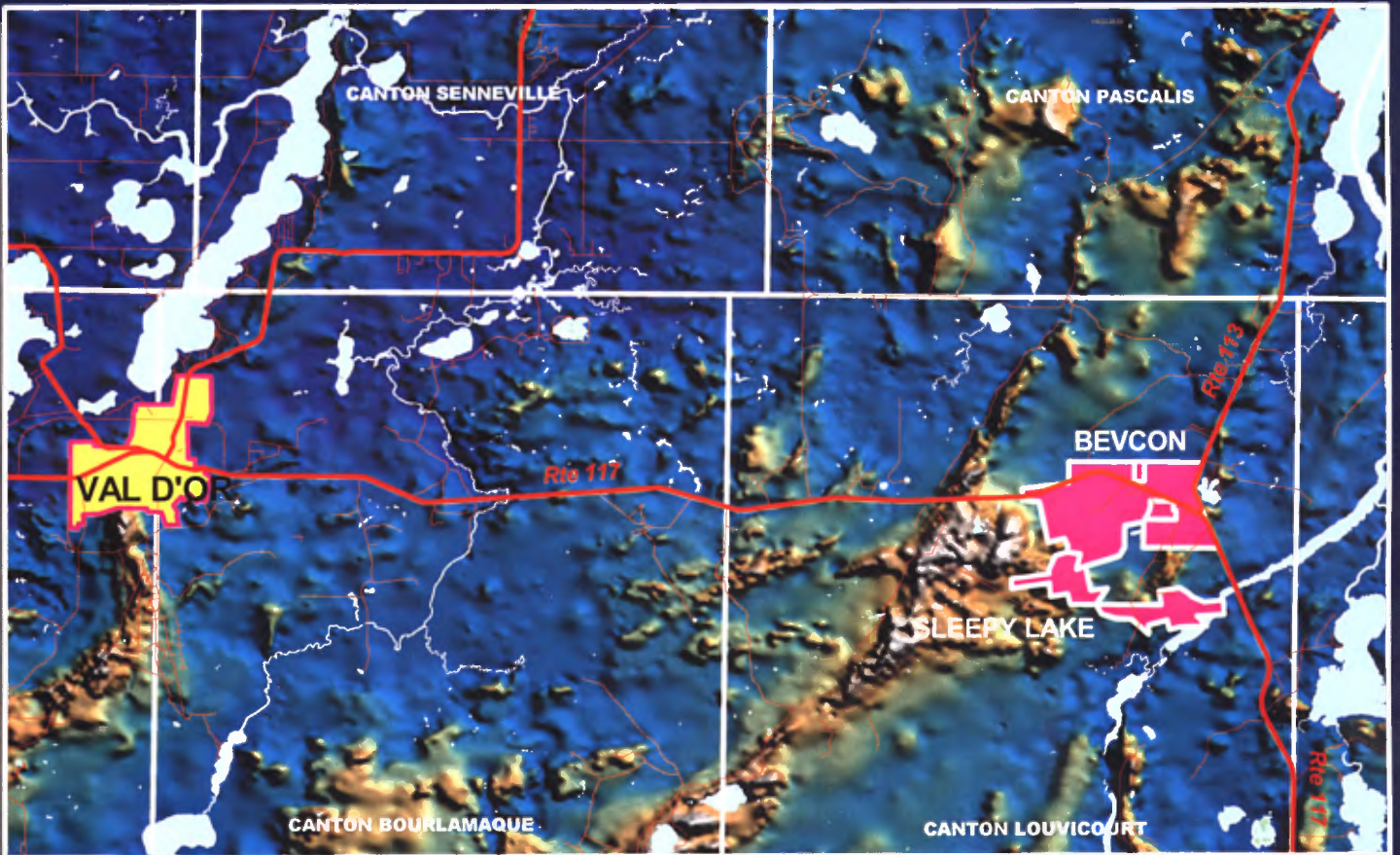
- Annexe I. Carte et liste de claims des propriétés
- Annexe II. Légende géoscientifique
- Annexe III. Journaux de sondage
- Annexe IV. Rapports d'analyse

LISTE DES FIGURES

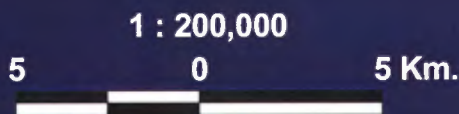
Figure 1: Topographie et localisation	2
Figure 2: Géologie de l'Abitibi.....	5
Figure 3: Géologie région de Val-d'Or.....	7
Figure 4. Géologie des propriétés	10
Figure 5. Gradient vertical	14
Figure 6. Section du sondage 311-29.....	15

LISTE DE PLANS

Carte 1. Localisation des forages.....	1 : 5 000
Carte 2. Géologie de surface.....	1 : 5 000
Carte 3. Section du sondage 311-29	1 : 2 500



CAD:101COMP\GIS\LOCATION_APR 2000\08\15 MB. J-ST-L



BEVCON / SLEEPY LAKE
Topographie & localisation

Figure 1

La carotte de forage est entreposée au bureau d'exploration des Ressources Aur à Val-d'Or et les journaux de sondage sont en annexe. Les zones cisailées, les zones de veines et veinules ainsi que les zones minéralisées ont été sciées et analysées pour l'or, le cuivre, le zinc et l'argent au laboratoire Chimitec Bondar Clegg de Val-d'Or. Certaines analyses ont été vérifiées au laboratoire Techni-Lab de St-Germaine de Boulé. Des échantillons typiques d'environ 30 cm de l'altération et des lithologies ont été prélevés et analysés pour les oxydes majeurs et éléments traces au même laboratoire mentionné ci-haut.

Un levé PEM a été effectué dans le sondage. Le levé a été réalisé avec un système Crone de type Pulse-EM comprenant un émetteur de 4,0 KW et un récepteur de type digital de 20 canaux. La planification et l'interprétation du levé ont été effectuées par Pierre Boileau, ingénieur géophysicien, tandis que la réalisation technique du levé a été assurée par Géophysique TMC. Les boucles émettrices ont été planifiées de façon à obtenir un couplage maximal avec des conducteurs sub-verticaux. Le profile de Pulse-EM est présenté en annexe.

4.0 TRAVAUX ANTÉRIEURS

PROPRIÉTÉ BEVCON

1931-88 Plusieurs compagnies

Levés géophysiques, prospection, tranchées, forage : 290 sondages, 59,682.0 mètres.

1945-65 Bevcon – Buffadison Mines

Développement et production : 3.2 Mt @ 4.6 g/t Au, 407,000 onces.

Les Ressources Aur Inc. :

1989 Option par Les Ressources Aur Inc.

Compilation, cartographie, lithogéochimie.

1990 Forage : 14 sondages, 4,192.0 mètres. PEM en forage, 8.4 km de PP, évaluation et compilation des gîtes aurifères.

1991 Décapage mécanique, cartographie, échantillonnage. Forage : 11 sondages, 2,890.0 mètres.

1992-93 Inactif.

1994 Forage : 1 sondage, 137.0 mètres.

1995-97 Inactif.

1998-99 Compilation, redescription d'anciens sondages, étude de l'indice minéralisé du Lac Surprise.

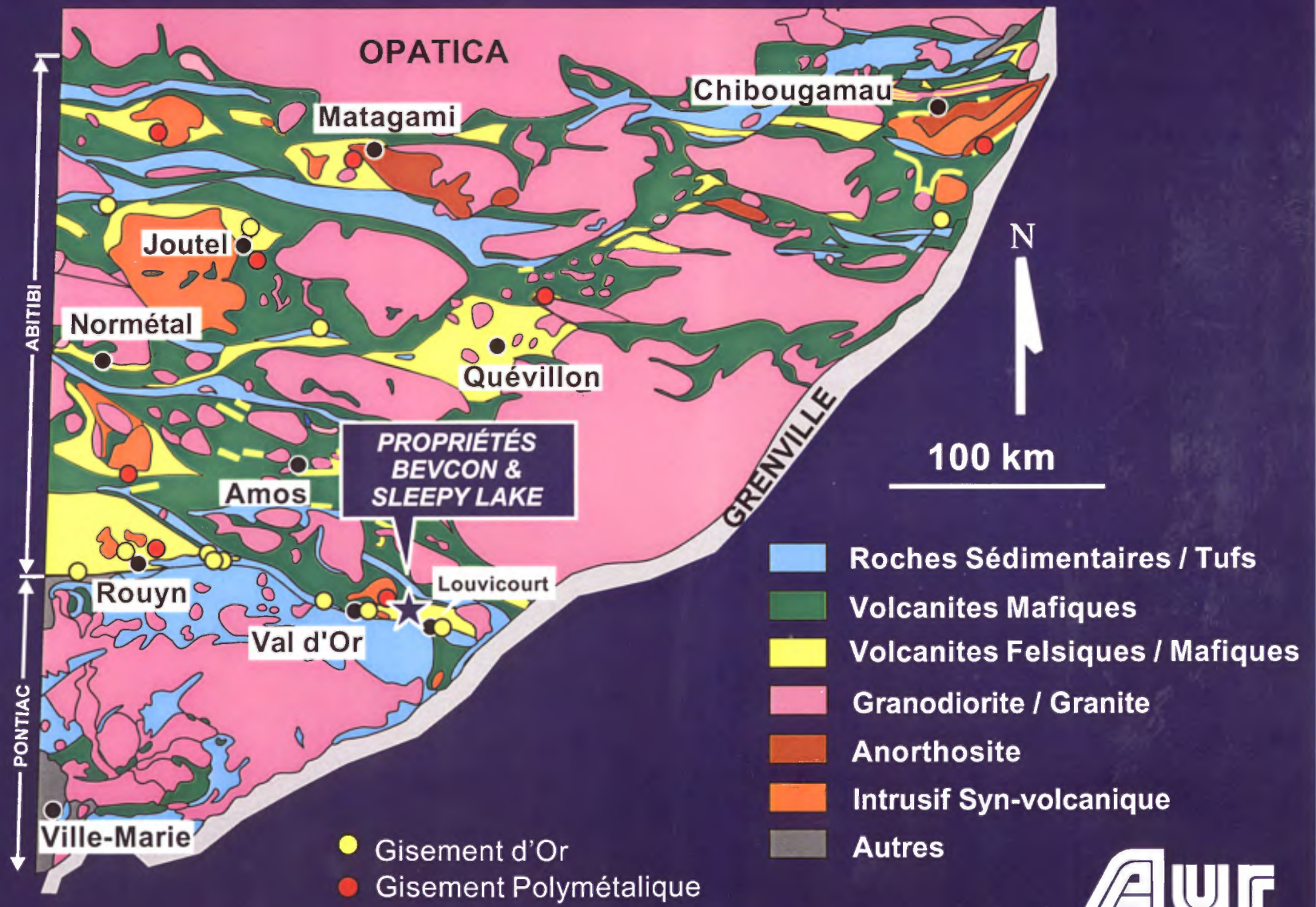
PROPRIÉTÉ SLEEPY LAKE

- 1924-33 - Charles Hughes, Teck-Hughes, Vicour G.M.**
Découverte d'indices d'or, jalonnement, décapage, tranchées, forage : 21 sondages, 1,873.0 mètres.
- 1935-67 - Anglo-Huronian, Vicour (Quebec) Mines, Quebec Gold Belt Mines**
Divers travaux effectués sur le gisement Sigma-2 (adjacent aux présents claims de Aur).
- 1968-71 McIntyre Porcupine Mines Ltd.**
Lignes, tranchées, dynamitage, géophysique (Mag, P.P., VLF, Turam, MaxMin), forage : 28 sondages, AQ, 4,107.9 mètres, secteur est, échantillonnage en vrac de 1 tc de minerai.
- 1977-91 Les Mines Sigma (Québec) Ltée**
Mag au sol, 144 sondages AQ, forage : 16,026.8 mètres sur Sigma-2, 7 sondages sur claims actuels de Aur.
- 1991-98 Placer Dome Inc.**
Compilation géologique, géophysique, cartographie de surface, levés Maxmin et P.P., décapage (2 aires 900 m²), forage : 12 sondages, 6,047.1 mètres.
- 1999 Les Ressources Aur Inc.**
Compilation, révision et ré-échantillonnage de plusieurs anciens sondages.

5.0 GÉOLOGIE RÉGIONALE

Le district minier de Val-d'Or est situé dans la portion sud-est de la sous-province de roches vertes de l'Abitibi dans la province du Supérieur. L'Abitibi comprend une alternance de ceintures volcano-plutoniques et sédimentaires bordées par des couloirs de déformation d'envergure régionale (figure 2). Les unités volcaniques ont été datées de 2750 à 2698 Ma. L'ensemble se divise en deux zones volcaniques, soit la Zone Volcanique Nord (ZVN) et la Zone Volcanique Sud (ZVS). Les deux zones sont séparées par la faille Destor-Porcupine-Manneville (DPM), laquelle est interprétée comme zone de collision entre deux arcs océaniques (Chown et al., 1992; Meuller et al., 1996). La ZVS est un terrain constitué d'assemblages volcaniques komatiitiques-tholéitiques ~ 2720-2707 Ma et d'assemblages volcaniques de type arc-bassins d'arrière arc associés aux zones de subduction (Wyman, 1999). Des évidences pour une période d'interaction plume mantélique-arc dans la ZVS sont présentement à l'étude. La région de Val-d'Or se situe dans le bloc de Malartic à l'extrémité est de la ZVS. Les unités volcaniques du bloc de Malartic sont juxtaposées au sud avec des sédiments turbiditiques de la sous-province du Pontiac le long de la zone tectonique de Cadillac (ZTC). La ZTC est interprétée comme deuxième zone d'accrétion (Feng et al., 1992).

GÉOLOGIE DE L'ABITIBI



Source : S. Lacroix - MRN



Figure 2

F:\CAD\100ABITIBASE\ABIT-LOC.CDR 2000/08/15 M.B.

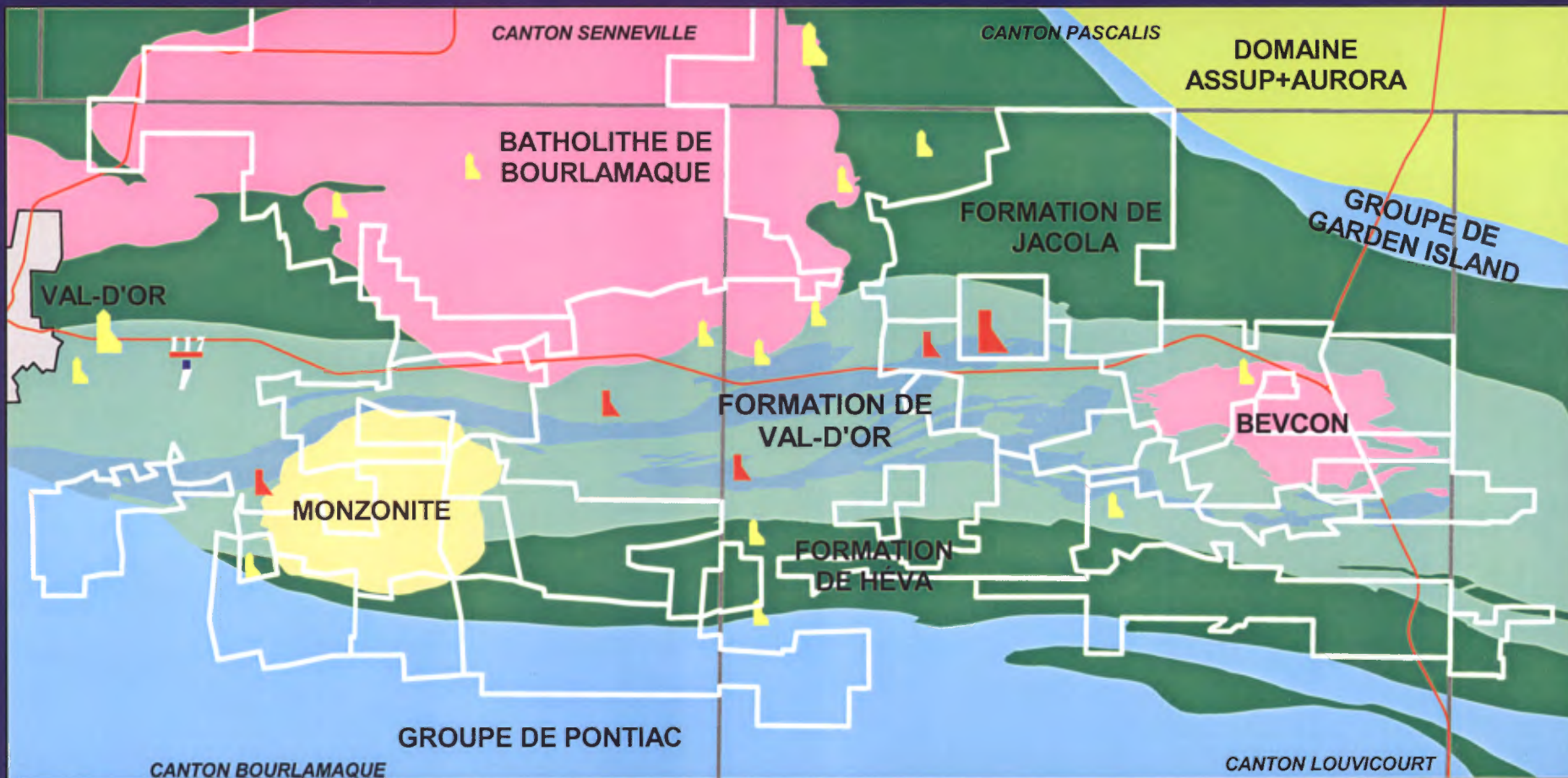
À l'échelle mondiale, l'Abitibi est une ceinture de roches vertes archéennes parmi les plus productives en Cu, Zn, Au et Ag. Une grande partie des ressources en or et de métaux usuels provient de la ZVS. La production et les réserves minières pour ce segment totalisent 168 Moz d'or, 7 Mt de cuivre, et 12 Mt de zinc (compilation interne de Aur, 1998). D'importants camps miniers aurifères se trouvent dans la ZVS, le long de la ZTC et DPM particulièrement dans les zones d'extension marquées par des flexures le long des zones tectoniques. Les gisements de sulfures massifs volcanogènes dans la ZVS au Québec se trouvent dans les complexes volcaniques (2706-2698 Ma) tholéiitiques-calc-alcalins, mafiques à felsiques au cœur desquels se trouvent de larges intrusifs synvolcaniques.

La géologie de la région de Val-d'Or a antérieurement été définie par Latulippe (1976), Imreh (1984) et Rocheleau et al. (1987). De récents travaux par le MRN (MB98-01, MB98-05 et DV 99-03) ainsi que par Ressources Aur ont mené à une meilleure division de la stratigraphie locale. Le bloc de Malartic est subdivisé en deux groupes, soit : le groupe de Malartic inférieur et le groupe du Louvicourt supérieur (figure 3).

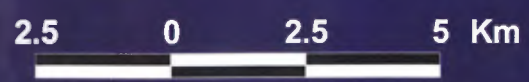
Le groupe de Malartic est constitué de laves komatiitiques-tholéiitiques. Il est divisé en trois formations, soit : La Motte-Vassan, Dubuisson, Jacola. Quelques domaines lithotectoniques (Nord, Central, Vassan et de Montigny), possiblement le résultat d'un collage de blocs distincts, ont été établis (Desrochers et Hubert, 1996).

Le groupe de Louvicourt représente un complexe de type arc. Ce groupe atteint une épaisseur de 7.5 kilomètres dont les unités sont est-ouest à pendage abrupt avec polarité sud. Récemment, la détermination des âges par le MRN suggère que l'arc volcanique ait été construit en 5 Ma entre 2706±1 et 2702±1 Ma. Le groupe se subdivise en deux formations, soit : le Val d'Or (3.5 – 5.5 km) et le Héva (1.5 – 2 km).

Deux cycles volcaniques ont été reconnus dans la formation Val-d'Or. Le Cycle 1 comprend une séquence de laves basaltiques-andésitiques et de volcanoclastiques, communément appelée andésite de l'éponte inférieure. Ces roches sont surmontées d'une séquence chaotique de tufs intermédiaires à felsiques, calc-alcalins, monogéniques à polygéniques et parfois lités. Cette séquence volcano-sédimentaire (vseds) varie de 1 à 3 kilomètres en épaisseur. Une transition graduelle de basalte tholéitique à andésite transitionnelle est reconnue au bas du cycle. La séquence tuf / sédiment a été définie antérieurement par Sharpe (1968) comme la « Central Pyroclastic Belt ». Elle est communément appelée « vsed ». Les faciès volcaniques observés suggèrent un environnement de mise en place subaérien. Des coulées de dacite, rhyodacite et rhyolite ainsi que des brèches de coulées se trouvent à la base et à plusieurs niveaux de la séquence volcano-sédimentaire. Le Cycle 2, plus au sud, comprend des basaltes, andésites et volcanoclastiques tholéiitiques à transitionnels. Le MRN regroupe ces roches avec l'ensemble de la formation de Héva. Elles sont géochimiquement similaires aux roches de l'éponte inférieure du Cycle 1 et distinctes des coulées du Héva au sud.



B135GEOS.APR.2001/01/20 J-ST-L



**RÉGION DE VAL-D'OR
GÉOLOGIE**

Figure 3

La formation de Héva comprend des basaltes ferrifères tholéitiques avec des filons-couches comagmatiques différenciés. Les unités mafiques sont intercalées avec de minces unités pyroclastiques intermédiaires à felsiques et des horizons de cherts et sédiments volcanoclastiques lités. Ces dernières sont plus abondantes au sud près de la limite Nord de la Zone Tectonique de Cadillac (ZTC). Un repère distinct, reconnu sur 30 km, constitué de laves sphérulitiques dacitiques à rhyodacitiques gris foncé et magnétiques, se trouve à la base de la formation. Ces coulées felsiques sont d'affinité tholéitique à l'est mais montrent des affinités contrastantes vers l'ouest où elles sont intercalées avec des tufs felsiques fins, à lapilli et à blocs, composés de fragments similaires aux coulées. Des unités volcaniques et sédimentaires assignées au groupe de Cadillac / Trivio et Piché sont structurellement imbriquées à la formation Héva et se retrouvent à la limite sud du bloc de Malartic.

Trois grandes intrusions font partie de la stratigraphie locale : 1) le batholite de Bourlamaque (Campiglio, 1977), un intrusif synvolcanique (2700 ± 1 Ma) quartz-dioritique d'affinité transitionnelle et interprété comme source du volcanisme de la formation Val-d'Or; 2) le pluton du Bevecon, similaire au Bourlamaque, plus différencié, tonalitique et d'affinité transitionnelle se serait introduit plus haut dans la stratigraphie; et 3) le stock de East Sullivan, un intrusif post-cinématique (2684 ± 1 Ma) monzonitique et alcalin (Taner, 1996). Il y a aussi dans la région, de nombreux intrusifs granodioritiques à tonalitiques alcalins, des filons-couches subconcordants à discordants d'origine subvolcanique à post-cinématique ainsi qu'une suite de dykes à porphyre de quartz / feldspaths pré- à tardi-tectonique.

La formation Val-d'Or a été affectée par deux phases de déformation régionale. L'événement principal, D2, est caractérisé par une schistosité (S2) pénétrative est-ouest à pendage abrupt au nord et par des zones de cisaillement montrant des patrons anastomosants (Desrochers et Hubert, 1996). Des plis est-ouest F2 à plongée variable sont reconnus dans la formation Val-d'Or ce qui produit localement des renversements de polarité. L'événement tardif D3 est mis en évidence par un ensemble de failles cassantes NNO et NE. Le grade de métamorphisme dans le bloc de Malartic atteint le faciès des schistes vert moyen. Le grade métamorphique régional augmente au sud pour atteindre le faciès schiste vert supérieur près de la ZTC et le faciès amphibolite plus au sud (Imreh, 1984).

Le camp minier de Val d'Or est un producteur d'or significatif avec plus de 15.6 Moz issues de 26 mines. La majorité de la production aurifère, plus de 9 Moz, provient du système Sigma-Lamaque. La minéralisation aurifère se retrouve dans les systèmes mésothermaux de veines (stockwork) de cisaillement / tension qui traversent diverses lithologies. À l'exception des dépôts du batholite de Bourlamaque, les systèmes aurifères sont souvent associés aux petits intrusifs et dykes à porphyres de quartz-feldspath d'âge 2694 ± 2 à 2680 ± 4 Ma. Le Cycle 1 de la formation Val d'Or est l'hôte de tous les gisements de sulfures massifs volcanogènes du camp. Ceci inclus les anciens producteurs tel : East Sullivan (16.5 Mt @ 1.02 % Cu, 0.69 % Zn et 10.46 g/t Ag) et Manitou-Barvue (3.6 Mt @ 0.98 % Cu + 7.6 Mt @ 4.52 % Zn, 124.47 g/t Ag et 1.13 g/t Au) et l'actuelle

mine Louvicourt (14.8 Mt @ 3.6 % Cu, 1.7 % Zn, 28 g/t Ag et 0.8 g/t Au). Les zones d'altération pérallumineuses associées aux systèmes minéralisés volcanogènes du camp de Val d'Or sont extensives et typiquement constituées de séricite-chlorite noire.

6.0 GÉOLOGIE DES PROPRIÉTÉS

La propriété Sleepy Lake Ouest se situe dans la partie sud-est de la Formation de Val-d'Or. De façon simplifiée, elle est bordée au nord par l'intrusif de Bevcon et au sud par le filon-couche différencié de Vicour (figure 4). Le cœur de la propriété contient un ensemble stratigraphique distinct de celui défini dans la région de la mine Louvicourt. Les roches qui constituent cet ensemble sont généralement magnétiques et sont caractérisées par un pourcentage élevé en titane (0.9-1.3% TiO₂). On y retrouve une abondance de laves massives à fragmentaires et localement de pyroclastite d'affinité calco-alkaline et de composition dacitique à andésitique. L'ensemble est localement intercalé avec des unités de composition andésitique transitionnelle (stratigraphie de Louvicourt) contenant des faciès massifs à fragmentaires ainsi que des pyroclastites. La séquence riche en titane est surmontée au nord par des laves andésitiques et des pyroclastites (stratigraphie de Louvicourt). Au sud, elle est bordée par une séquence de tuf hétérogène fortement carbonatisé de composition et d'affinité variables (tholéiitique à transitionnelle à parfois calco-alkaline).

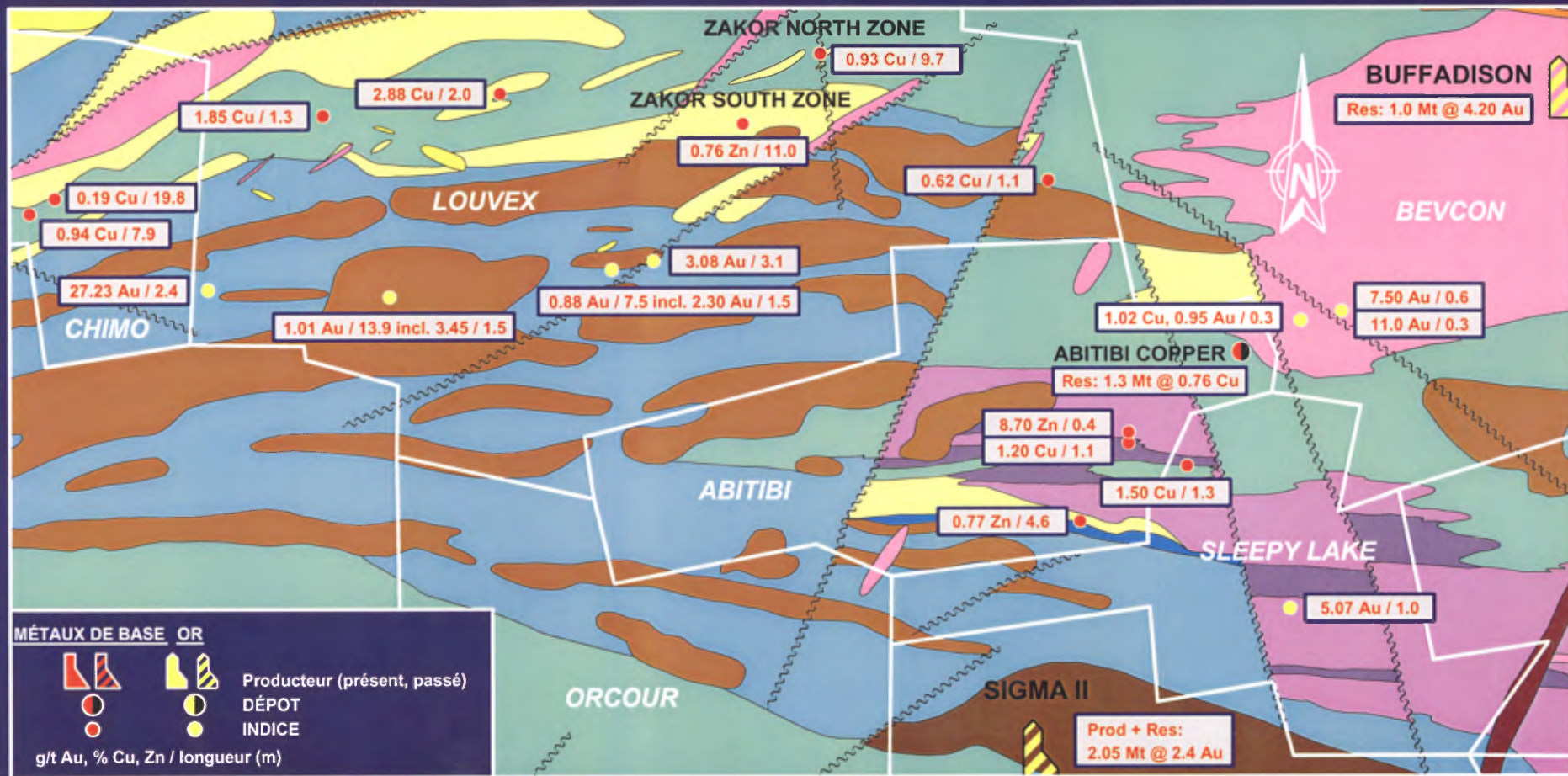
La propriété Bevcon englobe la partie nord du pluton de Bevcon et son contact avec la séquence andésitique (stratigraphie de Louvicourt).

Une structure synvolcanique majeure est présente sur les propriétés; elle a été interprétée en se basant sur la présence de discontinuités géologiques, géophysiques et géochimiques. Cette dernière est d'orientation NNO et traverse les propriétés Sleepy Lake et Abitibi (propriétés adjacentes vers l'ouest). Elle est spatialement associée au gîte d'Abitibi Copper et limite un corridor d'altération hydrothermale.

6.1 Lithologies :

Séquence pyroclastique andésitique :

Cette séquence est de teinte verdâtre moyen à foncé, hétérogène et présente des variations graduelles de faciès, i.e. passe de tuf fin, à grossier, à lapilli, et localement à blocs polygéniques. On note localement jusqu'à 15 % de phénocristaux de plagioclase idiomorphes, carbonatisés, épidotisés ainsi que du litage grossier local. Les fragments polygéniques sont peu triés, sub-anguleux à sub-arrondis, localement flous (plages carbonatisées) et en proportion de moins de 30 %. L'altération variable en carbonate, épidote, séricite et chlorite s'intensifie vers le contact avec les volcanites fragmentaires autoclastiques. La foliation est légère, avec cisaillements locaux (boue de faille). Ceux-ci incluent des veines et veinules de quartz avec trace à 1 % de chalcopryrite (pyrite). Cette séquence est localement intercalée d'intrusifs ou coulées massives andésitiques, riches en titane et d'amplitude métrique.



- VOLCANITES**
- Pyroclastites / Vseds
 - Mudstones
 - Rhyolite
 - Rhyodacite, Dacite
 - Andésite

- INTRUSIFS**
- Pyroclastite titanifère
 - Coulée int. titanifère

- INTRUSIFS**
- Tonalite, Granodiorite
 - Diorite
 - Diabase

- Gabbro
- Porphyre

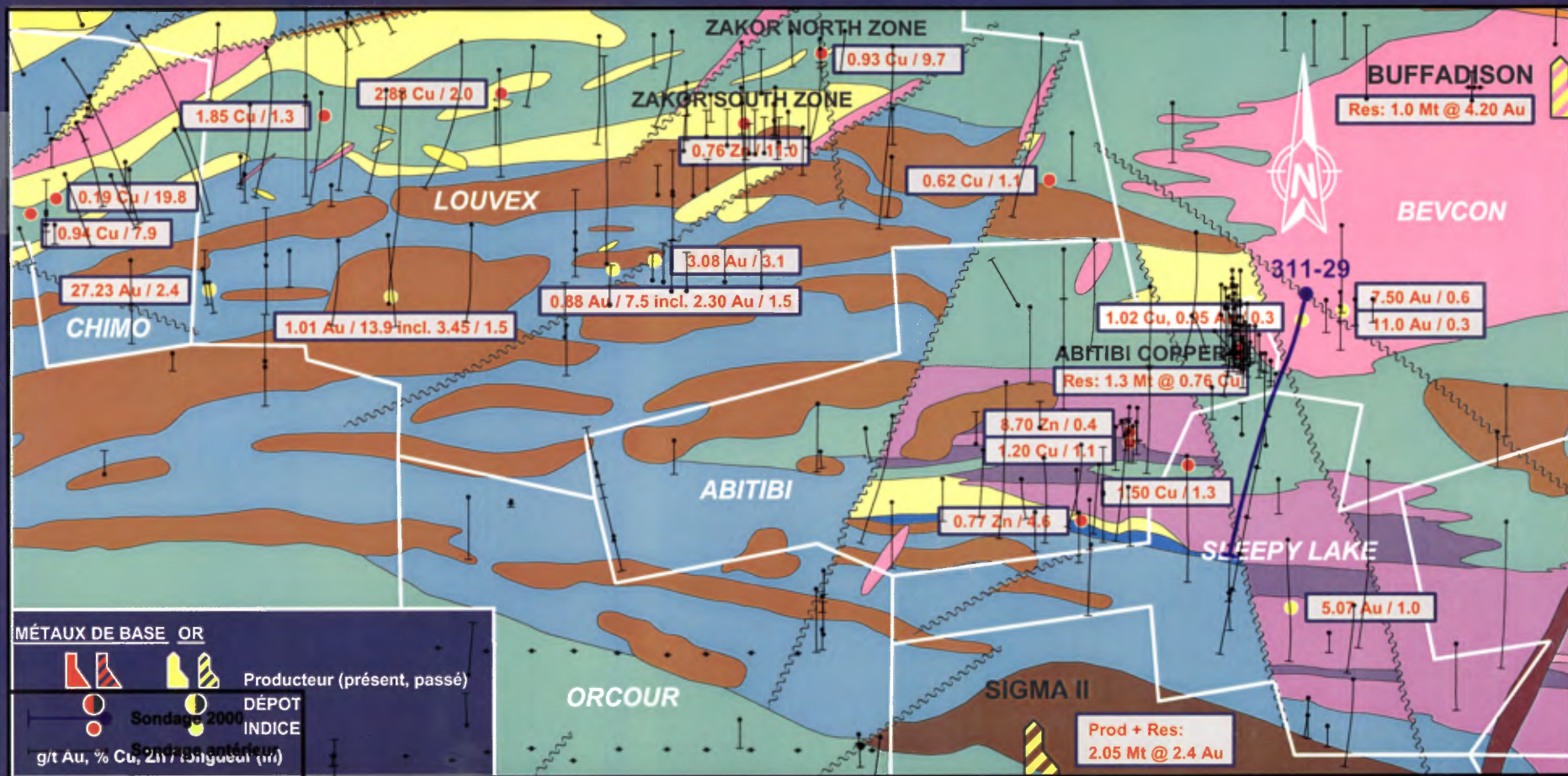


BEVCON / SLEEPY LAKE

GÉOLOGIE

Figure 4

BA25 DWG 2001/01/15 J.S.T.-L.



BEVCON / SLEEPY LAKE
GÉOLOGIE

Figure 4

BASE.DWG 2000.01.15 J.S.T.L.

Séquence massive à fragmentaire, de composition andésitique à dacitique, riche en titane:

Caractérisée par une alternance de passées massives (10 à 30 m), dont l'un des contacts est généralement net et l'autre graduel, et de passées fragmentaires monomictes à polygéniques (20 à 60 m). Les coulées massives à amygdulaires sont gris moyen à foncé, à beige, aphanitiques à finement grenues, très homogènes, massives à localement légèrement foliées et microfracturées avec remplissage de chlorite, séricite et / ou carbonate. On y observe 1 à 3 % de pyrite finement disséminée, associée à la chlorite en fractures, et des traces de chalcopyrite dans les amygdules.

Les volcanites fragmentaires sont de trois types, soit :

- 1) Monomictite autoclastique : fragments de même composition que la matrice, d'aspect plus siliceux, avec bandes hyaloclastiques locales.
- 2) Polymictite autoclastique : d'aspect polygénique, ces roches contiennent 5 à 35 % de fragments sub-anguleux à sub-arrondis, de 1 mm à 15 cm, non triés, de teinte et texture différentes mais de même composition. Les différents types de fragments sont : 1) beige à gris clair, aphanitiques, siliceux, séricitisés, 2) amygdulaires à finement porphyriques, 3) blanc cassé, aphanitiques et cherteux. La matrice à grain fin, de teinte plus foncée, représente 65 à 95 % de la roche.
- 3) Polymictite pyroclastique : se distingue des autoclastites par une proportion plus faible de fragments (<15 %), de plus petite dimension (de 1 mm à 4 cm), légèrement mieux triés, plus anguleux et de composition variée. Les différents types de fragments sont : 1) gris moyen, siliceux, 2) beiges, mous, séricitisés, 3) blanc cassé, aphanitiques à grenus, 4) translucides, cherteux, 5) noirs anguleux, 6) rares mudstones pyriteux, et finalement 7) plages blanchâtres irrégulières (ankéritisés?). La matrice, fine à grossière, est localement gréseuse avec grains de quartz. La pyrite en trace ainsi que des mouchetures de magnétite (<5 %, 1 à 2 mm) sont reconnues.

Cet ensemble stratigraphique est l'hôte d'une altération hydrothermale intense (pyrophyllite - chlorite - chloritoïde) qui prend naissance à l'est sur la propriété Courageous. Cette altération prend la forme d'un corridor orienté plus ou moins E-O, limité à l'est (propriété Courageous) par une brisure magnétique N-S et à l'ouest (propriété Sleepy Lake) par une structure NNO.

L'altération est caractérisée par la présence de mouchetures de chloritoïdes, de filonnets de pyrophyllite et/ou séricite ainsi que par des mouchetures locales de talc. De rares veines de quartz avec kyanite ont aussi été observées. La chloritisation, difficile à quantifier visuellement, se présente en remplissage de fractures et en taches informes. La séricitisation est sous forme de filonnets et associée à des cisaillements locaux. Et finalement, l'ankéritisation se présente en fines mouchetures, en placage dans des fractures ou encore de façon pervasive donnant une teinte blanchâtre et un aspect grenu à la roche.

Séquence hétérogène de tuf carbonatisé

Cette séquence est principalement constituée de tuf à lapilli et à blocs avec des proportions moindres de tuf fin et grossier. Les niveaux polygéniques sont rares et l'ensemble réagit fortement au HCl (carbonatisation intense).

Filon-couche de Vicour :

Cet intrusif gabbroïque d'environ 300 mètres d'épaisseur par 7 km de longueur est différencié. Il est constitué de la base vers le sommet (du nord vers le sud) de gabbro, gabbro à hornblende, diorite quartzique, et de granophyre (tonalite). La phase gabbroïque présente de la titano-magnétite et des leucoxènes comme minéraux accessoires. La phase granophyrique est constituée à près de 70 % de SiO₂, résultant d'un enrichissement tardif. Toute la minéralisation exploitée à Sigma II (Prod. 1984-99 : 1.88 Mt à 2.67 g/t Au) se trouvait associée à cette phase qui, de par sa nature plus felsique, constitue la partie la plus cassante du filon-couche. L'or provenait d'un réseau complexe de veines et veinules de quartz, de leurs épontes, ainsi que de fractures minéralisées d'orientation diverses. Le système de veines s'étend dans les autres phases mais en densité insuffisante pour y être exploité en vrac.

Pluton de Bevcon :

Le Bevcon est une intrusion felsique constituée de tonalite, trondjemite et granodiorite équigranulaire. La portion est et sud du pluton est de composition dioritique. La phase tonalitique contient fréquemment des yeux de quartz.

Sa limite nord est hôte des anciens gîtes aurifères Mine Bevcon (Prod. 1951-65 : 3.17 Mt à 4.32 Au g/t, Ress. : 0.83 Mt à 4.1 g/t Au), et Buffadison (Ress. : 0.17 Mt à 15.7 g/t Au). Un groupe de dykes felsiques de 10 à 30 mètres d'épaisseur, porphyriques à gros cristaux de plagioclases, forme la limite sud du secteur exploité.

Cette intrusion est aussi hôte d'une zone d'altération en alumino-silicate (dumortiérite) spatialement associée avec une minéralisation Au-Cu. La meilleure intersection recoupée dans ce secteur est de 2.05 % Cu / 10.7 mètres (311-08).

7.0 GÉOLOGIE ÉCONOMIQUE

De nombreux gîtes et indices minéralisés sont répertoriés dans ce secteur du canton Louvicourt.

L'intrusif de Bevcon est reconnu comme étant hôte des anciennes mines Bevcon (Prod. 1951-65 : 3.17 Mt à 4.32 Au g/t, Ress. : 0.83 Mt à 4.1 g/t Au), et Buffadison (Ress. : 0.17 Mt à 15.7 g/t Au), de même que de l'indice de cuivre et or du Lac Surprise.

Le filon-couche de Vicour, localisé à la limite sud des claims, est hôte de l'ancienne mine Sigma II (Prod. 1984-99 : 1.88 Mt à 2.67 g/t Au).

Dans les volcanites de la formation de Val-d'Or, on retrouve sur la propriété Abitibi (propriété immédiatement à l'ouest de la propriété Sleepy Lake), le gîte minéralisé Abitibi Copper (zone à filonnets de quartz, chalcopryrite et magnétite, 1.3 Mt @ 0.76 % Cu).

Un horizon de mudstone, situé au sud de la propriété Abitibi et qui se termine sur la structure NNO de la propriété Sleepy Lake, a retourné une valeur significative en zinc (0.77 Zn / 4.6 m).

8.0 RÉSULTATS DE LA CAMPAGNE DE FORAGE

Le sondage réalisé sur la propriété Bevcon et Sleepy Lake avait plusieurs cibles. Dans un premier temps, il vérifiait la continuité vers l'ouest des teneurs aurifères obtenues à l'est d'Abitibi Copper. Ensuite, il a testé l'extension est, en profondeur, du gîte Abitibi Copper à une profondeur verticale d'environ 450 à 500 mètres. Puis, le sondage a été poursuivi pour traverser une structure NNO qui limite l'extension ouest d'une intense et extensive zone d'altération hydrothermale (chlorite et pyrophyllite). Il est à noter que le secteur investigué par ce sondage était peu exploré (figures 4 et 5).

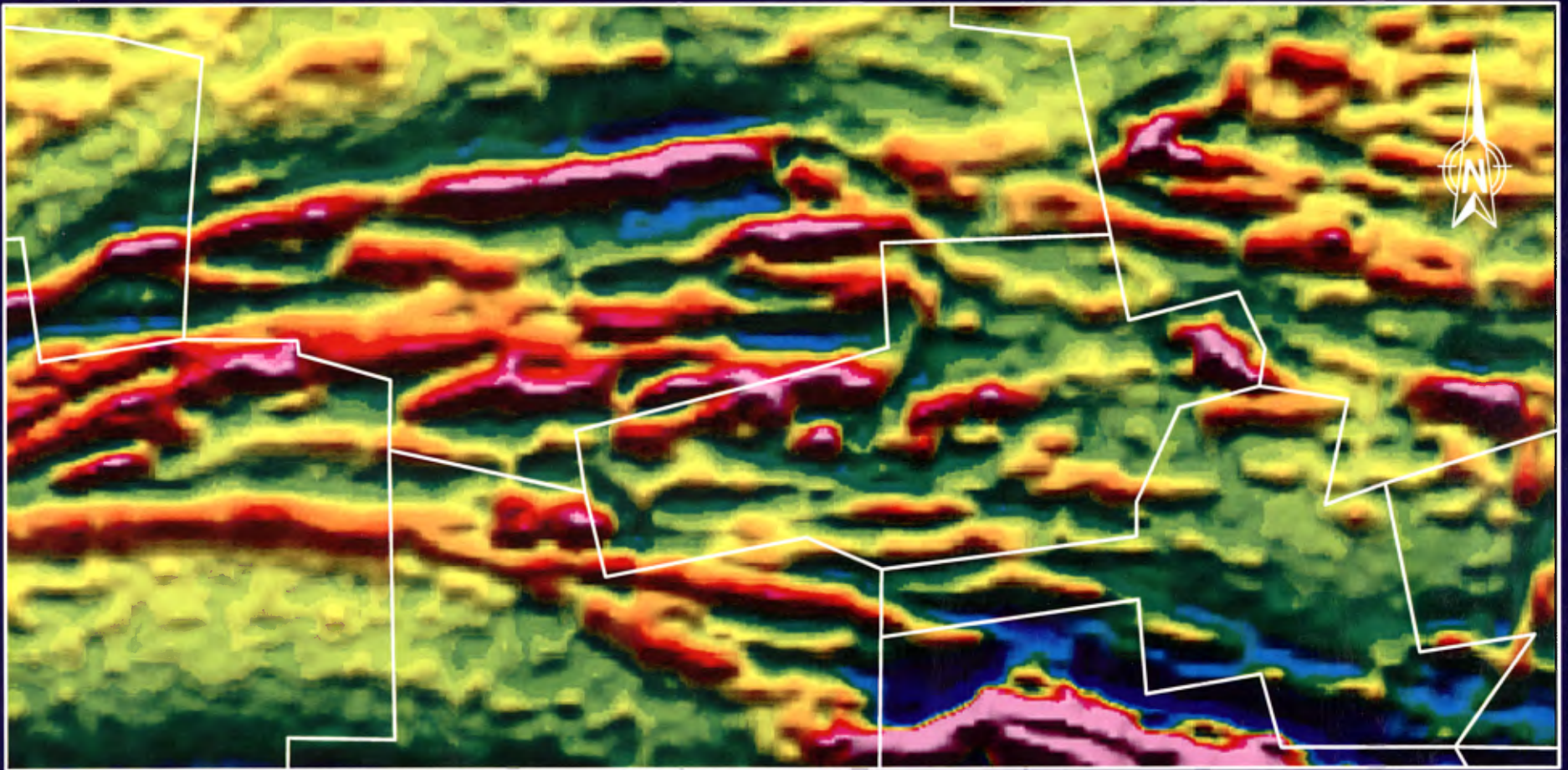
Les lignes qui vont suivre présentent une description sommaire des lithologies et des faits saillants rencontrés par ce sondage.

Le lecteur peut se référer à la figure 6 pour un aperçu des unités lithologiques traversées par ce sondage.

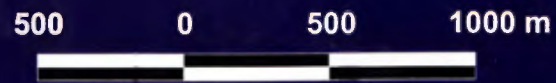
Sondage 311-29

Le sondage ancre dans un intrusif intermédiaire à porphyres de feldspath jusqu'à 93.0 mètres. Ce dernier est intercalé avec des sections métriques de coulées andésitiques (séquence de Louvicourt) hétérogènes. Une diorite titanifère magnétique a été intersectée de 93.0 à 115.0 mètres suivie par l'intrusif de Bevcon jusqu'à 552.0 mètres. La lithogéochimie indique une variation; la première partie est tonalitique tandis que le reste de l'unité, au sud, est dioritique. Le faciès dioritique est mégascopiquement similaire au batholithe de Bourlamaque. À 243.9 mètres, une veine de quartz-carbonate-pyrite-chalcopryrite a rapporté une valeur de 0.95 g/t Au, 1.02% Cu 0.24% Zn et 11.1 g/t Ag sur 0.3 mètre. De 115.0 à 134.0 mètres, le sondage a traversé une zone de veines et veinules irrégulières à quartz-carbonate avec une quantité négligeable de sulfures. Cette zone semble être l'équivalent vers l'ouest de la structure aurifère visée (7.5 g/t Au / 0.6 m, 11.0 g/t Au / 0.3 m), cependant aucune valeur significative n'a été analysée dans cet intervalle.

De 552.0 à 1,197.0 mètres, le sondage a traversé une séquence de roche andésitique de composition similaire à celle retrouvée à la mine Louvicourt (éponte inférieure). Les

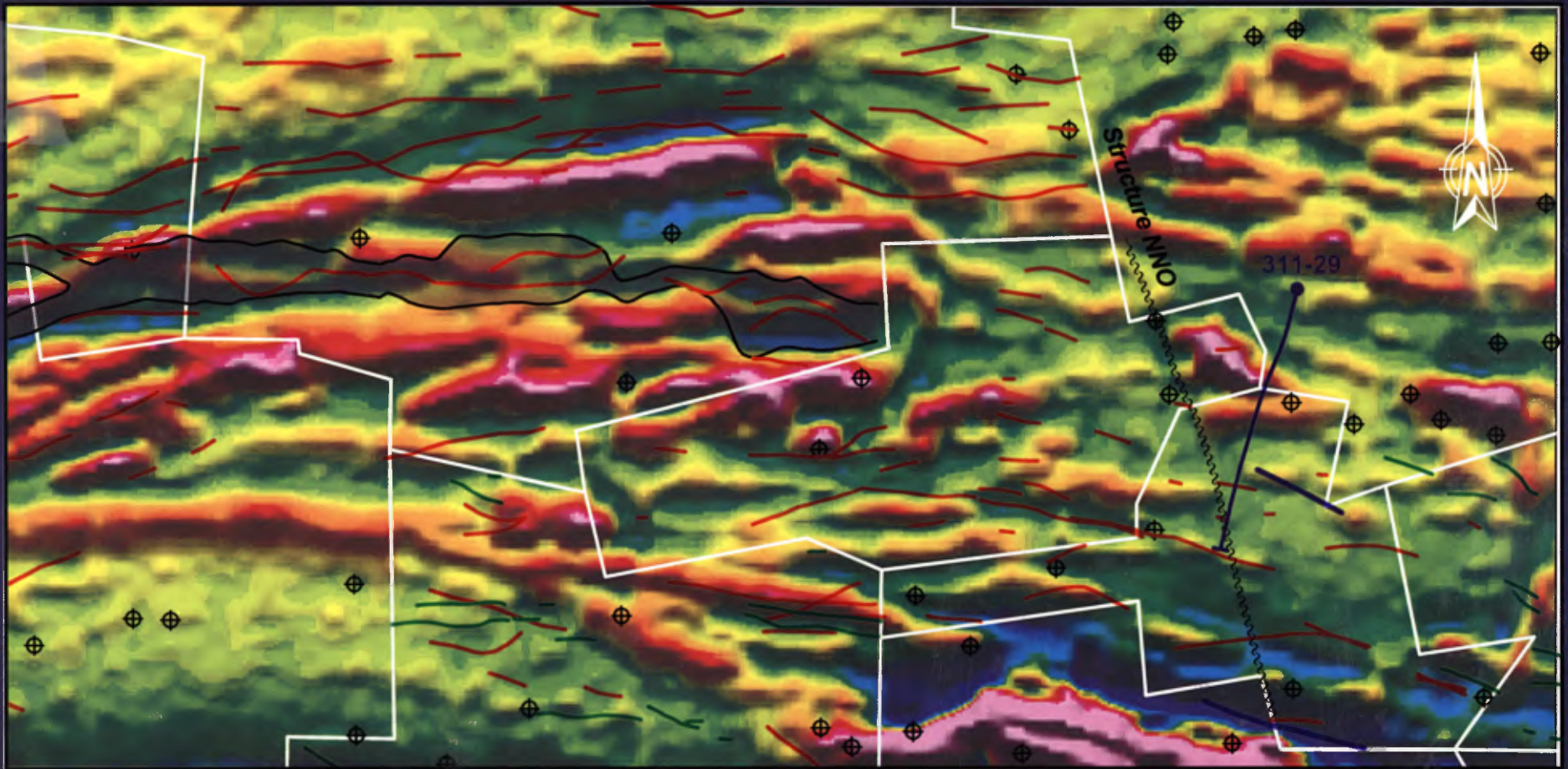


BA25.DWG 2001/01/15 JST-L



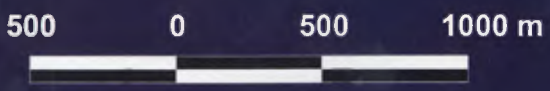
BEVCON / SLEEPY LAKE
GRADIENT VERTICAL

Figure 5



RÉVISIONS CORRIGÉES JST-L

- PP
- " EM, HEM "
- Gravimétrie
- ⊕ " Input "
- " VLF " (zone de basse résistivité)



BEVCON / SLEEPY LAKE
GRADIENT VERTICAL

Figure 5

Vue ouest - nord ouest (285° Az.)

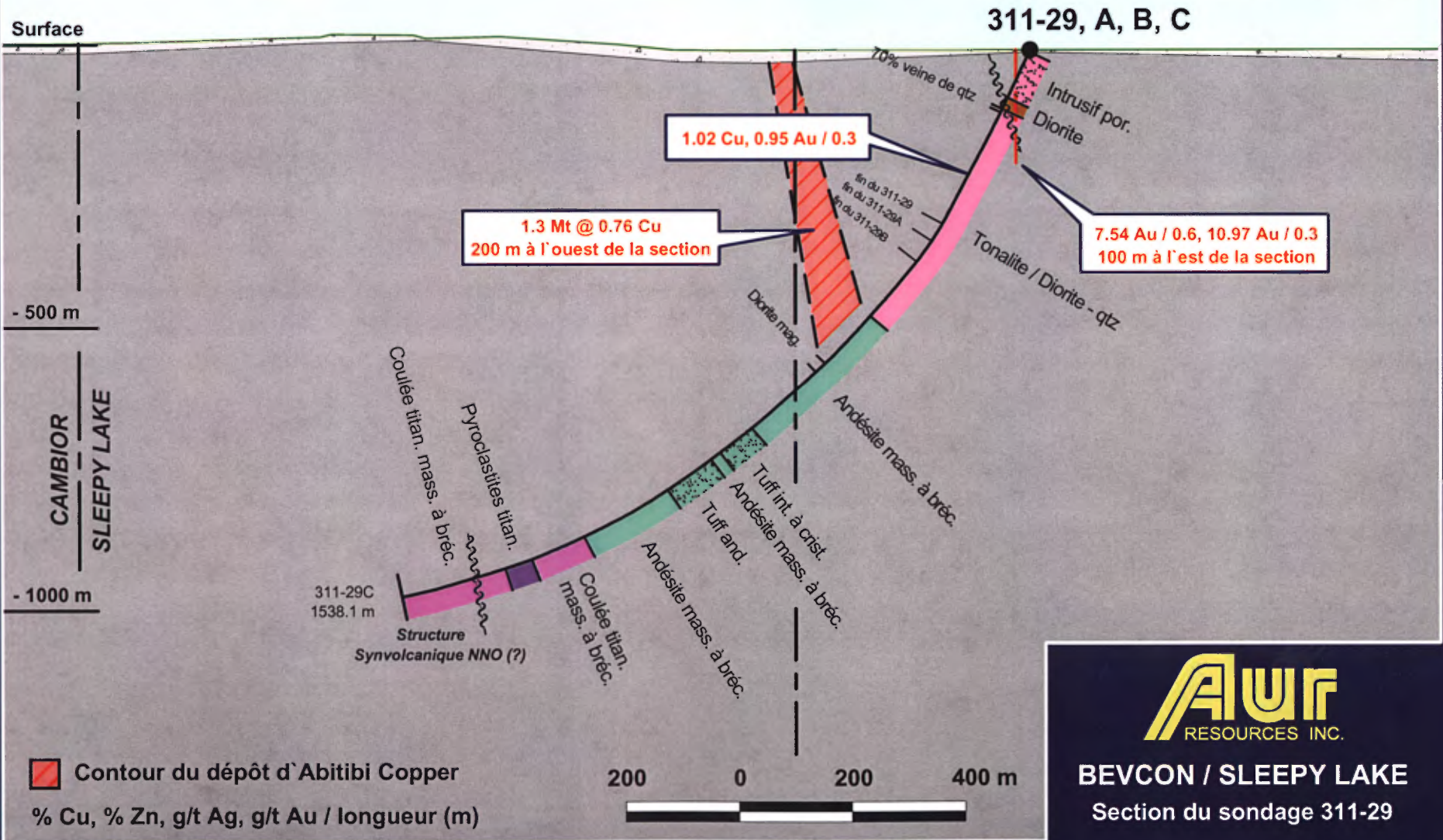


Figure 6

faciès comprenaient: des coulées fragmentaires à bréchiques massives ainsi que des pyroclastites. Des intrusifs titanifères, des dykes porphyriques ainsi que quelques niveaux de tufs à cristaux ont localement été intersectés à travers la séquence andésitique. Une coulée d'andésite altérée en chlorite a été intersectée de 552.0 à 610.0 mètres. Cette altération pourrait être l'extension, en profondeur, de l'auréole d'altération entourant le gîte d'Abitibi Copper. De 1,197.0 mètres jusqu'à la fin du sondage, 1,538.1 mètres, le sondage a traversé un ensemble riche en titane comprenant des coulées fragmentaires ainsi que des pyroclastites et localement des coulées massives à amygdalaires. Une mince zone de faille a été intersectée à 1,404.0 mètres. Cette dernière peut correspondre à la structure NNO ciblée. Aucune altération ou minéralisation n'est associée à cette structure.

Les levés PEM effectués dans le sondage 311-29 n'ont pas détecté d'anomalies significatives. Les levés ont été effectués avec deux boucles afin de vérifier la possibilité de conducteurs d'orientation E-O ainsi que N-S.


9.0 CONCLUSIONS ET RECOMMANDATIONS

Le présent sondage n'a pas intersecté de valeur, de minéralisation ainsi que d'altération significatives. La meilleure valeur est de 1.02 % Cu sur 0.3 mètre. Ce qui, couplé aux résultats négatifs des levés Pulse EM, nous permet de prétendre que le gîte d'Abitibi Copper (1.3 Mt @ 0.76 % Cu) n'a pas d'extension en profondeur et vers l'est. De plus, les valeurs aurifères (7.5 g/t Au / 0.6 m, 11.0 g/t Au / 0.3 m) intersectées à l'est de ce sondage semblent erratiques et discontinues.

La structure NNO visée par ce sondage ne semble pas, du moins en profondeur, être reliée à un système minéralisateur.

L'altération alumineuse, (chloritoïde – pyrophyllite) présente de façon intensive et extensive en surface, n'a pas, selon ce sondage, d'extension en profondeur.

La propriété Sleepy Lake (partie ouest de la propriété), bien que contenant de l'altération hydrothermale intense, n'a révélé à ce jour aucune minéralisation significative. Conséquemment, aucun forage supplémentaire n'est recommandé sur cette propriété. Il est tout de fois de mise d'intégrer l'information recueillie pour ainsi avoir une meilleure compréhension de la signification de cette altération hydrothermale, celle-ci contenant une minéralogie d'altération qui s'apparente à celle retrouvée dans les gisements de type Mattabi.



Martin Lapointe

RÉFÉRENCES

- Chown, E.H., Daigneault, R., Mueller, W., and Mortensen, J., 1992.** Tectonic evolution of the Northern Volcanic Zone, Abitibi belt, Quebec. *Can. J. Earth Sci.*, vol. 29, p. 2211-2225.
- Desrochers, J.-P., Hubert, C., 1996.** Structural evolution and early accretion of the Archean Malartic Composite Block, southern Abitibi greenstone belt, Quebec, Canada. *Can. J. Earth Sci.*, vol. 33, p. 1556-1569.
- Feng, R., Kerrich, R., McBride, S., Farrar, E., 1992.** $^{40}\text{Ar}/^{39}\text{Ar}$ age constraints on the thermal history of the Archean Abitibi greenstone belt and the Pontiac Subprovince: implications for terrane collision, differential uplift, and overprinting of gold deposits. *Can. J. Earth Sci.*, vol. 29, p. 1389-1411.
- Géologie Québec, 1999.** Explorer au Québec : Le défi de la connaissance. DV 99-03, p. 18-20.
- Imreh, L., 1984.** Sillon de La Motte-Vassan et son avant-pays méridional: Synthèse volcanologique, lithostratigraphique et gîtologique. Ministère de l'Énergie et des Ressources du Québec. MM 82-04, 72 p.
- Latulippe, M., 1976.** La région de Val-d'Or – Malartic dans le Nord-Ouest québécois. Ministère des Richesses Naturelles: excursion géologique Val-d'Or – Malartic. DP-367, p. 3-28.
- Muller, W., Daigneault, R., Mortensen, J., and Chown, E.H., 1996.** Archean terrane docking: Upper crust collision tectonics, Abitibi greenstone belt, Quebec, Canada. *Tectonophysics*, vol. 265, p. 127-150.
- Pilote, P. et al., 1998.** Volcanologie de la Formation Val-d'Or et du Groupe de Malartic, sous-Province de l'Abitibi: contraintes géochimiques et géochronologiques. Ministère des Ressources naturelles. DV 98-05, 48 p.
- Rocheleau, M., Gaudreau R., Lacoste P., Hébert R., St-Julien, P., Perrier, B., 1987.** Synthèse stratigraphique, paléogéographique et gîtologique du secteur de Vauquelin, de Pershing et de Haig. Ministère de l'Énergie et des Ressources du Québec. MB 87-52, 153 p.
- Sharp, J.I., 1968.** Canton de Louvicourt, comté d'Abitibi-Est. Ministère des Richesses Naturelles du Québec. RG-135, 59 p.
- Taner, M.F., 1996.** The East Sullivan Stock and its Gold-Copper Potential, Val-d'Or, Quebec, Canada. *Exploration Mining Geology*, vol. 5, no. 1, p. 45-60.

Tourigny G., Mueller, W., Moorhead, J., 1998. Caractéristiques lithologiques et structurales de la Formation de Val-d'Or: une étude préliminaire. Ministère des Ressources Naturelles du Québec. MB 98-01, 18 p.

Wyman, D.A., 1999. A 2.7 Ga depleted tholeiitic suite: evidence of plume-arc interaction in the Abitibi Greenstone Belt, Canada. *Precambrian Research*, vol. 97, p. 27-42.

ANNEXE I

Carte et liste de claims
des propriétés Bevcon et Sleepy Lake

1.0 INTRODUCTION

Ce rapport décrit les résultats d'un programme de forage effectué sur les propriétés Bevcon et Sleepy Lake à l'été 2000. Un sondage totalisant 1,538.1 mètres a été complété. La première partie (742 m) du sondage s'est effectuée sur la propriété Bevcon (secteur extrême ouest de la propriété), tandis que la deuxième partie (796 m) a été réalisée sur le secteur ouest de la propriété Sleepy Lake.

Ce sondage avait plusieurs cibles. Dans un premier temps, il vérifiait la continuité vers l'ouest des teneurs aurifères obtenues à l'est d'Abitibi Copper. Ensuite, il a testé l'extension est, en profondeur, du gîte Abitibi Copper (zone à filonnets de quartz et chalcopryrite, 1.3 Mt @ 0.76 % Cu), à une profondeur verticale d'environ 450 à 500 mètres. Puis, le sondage a été poursuivi pour traverser une structure NNO qui limite l'extension ouest d'une intense et extensive zone d'altération hydrothermale (chlorite et pyrophyllite). Il est à noter que le secteur investigué par ce sondage était peu exploré.

Le présent forage a bénéficié d'une subvention du Ministère des Ressources naturelles. L'entente pour le sondage 311-29 (2000-FP-14) fait partie du volet B.1 (Forages profonds dans la Sous-Province de l'Abitibi).

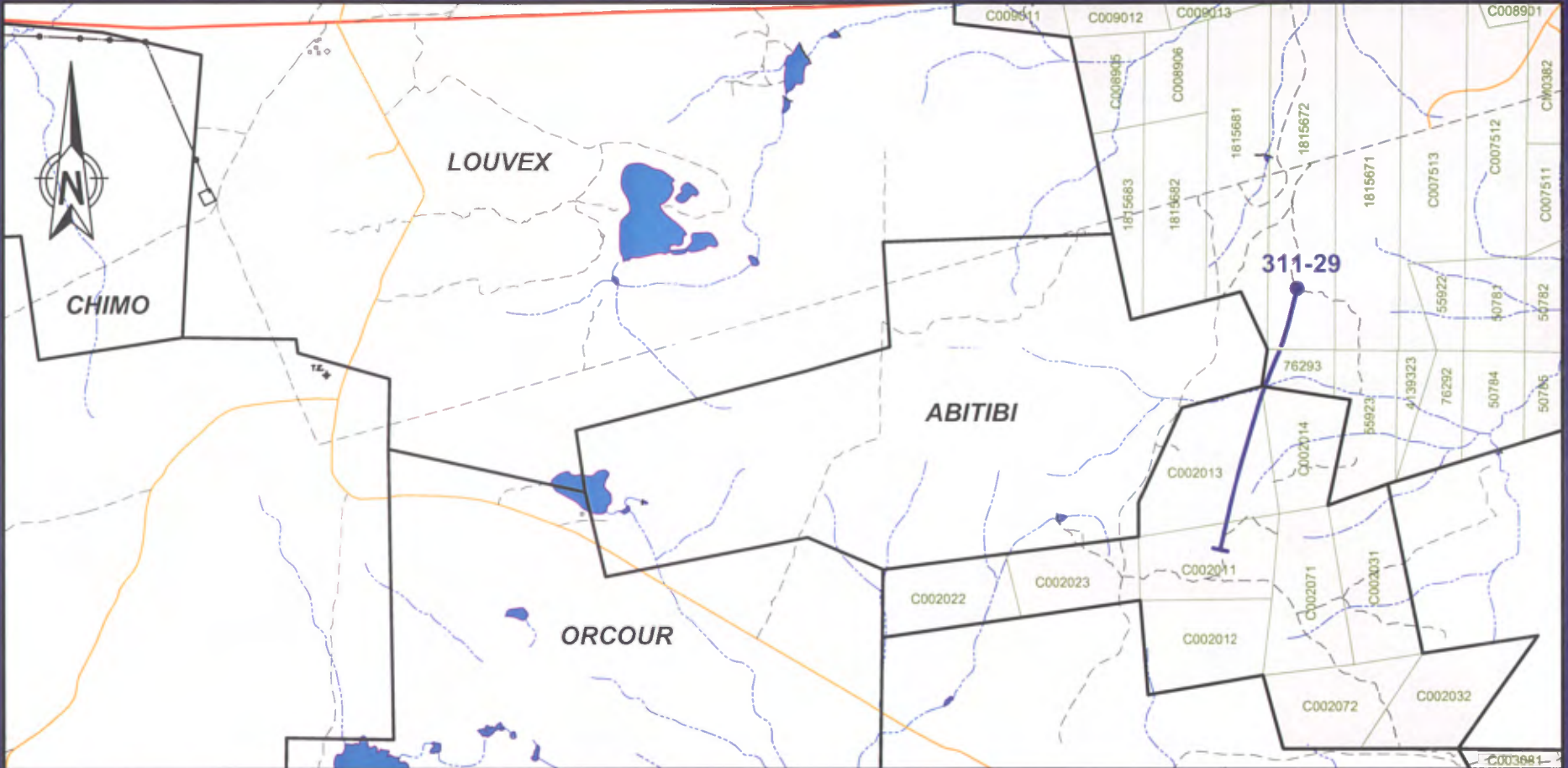
2.0 LOCALISATION, DESCRIPTION DES PROPRIÉTÉS ET ACCÈS

Les propriétés Bevcon et Sleepy Lake se situent dans le canton de Louvicourt, à environ 30 km à l'est de la ville de Val-d'Or et à moins de 5 km de la Mine Louvicourt (figure 1). Elles sont accessibles via la route régionale 117 et ensuite par des chemins forestiers et des sentiers de foreuse. La propriété Sleepy Lake regroupe 20 claims pour une superficie totale de 417 hectares. Les Ressources Aur Inc. détiennent 100 % des intérêts de la propriété qui fût acquise en 1998 de Placer Dome Canada (NSR 1.5 %). La propriété Bevcon contient 51 claims et 3 concessions minières, pour un total de 977 hectares, et est détenue à 100 % par Aur (réf. Annexe 1).

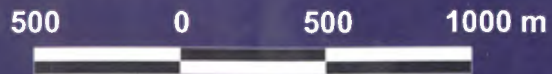
3.0 TRAVAUX EFFECTUÉS

Le programme de forage 2000 s'est déroulé du 8 août au 2 octobre 2000. Un sondage de calibre BQ, totalisant 1,538.1 mètres, a été complété par Forage Mercier Inc. à l'aide d'une foreuse hydraulique de type AVO 3000B sur les propriétés Bevcon et Sleepy Lake. La trajectoire du sondage a été mesurée à l'aide de l'instrument Microsync pour le pendage, tandis que les variations d'azimut furent suivies par un instrument de type « Single-Shot » distribué par Reflex Canada. Quelques mesures de pendage ont été effectuées avec la méthode des tests à l'acide.

Différents outils (manchon aléueur, tige hexagonale, coin) ont été utilisés afin de stabiliser la trajectoire du forage.



- Route principale (117)
- Route Secondaire
- Sentier
- Hydrographie
- Claim
- Sondage 2000



BEVCON / SLEEPY LAKE
 Localisation des claims

<i>Claim #</i>	<i>Township</i>	<i>Expiry date</i>	<i>ha</i>
0027951	Louvicourt	12-août-01	20.00
0027952	Louvicourt	12-août-01	20.00
0027954	Louvicourt	12-août-01	14.70
0027962	Louvicourt	12-août-01	19.60
0050211	Louvicourt	12-déc-02	16.20
0050212	Louvicourt	12-déc-02	19.40
0050781	Louvicourt	06-janv-03	11.20
0050782	Louvicourt	06-janv-03	12.80
0050783	Louvicourt	06-janv-03	15.20
0050784	Louvicourt	06-janv-03	10.60
0050785	Louvicourt	06-janv-03	8.80
0050794	Louvicourt	11-janv-03	6.80
0050795	Louvicourt	11-janv-03	8.80
0051811	Louvicourt	12-déc-02	16.80
0051812	Louvicourt	12-déc-02	16.00
0051813	Louvicourt	12-déc-02	14.00
0051814	Louvicourt	12-déc-02	18.80
0055921	Louvicourt	23-sept-01	40.00
0055922	Louvicourt	23-sept-01	4.80
0055923	Louvicourt	23-sept-01	10.00
0058462	Louvicourt	27-avr-03	17.60
0058463	Louvicourt	27-avr-03	18.00
0058485	Louvicourt	27-avr-03	45.60
0076291	Louvicourt	15-févr-03	5.20
0076292	Louvicourt	15-févr-03	6.40
0076293	Louvicourt	15-févr-03	3.60
0201383	Louvicourt	12-août-01	1.40
0201385	Louvicourt	12-août-01	0.20
0201387	Louvicourt	12-août-01	0.40
1815671	Louvicourt	02-mars-03	34.00
1815672	Louvicourt	02-mars-03	34.00
1815681	Louvicourt	03-mars-03	28.00
1815682	Louvicourt	03-mars-03	18.00
1815683	Louvicourt	03-mars-03	14.00
4139323	Louvicourt	04-janv-03	7.00
C007511	Louvicourt	22-sept-01	6.10
C007512	Louvicourt	22-sept-01	25.20
C007513	Louvicourt	22-sept-01	34.40
C008901	Louvicourt	16-nov-02	5.60
C008902	Louvicourt	16-nov-02	1.20
C008903	Louvicourt	16-nov-02	6.17
C008904	Louvicourt	16-nov-02	7.20
C008905	Louvicourt	16-nov-02	8.00
C008906	Louvicourt	16-nov-02	10.80
C009011	Louvicourt	19-déc-02	16.45
C009012	Louvicourt	19-déc-02	16.14
C009013	Louvicourt	19-déc-02	13.12
C009014	Louvicourt	19-déc-02	16.26
C009015	Louvicourt	19-déc-02	13.76
G006471	Louvicourt	23-juil-01	47.20
G006472	Louvicourt	23-juil-01	48.80

<i>Claim #</i>	<i>Township</i>	<i>Expiry date</i>	<i>ha</i>
CM0357	Louvicourt	31-janv-02	102.99
CM0382	Louvicourt	31-janv-02	42.13
CM0468	Louvicourt	31-janv-02	20.41
<i>Bevcon</i>	<i>54 Claim Total</i>		<i>979.83</i>

00316 *Sleepy Lake*
Quebec 32C/03

Claims List

<i>Claim #</i>	<i>Township</i>	<i>Expiry date</i>	<i>ha</i>
C002011	Louvicourt	02-févr-03	18.60
C002012	Louvicourt	02-févr-03	19.30
C002013	Louvicourt	02-févr-03	26.80
C002014	Louvicourt	02-févr-03	16.00
C002022	Louvicourt	09-févr-03	19.30
C002023	Louvicourt	09-févr-03	14.10
C002031	Louvicourt	10-févr-03	21.70
C002032	Louvicourt	10-févr-03	20.20
C002071	Louvicourt	02-févr-03	22.60
C002072	Louvicourt	02-févr-03	24.30
C003081	Louvicourt	06-mars-03	14.10
C003082	Louvicourt	06-mars-03	17.60
C003083	Louvicourt	06-mars-03	26.20
C003084	Louvicourt	06-mars-03	16.00
C004181	Louvicourt	30-mai-01	16.00
C004191	Louvicourt	19-juil-01	25.50
C004192	Louvicourt	19-juil-01	32.20
C004221	Louvicourt	19-juil-01	29.80
C004222	Louvicourt	19-juil-01	18.10
C004223	Louvicourt	19-juil-01	18.30
<u>Sleepy Lake</u>	20 Claim Total		<u>416.70</u>

ANNEXE II

Légende géoscientifique

DESCRIPTIVE CODIFICATION LEGEND

PRIMARY STRUCTURES & TEXTURES				PHYSICAL PROPERTIES							
Aggregates, clusters Amygdules, -oidal Banded Bedding Breccias : undefined Flow breccia Pillow breccia Hyaloclastic breccia Injection/intrusion Explosive breccia Tectonic Heterogeneous « debris-flow » Clast Columnar Concentric Contraction fracture Convolute Crystalline Crystal Cyclic Diabasic Disseminated Dyke, dike « Eyes » Fan Flaser Fragmental Fluidal Glomeroporphyritic Granoblastic Heterogeneous Homogeneous Horizon, layer Homfel, contact metamorphism Hyaloclastic Injected or intruded Laminated Lobes, lobated Massive	Agg Amy Ban Bed Bre Brf Brp Brh Bri Brx Brd Cst Col Cnc Cfr Cvl Crs X Cyc Dia Dis D Y Fan Fla Frg Flu Glo Gbl Het Hom Lay Hnf Hyl Inj Lam Lob Mas	Monomictic, monogenic Oolitic Orbicular Pegmatitic Phenocryst Perlitic Pillowed, Pillow Poecilitic, poikilitic Polarity, graded bedding Polymictic, polygenic Polygonal fract., mud cracks Porous, partly dissolved Porphyry Porphyritic Porphyroblastic Pumice Rapakivic Recrystallized Remnants Remobilized Replacement Schistose, Schistosity Scoria Sinusoidal, sygmoid Slumping Spherulitic Spinifex Stockwork Streaks Stringer Turbidite Undulated Vacuole (vesicle) Varicolitic Vein - Veinlet Tension vein Vitrous Xenolith Zone Zoning, zonation	Mom Ool Orb Peg Phx (X) Per Pil Poe Top Pom Pgn Prs Pph Por Pbl Pmc Rkv Rex Rmn Rem Rpm Sch Sco Sin Slip Sph Spx Swk Stk Stg Tur Und Vac Var VN-VL VT Vit Xen Z Zng	Hardness Magnetic Size, thickness Millimetric Centimetric Decimetric Metric Fine grained Medium grained Coarse grained Aphanitic Shape Angular Sub-angular Rounded Sub-rounded Spherical Ovoid Triangular Cubic Prismatic Acidular Tabular Nodular Radial	H Mag mm cm dm m tg mg cg Aph Ang lAng Rnd lRnd Cir Ovd Tri Cub Prm Psm Ac Tab Nod Rad	Crystalline Xenomorphic Hypidiomorphic Idiomorphic Xen Hyp Idi Colour Beige Black Blue Brown Cream Green Grey Milky Opalescent Pink Purple Red Smoky Translucid White Yellow Honey Colour intensity Light Medium Dark Lack of	BG BK BL BN CM GN GY MK OP PK PP RD SK TR WH YL HN				
STRUCTURAL FEATURES AND ATTITUDES				OVERALL ASPECT							
Anastomozed Brittle Boudinaged Breccias brecciated tectonic injection Broken core Conformable Conjugated Cross-cutting Dextral Downhole displacement downward = dropped upward = uplifted Fault Breccia Dilatant zone Fault Fault gouge Fissile	Ano Btl Bou Bre Bri Bri BC con cnj Xct Dxt Dw Uw Ftb Dlt Flt Flg Fis	Folded Foliated Fractured Horizontal, flat Inverse movement Normal movement Orientation, strike, trend Plunge (lineation) Polarity, graded bedding Re-activated Schistose Senestral Sense within DDH downhole uphole Shearing Slip Stretching Symmetric Unconformable Vertical, subvertical	Fld Fol Frc HZ Inv Nor Az Plg Top Rac Sch Snt DH UH Shr Sli Stc Sym unc VR	Banded Blurred texture Bleached Fracture-controlled Haloes Matrix	Ban Blr Blc Fcl Hal Mtx	Mottled Pervasive Rims Selective Speckled Spotted	Mot Prv Rim Sel Spk Spt				
CONTACTS AND VEINS				ALTERATIONS							
Contact(s) Upper contact Lower contact Vein (>1cm) Veinlets (<1cm) Tension veins chilled conjugated conformable contorted, folded displaced deformed gradational irregular sinusoidal subjective unconformable	C UC LC VN VL VT chi cnj con ctd cut def grd irr sin sub unc	Horizontal, flat Vertical, subvertical Orientation, strike, trend, dir. Plunge (lineation) Polarity, graded bedding Sense within DDH downhole uphole	HZ VR Az Plg Top DH UH	Altered Albitized Amphibolitized Ankeritized Biotitized Carbonatized Chloritized Cornéenne /hornfels Dolomitized	Alb Amp Ank Bio Car Chi Cm Dol	Epidotized Flooding Hematitized Kaolinization Metasomatic Oxidation, rusty Potassic Pyritized	Epi Flo Hem Kao Mes Oxy Pot Pyr	Sausunitized Sericitized Serpentinized Silicified Spilitized Skarn Talc Replacement	Sau Ser Spt Sil Spi Skn Tlc Rpm	Degree of alteration Low Medium Strong Lack of	Low Medium Strong Lack of
TECHNICAL DATA				SPECIAL SYMBOLS AND QUALIFIERS							
Boulders Broken core, blocky core Casing Dip, inclination, plunge Direction End of hole	Bld BC Cas Dip Az E.O.H.	Grinded core, no recovery Lost hole, abandoned Overburden Tubing, size Wedge	NC Lost Ovb AQ BQ NQ HQ Wdg	A7 A-B A(B) A-B? A/B/C (ABC) lA mB sC VA l-mB m-sC 15A 7B A35 B42 A-B VZ/Ti lSmP	feature « A » is possible or uncertain feature « B » is associated or related to « A » generally A, but locally B probably A, but could also be B(?) repetition or interlayered sequence of A>B>C locally A>locally B>locally C low, light, pale, few, small or weak A moderate, medium, frequent or fairly B strong, dark, numerous, large or abundant C absence or lack of A low to moderate B medium to strong C 15% A and 5 to 10% B A at 35° C.A. and B between 40° and 45° C.A. feature « A » followed by feature « B » Titanium <i>andesite</i> no sample reported						

MAGMATIC ROCKS						HYDROCLASTIC ROCKS			
Basic Composition			Intermediate Composition						
I1 I1B I1C I1D I1F I1G I1H I1P	Intrusive Rocks Felsic intr. rocks Granite Granodiorite Tonalite Aplite Pegmatite Granophyre Felsic porphyry	V1 V1B V1C V1D	Effusive rocks Felsic volcanic rocks Rhyolite Rhyodacite Dacite	I2 I2C I2D I2E I2F I2G I2H I2I I2J	Intrusive rocks Intermediate (undef.) Quartz syenite Syenite Quartz monzonite Monzonite Quartz Monzodiorite Monzodiorite Quartz diorite Diorite	I2K I2P	Monzosyenite Interm. porphyry	T1 T1B T1C T1D T2 T3 T4	Undetermined / mixed Felsic Rhyolitic tuff Rhyodacitic tuff Dacitic tuff Intermediate Mafic Ultramafic / ultrabasic
I3 I3A I3B I3C I3D I3E I3F I3G I3H I3I I3J I3K	Intrusive rocks Mafic intrusive rocks Gabbro Diabase Monzogabbro Ferrogabbro Gabbro with quartz Diabase with quartz Anorthosite Gabbroic anorthosite Anorthositic gabbro Norite Gabbro with olivine	I3L I3O I3P	Norite with olivine Mafic lamprophyre Mafic porphyry	4 4A 4B 4C 4E 4F 4H 4I 4M 4N	Intrusive rocks Ultramafic/ultrabasic Hornblendite Pyroxenite Clinopyroxenite Orthopyroxenite Clinopyr. w olivine Orthopyr. w olivine Peridotite Dunite Serpentinite	I4O I4P I4Q	Ultramafic lamproph. Kimberlite Carbonatite	T1BF T1BC T1BL T1BF-C T1BF-L T1BC-L T.X Tcht	Rhyolitic fine tuff Rhyolitic coarse tuff Rhyolitic lapilli tuff Rhyolitic fine to coarse tuff Rhyolitic fine to lapilli tuff Rhyolitic coarse to lapilli tuff crystal tuff cherty tuff
Mafic Composition			Ultramafic/Ultrabasic Composition			Quartzite / gneiss			
V3 V3A V3B V3C V3D V3E V3F V3G			Effusive rocks Mafic volcanic rocks Andesitic basalt Basalt Basalt with quartz Trachybasalt Basalt with olivine Magnesian basalt Picrite			V4 V4A V4B V4C V4D		Effusive rocks Volcanic Komatiite Pyroxenitic komatiite Peridotitic komatiite Dunitic komatiite	
SEDIMENTARY ROCKS			MIXED CLASTIC ROCKS		METAMORPHIC & TECTONIC		OTHER		
S S1 S1A S1B S1C S1D S1E S2 S2A S2B S2C S2D S2E S3 S3A S3B S3C S3D S3E S4 S4A S4B S4C S5A S5B S5C S5D S5E	Undifferentiated Seds Sandstone Quartzitic sandstone Feldspathic sandstone Arkose Arkosic sandstone Lithic sandstone Arenite Quartzitic arenite Feldspathic arenite Arkose Arkosic arenite Lithic arenite Wacke Quartzitic wacke Feldspathic wacke Arkose Arkosic wacke Lithic wacke Conglomerate Monogenic conglomer. Mono. 'clast supp' cong Mono. 'matrix sup' cong Monogenic breccia Mono. 'clast supp' brecc. Mono. 'matrix sup' brecc. Polygenic breccia Poly. 'clast supp' breccia	S5F S6 S6A S6D S7 S7A S7B S7C S7D S8 S8A S8B S8C S8D S9 S9B S9C S9D S9E S10 S10A S10B S10C S10D S10E S10F S11 S12	Poly. 'matrix sup' breccia Mudrock Siltstone Mudstone Limestone Calclutite (clay) Calclutite (silt) Calcarenite (sand) Calclutite (pebble) Dolomite Dololutite Dolositite Dolarenite Dolorudite Iron formation Oxide iron formation Carbonate iron formation Silicate iron formation Sulphide iron formation Chert Oxide chert Carbonate chert Silicate chert Sulphide chert Carbon/graphitic chert Chert ferruginous Exhalite Evaporite	VS VS1 VS2 VS3	Volcanosedimentary VS of felsic compos. VS of intermediate c VS of mafic comp.	M M1 M2 M3 M4 M5 M6 M7 M8 M9 M10 M11 M12 M13 M14 M15 M16 M17 M18 M20 M21 M22 M24 M25 M26	Metamorph/tectonic Gneiss Banded gneiss Orthogneiss Paragneiss Quartzofelds gneiss Granitic gneiss Granulite Schist Orthoschist Paraschist Phyllite Quartzite Marble Calco-silicated rock Metasomatic rock Amphibolite Eclogite Hornfels Metataxite Diataxite Migmatite Cataclasite Mylonite Tectonic breccia	MS SMS STZ VN	Massive Sulphides Semi-MS Stringer Zone Dominant « veining material »
ELEMENTS AND MINERALS									
Elements and « economic » minerals					Other Minerals				
Aluminium Antimoine Argent Argentite Arsenic Arsenopyrite Barium Bérylium Bismuth Bomite Brome Cadmium Cérium Césium Chalcopryrite Chalcosine Chromite Chrysolite Cobalt Covelline Cuivre Cuprite Étain Europium Fer Galène Goethite Graphite Hafnium Hématite Ilménite Iridium Lanthane Lithium Lutécium Magnésium Magnétite	Al Sb Ag Agt Asc As Ba Be Bi Bo Br Cd Ce Cs Cp Cc Cr Chy Co Cv Cu Cup Sn Eu Fe Gn Goe Gp Hf Hm Im Ir La Li Lu Mg Mt	Malachite Manganèse Marcasite Mercure Molybdenite Niobium Nickel Or Visible gold Pentandrite Pechblende Pyrite Pyrrhotite Platine Platinum group Rubidium Ruthénium Samarium Scandium Sélénium Sodium Specularite Sphalerite Strontium Sulfure Tellure Therbiun Thonium Titane Tungstène ou scheelite Uraninite Zinc Zirconium Yttrium Ytterbiun Vanadium	Mc Mn Ma Hg Mo Nb Ni Au Vg Pn Pc Py Po Pt Pge Rb Rh Sm Sc Se Na Hs Sp Sr Su Te Tb Th Ti W Ur Zn Zr Y Yb Va	Albite Actinote Allanite Amphibole Andalousite Ankérite Anorthite Anthophyllite Antigorite Apatite Augite Barytine Béryl Biotite Calcite Carbonate Chert-jaspe Chlorite Chloritoide Clinopyroxène Cordiérite Condon Cummingtonite Cyanite Diopside Dolomite Enstatite Epidote Feldspath Feldspath plagioclase Feldspath potassique Fluorite Forstérite Fuchsite Glaucofane Grenat Gypsum	ab ac al amp ad ak ant ah an ap at ba be bt ca c cht chl chd cpx cd co cg cy di do en ep f fp fk fl fo fu gl gt gy	Hornblende Limorite Leucoxène Mica Microcline Muscovite Néphéline Olivine Orthose Orthopyroxène Paragonite Perrhite Phlogopite Prehnite Pyrophyllite Pyroxène Pumpellyite Rhodocrosite Sanidine Scheelite Sércite Serpentine Siderose Silice Sillimanite Sphère Spodumène Staurotide Talc Tantalite Tourmaline Trémolite Wolframite Wollastonite Zéolite Zircon Zoisite	hb lm lx mi ml mv ne ol or opx pa pe ph pn pr px pu q rd sa sh ser spt sd si sl spr so st tc ta tm te wf wo ze zr zo		

ANNEXE III

Journaux de sondage



Project: Bevcon
Drill Hole: 311-29
Units: meters

Township: LOUVICOURT
Range:
Lot:

Claim:
Zone:
Ref.:

Printed: January 18, 2001

NTS: 32C/03 MTM Zone: 9

Coordinates at collar

Azimuth: 195° 0'
Dip: -65° 0'
Total length: 344.50
Overburden: 4.00
Casing left: Yes

Field Grid

Line:
Station:
Elevation:

Mining Grid

Longitude:
Latitude:
Elevation:

NAD Coordinates

Longitude: 234 415.00
Latitude: 5 327 836.30
Elevation: 3 338.67

Sampling

Basic Assays (lab): B56101-B56241 (CHIMITEC BONDAR CLEGG)
Lithology (lab): B56001-B56009 (CHIMITEC BONDAR CLEGG)

Log date: August 23, 2000
Collar surveying date:
Cementing date:
Relogging date:
Drilling started: August 10, 2000
Drilling finished: August 22, 2000

People

Geologist: M. LACEY
Contractor: FORAGE MERCIER
Relog:

Core

Stored: VAL-D'OR EXPLORATION OFFICE

Size: NQ,BQ

Pulse EM Survey

Performed: Yes

Depth of survey: 0.00

Miscellaneous

Purpose: Structure aurifère E-O -50m vert.; Gîte Abitibi Copper-500m; Structure syn-volc. NNO.
Remarks: -NQ jusqu'à 287,8m puis BQ. Faille importante à 107,5m.
 -Codification révisé par Martin Lapointe.

Directional data

Depth	Azimuth	Dip	Type of test	Depth	Azimuth	Dip	Type of test
0.00	195° 0'	-65° 0'		266.00	193° 55'	-62° 0'	M
21.00	193° 56'	-65° 0'	M	287.80	194° 3'	-61° 30'	M
27.50	193° 36'	-64° 54'	X	289.00	194° 4'	-62° 0'	M
48.50	193° 6'	-64° 12'	X	292.00	194° 5'	-61° 30'	M
87.50	194° 36'	-64° 6'	X	295.00	194° 6'	-62° 0'	X
108.00	194° 19'	-65° 0'	M	298.00	194° 7'	-61° 30'	M
117.00	194° 11'	-65° 0'	M	301.00	194° 9'	-62° 0'	M
129.00	194° 1'	-64° 0'	M	304.00	194° 10'	-61° 30'	M
138.00	193° 54'	-62° 30'	X	310.00	194° 13'	-62° 0'	M
141.00	193° 51'	-63° 30'	M	319.50	194° 18'	-61° 12'	X
153.00	193° 40'	-63° 0'	M	325.00	194° 18'	-62° 30'	M
167.00	193° 26'	-62° 30'	M	328.00	194° 18'	-62° 0'	M
176.00	193° 17'	-62° 30'	M	339.00	194° 18'	-61° 30'	A
191.00	193° 3'	-62° 0'	M				
194.00	193° 0'	-62° 18'	X				
203.00	193° 8'	-61° 0'	M				
209.00	193° 14'	-61° 0'	M				
215.00	193° 19'	-61° 30'	M				
224.00	193° 28'	-60° 0'	M				
230.00	193° 33'	-61° 0'	M				
236.00	193° 39'	-62° 0'	M				
242.00	193° 44'	-62° 0'	M				
245.80	193° 48'	-61° 36'	X				
254.00	193° 51'	-62° 0'	M				

From (m)	To (m)	Description	Sample No.	Length (m)	Au_avg (g/t)	Cu_avg (%)	Zn_avg (%)	Ag_avg (g/t)
0.00	4.00	Ovb MORT TERRAIN						
		Tubage NW jusqu'à 6,6m.						
4.00	45.50	I2, Por-fp, Blr/V2J, Het, Spt INTRUSIF PORPHYRITIQUE INTERMÉDIAIRE AVEC FELDSPATH HYPIDIOMORPHE À IDIOMORPHE / (ANDESITE HÉTÉROGÈNE) Aspect massif, homogène, de couleur vert foncé, non magnétique et carbonatisé. Jusqu'à 20% de plagioclase mm sub-automorphe (moyenne de 5%) de couleur variable selon l'altération (jaunâtre lorsque saussuritisé, vert-jaunâtre lorsque séricitisé). Altération dominante en chlorite verte et carbonate, roche de duraté moyenne réagissant fortement à l'acide. La texture porphyrique est variablement diffuse, de très diffuse à relativement bien préservée. Schistosité localement développée à 25-30°AC, alignement local des cristaux de plagioclase. Recoupé par de rares veinules mm à cm de quartz-carbonate variant de 25 à 65°AC à la fois parallèles à la schistosité et recoupant p/r à la schistosité. Quelques veinules cm de carbonate de 50 à 80°AC. Cet intervalle contient quelques sections décimétriques à métriques d'andésite vert moyen, à texture hétérogène, grain fin à aphanitique, contient fréquemment des "spots" blanchâtres (carbonate et/ou feldspath et/ou amygdules). Contacts sont généralement irréguliers et diffus entre les intrusifs et l'andésite. Quelques sections décimétriques à métriques de diorite magnétique haute en titane. 4.00 - 5.60 Chi CHLORITISATION Altération plus importante en chlorite verte. 14.50 - 16.20 Sch, Chi SCHISTEUX, CHLORITISATION Altération plus importante en chlorite verte, destruction des textures primaires. Séricitisation aux marges de l'intervalle. 5% d'amas mm chloriteux alignés dans la schistosité (moyenne) à 30°AC. 16.90 - 28.70 Chi, Ser CHLORITISATION, SÉRICITISATION Alternance de niveaux métriques de couleur vert foncé, altérés en chlorite verte (destruction des structures primaires) et de niveaux dm porphyriques. Séricitisation très locale accompagnant la chlorite et la silice, teinte jaunâtre localement. Schistosité à 30-35°AC plus évidente lorsque porphyrique. 16.90 - 23.10 Sil, ix, NC ROCHE D'ASPECT SILICIFIÉ, LEUCOXÈNE, CAROTTE NON RÉCUPÉRÉE Altération faible en silice accompagnant la chlorite verte, intervalle légèrement plus dur et noirâtre. 2% de leucoxène <1mm et amorphe, de couleur beige. Aucune réaction à l'acide. Carotte non récupérée de 18,4 à 19,5m. 16.90 - 18.40 60% zones alt. 40% zones porph. 1-2% VL c. 19.50 - 21.00 90% zones alt. 10% zones porph. 3% VL c. 21.00 - 22.50 Zone alt. 1% VL c. Comprend un échantillon lithog. de 0,2m. 22.50 - 23.10 Zone alt.						
			B56101	1.50	0.003	0.0021	0.0080	0.20
			B56102	1.50	0.003	0.0029	0.0072	0.05
			B56103	1.50	0.003	0.0003	0.0063	0.05
			B56104	0.60	0.003	0.0004	0.0064	0.05

From (m)	To (m)	Description	Sample No.	Length (m)	Au_avg (g/t)	Cu_avg (%)	Zn_avg (%)	Ag_avg (g/t)
		23.10 - 25.40 Chl,Ser CHLORITISATION, SÉRICITISATION Altération moyenne en chlorite verte et faible en séricite. Intervalle vert foncé, localement vert-jaunâtre sans texture primaire.						
		28.80 - 33.90 I2J,Mag DIORITE MAGNÉTIQUE Gris moyen à foncé, dur, grain fin, légèrement à modérément magnétique. Massif. 1-2% de leucoxène <1mm et amorphe, de couleur beige. CNR de 28,9 à 29,3m.						
		28.80 - 30.70 Zone alt.	B56105	1.90	0.003	0.0004	0.0031	0.05
		30.70 - 32.20 Zone alt. Traces VL c.	B56106	1.50	0.003	0.0005	0.0034	0.05
		32.20 - 33.60 Idem.	B56107	1.40	0.003	0.0004	0.0031	0.05
		33.60 - 33.90 Zone Sil.	B56108	0.30	0.012	0.0008	0.0038	0.05
		34.40 - 36.60 Amy,Ix AMYGDALAIRE, LEUCOXÈNE 3-5% d'amygdales mm de quartz-carbonate. Le quartz occupe surtout la portion centrale des amygdales et le carbonate est plutôt en périphérie. 1-2% de leucoxène <1mm et amorphe, de couleur beige. Aucune réaction à l'acide.						
		36.80 - 39.40 Sil,Ix ROCHE D'ASPECT SILICIFIÉ, LEUCOXÈNE Altération moyenne en silice. Intervalle noirâtre et dur. 1% de leucoxène. Aucune réaction à l'acide.						
		36.80 - 38.30 Zone Sil. 3% VL c.	B56109	1.50	0.003	0.0004	0.0046	0.20
		38.30 - 39.40 Idem.	B56110	1.10	0.003	0.0003	0.0042	0.05
		39.40 - 40.40 Zone Chl-Ser. 1% VL c.	B56111	1.00	0.003	0.0003	0.0033	0.20
		40.40 - 41.00 Sil,Ix,Ser ROCHE D'ASPECT SILICIFIÉ, LEUCOXÈNE, SÉRICITISATION Similaire à précédent. Séricitisation légèrement plus importante. Très faible réaction à l'acide.						
		40.40 - 41.00 Zone Sil-Ser. <1% Frc c.	B56112	0.60	0.003	0.0003	0.0023	0.05
		41.70 - 43.70 Amy,Ix AMYGDALAIRE, LEUCOXÈNE 5% d'amygdales mm arrondies de carbonate-quartz. Le quartz y occupe la portion centrale. Carbonate? légèrement rosée (hématite? rhodocrosite?). 1% de leucoxène de couleur jaunâtre.						

From (m)	To (m)	Description	Sample No.	Length (m)	Au_avg (g/t)	Cu_avg (%)	Zn_avg (%)	Ag_avg (g/t)
45.50	93.20	I2, Por-fp, Idi, Car INTRUSIF PORPHYRITIQUE INTERMÉDIAIRE AVEC FELDSPATH HYPIDIOMORPHE À IDIOMORPHE Roche porphyrique, de couleur vert foncé, homogène, non magnétique, non carbonatisée et de dureté moyenne. Jusqu'à 25% de cristaux cm, hypidiomorphes à idiomorphes de plagioclase de couleur grisâtre à jaunâtre. Ceux-ci sont souvent altérés en séricite. Matrice aphanitique. Altération dominante en chlorite verte centrée sur la matrice (faible). Aucun sulfure visible. Recoupé par de rares veinules mm et irrégulières de carbonate variant de 30 à 80°AC. Schistosité moyenne mais très locale à 35°AC n'affectant que localement les cristaux de plagioclase. Contact supérieur franc à 30°AC, basé sur l'apparition des cristaux de plagioclase. Communément appelé "Euhedral Feldspar Porphyry Dyke". Quelques unités décimétriques à métriques de diorite titanifère magnétique dans les derniers mètres de l'intervalle.						
		45.60 - 46.00 Pbl-c PORPHYROBLASTES DE CARBONATE 15% de cristaux mm de calcite, de couleur beige à jaunâtre. Réaction à l'acide.						
		46.00 - 46.80 Ser SÉRICITISATION Altération faible et intermittente en séricite, sous forme de lamines mm à cm à 30°AC. 50.10 - 51.60 3% VL c.	B56113	1.50	0.003	0.0003	0.0033	0.05
		51.60 - 51.90 VLc VEINULES DE CARBONATE 3-5% de veinules mm à cm de carbonate beige à 75°AC. Veinules irrégulières. 51.60 - 51.90 Voir géologie.	B56114	0.30	0.003	0.0003	0.0038	0.05
		51.90 - 53.70 VLc VEINULES DE CARBONATE 10% de veinules cm irrégulières de carbonate de 15 à 80°AC. Plus grande densité due aux orientations à angles plus faibles (low angle to core). 51.90 - 53.40 10% VL c. 53.40 - 53.70 2-3% VL c.	B56115 B56116	1.50 0.30	0.005 0.003	0.0009 0.0003	0.0034 0.0027	0.05 0.05
		53.70 - 54.00 Ser, Car SÉRICITISATION, CARBONATISATION Altération moyenne en séricite et carbonate. Intervalle de couleur jaunâtre à beige, de dureté faible. Carbonate selon des fractures à 45-50°AC. 53.70 - 54.00 Voir géologie. 54.00 - 54.30 Éponte inférieure	B56117 B56118	0.30 0.30	0.003 0.003	0.0004 0.0003	0.0015 0.0053	0.05 0.05
		64.80 - 84.30 Chi CHLORITISATION Altération légère en chlorite verte, intervalle de couleur variant de vert foncé à gris foncé, légèrement plus mou que précédemment et ne montrant plus de texture primaire. Carbonatation très faible et intermittente.						

From (m)	To (m)	Description	Sample No.	Length (m)	Au_avg (g/t)	Cu_avg (%)	Zn_avg (%)	Ag_avg (g/t)
	64.80 - 65.60	Pbl-c? PORPHYROBLASTES DE CARBONATE? 5-7% de carbonate? hypidiomorphe de 1mm, de couleur jaunâtre à beige. Réaction très faible à l'acide. Il pourrait s'agir de cristaux de plagioclase très légèrement saussuricitisés.						
	65.90 - 66.10	NC CAROTTE NON RÉCUPÉRÉE Broyage par la foreuse.						
	67.00 - 68.30	Ch CHLORITISATION Altération plus importante en chlorite verte, intervalle de dureté faible et vert foncé. Carbonatation faible.						
	69.00 - 70.70	Pbl-c? PORPHYROBLASTES DE CARBONATE? Similaire à 64,8 - 65,6m. 3-5% de carbonate? hydiomorphe, de couleur beige à verdâtre.						
	73.30 - 73.40	Fit FAILLE Faille très mineure, deux niveaux mm de boue à 20°AC.						
	74.00 - 78.70	Pbl-c PORPHYROBLASTES DE CARBONATE Similaire à 64,8 - 65,6m. 5% de carbonate hypidiomorphe de 1mm, de couleur beige à très légèrement rosé. 79.90 - 80.20 Éponte supérieure.	B56119	0.30	0.003	0.0003	0.0089	0.20
	80.20 - 80.30	Bre BRÈCHE 65% de carbonate blanchâtre, 35% d'épentes chloritisées. Contacts à 55°AC? broyés par la foreuse. Fragments cm, anguleux, non jointifs, alignés selon 20-25°AC. Traces de limonite. Aucun sulfure visible. 80.20 - 80.50 20% VL c.	B56120	0.30	0.003	0.0006	0.0086	0.05
	80.30 - 82.90	VLc VEINULES DE CARBONATE 5% de veinules mm à cm de carbonate ±continues et variant de 10 à 75°AC. Aucun sulfure visible. 80.50 - 81.20 10-12% VL c. 81.20 - 82.60 3% VL c. 82.60 - 82.90 2% VL c.	B56121 B56122 B56123	0.70 1.40 0.30	0.003 0.003 0.003	0.0005 0.0004 0.0004	0.0090 0.0092 0.0133	0.05 0.10 0.20

From (m)	To (m)	Description	Sample No.	Length (m)	Au_avg (g/t)	Cu_avg (%)	Zn_avg (%)	Ag_avg (g/t)
	84.30 - 90.40	I2-I1,fg INTRUSIF DE COMPOSITION FELSIQUE À INTERMÉDIAIRE Unité massive, de couleur grisâtre à gris moyen, aphanitique, homogène, très faiblement magnétique, non carbonatisée et de dureté élevée. Aucune minéralisation visible. Quelques veinules de carbonate-quartz variant de 0 à 55°AC. Contact supérieur franc à 45°AC. Contact inférieur franc à 55°AC. Note : signature géochimique de composition dacitique à rhyodacitique calco-alkaline, mais mégascopiquement, la roche a l'apparence d'une diorite magnétique riche en titane.						
	84.30 - 84.50	Ser,Sil SÉRICITISATION, ROCHE D'ASPECT SILICIFIÉ Altération faible à moyenne en séricite. Intervalle verdâtre à jaunâtre et plus mou. Silicification faible associée à la marge inférieure.						
	85.60 - 85.90	Éponte supérieure. 3-5% VL c.	B56124	0.30	0.003	0.0004	0.0103	0.20
	85.90 - 87.40	Zone Sil. 2% VL c.	B56125	1.50	0.003	0.0004	0.0054	0.05
	87.40 - 88.70	Zone Sil. 3% VL c.	B56126	1.30	0.003	0.0002	0.0034	0.05
	88.70 - 89.00	Zone Sil.	B56127	0.30	0.003	0.0004	0.0040	0.05
	89.00 - 89.10	Fit FAILLE Boue de faille de 3cm de puissance à 35°AC contenant des fragments de veines de carbonate légèrement hématisées.						
	89.00 - 89.30	Zone de faille.	B56128	0.30	0.003	0.0005	0.0042	0.30
	89.30 - 90.40	3% VL c.	B56129	1.10	0.003	0.0004	0.0049	0.05
	90.40 - 94.60	Frc,Sch FAILLES, FRACTURATION, SCHISTEUX Zone d'intense fracturation selon les plans de schistosité. Plusieurs niveaux mm de boue et de broyage selon 40°AC. Altération dominante en silice. Altération locale en séricite. RQD faible à 30%.						
	90.40 - 90.90	Glo-fp GLOMÉROPORPHYRES DE PLAGIOCLASE Segment de mégaporphyres ("Euhedral Feldspar Porphyry Dyke") mieux conservé. 15% de plagioclase hypidiomorphe cm, de couleur verdâtre. Un amas presque cm de pyrite associé à une auréole dissoute (carbonate). 90.40 - 90.90 Voir géologie.	B56130	0.50	0.003	0.0134	0.0047	0.05
	90.90 - 91.60	Bre,VL c BRÈCHE TECTONIQUE, VEINULES DE CARBONATE 20% de fragments cm de veinules de carbonate déformées selon la schistosité (30°AC). 90.90 - 91.60 Voir géologie. 91.60 - 92.90 1% VL c.	B56131 B56132	0.70 1.30	0.019 0.019	0.0033 0.0025	0.0054 0.0042	0.05 0.05

From (m)	To (m)	Description	Sample No.	Length (m)	Au_avg (g/t)	Cu_avg (%)	Zn_avg (%)	Ag_avg (g/t)	
93.20	115.40	92.90 - 93.20 Hem,VL c HÉMATISATION, VEINULES DE CARBONATE Altération faible et intermittente en hématite, roche de teinte rosâtre. 3% de veinules de carbonate de 25 à 50°AC et localement déplacées ou démembrées selon la schistosité (50°AC).							
		92.90 - 93.20 Voir géologie.	B56133	0.30	0.003	0.0010	0.0040	0.05	
		I2-11,fg INTRUSIF DE COMPOSITION FELSIQUE À INTERMÉDIAIRE Idem à 84.3 - 90,0m. Contact supérieur broyé.							
		93.20 - 94.60 <1% VL c.	B56134	1.40	0.003	0.0003	0.0048	0.05	
		94.60 - 94.90 Zone Sil.	B56135	0.30	0.012	0.0006	0.0043	0.05	
		94.90 - 96.00 Zone Sil. 2% de Cp en amas avec carb. dissout. Contient 0,2m de Lithog.	B56136	1.10	0.003	0.0062	0.0039	0.05	
		96.00 - 97.40 I2-3,Sch,chl INTRUSIF INTERMÉDIAIRE À MAFIQUE, SCHISTEUX, CHLORITE Unité massive, de couleur verdâtre, de composition intermédiaire à mafique, aphanitique, non magnétique et non carbonatisée. 3-5% d'amas mm de chlorite verte alignés selon la schistosité. Quelques taches <1mm de carbonate de couleur beige à jaunâtre. Aucune minéralisation visible. Altération dominante en séricite (faible). Recoupée par de rares veinules mm de carbonate à 25°AC. Schistosité faible à moyenne à 35°AC. Contacts francs à 35°AC. Communément appelée "Salt Pepper Dyke".							
		96.00 - 97.40 I2-3,Sch. Voir géologie	B56137	1.40	0.003	0.0011	0.0060	0.05	
		97.40 - 98.90 Zone Sil. 1-2% VL c.	B56138	1.50	0.003	0.0006	0.0037	0.05	
		98.90 - 100.40 Zone Sil. 1-2% VL c.	B56139	1.50	0.003	0.0003	0.0037	0.05	
		100.40 - 101.90 Zone Sil. 3-5% VL c.	B56140	1.50	0.003	0.0004	0.0050	0.05	
		101.90 - 103.40 Zone Sil. 1-2% VL c.	B56141	1.50	0.003	0.0002	0.0040	0.20	
		103.40 - 104.50 Zone Sil. 2-3% VL c.	B56142	1.10	0.011	0.0005	0.0038	0.05	
		104.50 - 115.40 Chl,Frc,Sch FAILLES, CHLORITISATION, FRACTURATION, SCHISTEUX Zone de failles. Plusieurs niveaux mm de boue ±parallèles à la schistosité (35 à 50°AC) qui peut légèrement onduler. Altération dominante en chlorite verte, d'intensité moyenne à forte. Hématisation locale intermittente. RQD 50%.							
		104.50 - 106.00 2% VL c.	B56143	1.50	0.024	0.0037	0.0063	0.30	
106.00 - 106.50 VLcqh VEINULES DE CARBONATE-QUARTZ-HÉMATITE? 8-10% de veinules de carbonate-quartz-hématite? de 35 à 145°AC (pendage inverse p/r à la S1). Teinte rosâtre, rhodocrosite? Traces de chalcopryrite associée.									
106.00 - 106.50 Voir géologie.	B56144	0.50	0.018	0.0115	0.0041	0.05			
106.50 - 107.00 3-5% VL c.	B56145	0.50	0.059	0.0322	0.0072	0.05			

From (m)	To (m)	Description	Sample No.	Length (m)	Au_avg (g/t)	Cu_avg (%)	Zn_avg (%)	Ag_avg (g/t)
		107.00 - 108.40 VLqchm VEINULES DE QUARTZ-CARBONATE-HÉMATITE, FAILLE 30% de veines et fragments de veines de quartz-carbonate de 30 à 65°AC. Aucun sulfure visible. Carottes mélangées et broyées. Incapable d'avoir une relation veine-schistosité. Cinq cm de boue à 20°AC à 107,5m.						
		107.00 - 108.40 Voir géologie.	B56146	1.40	0.046	0.0077	0.0040	0.20
		108.40 - 108.70 Éponte inférieure. 3% VL.	B56147	0.30	0.025	0.0012	0.0049	0.20
		108.70 - 110.20 1-2% VL c. 5% de zones Hem.	B56148	1.50	0.023	0.0005	0.0040	0.05
		110.20 - 111.70 2% Frg VL c. 1-2% de zones Hem avec <1% Py.	B56149	1.50	0.010	0.0010	0.0082	0.05
		111.70 - 112.80 Éponte supérieure. 3% VN qhm. <1% Py dans Frc.	B56150	1.10	0.006	0.0013	0.0053	0.05
		112.80 - 113.10 VNqhmPy VEINE DE QUARTZ-HÉMATITE-PYRITE Veine de quartz à 45-50°AC de couleur rosé (hématite) contenant 2% de pyrite automorphe disséminée. Recoupé par des veinules mm de quartz-carbonate (dissout) à 170°AC (pendage inverse de la veine).						
		112.80 - 113.10 Voir géologie.	B56151	0.30	0.128	0.0133	0.0028	0.20
		113.10 - 113.40 Éponte inférieure. 3% VL qchm. Traces Py.	B56152	0.30	0.012	0.0014	0.0062	0.20
		113.40 - 114.90 2-3% VL c. 3-5% zones Hem avec 1-2% Py.	B56153	1.50	0.028	0.0034	0.0073	0.05
		114.90 - 115.40 Éponte supérieure. 3% VL c.	B56154	0.50	0.091	0.0017	0.0112	0.05
115.40	344.50	ID,Por-q TONALITE À CRISTAUX DE QUARTZ Intrusif de type Bevcon. Unité massive, aphanitique, homogène, de couleur vert moyen à gris moyen lorsque non altérée. Aussi, elle est habituellement de dureté moyenne, non magnétique, non carbonatisée. On note la présence de <1% à 2% de quartz bleuté hypidiomorphe, très mal défini et pouvant atteindre jusqu'à 5mm à partir de 151.9m. Recoupée par quelques veinules de quartz-carbonate variant de à 50-55°AC. Schistosité généralement faible à absente. Contact supérieur occupé par une zone de failles à 30°AC. À partir de 266,5m, quelques niveaux devenant plus mafiques (dioritiques). Il semble s'agir d'une autre phase de l'intrusif de Bevcon. On y note entre 30 et 50% de plagioclase hypidiomorphe mm à rarement cm, 1-2% de leucoxène <1mm de couleur brunâtre. Quelques amas (1%) chloriteux de 1mm (pyxonènes altérés?). La matrice (45-65%) est aphanitique, de composition feldspathique, de couleur blanchâtre à jaunâtre et est généralement altérée en séricite. Les cristaux de plagioclase peuvent être altérés en épidote localement. 1-2% de cristaux de quartz bleuté d'aspect opalescent, de 1-2mm. Quelques endroits où l'on observe une zonation concentrique centrée sur les cristaux de quartz bleuté. La matrice de couleur blanchâtre, devient graduellement grisâtre à légèrement bleuté. La chloritisation devient plus fréquente dans cette portion. NQ jusqu'à 287,8m, puis BQ. 115.40 - 134.80 Swk-VNqc,Flo-si-c,Ser,1-2Py INJECTIONS DE QUARTZ-CARBONATE 40-70% d'injections de quartz légèrement hématisées accompagnées de "silica-carbonate flooding". Présence de tourmaline localement. De 121.7-124.3 mètres : altération dominante en séricite et silice, intervalle de couleur jaunâtre, vitreux et très dur.						

From (m)	To (m)	Description	Sample No.	Length (m)	Au_avg (g/t)	Cu_avg (%)	Zn_avg (%)	Ag_avg (g/t)
		115.40 - 118.20 VNqhmSu VEINE DE QUARTZ-HÉMATITE-SULFURES Veine de quartz de couleur grisâtre à rosé (hématite). 1% de pyrite et <1% de chalcopryrite dans des fractures et disséminées dans la veine. 3% de fragments d'épentes chloritisées. Contact supérieur broyé. Contact inférieur franc à 50°AC.						
		115.40 - 116.90 85% de veine. 3% de tm, 1% Py et tr. Cp. 15% d'épentes.	B56155	1.50	0.242	0.0050	0.0017	0.30
		116.90 - 118.20 100% veine. Frc talqueuses avec Py. 1-2% Py au total.	B56156	1.30	0.105	0.0019	0.0011	0.05
		118.20 - 119.50 Ser,VNqchm SÉRICITISATION, VEINES DE QUARTZ-CARBONATE-HÉMATITE 30% de veines et veinules mm à dm variant de 15 à 75°AC. Les veines contiennent 80% de quartz blanchâtre à grisâtre, 20% de carbonate blanchâtre. Rares traces de pyrite automorphe dans des fractures. 70% d'épentes fortement séricitisées, de couleur jaunâtre à blanchâtre. 1-2% de tourmaline? sous forme de veinules mm discontinues (contact en dents de scie).						
		118.20 - 119.50 Voir géologie.	B56157	1.30	0.097	0.0005	0.0017	0.05
		119.50 - 121.40 VNqctmPy VEINE DE QUARTZ-CARBONATE-TOURMALINE-PYRITE 90% de quartz de couleur blanchâtre à grisâtre. 5-7% de carbonate blanchâtre. 3-5% de tourmaline associée à des fractures variant de 5 à 30°AC. Traces de pyrite associée à la tourmaline ou dans des fractures dans la veine. Contact supérieur à 30-35°AC. Contact inférieur faillé à 20°AC avec présence de talc.						
		119.50 - 120.60 100% veine. <1% Py.	B56158	1.10	0.043	0.0006	0.0008	0.20
		120.60 - 121.40 100% veine. 5-7% frc tm. <1% Py avec tm.	B56159	0.80	0.093	0.0008	0.0020	0.20
		121.40 - 121.70 Fl,Tlc FAILLES, TALQUEUX Deux niveaux mm de boue de failles à 20°AC. Talqueux.						
		121.40 - 121.70 Voir géologie.	B56160	0.30	0.008	0.0010	0.0030	0.05
		121.70 - 123.20 Zone Ser. <1% Py.	B56161	1.50	0.043	0.0005	0.0025	0.20
		123.20 - 123.50 Zone Ser.	B56162	0.30	0.019	0.0008	0.0019	0.20
		123.50 - 124.30 VNq VEINES DE QUARTZ 30% de veines cm de quartz variant de 0 à 20°AC. Rares traces de pyrite automorphe dans les veines et disséminée dans les épentes.						
		123.50 - 124.30 Voir géologie.	B56163	0.80	0.010	0.0014	0.0025	0.05
		124.30 - 125.30 Ch,Ser,Sch CHLORITISATION, SÉRICITISATION, SCHISTEUX Altération faible en chlorite, intervalle de couleur gris moyen à foncé. Séricite se présente sous forme de rares lamines mm à 30°AC. Schistosité faible à 30°AC. Quelques (3%) veinules de carbonate de 30 à 60°AC.						
		124.30 - 125.30 Idem.	B56164	1.00	0.107	0.0074	0.0063	0.20

From (m)	To (m)	Description	Sample No.	Length (m)	Au_avg (g/t)	Cu_avg (%)	Zn_avg (%)	Ag_avg (g/t)
	125.30 - 125.90	Ser,Sil SÉRICITISATION, ROCHE D'ASPECT SILICIFIÉ Altération faible à moyenne en séricite, intervalle verdâtre à jaunâtre. Silicification faible à moyenne et intermittente.						
	125.30 - 125.90	Contact lithologique. Voir géologie. 5% VL cq. Traces Py.	B56165	0.60	0.028	0.0029	0.0032	0.05
	125.90 - 126.20	Idem.	B56166	0.30	0.003	0.0011	0.0029	0.05
	126.20 - 127.70	Idem.	B56167	1.50	0.003	0.0007	0.0023	0.05
	127.70 - 128.80	3% Frc c.	B56168	1.10	0.003	0.0006	0.0028	0.05
	128.80 - 129.70	1-2% Frc c.	B56169	0.90	0.003	0.0007	0.0024	0.05
	129.70 - 130.00	VNqc VEINES DE QUARTZ-CARBONATE 20% de veines cm à dm de quartz-carbonate de 0 à 60°AC. Quartz de couleur grisâtre, carbonate blanchâtre. Aucun sulfure visible.						
	129.70 - 130.00	Voir géologie.	B56170	0.30	0.043	0.0005	0.0031	0.05
	130.00 - 131.10	2-3% VL qc.	B56171	1.10	0.007	0.0006	0.0018	0.05
	131.10 - 131.30	VNqc,VLtm VEINE DE QUARTZ-CARBONATE, VEINULES DE TOURMALINE Veine de quartz-carbonate à 60°AC. Quartz blanchâtre à grisâtre, carbonate blanc. 3% de tourmaline noire sous forme de veinules mm localisées aux contacts de la veine de quartz-carbonate et associée à quelques fractures à l'intérieur de la veine. Traces d'hématite.						
	131.10 - 131.40	60% de veines.	B56172	0.30	0.008	0.0007	0.0021	0.05
	131.40 - 132.70	1-2% Py dans Frc Chl.	B56173	1.30	0.018	0.0011	0.0019	0.05
	132.70 - 133.00	2-3% Frc c.	B56174	0.30	0.003	0.0005	0.0015	0.30
	133.00 - 133.50	VNqc VEINE DE QUARTZ-CARBONATE 20-25% de veines et veinules irrégulières de quartz-carbonate de 0 à 50°AC. Quartz et carbonate de couleur blanchâtre. Le carbonate est souvent dissout. <1% de pyrite automorphe.						
	133.00 - 133.30	Voir géologie.	B56175	0.30	0.066	0.0149	0.0023	0.05
	133.30 - 134.50	1-2% VL qPy.	B56176	1.20	0.003	0.0011	0.0022	0.05
	134.50 - 141.50	Spk MOUCHETÉ 30% de taches mm à cm de chlorite-séricite? baignant dans une mésostase aphanitique leucocrate. Quelques fractures mm de chlorite verte de 0 à 60°AC. À 137,1m, on note une silicification des épontes d'une veinule mm de quartz à 55°AC diminuant du même coup, la proportion de taches de chlorite.						
	134.50 - 134.80	Épontes.	B56177	0.30	0.003	0.0006	0.0032	0.05

From (m)	To (m)	Description	Sample No.	Length (m)	Au_avg (g/t)	Cu_avg (%)	Zn_avg (%)	Ag_avg (g/t)
	141.50 - 167.10	Sil,Alb? ROCHE D'ASPECT SILICIFIÉ, ALBITISATION? Similaire à 127,7 - 134,6m. Cependant, la proportion de zones blanchies y est moins importante. On note jusqu'à 2-3% de taches mm de chlorite. Très rares endroits où la silicification est accompagnée d'une très légère hématisation (162,7 - 163,4m).						
	141.50 - 143.90	VNq,VLtm VEINES DE QUARTZ, VEINULES DE TOURMALINE 8-10% de veines cm à dm de quartz-carbonate de 0 à 65°AC. Une veinule mm de tourmaline noire à 65°AC recoupant le quartz et le carbonate. Beaux exemples à 143,0 et 143,4m. Aucun sulfure visible. Localement, les veines ressemblent à des zones blanchies et altérées plutôt qu'à des veines.						
	141.50 - 143.00	10-15% VL.	B56178	1.50	0.003	0.0004	0.0020	0.05
	143.00 - 143.90	3-5% VL.	B56179	0.90	0.003	0.0005	0.0013	0.05
	143.90 - 144.70	1-2% VL.	B56180	0.80	0.003	0.0007	0.0023	0.05
	144.70 - 145.10	10% VL.	B56181	0.40	0.003	0.0009	0.0011	0.05
	145.10 - 146.60	1-2% VL.	B56182	1.50	0.003	0.0008	0.0019	0.20
	146.60 - 147.00	1-2% VL.	B56183	0.40	0.003	0.0006	0.0022	0.05
	147.00 - 147.30	VNqc VEINE DE QUARTZ-CARBONATE 30% de veines de 0 60 à °AC. 50% de zones blanchies. 2% de tourmaline en veinules mm et très irrégulières à 60°AC.						
	147.00 - 147.30	Voir géologie.	B56184	0.30	0.003	0.0008	0.0012	0.05
	147.30 - 147.60	1-2% VL.	B56185	0.30	0.003	0.0005	0.0022	0.05
	147.60 - 148.80	2-3% VL q.	B56186	1.20	0.003	0.0007	0.0030	0.05
	148.80 - 149.40	VNqc,VLtm VEINES DE QUARTZ-CARBONATE, VEINULES DE TOURMALINE 10% de veines cm de quartz-carbonate de 0 à 50°AC. Chlorite verte massive présente aux épontes. 1% de tourmaline associée aux fractures.						
	148.80 - 149.40	Voir géologie.	B56187	0.60	0.003	0.0006	0.0026	0.05
	149.40 - 150.40	1-2% VL qc.	B56188	1.00	0.003	0.0015	0.0023	0.20
	150.40 - 150.70	8-10% VL qc.	B56189	0.30	0.003	0.0013	0.0014	0.40
	150.70 - 151.90	1% VL q. 2% VL et Frc c.	B56190	1.20	0.003	0.0008	0.0023	0.05
	151.90 - 152.20	Frc FRACTURATION Fracturation plus importante. Fractures de chlorite et de carbonate à 20°AC (1 / 8-10cm). Plusieurs fractures (1 / cm) de carbonate de 110 à 150°AC (pendage inverse p/r aux fractures chloritisées).						
	151.90 - 152.20	Voir géologie.	B56191	0.30	0.003	0.0013	0.0031	0.50
	152.20 - 153.40	1-2% VL ou Frc c.	B56192	1.20	0.003	0.0005	0.0050	0.05

From (m)	To (m)	Description	Sample No.	Length (m)	Au_avg (g/t)	Cu_avg (%)	Zn_avg (%)	Ag_avg (g/t)
		153.40 - 154.10 Chl,Sil,Alb?,VNqc CHLORITISATION, ROCHE D'ASPECT SILICIFIÉ, ALBITISATION?, VEINES DE QUARTZ-CARBONATE 15% de veine cm de quartz-carbonate de 30 à 60°AC. Le carbonate et le quartz sont blanchâtres. Carbonate souvent dissout. 25% de zones blanchies (silice-albite?), très dures. Deux niveaux (20%) cm à dm de chlorite verte selon 50°AC.						
		153.40 - 154.10 Voir géologie.	B56193	0.70	0.003	0.0036	0.0023	0.05
		154.10 - 154.40 Éponte inférieure.	B56194	0.30	0.003	0.0015	0.0030	0.05
		157.60 - 157.80 Fit FAILLES Quelques niveaux mm de boue de failles à 30-35°AC. Failles mineures.						
		159.00 - 159.10 Fit FAILLES Deux niveaux mm de boue à 20°AC. Failles mineures.						
		162.70 - 163.40 Sil,Alb? ROCHE D'ASPECT SILICIFIÉ, ALBITISATION? Altération forte en silice-albite. Zone blanchie et très dure, d'attitude sub-parallèle à la carotte. Très faible hématisation donnant une légère teinte rosâtre. Quelques fractures chloritisées de 0 à 25°AC recoupant la zone blanchie.						
		162.70 - 163.40 Voir géologie.	B56195	0.70	0.003	0.0007	0.0008	0.20
		165.10 - 167.10 Sil,Alb? ROCHE D'ASPECT SILICIFIÉ, ALBITISATION? Similaire à précédent. 25% de zones blanchies.						
		169.50 - 170.60 VLqc VEINULES DE QUARTZ-CARBONATE 10% de veines et veinules de 1 à >30mm variant de 0 à 75°AC. Le quartz est blanchâtre à grisâtre et le carbonate est de couleur blanchâtre à beige. Ce dernier semble bréchifier le quartz.						
		169.50 - 171.00 10% VL cq.	B56196	1.50	0.003	0.0013	0.0022	0.20
		171.00 - 171.60 10% VL cq.	B56197	0.60	0.003	0.0005	0.0026	0.20
		181.70 - 181.90 Fit,Chl FAILLE, CHLORITISATION Altération forte en chlorite verte. Quelques plans mm de boue de failles à 50°AC.						
		190.20 - 191.60 Ser,Sil SÉRICITISATION, ROCHE D'ASPECT SILICIFIÉ Altération faible à moyenne en séricite et faible en silice. Intervalle de couleur verdâtre à jaunâtre. Dureté moyenne. Destruction partielle des textures, rare quartz bleuté. 2-3% de taches mm à cm de chlorite verte. Altération et schistosité centrées sur une veine de quartz-carbonate dont les contacts sont faillés à 20°AC.						

From (m)	To (m)	Description	Sample No.	Length (m)	Au_avg (g/t)	Cu_avg (%)	Zn_avg (%)	Ag_avg (g/t)
		194.80 - 195.10 Ft? FAILLE 0,3m de boue? de faille, de couleur gris pâle.						
		199.90 - 201.20 I2-3,Sch,chl INTRUSIF INTERMÉDIAIRE À MAFIQUE, SCHISTEUX, CHLORITE Unité massive, de couleur grisâtre à jaunâtre, aphanitique contenant 3-5% d'amas mm chloriteux alignés dans la schistosité. Altération dominante en séricite (faible), faible carbonatation. Traces de pyrite automorphe disséminée. Schistosité bien développée à 30°AC. Contact supérieur franc mais très irrégulier à 20°AC. Contact inférieur faillé et occupé par une veine de quartz-carbonate à 30°AC. Communément appelé (Salt & Pepper Dyke).						
		219.00 - 230.40 Sil,Aib? ROCHE D'ASPECT SILICIFIÉ, ALBITISATION? Altération dominante mais intermittente en silice - séricite. Intervalle dm à m de couleur grisâtre à jaunâtre et très dur.						
		225.80 - 227.10 I2-3,Sch,chl INTRUSIF INTERMÉDIAIRE À MAFIQUE, SCHISTEUX, CHLORITE Similaire à précédent. Traces de pyrite automorphe disséminée. La schistosité est moins proéminente à 20°AC. Contact supérieur franc à 15-20°AC. Contact inférieur irrégulier à 0-5°AC montrant une forte séricitisation avec des amas altérés en fuchsite.						
		227.30 - 227.50 I2-3,Sch,chl INTRUSIF INTERMÉDIAIRE À MAFIQUE, SCHISTEUX, CHLORITE Idem à précédent. Traces de pyrite automorphe disséminée. La schistosité est aussi moins proéminente à 20°AC. Contact supérieur franc à 10°AC. Contact inférieur franc à 20-25°AC.						
		227.70 - 227.90 I2-3,Sch,chl INTRUSIF INTERMÉDIAIRE À MAFIQUE, SCHISTEUX, CHLORITE Idem à précédent. Traces de pyrite automorphe disséminée. Contact supérieur franc à 20-25°AC. Contact inférieur irrégulier à 10-15°AC.						
		228.30 - 228.90 I2-3,Sch,chl INTRUSIF INTERMÉDIAIRE À MAFIQUE, SCHISTEUX, CHLORITE Idem à précédent. Dyke sub-parallèle à l'axe de la carotte. Traces de pyrite automorphe disséminée. Contact supérieur franc à 5-10°AC. Contact inférieur irrégulier à 170-175°AC (pendage inverse de l'autre contact). Il s'agit donc du même contact.						
		229.10 - 229.50 Ft FAILLES Zone de failles mineures. Quelques plans mm de boue à 35°AC.						
		229.10 - 229.70 60% de zones faillées. 5-7% VL qc.	B56198	0.60	0.003	0.0008	0.0095	0.05

From (m)	To (m)	Description	Sample No.	Length (m)	Au_avg (g/t)	Cu_avg (%)	Zn_avg (%)	Ag_avg (g/t)
	229.70 - 230.40	VNqc VEINES DE CARBONATE-QUARTZ Veines de carbonate-quartz dm à cm de 15 à 60°AC. Contacts irréguliers. 75% de carbonate blanchâtre, 25% de quartz. <1% de tourmaline sous forme de fractures à 60°AC recoupant les veines de carbonate-quartz. Aucune minéralisation.						
		229.70 - 230.40 Voir géologie.	B56199	0.70	0.003	0.0004	0.0016	0.05
		230.40 - 230.70 Épontes. 2-3% VL.	B56200	0.30	0.003	0.0004	0.0038	0.05
	234.20 - 240.90	Sil,Alb? ROCHE D'ASPECT SILICIFIÉ, ALBITISATION? 15-20% de zones altérées en silice-albite? Intervalle très dur et blanchi recoupant la tonalite plus fraîche? de couleur vert moyen. L'altération semble souvent contrôlée par des micro-fractures de quartz à 5°AC. Bel exemple à 234,6m.						
	240.90 - 242.20	I2-3,Sch,chl INTRUSIF INTERMÉDIAIRE À MAFIQUE, SCHISTEUX, CHLORITE Idem à précédent. Grains fins, non magnétique, non carbonatisé. <1% de plagioclase hypidiomorphe <1mm. 2% d'amas mm de chlorite verte. Mésostase de couleur blanchâtre à jaunâtre. <1% de pyrite automorphe disséminée. Schistosité inexistante. Contact supérieur franc à 5°AC. Contact inférieur partiellement broyé par la foreuse (5-10°AC). Appelé "Sch" pour garder une constance dans la nomenclature.						
	242.40 - 242.60	I2-3,Sch,chl INTRUSIF INTERMÉDIAIRE À MAFIQUE, SCHISTEUX, CHLORITE Idem à précédent. L'intrusif n'occupe que le tiers de la carotte. Le contact supérieur correspond au contact inférieur précédent devenant à 175°AC. Le contact inférieur redevient à 25°AC contrôlé par une fracture.						
		243.60 - 243.90 Éponte supérieure. 1-2 VL cq.	B56201	0.30	0.005	0.0033	0.0205	0.20
	243.90 - 244.10	VNqcSu VEINE DE QUARTZ-CARBONATE-SULFURES Veine de quartz-carbonate à 40°AC. 5-7% de pyrite automorphe disséminée dans la veine et en amas alignés selon 30°AC. Aucune fracture semble contrôler la pyrite. 3% de chalcopryrite associée à des micro-fractures. Épontes de couleur gris moyen, d'aspect massif et homogène jusqu'à 0,5m de part et d'autre de la veine.						
		243.90 - 244.20 75-80% de VN.	B56202	0.30	0.946	1.0216	0.2367	11.10
		244.20 - 244.50 Éponte inférieure. <1% VL cq.	B56203	0.30	0.010	0.0018	0.0193	0.20
		251.60 - 251.90 Éponte supérieure.	B56204	0.30	0.011	0.0042	0.0055	0.20
		251.90 - 252.20 3% de VL.	B56205	0.30	0.023	0.1374	0.0053	0.90
	252.00 - 252.10	VNq, VLcSu VEINES DE QUARTZ, VEINULES DE CARBONATE-SULFURES Veines cm de quartz à 25°AC recoupées par quelques veinules mm de carbonate-sulfures. Ces veinules sont sub-parallèles aux veines de quartz. Ici, on voit très bien la relation de recoupement. La chalcopryrite (2%) et la pyrite (1%) sont spatialement associées au carbonate ou à des fractures dans le quartz.						
		252.20 - 252.50 Éponte inférieure.	B56206	0.30	0.003	0.0007	0.0051	0.20

From (m)	To (m)	Description	Sample No.	Length (m)	Au_avg (g/t)	Cu_avg (%)	Zn_avg (%)	Ag_avg (g/t)
		255.90 - 256.30 I2-3,Sch,chl INTRUSIF INTERMÉDIAIRE À MAFIQUE, SCHISTEUX, CHLORITE Idem à précédent. Traces de pyrite automorphe disséminée. Altération faible en calcite. Schistosité faible à 45°AC. Contact supérieur franc à 45-50°AC. Contact inférieur franc à 45°AC. Recoupe la tonalite, présence d'un fragment cm de tonalite à l'intérieur de l'intrusif intermédiaire, près du contact inférieur.						
		256.30 - 266.50 SII,Aib? ROCHE D'ASPECT SILICIFIÉ, ALBITISATION? Similaire à précédent. 60% de zones blanches, altérées en silice et albite? Dureté élevée. On note à 257,9m, un contrôle structural du lessivage par des structures conjuguées de 55 et 185°AC. On note aussi une chloritisation en périphérie du point de rencontre de ces deux structures qui recoupe l'altération en silice-albite. On peut donc soupçonner qu'il y a au moins deux phases distinctes d'altération.						
		256.30 - 257.60 SII,Ser ROCHE D'ASPECT SILICIFIÉ, SÉRICITISATION Altération très intense en silice et moyenne en séricite. Intervalle très dur, de teinte verdâtre à jaunâtre. Aspect aphanitique, très massif. Aucune structure et/ou texture primaire.						
		261.20 - 261.90 VLqc VEINULES DE QUARTZ 5-7% de veines de quartz-carbonate à 45°AC. 75% de quartz blanchâtre à grisâtre, 25% de carbonate. Aucun sulfure. 261.20 - 261.90 Voir géologie.	B56207	0.70	0.003	0.0064	0.0025	0.20
		261.90 - 263.10 I2-3,Sch,chl INTRUSIF INTERMÉDIAIRE À MAFIQUE, SCHISTEUX, CHLORITE Idem à précédent. 261.90 - 263.10 Éponte.	B56208	1.20	0.003	0.0036	0.0173	0.40
		263.10 - 263.40 Tic,VLqc TALQUEUX, VEINULES DE CARBONATE-QUARTZ, FRACTURES DE TOURMALINE 15% de veinules de carbonate-quartz à 35-40°AC. Présence de tourmaline sous forme de fractures à 80°AC ou de remplissage de fractures perpendiculaires aux veinules de quartz-carbonate. 85% de tonalite très altérée, blanchie. Fractures talqueuses dans la tonalite altérée. 263.10 - 263.40 Voir géologie.	B56209	0.30	0.003	0.0016	0.0016	0.20
		263.40 - 266.50 Sch,Tic SCHISTEUX, TALQUEUX Schistosité mieux définie à 55°AC. Fractures talqueuses localement.						
		274.10 - 275.20 SII ROCHE D'ASPECT SILICIFIÉ Altération très intense en silice, intervalle grisâtre, très dur et très vitreux. 274.10 - 275.20 Voir géologie.	B56210	1.10	0.003	0.0005	0.0011	0.30

From (m)	To (m)	Description	Sample No.	Length (m)	Au_avg (g/t)	Cu_avg (%)	Zn_avg (%)	Ag_avg (g/t)
		275.20 - 275.80 Éponte supérieure. Traces VL c.	B56211	0.60	0.003	0.0004	0.0054	0.20
		275.80 - 276.10 Tlc,VLqctm TALQUEUX, VEINES DE QUARTZ-CARBONATE-MAGNÉTITE, VEINULES DE TOURMALINE 15-20% de veines cm à mm de quartz-carbonate de 50 à 70°AC pouvant contenir jusqu'à 2% de cristaux <1mm de magnétite. 60% de quartz blanc laiteux et 40% de carbonate blanchâtre. Épentes légèrement talqueuses. 2% de veinules <1mm et très irrégulières de tourmaline noire recoupant une des veines cm.						
		275.80 - 276.10 Voir géologie.	B56212	0.30	0.003	0.0043	0.0086	0.05
		276.10 - 276.40 Éponte inférieure. 2% VL cq.	B56213	0.30	0.003	0.0003	0.0070	0.20
		276.40 - 277.70 2% VL c.	B56214	1.30	0.003	0.0025	0.0070	0.20
		277.70 - 278.00 Épentes Chl, Ser, Tlc.	B56215	0.30	0.003	0.0003	0.0113	0.30
		278.00 - 278.30 Tlc,VLqc TALQUEUX, VEINULES DE QUARTZ-CARBONATE 30% de veines cm de quartz-carbonate de 0 à 40°AC. Épentes séricitisées. Quelques fractures talqueuses.						
		278.00 - 278.30 Voir géologie.	B56216	0.30	0.003	0.0036	0.0032	0.30
		278.30 - 331.50 Car,BKChl CARBONATISATION, CHLORITE NOIRE Altération faible à forte en calcite, réaction persistante, localement violente à l'acide. Jusqu'à 3% de taches mm xénomorphes de carbonate de couleur jaunâtre. Altération intermittente en chlorite noire localement.						
		278.30 - 278.60 Épentes Chl, Ser.	B56217	0.30	0.003	0.0043	0.0058	0.20
		290.80 - 291.00 BKChl,VLqcPyCp CHLORITE NOIRE, VEINULES DE QUARTZ-CARBONATE-PYRITE-CHALCOPYRITE Altération moyenne et intermittente en chlorite noire. 5-7% de veinules mm de quartz-carbonate-pyrite-chalcoppyrite à 70-75°AC associées à la zone altérée. <1% de pyrite, traces de chalcoppyrite.						
		293.50 - 293.80 Éponte supérieure. 2% VL c.	B56218	0.30	0.003	0.0004	0.0020	0.05
		293.80 - 297.00 BKChl CHLORITE NOIRE Altération moyenne à forte en chlorite noire, intervalle noirâtre et mou selon 20°AC. Schistosité faible à 55°AC.						
		293.80 - 294.10 50% de zones altérées et injectées de carbonate.	B56219	0.30	0.003	0.0335	0.0023	0.20
		294.10 - 294.40 Éponte inférieure. <1% VL c.	B56220	0.30	0.003	0.0005	0.0022	0.05
		301.00 - 301.30 3% VL c.	B56221	0.30	0.003	0.0004	0.0042	0.05
		301.30 - 302.20 BKChl,Tlc,VLcq CHLORITE NOIRE, TALQUEUX, VEINULES DE CARBONATE-QUARTZ Similaire à précédent. 90% de veines cm de carbonate-quartz à 75°AC. Traces de chalcoppyrite disséminée dans la roche en marge des veinules. Présence de talc dans des fractures recoupant ou bordant les veinules.						
		301.30 - 301.60 35% VL cq. 65% zones Chl noire.	B56222	0.30	0.003	0.0128	0.0097	0.05

From (m)	To (m)	Description	Sample No.	Length (m)	Au_avg (g/t)	Cu_avg (%)	Zn_avg (%)	Ag_avg (g/t)
		301.60 - 302.20 75% zones Chl noire. 2% VL c.	B56223	0.60	0.003	0.0030	0.0086	0.05
		302.20 - 302.50 1% VL c.	B56224	0.30	0.008	0.0005	0.0037	0.20
		302.50 - 303.70 2% VL ou Frc c.	B56225	1.20	0.003	0.0003	0.0032	0.05
		303.70 - 304.00 3% VL c.	B56226	0.30	0.003	0.0002	0.0040	0.05
		304.00 - 304.80 BKChl,VLcqCp CHLORITE NOIRE, VEINULES DE CARBONATE-QUARTZ-CHALCOPYRITE Une veinule de carbonate-quartz à 15-20°AC. 87-88% de carbonate de couleur blanchâtre recoupant le quartz grisâtre (10%) localisée au début de l'intervalle. 2-3% de chalcopryrite associée au quartz et disséminée dans la roche.						
		304.00 - 304.50 95% zones Chl noire. 3% VL cqCp.	B56227	0.50	0.006	0.0542	0.0106	0.05
		304.50 - 304.80 40% zones Chl noire.	B56228	0.30	0.003	0.0379	0.0052	0.05
		308.60 - 308.90 BKChl CHLORITE NOIRE						
		314.20 - 314.50 Éponte supérieure. 2-3% VL qc.	B56229	0.30	0.003	0.0005	0.0054	0.05
		314.50 - 315.00 BKChl,Tlc,Ser,VLcq CHLORITE NOIRE, TALC, SÉRICITE, VEINULES DE CARBONATE-QUARTZ Altération moyenne à forte en chlorite noire (90%). 5% de veinules cm de quartz-carbonate de 75 à 165°AC. Traces de chalcopryrite disséminée. Altération locale en talc-séricite (5%).						
		314.50 - 315.00 Voir géologie.	B56230	0.50	0.003	0.0019	0.0100	0.05
		315.00 - 315.30 Éponte inférieure. 1% VL c.	B56231	0.30	0.003	0.0003	0.0061	0.05
		321.30 - 321.50 BKChl CHLORITE NOIRE Altération forte en chlorite noire, intervalle noirâtre et mou.						
		323.00 - 326.20 BKChl CHLORITE NOIRE Altération moyenne et intermittente en chlorite noire. 1-2% de veinules mm à rarement cm de carbonate±quartz de 60 à 80°AC. Elles peuvent contenir jusqu'à 2% de chalcopryrite associée spatialement au carbonate.						
		323.00 - 323.80 5-7% VL cq.	B56232	0.80	0.003	0.0080	0.0053	0.05
		323.80 - 324.50 2-3% VL cq. 1% Cp.	B56233	0.70	0.006	0.0131	0.0052	0.05
		324.50 - 324.80 Zones Chl noire.	B56234	0.30	0.003	0.0100	0.0042	0.20
		324.80 - 325.30 <1% VL cq. Traces Cp.	B56235	0.50	0.007	0.0126	0.0045	0.05
		325.30 - 325.60 3-5% VL cq. 2% Cp.	B56236	0.30	0.013	0.1421	0.0050	0.30
		325.60 - 326.20 Éponte inférieure. 1% VL c.	B56237	0.60	0.003	0.0034	0.0040	0.05
		327.80 - 329.40 BKChl CHLORITE NOIRE Altération faible à moyenne et intermittente en chlorite noire.						

From (m)	To (m)	Description	Sample No.	Length (m)	Au_avg (g/t)	Cu_avg (%)	Zn_avg (%)	Ag_avg (g/t)
		335.20 - 336.70 Ser,Sch SÉRICITISATION, SCHISTEUX Altération moyenne en séricite. Schistosité moyenne à 45°AC.						
		336.40 - 336.70 Éponte supérieure. Zone Ser. Traces VL c.	B56238	0.30	0.003	0.0004	0.0022	0.05
		336.70 - 337.80 Chl,VLcq CHLORITISATION, VEINULES DE CARBONATE-QUARTZ Altération moyenne en chlorite de couleur vert foncé. Chlorite noire très localement. 15% de veinules mm à cm de carbonate-quartz de 5 à 55°AC. Localement, les veines sont bréchifiées et montrent qu'il y avait une zonation minéralogique lors de la déposition. Matrice de chlorite entre les fragments de veines. Traces de pyrite et chalcopryrite autant dans les veines qu'associées à la chlorite verte.						
		336.70 - 337.80 Zone Chl. 15-20% VL cq. Traces Cp et Py.	B56239	1.10	0.003	0.0526	0.0067	0.05
		337.80 - 340.30 Ser,Tlc,Sch SÉRICITISATION, TALQUEUX, SCHISTEUX Similaire à 335,2 - 336,7m. Altération locale en talc. Schistosité à 50-55°AC.						
		337.80 - 338.10 Zones Chl. 10% VL cq.	B56240	0.30	0.003	0.0005	0.0025	0.05
		338.10 - 338.40 Éponte inférieure. Zone Ser.	B56241	0.30	0.003	0.0002	0.0025	0.05
	344.50	End of hole.						

From (m)	To (m)	Description	Length (m)	Sample No.	Cu_ppm (ppm)	Cu_pct (%)	Cu_avg (%)	Zn_ppm (ppm)	Zn_pct (%)	Zn_avg (%)	Ag_gt (g/t)	Ag_gt1 (g/t)	Ag_avg (g/t)	Au30 (ppb)	Au_gt (g/t)	Au_gt1 (g/t)	Au_gt2 (g/t)	Au_ms (g/t)	Au_avg (g/t)	As (ppm)	Pb (ppm)	Sb (ppm)
16.90	18.40	60% zones alt. 40% zones porph. 1-2% VL c.	1.50	B56101	21	ns	0.0021	80	ns	0.0080	0.20	ns	0.20	3	ns	ns	ns	ns	0.003	ns	ns	ns
19.50	21.00	90% zones alt. 10% zones porph. 3% VL c.	1.50	B56102	29	ns	0.0029	72	ns	0.0072	0.05	ns	0.05	3	ns	ns	ns	ns	0.003	ns	ns	ns
21.00	22.50	Zone alt. 1% VL c. Comprend un échantillon lithog. de 0,2m.	1.50	B56103	3	ns	0.0003	63	ns	0.0063	0.05	ns	0.05	3	ns	ns	ns	ns	0.003	ns	ns	ns
22.50	23.10	Zone alt.	0.60	B56104	4	ns	0.0004	64	ns	0.0064	0.05	ns	0.05	3	ns	ns	ns	ns	0.003	ns	ns	ns
28.80	30.70	Zone alt.	1.90	B56105	4	ns	0.0004	31	ns	0.0031	0.05	ns	0.05	3	ns	ns	ns	ns	0.003	ns	ns	ns
30.70	32.20	Zone alt. Traces VL c.	1.50	B56106	5	ns	0.0005	34	ns	0.0034	0.05	ns	0.05	3	ns	ns	ns	ns	0.003	ns	ns	ns
32.20	33.60	Idem.	1.40	B56107	4	ns	0.0004	31	ns	0.0031	0.05	ns	0.05	3	ns	ns	ns	ns	0.003	ns	ns	ns
33.60	33.90	Zone Sil.	0.30	B56108	8	ns	0.0008	38	ns	0.0038	0.05	ns	0.05	12	ns	ns	ns	ns	0.012	ns	ns	ns
36.80	38.30	Zone Sil. 3% VL c.	1.50	B56109	4	ns	0.0004	46	ns	0.0046	0.20	ns	0.20	3	ns	ns	ns	ns	0.003	ns	ns	ns
38.30	39.40	Idem.	1.10	B56110	3	ns	0.0003	42	ns	0.0042	0.05	ns	0.05	3	ns	ns	ns	ns	0.003	ns	ns	ns
39.40	40.40	Zone Chi-Ser. 1% VL c.	1.00	B56111	3	ns	0.0003	33	ns	0.0033	0.20	ns	0.20	3	ns	ns	ns	ns	0.003	ns	ns	ns
40.40	41.00	Zone Sil-Ser. <1% Frc c.	0.60	B56112	3	ns	0.0003	23	ns	0.0023	0.05	ns	0.05	3	ns	ns	ns	ns	0.003	ns	ns	ns
50.10	51.60	3% VL c.	1.50	B56113	3	ns	0.0003	33	ns	0.0033	0.05	ns	0.05	3	ns	ns	ns	ns	0.003	ns	ns	ns
51.60	51.90	Voir géologie.	0.30	B56114	3	ns	0.0003	38	ns	0.0038	0.05	ns	0.05	3	ns	ns	ns	ns	0.003	ns	ns	ns
51.90	53.40	10% VL c.	1.50	B56115	9	ns	0.0009	34	ns	0.0034	0.05	ns	0.05	5	ns	ns	ns	ns	0.005	ns	ns	ns
53.40	53.70	2-3% VL c.	0.30	B56116	3	ns	0.0003	27	ns	0.0027	0.05	ns	0.05	3	ns	ns	ns	ns	0.003	ns	ns	ns
53.70	54.00	Voir géologie.	0.30	B56117	4	ns	0.0004	15	ns	0.0015	0.05	ns	0.05	3	ns	ns	ns	ns	0.003	ns	ns	ns
54.00	54.30	Éponte inférieure	0.30	B56118	3	ns	0.0003	53	ns	0.0053	0.05	ns	0.05	3	ns	ns	ns	ns	0.003	ns	ns	ns
79.90	80.20	Éponte supérieure.	0.30	B56119	3	ns	0.0003	89	ns	0.0089	0.20	ns	0.20	3	ns	ns	ns	ns	0.003	ns	ns	ns
80.20	80.50	20% VL c.	0.30	B56120	6	ns	0.0006	86	ns	0.0086	0.05	ns	0.05	3	ns	ns	ns	ns	0.003	ns	ns	ns
80.50	81.20	10-12% VL c.	0.70	B56121	5	ns	0.0005	90	ns	0.0090	0.05	ns	0.05	3	ns	ns	ns	ns	0.003	ns	ns	ns

From (m)	To (m)	Description	Length (m)	Sample No.	Cu_ppm (ppm)	Cu_pct (%)	Cu_avg (%)	Zn_ppm (ppm)	Zn_pct (%)	Zn_avg (%)	Ag_gt (g/t)	Ag_gt1 (g/t)	Ag_avg (g/t)	Au30 (ppb)	Au_gt (g/t)	Au_gt1 (g/t)	Au_gt2 (g/t)	Au_ms (g/t)	Au_avg (g/t)	As (ppm)	Pb (ppm)	Sb (ppm)
81.20	82.60	3% VL c.	1.40	B56122	4	ns	0.0004	92	ns	0.0092	0.10	ns	0.10	3	ns	ns	ns	ns	0.003	ns	ns	ns
82.60	82.90	2% VL c.	0.30	B56123	4	ns	0.0004	133	ns	0.0133	0.20	ns	0.20	3	ns	ns	ns	ns	0.003	ns	ns	ns
85.60	85.90	Éponte supérieure. 3-5% VL c.	0.30	B56124	4	ns	0.0004	103	ns	0.0103	0.20	ns	0.20	3	ns	ns	ns	ns	0.003	ns	ns	ns
85.90	87.40	Zone Sil. 2% VL c.	1.50	B56125	4	ns	0.0004	54	ns	0.0054	0.05	ns	0.05	3	ns	ns	ns	ns	0.003	ns	ns	ns
87.40	88.70	Zone Sil. 3% VL c.	1.30	B56126	2	ns	0.0002	34	ns	0.0034	0.05	ns	0.05	3	ns	ns	ns	ns	0.003	ns	ns	ns
88.70	89.00	Zone Sil.	0.30	B56127	4	ns	0.0004	40	ns	0.0040	0.05	ns	0.05	3	ns	ns	ns	ns	0.003	ns	ns	ns
89.00	89.30	Zone de faille.	0.30	B56128	5	ns	0.0005	42	ns	0.0042	0.30	ns	0.30	3	ns	ns	ns	ns	0.003	ns	ns	ns
89.30	90.40	3% VL c.	1.10	B56129	4	ns	0.0004	49	ns	0.0049	0.05	ns	0.05	3	ns	ns	ns	ns	0.003	ns	ns	ns
90.40	90.90	Voir géologie.	0.50	B56130	134	ns	0.0134	47	ns	0.0047	0.05	ns	0.05	3	ns	ns	ns	ns	0.003	ns	ns	ns
90.90	91.60	Voir géologie.	0.70	B56131	33	ns	0.0033	54	ns	0.0054	0.05	ns	0.05	19	ns	ns	ns	ns	0.019	ns	ns	ns
91.60	92.90	1% VL c.	1.30	B56132	25	ns	0.0025	42	ns	0.0042	0.05	ns	0.05	19	ns	ns	ns	ns	0.019	ns	ns	ns
92.90	93.20	Voir géologie.	0.30	B56133	10	ns	0.0010	40	ns	0.0040	0.05	ns	0.05	3	ns	ns	ns	ns	0.003	ns	ns	ns
93.20	94.60	<1% VL c.	1.40	B56134	3	ns	0.0003	48	ns	0.0048	0.05	ns	0.05	3	ns	ns	ns	ns	0.003	ns	ns	ns
94.60	94.90	Zone Sil.	0.30	B56135	6	ns	0.0006	43	ns	0.0043	0.05	ns	0.05	12	ns	ns	ns	ns	0.012	ns	ns	ns
94.90	96.00	Zone Sil. 2% de Cp en amas avec carb. dissout. Contient 0,2m de Lithog.	1.10	B56136	62	ns	0.0062	39	ns	0.0039	0.05	ns	0.05	3	ns	ns	ns	ns	0.003	ns	ns	ns
96.00	97.40	l2-3,Sch. Voir géologie	1.40	B56137	11	ns	0.0011	60	ns	0.0060	0.05	ns	0.05	3	ns	ns	ns	ns	0.003	ns	ns	ns
97.40	98.90	Zone Sil. 1-2% VL c.	1.50	B56138	6	ns	0.0006	37	ns	0.0037	0.05	ns	0.05	3	ns	ns	ns	ns	0.003	ns	ns	ns
98.90	100.40	Zone Sil. 1-2% VL c.	1.50	B56139	3	ns	0.0003	37	ns	0.0037	0.05	ns	0.05	3	ns	ns	ns	ns	0.003	ns	ns	ns
100.40	101.90	Zone Sil. 3-5% VL c.	1.50	B56140	4	ns	0.0004	50	ns	0.0050	0.05	ns	0.05	3	ns	ns	ns	ns	0.003	ns	ns	ns
101.90	103.40	Zone Sil. 1-2% VL c.	1.50	B56141	2	ns	0.0002	40	ns	0.0040	0.20	ns	0.20	3	ns	ns	ns	ns	0.003	ns	ns	ns
103.40	104.50	Zone Sil. 2-3% VL c.	1.10	B56142	5	ns	0.0005	38	ns	0.0038	0.05	ns	0.05	11	ns	ns	ns	ns	0.011	ns	ns	ns

From (m)	To (m)	Description	Length (m)	Sample No.	Cu_ppm (ppm)	Cu_pct (%)	Cu_avg (%)	Zn_ppm (ppm)	Zn_pct (%)	Zn_avg (%)	Ag_gt (g/t)	Ag_gt1 (g/t)	Ag_avg (g/t)	Au30 (ppb)	Au_gt (g/t)	Au_gt1 (g/t)	Au_gt2 (g/t)	Au_ms (g/t)	Au_avg (g/t)	As (ppm)	Pb (ppm)	Sb (ppm)
104.50	106.00	2% VL c.	1.50	B56143	37	ns	0.0037	63	ns	0.0063	0.30	ns	0.30	24	ns	ns	ns	ns	0.024	ns	ns	ns
106.00	106.50	Voir géologie.	0.50	B56144	115	ns	0.0115	41	ns	0.0041	0.05	ns	0.05	18	ns	ns	ns	ns	0.018	ns	ns	ns
106.50	107.00	3-5% VL c.	0.50	B56145	322	ns	0.0322	72	ns	0.0072	0.05	ns	0.05	59	ns	ns	ns	ns	0.059	ns	ns	ns
107.00	108.40	Voir géologie.	1.40	B56146	77	ns	0.0077	40	ns	0.0040	0.20	ns	0.20	46	ns	ns	ns	ns	0.046	ns	ns	ns
108.40	108.70	Éponte inférieure. 3% VL.	0.30	B56147	12	ns	0.0012	49	ns	0.0049	0.20	ns	0.20	25	ns	ns	ns	ns	0.025	ns	ns	ns
108.70	110.20	1-2% VL c. 5% de zones Hem.	1.50	B56148	5	ns	0.0005	40	ns	0.0040	0.05	ns	0.05	23	ns	ns	ns	ns	0.023	ns	ns	ns
110.20	111.70	2% Frg VL c. 1-2% de zones Hem avec <1% Py.	1.50	B56149	10	ns	0.0010	82	ns	0.0082	0.05	ns	0.05	10	ns	ns	ns	ns	0.010	ns	ns	ns
111.70	112.80	Éponte supérieure. 3% VN qhm. <1% Py dans Frc.	1.10	B56150	13	ns	0.0013	53	ns	0.0053	0.05	ns	0.05	6	ns	ns	ns	ns	0.006	ns	ns	ns
112.80	113.10	Voir géologie.	0.30	B56151	133	ns	0.0133	28	ns	0.0028	0.20	ns	0.20	128	ns	ns	ns	ns	0.128	ns	ns	ns
113.10	113.40	Éponte inférieure. 3% VL qchm. Traces Py.	0.30	B56152	14	ns	0.0014	62	ns	0.0062	0.20	ns	0.20	12	ns	ns	ns	ns	0.012	ns	ns	ns
113.40	114.90	2-3% VL c. 3-5% zones Hem avec 1-2% Py.	1.50	B56153	34	ns	0.0034	73	ns	0.0073	0.05	ns	0.05	28	ns	ns	ns	ns	0.028	ns	ns	ns
114.90	115.40	Éponte supérieure. 3% VL c.	0.50	B56154	17	ns	0.0017	112	ns	0.0112	0.05	ns	0.05	91	ns	ns	ns	ns	0.091	ns	ns	ns
115.40	116.90	85% de veine. 3% de tm, 1% Py et tr. Cp. 15% d'épontes.	1.50	B56155	50	ns	0.0050	17	ns	0.0017	0.30	ns	0.30	242	ns	ns	ns	ns	0.242	ns	ns	ns
116.90	118.20	100% veine. Frc talqueuses avec Py. 1-2% Py au total.	1.30	B56156	19	ns	0.0019	11	ns	0.0011	0.05	ns	0.05	105	ns	ns	ns	ns	0.105	ns	ns	ns
118.20	119.50	Voir géologie.	1.30	B56157	5	ns	0.0005	17	ns	0.0017	0.05	ns	0.05	97	ns	ns	ns	ns	0.097	ns	ns	ns
119.50	120.60	100% veine. <1% Py.	1.10	B56158	6	ns	0.0006	8	ns	0.0008	0.20	ns	0.20	43	ns	ns	ns	ns	0.043	ns	ns	ns
120.60	121.40	100% veine. 5-7% frc tm. <1% Py avec tm.	0.80	B56159	8	ns	0.0008	20	ns	0.0020	0.20	ns	0.20	93	ns	ns	ns	ns	0.093	ns	ns	ns
121.40	121.70	Voir géologie.	0.30	B56160	10	ns	0.0010	30	ns	0.0030	0.05	ns	0.05	8	ns	ns	ns	ns	0.008	ns	ns	ns
121.70	123.20	Zone Ser. <1% Py.	1.50	B56161	5	ns	0.0005	25	ns	0.0025	0.20	ns	0.20	43	ns	ns	ns	ns	0.043	ns	ns	ns
123.20	123.50	Zone Ser.	0.30	B56162	8	ns	0.0008	19	ns	0.0019	0.20	ns	0.20	19	ns	ns	ns	ns	0.019	ns	ns	ns

From (m)	To (m)	Description	Length (m)	Sample No.	Cu_ppm (ppm)	Cu_pct (%)	Cu_avg (%)	Zn_ppm (ppm)	Zn_pct (%)	Zn_avg (%)	Ag_gt (g/t)	Ag_gt1 (g/t)	Ag_avg (g/t)	Au30 (ppb)	Au_gt (g/t)	Au_gt1 (g/t)	Au_gt2 (g/t)	Au_ms (g/t)	Au_avg (g/t)	As (ppm)	Pb (ppm)	Sb (ppm)
123.50	124.30	Voir géologie.	0.80	B56163	14	ns	0.0014	25	ns	0.0025	0.05	ns	0.05	10	ns	ns	ns	ns	0.010	ns	ns	ns
124.30	125.30	Idem.	1.00	B56164	74	ns	0.0074	63	ns	0.0063	0.20	ns	0.20	107	ns	ns	ns	ns	0.107	ns	ns	ns
125.30	125.90	Contact lithologique. Voir géologie. 5% VL cq. Traces Py.	0.60	B56165	29	ns	0.0029	32	ns	0.0032	0.05	ns	0.05	28	ns	ns	ns	ns	0.028	ns	ns	ns
125.90	126.20	Idem.	0.30	B56166	11	ns	0.0011	29	ns	0.0029	0.05	ns	0.05	3	ns	ns	ns	ns	0.003	ns	ns	ns
126.20	127.70	Idem.	1.50	B56167	7	ns	0.0007	23	ns	0.0023	0.05	ns	0.05	3	ns	ns	ns	ns	0.003	ns	ns	ns
127.70	128.80	3% Frc c.	1.10	B56168	6	ns	0.0006	28	ns	0.0028	0.05	ns	0.05	3	ns	ns	ns	ns	0.003	ns	ns	ns
128.80	129.70	1-2% Frc c.	0.90	B56169	7	ns	0.0007	24	ns	0.0024	0.05	ns	0.05	3	ns	ns	ns	ns	0.003	ns	ns	ns
129.70	130.00	Voir géologie.	0.30	B56170	5	ns	0.0005	31	ns	0.0031	0.05	ns	0.05	43	ns	ns	ns	ns	0.043	ns	ns	ns
130.00	131.10	2-3% VL qc.	1.10	B56171	6	ns	0.0006	18	ns	0.0018	0.05	ns	0.05	7	ns	ns	ns	ns	0.007	ns	ns	ns
131.10	131.40	60% de veines.	0.30	B56172	7	ns	0.0007	21	ns	0.0021	0.05	ns	0.05	8	ns	ns	ns	ns	0.008	ns	ns	ns
131.40	132.70	1-2% Py dans Frc Chl.	1.30	B56173	11	ns	0.0011	19	ns	0.0019	0.05	ns	0.05	18	ns	ns	ns	ns	0.018	ns	ns	ns
132.70	133.00	2-3% Frc c.	0.30	B56174	5	ns	0.0005	15	ns	0.0015	0.30	ns	0.30	3	ns	ns	ns	ns	0.003	ns	ns	ns
133.00	133.30	Voir géologie.	0.30	B56175	149	ns	0.0149	23	ns	0.0023	0.05	ns	0.05	66	ns	ns	ns	ns	0.066	ns	ns	ns
133.30	134.50	1-2% VL qPy.	1.20	B56176	11	ns	0.0011	22	ns	0.0022	0.05	ns	0.05	3	ns	ns	ns	ns	0.003	ns	ns	ns
134.50	134.80	Épontes.	0.30	B56177	6	ns	0.0006	32	ns	0.0032	0.05	ns	0.05	3	ns	ns	ns	ns	0.003	ns	ns	ns
141.50	143.00	10-15% VL.	1.50	B56178	4	ns	0.0004	20	ns	0.0020	0.05	ns	0.05	3	ns	ns	ns	ns	0.003	ns	ns	ns
143.00	143.90	3-5% VL.	0.90	B56179	5	ns	0.0005	13	ns	0.0013	0.05	ns	0.05	3	ns	ns	ns	ns	0.003	ns	ns	ns
143.90	144.70	1-2% VL.	0.80	B56180	7	ns	0.0007	23	ns	0.0023	0.05	ns	0.05	3	ns	ns	ns	ns	0.003	ns	ns	ns
144.70	145.10	10% VL.	0.40	B56181	9	ns	0.0009	11	ns	0.0011	0.05	ns	0.05	3	ns	ns	ns	ns	0.003	ns	ns	ns
145.10	146.60	1-2% VL.	1.50	B56182	8	ns	0.0008	19	ns	0.0019	0.20	ns	0.20	3	ns	ns	ns	ns	0.003	ns	ns	ns
146.60	147.00	1-2% VL.	0.40	B56183	6	ns	0.0006	22	ns	0.0022	0.05	ns	0.05	3	ns	ns	ns	ns	0.003	ns	ns	ns

From (m)	To (m)	Description	Length (m)	Sample No.	Cu_ppm (ppm)	Cu_pct (%)	Cu_avg (%)	Zn_ppm (ppm)	Zn_pct (%)	Zn_avg (%)	Ag_gt (g/t)	Ag_gt1 (g/t)	Ag_avg (g/t)	Au30 (ppb)	Au_gt (g/t)	Au_gt1 (g/t)	Au_gt2 (g/t)	Au_ms (g/t)	Au_avg (g/t)	As (ppm)	Pb (ppm)	Sb (ppm)
147.00	147.30	Voir géologie.	0.30	B56184	8	ns	0.0008	12	ns	0.0012	0.05	ns	0.05	3	ns	ns	ns	ns	0.003	ns	ns	ns
147.30	147.60	1-2% VL.	0.30	B56185	5	ns	0.0005	22	ns	0.0022	0.05	ns	0.05	3	ns	ns	ns	ns	0.003	ns	ns	ns
147.60	148.80	2-3% VL q.	1.20	B56186	7	ns	0.0007	30	ns	0.0030	0.05	ns	0.05	3	ns	ns	ns	ns	0.003	ns	ns	ns
148.80	149.40	Voir géologie.	0.60	B56187	6	ns	0.0006	26	ns	0.0026	0.05	ns	0.05	3	ns	ns	ns	ns	0.003	ns	ns	ns
149.40	150.40	1-2% VL qc.	1.00	B56188	15	ns	0.0015	23	ns	0.0023	0.20	ns	0.20	3	ns	ns	ns	ns	0.003	ns	ns	ns
150.40	150.70	8-10% VL qc.	0.30	B56189	13	ns	0.0013	14	ns	0.0014	0.40	ns	0.40	3	ns	ns	ns	ns	0.003	ns	ns	ns
150.70	151.90	1% VL q. 2% VL et Frc c.	1.20	B56190	8	ns	0.0008	23	ns	0.0023	0.05	ns	0.05	3	ns	ns	ns	ns	0.003	ns	ns	ns
151.90	152.20	Voir géologie.	0.30	B56191	13	ns	0.0013	31	ns	0.0031	0.50	ns	0.50	3	ns	ns	ns	ns	0.003	ns	ns	ns
152.20	153.40	1-2% VL ou Frc c.	1.20	B56192	5	ns	0.0005	50	ns	0.0050	0.05	ns	0.05	3	ns	ns	ns	ns	0.003	ns	ns	ns
153.40	154.10	Voir géologie.	0.70	B56193	36	ns	0.0036	23	ns	0.0023	0.05	ns	0.05	3	ns	ns	ns	ns	0.003	ns	ns	ns
154.10	154.40	Éponte inférieure.	0.30	B56194	15	ns	0.0015	30	ns	0.0030	0.05	ns	0.05	3	ns	ns	ns	ns	0.003	ns	ns	ns
162.70	163.40	Voir géologie.	0.70	B56195	7	ns	0.0007	8	ns	0.0008	0.20	ns	0.20	3	ns	ns	ns	ns	0.003	ns	ns	ns
169.50	171.00	10% VL cq.	1.50	B56196	13	ns	0.0013	22	ns	0.0022	0.20	ns	0.20	3	ns	ns	ns	ns	0.003	ns	ns	ns
171.00	171.60	10% VL cq.	0.60	B56197	5	ns	0.0005	26	ns	0.0026	0.20	ns	0.20	3	ns	ns	ns	ns	0.003	ns	ns	ns
229.10	229.70	60% de zones faillées. 5-7% VL qc.	0.60	B56198	8	ns	0.0008	95	ns	0.0095	0.05	ns	0.05	3	ns	ns	ns	ns	0.003	ns	ns	ns
229.70	230.40	Voir géologie.	0.70	B56199	4	ns	0.0004	16	ns	0.0016	0.05	ns	0.05	3	ns	ns	ns	ns	0.003	ns	ns	ns
230.40	230.70	Épentes. 2-3% VL.	0.30	B56200	4	ns	0.0004	38	ns	0.0038	0.05	ns	0.05	3	ns	ns	ns	ns	0.003	ns	ns	ns
243.60	243.90	Éponte supérieure. 1-2 VL cq.	0.30	B56201	33	ns	0.0033	205	ns	0.0205	0.20	ns	0.20	5	ns	ns	ns	ns	0.005	ns	ns	ns
243.90	244.20	75-80% de VN.	0.30	B56202	10216	ns	1.0216	2367	ns	0.2367	11.10	ns	11.10	1001	ns	0.89	ns	ns	0.946	ns	ns	ns
244.20	244.50	Éponte inférieure. <1% VL cq.	0.30	B56203	18	ns	0.0018	193	ns	0.0193	0.20	ns	0.20	10	ns	ns	ns	ns	0.010	ns	ns	ns
251.60	251.90	Éponte supérieure.	0.30	B56204	42	ns	0.0042	55	ns	0.0055	0.20	ns	0.20	11	ns	ns	ns	ns	0.011	ns	ns	ns
251.90	252.20	3% de VL.	0.30	B56205	1374	ns	0.1374	53	ns	0.0053	0.90	ns	0.90	23	ns	ns	ns	ns	0.023	ns	ns	ns

From (m)	To (m)	Description	Length (m)	Sample No.	Cu_ppm (ppm)	Cu_pct (%)	Cu_avg (%)	Zn_ppm (ppm)	Zn_pct (%)	Zn_avg (%)	Ag_gt (g/t)	Ag_gt1 (g/t)	Ag_avg (g/t)	Au30 (ppb)	Au_gt (g/t)	Au_gt1 (g/t)	Au_gt2 (g/t)	Au_ms (g/t)	Au_avg (g/t)	As (ppm)	Pb (ppm)	Sb (ppm)
252.20	252.50	Éponte inférieure.	0.30	B56206	7	ns	0.0007	51	ns	0.0051	0.20	ns	0.20	3	ns	ns	ns	ns	0.003	ns	ns	ns
261.20	261.90	Voir géologie.	0.70	B56207	64	ns	0.0064	25	ns	0.0025	0.20	ns	0.20	3	ns	ns	ns	ns	0.003	ns	ns	ns
261.90	263.10	Éponte.	1.20	B56208	36	ns	0.0036	173	ns	0.0173	0.40	ns	0.40	3	ns	ns	ns	ns	0.003	ns	ns	ns
263.10	263.40	Voir géologie.	0.30	B56209	16	ns	0.0016	16	ns	0.0016	0.20	ns	0.20	3	ns	ns	ns	ns	0.003	ns	ns	ns
274.10	275.20	Voir géologie.	1.10	B56210	5	ns	0.0005	11	ns	0.0011	0.30	ns	0.30	3	ns	ns	ns	ns	0.003	ns	ns	ns
275.20	275.80	Éponte supérieure. Traces VL c.	0.60	B56211	4	ns	0.0004	54	ns	0.0054	0.20	ns	0.20	3	ns	ns	ns	ns	0.003	ns	ns	ns
275.80	276.10	Voir géologie.	0.30	B56212	43	ns	0.0043	86	ns	0.0086	0.05	ns	0.05	3	ns	ns	ns	ns	0.003	ns	ns	ns
276.10	276.40	Éponte inférieure. 2% VL cq.	0.30	B56213	3	ns	0.0003	70	ns	0.0070	0.20	ns	0.20	3	ns	ns	ns	ns	0.003	ns	ns	ns
276.40	277.70	2% VL c.	1.30	B56214	25	ns	0.0025	70	ns	0.0070	0.20	ns	0.20	3	ns	ns	ns	ns	0.003	ns	ns	ns
277.70	278.00	Épentes Chl, Ser, Tic.	0.30	B56215	3	ns	0.0003	113	ns	0.0113	0.30	ns	0.30	3	ns	ns	ns	ns	0.003	ns	ns	ns
278.00	278.30	Voir géologie.	0.30	B56216	36	ns	0.0036	32	ns	0.0032	0.30	ns	0.30	3	ns	ns	ns	ns	0.003	ns	ns	ns
278.30	278.60	Épentes Chl, Ser.	0.30	B56217	43	ns	0.0043	58	ns	0.0058	0.20	ns	0.20	3	ns	ns	ns	ns	0.003	ns	ns	ns
293.50	293.80	Éponte supérieure. 2% VL c.	0.30	B56218	4	ns	0.0004	20	ns	0.0020	0.05	ns	0.05	3	ns	ns	ns	ns	0.003	ns	ns	ns
293.80	294.10	50% de zones altérées et injectées de carbonate.	0.30	B56219	335	ns	0.0335	23	ns	0.0023	0.20	ns	0.20	3	ns	ns	ns	ns	0.003	ns	ns	ns
294.10	294.40	Éponte inférieure. <1% VL c.	0.30	B56220	5	ns	0.0005	22	ns	0.0022	0.05	ns	0.05	3	ns	ns	ns	ns	0.003	ns	ns	ns
301.00	301.30	3% VL c.	0.30	B56221	4	ns	0.0004	42	ns	0.0042	0.05	ns	0.05	3	ns	ns	ns	ns	0.003	ns	ns	ns
301.30	301.60	35% VL cq. 65% zones Chl noire.	0.30	B56222	128	ns	0.0128	97	ns	0.0097	0.05	ns	0.05	3	ns	ns	ns	ns	0.003	ns	ns	ns
301.60	302.20	75% zones Chl noire. 2% VL c.	0.60	B56223	30	ns	0.0030	86	ns	0.0086	0.05	ns	0.05	3	ns	ns	ns	ns	0.003	ns	ns	ns
302.20	302.50	1% VL c.	0.30	B56224	5	ns	0.0005	37	ns	0.0037	0.20	ns	0.20	8	ns	ns	ns	ns	0.008	ns	ns	ns
302.50	303.70	2% VL ou Frc c.	1.20	B56225	3	ns	0.0003	32	ns	0.0032	0.05	ns	0.05	3	ns	ns	ns	ns	0.003	ns	ns	ns
303.70	304.00	3% VL c.	0.30	B56226	2	ns	0.0002	40	ns	0.0040	0.05	ns	0.05	3	ns	ns	ns	ns	0.003	ns	ns	ns

From (m)	To (m)	Description	Length (m)	Sample No.	Cu_ppm (ppm)	Cu_pct (%)	Cu_avg (%)	Zn_ppm (ppm)	Zn_pct (%)	Zn_avg (%)	Ag_gt (g/t)	Ag_gt1 (g/t)	Ag_avg (g/t)	Au30 (ppb)	Au_gt (g/t)	Au_gt1 (g/t)	Au_gt2 (g/t)	Au_ms (g/t)	Au_avg (g/t)	As (ppm)	Pb (ppm)	Sb (ppm)
304.00	304.50	95% zones Chl noire. 3% VL cqCp.	0.50	B56227	542	ns	0.0542	106	ns	0.0106	0.05	ns	0.05	6	ns	ns	ns	ns	0.006	ns	ns	ns
304.50	304.80	40% zones Chl noire.	0.30	B56228	379	ns	0.0379	52	ns	0.0052	0.05	ns	0.05	3	ns	ns	ns	ns	0.003	ns	ns	ns
314.20	314.50	Éponte supérieure. 2-3% VL qc.	0.30	B56229	5	ns	0.0005	54	ns	0.0054	0.05	ns	0.05	3	ns	ns	ns	ns	0.003	ns	ns	ns
314.50	315.00	Voir géologie.	0.50	B56230	19	ns	0.0019	100	ns	0.0100	0.05	ns	0.05	3	ns	ns	ns	ns	0.003	ns	ns	ns
315.00	315.30	Éponte inférieure. 1% VL c.	0.30	B56231	3	ns	0.0003	61	ns	0.0061	0.05	ns	0.05	3	ns	ns	ns	ns	0.003	ns	ns	ns
323.00	323.80	5-7% VL cq.	0.80	B56232	80	ns	0.0080	53	ns	0.0053	0.05	ns	0.05	3	ns	ns	ns	ns	0.003	ns	ns	ns
323.80	324.50	2-3% VL cq. 1% Cp.	0.70	B56233	131	ns	0.0131	52	ns	0.0052	0.05	ns	0.05	6	ns	ns	ns	ns	0.006	ns	ns	ns
324.50	324.80	Zones Chl noire.	0.30	B56234	100	ns	0.0100	42	ns	0.0042	0.20	ns	0.20	3	ns	ns	ns	ns	0.003	ns	ns	ns
324.80	325.30	<1% VL cq. Traces Cp.	0.50	B56235	126	ns	0.0126	45	ns	0.0045	0.05	ns	0.05	7	ns	ns	ns	ns	0.007	ns	ns	ns
325.30	325.60	3-5% VL cq. 2% Cp.	0.30	B56236	1421	ns	0.1421	50	ns	0.0050	0.30	ns	0.30	13	ns	ns	ns	ns	0.013	ns	ns	ns
325.60	326.20	Éponte inférieure. 1% VL c.	0.60	B56237	34	ns	0.0034	40	ns	0.0040	0.05	ns	0.05	3	ns	ns	ns	ns	0.003	ns	ns	ns
336.40	336.70	Éponte supérieure. Zone Ser. Traces VL c.	0.30	B56238	4	ns	0.0004	22	ns	0.0022	0.05	ns	0.05	3	ns	ns	ns	ns	0.003	ns	ns	ns
336.70	337.80	Zone Chl. 15-20% VL cq. Traces Cp et Py.	1.10	B56239	526	ns	0.0526	67	ns	0.0067	0.05	ns	0.05	3	ns	ns	ns	ns	0.003	ns	ns	ns
337.80	338.10	Zones Chl. 10% VL cq.	0.30	B56240	5	ns	0.0005	25	ns	0.0025	0.05	ns	0.05	3	ns	ns	ns	ns	0.003	ns	ns	ns
338.10	338.40	Éponte inférieure. Zone Ser.	0.30	B56241	2	ns	0.0002	25	ns	0.0025	0.05	ns	0.05	3	ns	ns	ns	ns	0.003	ns	ns	ns

From (m)	To (m)	Description	Length (m)	Sample No.	SiO2 (%)	TiO2 (%)	Al2O3 (%)	Fe2O3 (%)	MnO (%)	MgO (%)	CaO (%)	Na2O (%)	K2O (%)	P2O5 (%)	Cr2O3 (%)	LOI (%)	Total (%)
7.00	7.20	I3A, Por-fp, Car.	0.20	B56001	51.45	0.66	15.06	7.74	0.20	5.65	7.38	3.19	0.24	0.20	0.05	7.82	99.65
21.50	21.70	I3A, Sil, 1-2% VL c.	0.20	B56002	60.99	1.10	14.24	9.85	0.11	3.66	1.54	2.97	0.66	0.25	0.01	3.90	99.31
60.30	60.50	I2 Por-fp, Ser.	0.20	B56003	52.70	0.81	15.99	6.34	0.12	7.04	6.10	2.79	0.11	0.25	0.04	7.27	99.57
95.40	95.60	I2, Sil.	0.20	B56004	69.47	0.66	13.25	5.61	0.03	2.14	0.77	4.67	0.48	0.15	0.02	2.28	99.55
140.60	140.80	I1D.	0.20	B56005	68.07	0.60	13.73	2.70	0.02	1.24	3.12	6.35	0.38	0.14	0.02	3.41	99.80
192.40	192.60	I1D, 3%QP, 1%VL c.	0.20	B56006	63.62	1.03	15.05	4.51	0.03	2.56	2.76	5.59	0.59	0.21	0.01	3.82	99.80
267.50	267.70	I1D, I Ser, <1%QP.	0.20	B56007	54.48	0.79	15.15	5.14	0.06	3.75	6.33	4.38	0.45	0.18	0.02	8.97	99.72
281.50	281.70	I1D, Por-q, Car	0.20	B56008	57.58	0.86	16.30	4.98	0.06	3.98	5.20	4.32	0.30	0.19	0.02	5.99	99.79
296.70	296.90	I1D, sChl noire.	0.20	B56009	48.55	0.99	18.29	9.73	0.05	11.84	0.94	1.68	0.50	0.25	0.01	6.88	99.74

Aur Resources Inc.

Lithology data (continued)

Sample No.	From (m)	To (m)	Length (m)	Ba (ppm)	Cr (ppm)	Sr (ppm)	Rb (ppm)	Zr (ppm)	Y (ppm)	Nb (ppm)	As (ppm)	Cu (ppm)	Zn (ppm)	Ag (ppm)	Au30 (ppb)	Sb (ppm)	Pb (ppm)	TiO2_Zr	Al2O3_TiO2	Zr_Y	Ish	CaO_MgO	Na2O_K2O	Aluminum
B56001	7.00	7.20	0.20	120	ns	110	8	113	23	4	2.3	2	74	0.1	3	0.6	4	58	23	4.9	36	1.31	13.29	1.39
B56002	21.50	21.70	0.20	250	ns	85	17	193	26	6	1.1	2	62	0.1	3	0.4	4	57	13	7.4	49	0.42	4.50	2.75
B56003	60.30	60.50	0.20	120	ns	223	5	141	23	5	1.6	2	53	0.1	9	0.1	4	57	20	6.1	45	0.87	25.36	1.78
B56004	95.40	95.60	0.20	180	ns	40	13	240	32	6	0.5	4	41	0.1	3	0.1	3	28	20	7.5	33	0.36	9.73	2.24
B56005	140.60	140.80	0.20	160	ns	112	12	157	29	6	4.1	2	19	0.1	3	0.1	3	38	23	5.4	15	2.52	16.71	1.39
B56006	192.40	192.60	0.20	230	ns	93	20	126	23	4	2.5	5	27	0.2	3	0.5	4	82	15	5.5	27	1.08	9.47	1.68
B56007	267.50	267.70	0.20	170	ns	205	13	96	20	5	3.0	2	18	0.1	3	0.6	4	82	19	4.8	28	1.69	9.73	1.36
B56008	281.50	281.70	0.20	136	ns	239	7	115	20	4	4.2	6	35	0.1	3	0.5	5	75	19	5.8	31	1.31	14.40	1.66
B56009	296.70	296.90	0.20	259	ns	73	14	94	24	5	2.4	4	86	0.1	3	0.3	5	105	18	3.9	82	0.08	3.36	5.86



Project: Bevcon
 Drill Hole: 311-29A
 Units: meters

Township: LOUVICOURT
 Range:
 Lot:

Claim:
 Zone:
 Ref.:

Printed: January 18, 2001

NTS: 32C/03 MTM Zone: 9

Coordinates at collar

Azimuth: 195° 0'
 Dip: -65° 0'

Total length: 380.50
 Overburden:
 Casing left: Yes

Field Grid

Line:
 Station:
 Elevation:

Mining Grid

Longitude:
 Latitude:
 Elevation:

NAD Coordinates

Longitude: 234 415.00
 Latitude: 5 327 836.30
 Elevation: 3 338.67

Sampling

Basic Assays (lab): B56242-B56254 (CHIMITEC BONDAR CLEGG)
 Lithology (lab): B56010 (CHIMITEC BONDAR CLEGG)

Log date: August 24, 2000
 Collar surveying date:
 Cementing date:
 Relogging date:
 Drilling started: August 22, 2000
 Drilling finished: August 23, 2000

People

Geologist: M. LACEY
 Contractor: FORAGE MERCIER
 Reelog:

Core

Stored: VAL-D'OR EXPLORATION OFFICE

Size: BQ

Pulse EM Survey

Performed: Yes

Depth of survey: 0.00

Miscellaneous

Purpose: Structure aurifère E-O -50m vert.; Gîte Abitibi Copper-500m; Structure syn-volc. NNO.
 Remarks: -Codification révisé par Martin Lapointe.

Directional data

Depth	Azimuth	Dip	Type of test	Depth	Azimuth	Dip	Type of test
0.00	195° 0'	-65° 0'		287.80	194° 3'	-61° 30'	M
21.00	193° 56'	-65° 0'	M	289.00	194° 4'	-62° 0'	M
27.50	193° 36'	-64° 54'	X	292.00	194° 5'	-61° 30'	M
48.50	193° 6'	-64° 12'	X	295.00	194° 6'	-62° 0'	X
87.50	194° 36'	-64° 6'	X	298.00	194° 7'	-61° 30'	M
108.00	194° 19'	-65° 0'	M	301.00	194° 9'	-62° 0'	M
117.00	194° 11'	-65° 0'	M	304.00	194° 10'	-61° 30'	M
129.00	194° 1'	-64° 0'	M	310.00	194° 13'	-62° 0'	M
138.00	193° 54'	-62° 30'	X	319.50	194° 18'	-61° 12'	X
141.00	193° 51'	-63° 30'	M	325.00	194° 18'	-62° 30'	M
153.00	193° 40'	-63° 0'	M	328.00	194° 18'	-62° 0'	M
167.00	193° 26'	-62° 30'	M	339.00	194° 18'	-61° 30'	A
176.00	193° 17'	-62° 30'	M	350.00	197° 36'	-59° 6'	X
191.00	193° 3'	-62° 0'	M	353.00	196° 57'	-58° 30'	M
194.00	193° 0'	-62° 18'	X	356.00	196° 18'	-58° 36'	X
203.00	193° 8'	-61° 0'	M	362.00	196° 32'	-58° 30'	M
209.00	193° 14'	-61° 0'	M	368.00	196° 47'	-58° 0'	M
215.00	193° 19'	-61° 30'	M	374.00	197° 1'	-58° 30'	M
224.00	193° 28'	-60° 0'	M	376.00	197° 6'	-56° 0'	A
230.00	193° 33'	-61° 0'	M	380.00	197° 16'	-56° 30'	M
236.00	193° 39'	-62° 0'	M				
242.00	193° 44'	-62° 0'	M				
245.80	193° 48'	-61° 36'	X				
254.00	193° 51'	-62° 0'	M				
266.00	193° 55'	-62° 0'	M				

From (m)	To (m)	Description	Sample No.	Length (m)	Au_avg (g/t)	Cu_avg (%)	Zn_avg (%)	Ag_avg (g/t)	
340.00	380.50	<p>11D, Por-q TONALITE À CRISTAUX DE QUARTZ Voir 311-29. Intrusif de type Bevcon. Unité massive, aphanitique, homogène, de couleur vert moyen à gris moyen lorsque non altérée. Aussi, elle est habituellement de dureté moyenne, non magnétique, non carbonatisée. Altération alternant entre la silicification (et albitisation?), plus abondante à la portion supérieure, et la chloritisation (rare). On note la présence de <1% de quartz bleuté hypidiomorphique, très mal défini et pouvant atteindre jusqu'à 5mm à partir de 151.9m dans le trou initial. Recoupée par quelques veinules de quartz-carbonate variant de 50-55°AC. Schistosité généralement faible à absente. Contact supérieur occupé par une zone de failles à 30°AC.</p> <p>358,6 - 361,8m: Passage plus mafique (I2J?) similaire à précédent. 366,2 - 371,4m: Idem. Grains moyens à grossiers.</p> <p>351.40 - 353.50 Chl, Sch, Fit CHLORITISATION, SCHISTEUX, FAILLES Altération moyenne en chlorite. Textures primaires presque entièrement détruites, très rares grains présents. Schistosité légèrement plus importante et quelques plans de boue de faille à 45°AC.</p> <p>353.20 - 353.50 Éponte supérieure. 10% VL cq.</p> <p>353.50 - 353.90 VNqc, VLtm VEINES DE QUARTZ-CARBONATE, VEINULES DE TOURMALINE 80% de veines cm de quartz-carbonate à 50°AC. 70% de quartz grisâtre, 30% de carbonate blanchâtre. Le carbonate recoupe et bréchifie le quartz. Recoupée par 3-5% de veinules mm de tourmaline sub-parallèles aux veines. Altération en chlorite très locale de l'éponte inférieure. 15-17% d'épentes chloritisées.</p> <p>353.50 - 353.90 Voir géologie. 353.90 - 354.20 Éponte inférieure. 354.20 - 355.30 2% VL c. 355.30 - 355.60 Épentes supérieure. 2% VL c.</p> <p>355.60 - 355.90 Chl, VLc CHLORITISATION, VEINULES DE CALCITE 8-10% de veinules mm à cm à 35-40°AC de calcite. 1% de tourmaline. Altération forte en chlorite verte.</p> <p>355.60 - 355.90 Voir géologie. 355.90 - 356.20 8-10% VN c. 362.70 - 363.00 Éponte supérieure. 2% VL c.</p> <p>363.00 - 363.30 Chl, VLc CHLORITISATION, VEINULES DE CALCITE Altération moyenne en chlorite verte. 3-5% de veinules mm de carbonate de couleur blanchâtre (80) et orangée (20%).</p> <p>363.00 - 363.30 Voir géologie. 363.30 - 363.60 Éponte inférieure. 367.10 - 367.40 Éponte supérieure.</p>							
			B56242	0.30	0.036	0.0319	0.0048	0.40	
			B56243	0.40	0.003	0.0013	0.0025	0.10	
			B56244	0.30	0.003	0.0005	0.0029	0.10	
			B56245	1.10	0.003	0.0009	0.0027	0.20	
			B56246	0.30	0.003	0.0026	0.0030	0.10	
			B56247	0.30	0.003	0.0035	0.0044	0.05	
			B56248	0.30	0.003	0.0006	0.0028	0.05	
			B56249	0.30	0.003	0.0008	0.0021	0.05	
			B56250	0.30	0.009	0.0161	0.0044	0.70	
			B56251	0.30	0.003	0.0006	0.0023	0.10	
			B56252	0.30	0.003	0.0004	0.0022	0.05	

From (m)	To (m)	Description	Sample No.	Length (m)	Au_avg (g/t)	Cu_avg (%)	Zn_avg (%)	Ag_avg (g/t)
		367.40 - 367.80 VNqc,Frctm VEINE DE QUARTZ-CALCITE, FRACTURES DE TOURMALINE Veine de quartz-calcite à 35°AC. 3% de fractures discontinues à 35°AC remplies de tourmaline noire. Le quartz semble recouper les carbonates.						
		367.40 - 367.80 25% de VN.	B56253	0.40	0.003	0.0013	0.0018	0.05
		367.80 - 368.10 Éponte inférieure.	B56254	0.30	0.003	0.0005	0.0023	0.10
		369.50 - 371.40 Mag,Mt MAGNÉTIQUE, MAGNÉTITE Intervalle légèrement magnétique, 1-2% de grains <1mm de magnétite. Hématisation très faible.						
		377.50 - 380.50 Ser,BKCh,Fit,VL c SÉRICITISATION, CHLORITE NOIRE, FAILLES, VEINULES DE CARBONATE Altération moyenne en séricite. Altération faible à moyenne et intermittente en chlorite noire? Intervalle de couleur vert-jaunâtre à noir. Textures primaires presque toutes détruites. Quelques plans mm de boue de failles à 55-60°AC (failles mineures). 3-5% de veinules de carbonate mm localement ±continues variant de 55-60 à 155°AC (pendage inverse p/r à la schistosité). Schistosité à 55-60°AC.						
	380.50	End of hole.						

From (m)	To (m)	Description	Length (m)	Sample No.	Cu_ppm (ppm)	Cu_pct (%)	Cu_avg (%)	Zn_ppm (ppm)	Zn_pct (%)	Zn_avg (%)	Ag_gt (g/t)	Ag_gt1 (g/t)	Ag_avg (g/t)	Au30 (ppb)	Au_gt (g/t)	Au_gt1 (g/t)	Au_gt2 (g/t)	Au_ms (g/t)	Au_avg (g/t)	As (ppm)	Pb (ppm)	Sb (ppm)
353.20	353.50	Éponte supérieure. 10% VL cq.	0.30	B56242	319	ns	0.0319	48	ns	0.0048	0.40	ns	0.40	36	ns	ns	ns	ns	0.036	ns	ns	ns
353.50	353.90	Voir géologie.	0.40	B56243	13	ns	0.0013	25	ns	0.0025	0.10	ns	0.10	3	ns	ns	ns	ns	0.003	ns	ns	ns
353.90	354.20	Éponte inférieure.	0.30	B56244	5	ns	0.0005	29	ns	0.0029	0.10	ns	0.10	3	ns	ns	ns	ns	0.003	ns	ns	ns
354.20	355.30	2% VL c.	1.10	B56245	9	ns	0.0009	27	ns	0.0027	0.20	ns	0.20	3	ns	ns	ns	ns	0.003	ns	ns	ns
355.30	355.60	Épontes supérieure. 2% VL c.	0.30	B56246	26	ns	0.0026	30	ns	0.0030	0.10	ns	0.10	3	ns	ns	ns	ns	0.003	ns	ns	ns
355.60	355.90	Voir géologie.	0.30	B56247	35	ns	0.0035	44	ns	0.0044	0.05	ns	0.05	3	ns	ns	ns	ns	0.003	ns	ns	ns
355.90	356.20	8-10% VN c.	0.30	B56248	6	ns	0.0006	28	ns	0.0028	0.05	ns	0.05	3	ns	ns	ns	ns	0.003	ns	ns	ns
362.70	363.00	Éponte supérieure. 2% VL c.	0.30	B56249	8	ns	0.0008	21	ns	0.0021	0.05	ns	0.05	3	ns	ns	ns	ns	0.003	ns	ns	ns
363.00	363.30	Voir géologie.	0.30	B56250	161	ns	0.0161	44	ns	0.0044	0.70	ns	0.70	9	ns	ns	ns	ns	0.009	ns	ns	ns
363.30	363.60	Éponte inférieure.	0.30	B56251	6	ns	0.0006	23	ns	0.0023	0.10	ns	0.10	3	ns	ns	ns	ns	0.003	ns	ns	ns
367.10	367.40	Éponte supérieure.	0.30	B56252	4	ns	0.0004	22	ns	0.0022	0.05	ns	0.05	3	ns	ns	ns	ns	0.003	ns	ns	ns
367.40	367.80	25% de VN.	0.40	B56253	13	ns	0.0013	18	ns	0.0018	0.05	ns	0.05	3	ns	ns	ns	ns	0.003	ns	ns	ns
367.80	368.10	Éponte inférieure.	0.30	B56254	5	ns	0.0005	23	ns	0.0023	0.10	ns	0.10	3	ns	ns	ns	ns	0.003	ns	ns	ns

From (m)	To (m)	Description	Length (m)	Sample No.	SiO2 (%)	TiO2 (%)	Al2O3 (%)	Fe2O3 (%)	MnO (%)	MgO (%)	CaO (%)	Na2O (%)	K2O (%)	P2O5 (%)	Cr2O3 (%)	LOI (%)	Total (%)
370.00	370.20	11D, Por-q, (12J).	0.20	B56010	57.49	0.94	15.18	6.48	0.06	3.90	7.08	3.35	0.16	0.22	0.02	4.85	99.76

Sample No.	From (m)	To (m)	Length (m)	Ba (ppm)	Cr (ppm)	Sr (ppm)	Rb (ppm)	Zr (ppm)	Y (ppm)	Nb (ppm)	As (ppm)	Cu (ppm)	Zn (ppm)	Ag (ppm)	Au30 (ppb)	Sb (ppm)	Pb (ppm)	TiO2_Zr	Al2O3_TiO2	Zr_Y	Ish	CaO_MgO	Na2O_K2O	Aluminum
B56010	370.00	370.20	0.20	196	ns	237	5	104	22	4	2.5	4	19	0.1	3	0.1	7	90	16	4.7	28	1.82	20.94	1.43



Project: Bevcon
 Drill Hole: 311-29B
 Units: meters

Township: LOUVICOURT
 Range:
 Lot:

Claim:
 Zone:
 Ref.:

Printed: January 18, 2001

NTS: 32C/03 MTM Zone: 9

Coordinates at collar

Azimuth: 195° 0'
 Dip: -65° 0'

Total length: 425.50
 Overburden:
 Casing left: Yes

Field Grid

Line:
 Station:
 Elevation:

Mining Grid

Longitude:
 Latitude:
 Elevation:

NAD Coordinates

Longitude: 234 415.00
 Latitude: 5 327 836.30
 Elevation: 3 338.67

Sampling

Basic Assays (lab): B56255-B56272 (CHIMITEC BONDAR CLEGG)
 Lithology (lab): B56011 (CHIMITEC BONDAR CLEGG)

Log date: August 30, 2000
 Collar surveying date:
 Cementing date:
 Relogging date:
 Drilling started: August 23, 2000
 Drilling finished: August 29, 2000

People

Geologist: M. LACEY
 Contractor: FORAGE MERCIER
 Re-log:

Core

Stored: VAL-D'OR EXPLORATION OFFICE

Size: BQ

Pulse EM Survey

Performed: Yes

Depth of survey: 0.00

Miscellaneous

Purpose: Structure aurifère E-O -50m vert.; Gîte Abitibi Copper-500m; Structure syn-volc. NNO.
 Remarks: -Codification révisé par Martin Lapointe.

Directional data

Depth	Azimuth	Dip	Type of test	Depth	Azimuth	Dip	Type of test	Depth	Azimuth	Dip	Type of test
0.00	195° 0'	-65° 0'		287.80	194° 3'	-61° 30'	M				
21.00	193° 56'	-65° 0'	M	289.00	194° 4'	-62° 0'	M				
27.50	193° 36'	-64° 54'	X	292.00	194° 5'	-61° 30'	M				
48.50	193° 6'	-64° 12'	X	295.00	194° 6'	-62° 0'	X				
87.50	194° 36'	-64° 6'	X	298.00	194° 7'	-61° 30'	M				
108.00	194° 19'	-65° 0'	M	301.00	194° 9'	-62° 0'	M				
117.00	194° 11'	-65° 0'	M	304.00	194° 10'	-61° 30'	M				
129.00	194° 1'	-64° 0'	M	310.00	194° 13'	-62° 0'	M				
138.00	193° 54'	-62° 30'	X	319.50	194° 18'	-61° 12'	X				
141.00	193° 51'	-63° 30'	M	325.00	194° 18'	-62° 30'	M				
153.00	193° 40'	-63° 0'	M	328.00	194° 18'	-62° 0'	M				
167.00	193° 26'	-62° 30'	M	339.00	194° 18'	-61° 30'	A				
176.00	193° 17'	-62° 30'	M	350.00	197° 36'	-59° 6'	X				
191.00	193° 3'	-62° 0'	M	353.00	196° 57'	-58° 30'	M				
194.00	193° 0'	-62° 18'	X	356.00	196° 18'	-58° 36'	X				
203.00	193° 8'	-61° 0'	M	362.00	196° 32'	-58° 30'	M				
209.00	193° 14'	-61° 0'	M	368.00	196° 47'	-58° 0'	M				
215.00	193° 19'	-61° 30'	M	374.00	197° 1'	-58° 30'	M				
224.00	193° 28'	-60° 0'	M	376.00	197° 6'	-56° 0'	A				
230.00	193° 33'	-61° 0'	M	380.00	197° 16'	-56° 30'	M				
236.00	193° 39'	-62° 0'	M	386.00	197° 30'	-55° 6'	X				
242.00	193° 44'	-62° 0'	M	392.00	197° 6'	-54° 30'	M				
245.80	193° 48'	-61° 36'	X	404.00	196° 18'	-53° 54'	X				
254.00	193° 51'	-62° 0'	M	416.00	195° 59'	-53° 30'	M				
266.00	193° 55'	-62° 0'	M	421.00	195° 52'	-52° 0'	A				

From (m)	To (m)	Description	Sample No.	Length (m)	Au_avg (g/t)	Cu_avg (%)	Zn_avg (%)	Ag_avg (g/t)
376.00	425.50	<p>11D, Por-q</p> <p>TONALITE À CRISTAUX DE QUARTZ</p> <p>Voir 311-29A</p> <p>Intrusif de type Bevcon. Unité massive, aphanitique, homogène, de couleur vert moyen à gris moyen lorsque non altérée. Aussi, elle est habituellement de dureté moyenne, non magnétique, non carbonatisée. Altération alternant entre la silicification (et albitisation?), plus abondante à la portion supérieure, et la chloritisation (rare). On note la présence de <1% de quartz bleuté hypidiomorphique, très mal défini et pouvant atteindre jusqu'à 5mm à partir de 151.9m dans le trou initial. Recoupée par quelques veinules de quartz-carbonate variant de 50-55°AC. Schistosité généralement faible à absente. Contact supérieur occupé par une zone de failles à 30°AC.</p>						
		377.20 - 377.50 Éponte supérieure.	B56255	0.30	0.003	0.0005	0.0038	0.10
		<p>377.50 - 382.30 Ser,BKChI,Fit,VLc</p> <p>SÉRICITISATION, CHLORITE NOIRE, FAILLES, VEINULES DE CARBONATE</p> <p>Altération moyenne en séricite. Altération faible à moyenne et intermittente en chlorite noire? Intervalle vert-jaunâtre à noir. Textures primaires presque toutes détruites. Quelques plans mm de boue de failles à 55-60°AC (failles mineures). Intervalle issu de la portion après le coin. 3-5% de veinules mm de carbonate ±continues variant de 55-60 à 155°AC (pendage inverse p/r à la schistosité). Schistosité à 55-60°AC.</p>						
		377.50 - 379.00 Zone SerChI. 3% VL c.	B56256	1.50	0.003	0.0006	0.0049	0.05
		379.00 - 380.50 Zone SerChI. 2% VL c.	B56257	1.50	0.003	0.0032	0.0057	0.10
		380.50 - 382.00 Zone SerChI. 3-5% VL c.	B56258	1.50	0.030	0.0020	0.0061	0.50
		382.00 - 382.30 Zone SerChI. 5-7% VL c.	B56259	0.30	0.003	0.0005	0.0072	0.10
		382.30 - 382.60 Éponte inférieure.	B56260	0.30	0.006	0.0003	0.0041	0.05
		386.90 - 387.20 Éponte supérieure.	B56261	0.30	0.003	0.0004	0.0050	0.05
		<p>387.20 - 387.40 VNq,Bo?</p> <p>VEINE DE QUARTZ, BORNITE?</p> <p>Veine de quartz à 25°AC. Quartz blanchâtre, laiteux. Traces d'hématite. Aucune minéralisation visible associée à la veine. <1% de bornite? dans une fracture (placage) à 140°AC (pendage inverse p/r à la veine). On ne voit plus qu'un reflet rougeâtre, terne et métallique.</p>						
		387.20 - 387.50 50% de VN	B56262	0.30	0.003	0.0005	0.0038	0.10
		387.50 - 387.80 Éponte inférieure.	B56263	0.30	0.003	0.0007	0.0070	0.05
		<p>388.40 - 418.50 Car</p> <p>CARBONATISATION</p> <p>Altération faible à moyenne en calcite de la matrice. Réaction légère à moyenne à l'acide chlorhydrique.</p>						
		401.10 - 401.40 Éponte supérieure. 2-3% VL cq.	B56264	0.30	0.066	0.0075	0.0042	0.20
		<p>401.40 - 401.80 VNcq</p> <p>VEINE DE CARBONATE-QUARTZ</p> <p>Veine de carbonate-quartz à 80°AC. 55-60% de carbonate de couleur blanchâtre à beige. 25% de quartz de couleur gris pâle à blanchâtre. 10-15% d'épentes chloritisées. Rares fractures hématisées à 15°AC recoupant la veine. 3-5% de veinules mm de tourmaline noire à 80°AC. Aucun sulfure visible.</p>						
		401.40 - 401.80 Voir géologie.	B56265	0.40	0.003	0.0017	0.0081	0.05

From (m)	To (m)	Description	Sample No.	Length (m)	Au_avg (g/t)	Cu_avg (%)	Zn_avg (%)	Ag_avg (g/t)
		401.80 - 402.10 Éponte inférieure. 3-5% VL cq.	B56266	0.30	0.003	0.0037	0.0055	0.10
	416.30 - 416.60	Chi CHLORITISATION Altération moyenne en chlorite verte. Textures primaires détruites, schistosité pratiquement absente.						
		416.30 - 416.60 Éponte supérieure.	B56267	0.30	0.003	0.0006	0.0044	0.10
	416.60 - 416.70	Chi, VNqc CHLORITISATION, VEINES DE QUARTZ-CARBONATE 15% de veines cm et discontinues de quartz-carbonate à 65°AC. 40% de quartz grisâtre, 40% d'épentes chloritisées, 18% de carbonate blanchâtre localement dissout. Le carbonate bréchifie le quartz. 2% de tourmaline noire spatialement associée aux fragments d'épentes et recoupant le quartz selon 55-60°AC.						
		416.60 - 416.90 7% VL cq. 1-2% Cp.	B56268	0.30	0.058	0.0683	0.0056	0.80
	416.70 - 416.90	Chi CHLORITISATION Idem à 416,3 - 416,6m.						
		416.90 - 417.20 Éponte inférieure.	B56269	0.30	0.003	0.0009	0.0046	0.05
		423.20 - 423.50 Éponte supérieure. 1-2% VL c.	B56270	0.30	0.003	0.0008	0.0053	0.05
	423.50 - 423.60	Mag, VLqcPy MAGNÉTIQUE, VEINULE DE QUARTZ-CARBONATE-PYRITE Magnétisme moyen localement. Veine de quartz-carbonate de 3cm à 25°AC contenant 35-40% d'amas? cm de pyrite massive. La pyrite pourrait aussi être postérieure à la veine et être sous forme de fragments. Présence d'hématite dans la veine.						
		423.50 - 423.80 5-7% VL c. 8-10% Py.	B56271	0.30	0.053	0.0161	0.0038	0.30
	423.60 - 425.40	Mag MAGNÉTIQUE Magnétisme moyen localement.						
		423.80 - 424.10 Éponte inférieure. 3-5% VL c.	B56272	0.30	0.003	0.0009	0.0038	0.20
	425.50	End of hole.						

From (m)	To (m)	Description	Length (m)	Sample No.	Cu_ppm (ppm)	Cu_pct (%)	Cu_avg (%)	Zn_ppm (ppm)	Zn_pct (%)	Zn_avg (%)	Ag_gt (g/t)	Ag_gt1 (g/t)	Ag_avg (g/t)	Au30 (ppb)	Au_gt (g/t)	Au_gt1 (g/t)	Au_gt2 (g/t)	Au_ms (g/t)	Au_avg (g/t)	As (ppm)	Pb (ppm)	Sb (ppm)
377.20	377.50	Éponte supérieure.	0.30	B56255	5	ns	0.0005	38	ns	0.0038	0.10	ns	0.10	3	ns	ns	ns	ns	0.003	ns	ns	ns
377.50	379.00	Zone SerChl. 3% VL c.	1.50	B56256	6	ns	0.0006	49	ns	0.0049	0.05	ns	0.05	3	ns	ns	ns	ns	0.003	ns	ns	ns
379.00	380.50	Zone SerChl. 2% VL c.	1.50	B56257	32	ns	0.0032	57	ns	0.0057	0.10	ns	0.10	3	ns	ns	ns	ns	0.003	ns	ns	ns
380.50	382.00	Zone SerChl. 3-5% VL c.	1.50	B56258	20	ns	0.0020	61	ns	0.0061	0.50	ns	0.50	30	ns	ns	ns	ns	0.030	ns	ns	ns
382.00	382.30	Zone SerChl. 5-7% VL c.	0.30	B56259	5	ns	0.0005	72	ns	0.0072	0.10	ns	0.10	3	ns	ns	ns	ns	0.003	ns	ns	ns
382.30	382.60	Éponte inférieure.	0.30	B56260	3	ns	0.0003	41	ns	0.0041	0.05	ns	0.05	6	ns	ns	ns	ns	0.006	ns	ns	ns
386.90	387.20	Éponte supérieure.	0.30	B56261	4	ns	0.0004	50	ns	0.0050	0.05	ns	0.05	3	ns	ns	ns	ns	0.003	ns	ns	ns
387.20	387.50	50% de VN	0.30	B56262	5	ns	0.0005	38	ns	0.0038	0.10	ns	0.10	3	ns	ns	ns	ns	0.003	ns	ns	ns
387.50	387.80	Éponte inférieure.	0.30	B56263	7	ns	0.0007	70	ns	0.0070	0.05	ns	0.05	3	ns	ns	ns	ns	0.003	ns	ns	ns
401.10	401.40	Éponte supérieure. 2-3% VL cq.	0.30	B56264	75	ns	0.0075	42	ns	0.0042	0.20	ns	0.20	66	ns	ns	ns	ns	0.066	ns	ns	ns
401.40	401.80	Voir géologie.	0.40	B56265	17	ns	0.0017	81	ns	0.0081	0.05	ns	0.05	3	ns	ns	ns	ns	0.003	ns	ns	ns
401.80	402.10	Éponte inférieure. 3-5% VL cq.	0.30	B56266	37	ns	0.0037	55	ns	0.0055	0.10	ns	0.10	3	ns	ns	ns	ns	0.003	ns	ns	ns
416.30	416.60	Éponte supérieure.	0.30	B56267	6	ns	0.0006	44	ns	0.0044	0.10	ns	0.10	3	ns	ns	ns	ns	0.003	ns	ns	ns
416.60	416.90	7% VL cq. 1-2% Cp.	0.30	B56268	683	ns	0.0683	56	ns	0.0056	0.80	ns	0.80	58	ns	ns	ns	ns	0.058	ns	ns	ns
416.90	417.20	Éponte inférieure.	0.30	B56269	9	ns	0.0009	46	ns	0.0046	0.05	ns	0.05	3	ns	ns	ns	ns	0.003	ns	ns	ns
423.20	423.50	Éponte supérieure. 1-2% VL c.	0.30	B56270	8	ns	0.0008	53	ns	0.0053	0.05	ns	0.05	3	ns	ns	ns	ns	0.003	ns	ns	ns
423.50	423.80	5-7% VL c. 8-10% Py.	0.30	B56271	161	ns	0.0161	38	ns	0.0038	0.30	ns	0.30	53	ns	ns	ns	ns	0.053	ns	ns	ns
423.80	424.10	Éponte inférieure. 3-5% VL c.	0.30	B56272	9	ns	0.0009	38	ns	0.0038	0.20	ns	0.20	3	ns	ns	ns	ns	0.003	ns	ns	ns

From (m)	To (m)	Description	Length (m)	Sample No.	SiO2 (%)	TiO2 (%)	Al2O3 (%)	Fe2O3 (%)	MnO (%)	MgO (%)	CaO (%)	Na2O (%)	K2O (%)	P2O5 (%)	Cr2O3 (%)	LOI (%)	Total (%)
389.30	389.50	11D,1%Por-q,Car,IlHem.	0.20	B56011	55.64	0.82	15.57	6.02	0.06	3.44	5.91	3.89	0.47	0.20	0.02	7.76	99.80

Sample No.	From (m)	To (m)	Length (m)	Ba (ppm)	Cr (ppm)	Sr (ppm)	Rb (ppm)	Zr (ppm)	Y (ppm)	Nb (ppm)	As (ppm)	Cu (ppm)	Zn (ppm)	Ag (ppm)	Au30 (ppb)	Sb (ppm)	Pb (ppm)	TiO2_Zr	Al2O3_TiO2	Zr_Y	IsH	CaO_MgO	Na2O_K2O	Aluminum
B56011	389.30	389.50	0.20	194	ns	187	12	103	19	4	3.2	4	41	0.2	3	0.3	6	80	19	5.4	29	1.72	8.28	1.52



Project: Bevcon
 Drill Hole: 311-29C
 Units: meters

Township: LOUVICOURT
 Range:
 Lot:

Claim:
 Zone:
 Ref.:

Printed: January 18, 2001

NTS: 32C/03 MTM Zone: 9

Coordinates at collar

Azimuth: 195° 0'
 Dip: -65° 0'
 Total length: 1 538.10
 Overburden:
 Casing left: Yes

Field Grid

Line:
 Station:
 Elevation:

Mining Grid

Longitude:
 Latitude:
 Elevation:

NAD Coordinates

Longitude: 234 415.00
 Latitude: 5 327 836.30
 Elevation: 3 338.67

Sampling

Basic Assays (lab): B56273-B56643 (CHIMITEC BONDAR CLEGG)
 Lithology (lab): B56012-B56052 (CHIMITEC BONDAR CLEGG)

Log date:
 Collar surveying date:
 Cementing date:
 Relogging date:
 Drilling started: August 29, 2000
 Drilling finished: October 2, 2000

People

Geologist: M. LACEY
 Contractor: FORAGE MERCIER
 Releg:

Core

Stored: VAL-D'OR EXPLORATION OFFICE

Size: BQ

Pulse EM Survey

Performed: Yes

Depth of survey: 0.00

Miscellaneous

Purpose: Structure aurifère E-O -50m vert.; Gîte Abitibi Copper-500m; Structure syn-voic. NNO.
 Remarks: -Codification révisé par Martin Lapointe.

Directional data

Depth	Azimuth	Dip	Type of test	Depth	Azimuth	Dip	Type of test	Depth	Azimuth	Dip	Type of test	Depth	Azimuth	Dip	Type of test
0.00	195° 0'	-65° 0'		287.80	194° 3'	-61° 30'	M	428.00	195° 41'	-51° 30'	M	663.00	202° 20'	-43° 0'	M
21.00	193° 6'	-65° 0'	M	289.00	194° 4'	-62° 0'	M	431.00	195° 36'	-51° 24'	X	672.00	202° 9'	-43° 0'	M
27.50	193° 36'	-64° 54'	X	292.00	194° 5'	-61° 30'	M	437.00	199° 6'	-50° 42'	X	684.00	201° 55'	-43° 0'	M
48.50	193° 57'	-64° 12'	X	295.00	194° 6'	-62° 0'	X	446.00	199° 7'	-50° 0'	M	690.00	201° 49'	-42° 0'	M
87.50	194° 36'	-64° 6'	X	298.00	194° 7'	-61° 30'	M	458.00	199° 8'	-50° 30'	M	702.00	201° 35'	-42° 0'	M
108.00	194° 19'	-65° 0'	M	301.00	194° 9'	-62° 0'	M	467.00	199° 9'	-50° 0'	M	735.00	200° 57'	-42° 30'	M
117.00	194° 11'	-65° 0'	M	304.00	194° 10'	-61° 30'	M	476.00	199° 10'	-50° 0'	M	747.00	200° 43'	-42° 0'	M
129.00	194° 1'	-64° 0'	M	310.00	194° 13'	-62° 0'	M	485.00	199° 10'	-50° 0'	M	753.00	200° 36'	-40° 30'	X
138.00	193° 54'	-62° 30'	X	319.50	194° 18'	-61° 12'	X	491.00	199° 11'	-49° 30'	M	762.00	200° 18'	-41° 0'	M
141.00	193° 51'	-63° 30'	M	325.00	194° 54'	-62° 30'	M	497.00	199° 11'	-51° 0'	M	774.00	199° 53'	-41° 0'	M
153.00	193° 40'	-63° 0'	M	328.00	195° 13'	-62° 0'	M	503.00	199° 12'	-48° 48'	X	786.00	199° 28'	-41° 30'	M
167.00	193° 26'	-62° 30'	M	339.00	196° 25'	-61° 30'	A	519.00	200° 54'	-48° 30'	M	813.00	198° 33'	-41° 0'	M
176.00	193° 17'	-62° 30'	M	350.00	197° 36'	-59° 6'	X	530.00	202° 4'	-48° 0'	M	825.00	198° 8'	-40° 0'	M
191.00	193° 3'	-62° 0'	M	353.00	196° 57'	-58° 30'	M	542.00	203° 20'	-48° 0'	M	831.00	197° 56'	-39° 0'	M
194.00	193° 0'	-62° 18'	X	356.00	196° 18'	-58° 36'	X	554.00	204° 36'	-47° 42'	X	837.00	197° 43'	-39° 0'	M
203.00	193° 8'	-61° 0'	M	362.00	196° 32'	-58° 30'	M	566.00	203° 52'	-47° 30'	M	840.00	197° 37'	-38° 30'	M
209.00	193° 14'	-61° 0'	M	368.00	196° 47'	-58° 0'	M	575.00	203° 19'	-48° 0'	M	855.00	197° 6'	-38° 30'	M
215.00	193° 19'	-61° 30'	M	374.00	197° 1'	-58° 30'	M	587.00	202° 35'	-47° 30'	M	861.00	196° 54'	-37° 0'	X
224.00	193° 28'	-60° 0'	M	376.00	197° 6'	-56° 0'	A	600.00	201° 47'	-46° 30'	M	867.00	196° 53'	-38° 0'	M
230.00	193° 33'	-61° 0'	M	380.00	197° 16'	-56° 30'	M	603.00	201° 36'	-45° 30'	X	873.00	196° 52'	-38° 0'	M
236.00	193° 39'	-62° 0'	M	386.00	197° 30'	-55° 6'	X	606.00	201° 39'	-47° 0'	M	879.00	196° 51'	-37° 0'	M
242.00	193° 44'	-62° 0'	M	392.00	197° 6'	-54° 30'	M	612.00	201° 46'	-46° 0'	M	891.00	196° 50'	-37° 0'	M
245.80	193° 48'	-61° 36'	X	404.00	196° 18'	-53° 54'	X	624.00	201° 58'	-46° 0'	M	900.00	196° 48'	-36° 30'	M
254.00	193° 51'	-62° 0'	M	416.00	195° 59'	-53° 30'	M	642.00	202° 17'	-45° 30'	M	906.00	196° 48'	-36° 30'	M
266.00	193° 55'	-62° 0'	M	421.00	195° 52'	-52° 0'	A	654.00	202° 30'	-43° 42'	X	918.00	196° 46'	-37° 0'	M

<u>Depth</u>	<u>Azimuth</u>	<u>Dip</u>	<u>Type of test</u>
933.00	196° 44'	-37° 0'	M
939.00	196° 43'	-36° 30'	M
945.00	196° 42'	-37° 0'	M
951.00	196° 41'	-36° 0'	M
957.00	196° 40'	-36° 0'	M
960.00	196° 40'	-35° 30'	M
1068.00	196° 25'	-32° 0'	M
1086.00	196° 22'	-31° 18'	M
1092.50	196° 21'	-30° 36'	M
1116.00	196° 18'	-28° 0'	M
1122.00	196° 17'	-29° 24'	M
1128.00	196° 16'	-26° 30'	M
1140.00	196° 15'	-26° 30'	M
1158.00	196° 12'	-27° 48'	X
1167.00	196° 6'	-26° 0'	M
1176.00	196° 1'	-26° 0'	M
1182.00	195° 57'	-26° 0'	M
1194.00	195° 49'	-25° 30'	M
1206.00	195° 42'	-25° 0'	M
1221.00	195° 32'	-24° 0'	M
1227.00	195° 28'	-24° 0'	M
1233.00	195° 25'	-23° 30'	M
1239.00	195° 21'	-23° 30'	M
1243.00	195° 18'	-23° 0'	M
1272.00	195° 0'	-23° 48'	X
1299.00	194° 19'	-19° 30'	M
1311.00	194° 0'	-19° 30'	M
1326.00	193° 37'	-18° 0'	M
1332.00	193° 28'	-17° 0'	M
1338.00	193° 19'	-18° 0'	M
1344.00	193° 10'	-18° 0'	M
1353.00	192° 56'	-17° 30'	M
1365.00	192° 38'	-17° 0'	M
1374.00	192° 24'	-17° 42'	X
1377.00	192° 27'	-16° 0'	M
1434.00	193° 24'	-16° 24'	X
1480.00	193° 4'	-15° 0'	M
1488.00	193° 0'	-13° 0'	X
1533.00	192° 0'	-12° 0'	X

From (m)	To (m)	Description	Sample No.	Length (m)	Au_avg (g/t)	Cu_avg (%)	Zn_avg (%)	Ag_avg (g/t)	
421.00	552.10	<p>I1D, Por-q, Mag TONALITE À CRISTAUX DE QUARTZ, MAGNÉTIQUE Voir 311-29B Intrusif de type Bevcon. Unité massive, aphanitique, homogène, de couleur vert moyen à gris moyen lorsque non altérée. Aussi, elle est habituellement de dureté moyenne, non carbonatisée. Magnétisme d'intensité variable (faible à forte). Altération alternant entre la silicification (et albitisation?), plus abondante à la portion supérieure, et la chloritisation (rare). On note la présence de <1% de quartz bleuté hypidiomorphe, très mal défini et pouvant atteindre jusqu'à 5mm à partir de 151.9m. Recoupée par quelques veinules de quartz-carbonate variant de 50-55°AC. Schistosité généralement faible à absente. Contact supérieur occupé par une zone de failles à 30°AC.</p> <p>Disparition presque totale des cristaux de quartz bleuté à partir de 542,0m. Traces de QP bleuté à 547,2m.</p> <p>421.00 - 422.80 Mag MAGNÉTIQUE Intervalle faiblement magnétique.</p> <p>423.20 - 423.50 Éponte supérieure. 3-5% VL.</p> <p>423.50 - 423.60 PyMas PYRITE MASSIVE Veine cm de pyrite massive à 25°AC. Altération en silice-hématite. Une veinule de quartz-carbonate à proximité. Aucune chlorite noire ou autre type d'altération VMS.</p> <p>423.50 - 423.80 5% Py. 423.80 - 424.10 Éponte inférieure. 3-5% VL.</p> <p>425.20 - 425.80 Chl CHLORITISATION Altération faible en chlorite de couleur vert foncé. Aspect bréchiqque localement, fragments mm à cm de veines de quartz-carbonate.</p> <p>427.10 - 428.70 Car CARBONATISATION Altération légère en carbonate, réaction légère à l'acide.</p> <p>428.70 - 430.90 Chl CHLORITISATION Altération moyenne en chlorite verte, textures primaires détruites. Intervalle aphanitique et de dureté moindre.</p> <p>432.90 - 434.30 Chl CHLORITISATION Altération moyenne en chlorite verte. Textures primaires détruites. Rares traces de chalcopryrite disséminée.</p> <p>434.60 - 438.60 Mag, Mt MAGNÉTIQUE, MAGNÉTITE Intervalle moyennement à fortement magnétique. 2% de cristaux de magnétite <1mm.</p>							
			B56273	0.30	0.003	0.0006	0.0042	0.05	
			B56274	0.30	0.011	0.0065	0.0038	0.05	
			B56275	0.30	0.003	0.0014	0.0040	0.05	

From (m)	To (m)	Description	Sample No.	Length (m)	Au_avg (g/t)	Cu_avg (%)	Zn_avg (%)	Ag_avg (g/t)
		447.70 - 450.10 Hem,Mag,VLcPy HÉMATISATION, MAGNÉTIQUE, VEINULES DE CARBONATE-PYRITE Altération faible et intermittente en hématite. Intervalle localement teinté en rose. Fractures et veinules de carbonate variant de 20 à 140°AC (pendage opposé). Rares veinules pouvant contenir 1% de pyrite, 1% de chalcoppyrite et <1% de chalcosine (terreux, gris moyen, amorphe). Intervalle moyennement magnétique.						
		447.70 - 449.20 Zone Hem. 10-12% VL c. 1% Py, 1% Cp, <1% Cc.	B56276	1.50	0.010	0.0065	0.0058	0.05
		449.20 - 449.80 1% VL c.	B56277	0.60	0.003	0.0019	0.0068	0.05
		449.80 - 450.10 Éponte supérieure. Aucune VL.	B56278	0.30	0.006	0.0042	0.0067	0.05
		450.10 - 454.20 VNqcPy,VLtm VEINE DE QUARTZ-CARBONATE-PYRITE, VEINULES DE TOURMALINE 70% de matériel de veine comprenant 90% de quartz laiteux, 5% de carbonate et 5% de tourmaline dans les fractures et en veinules mm irrégulières à 90°AC. 40% d'épontes chloritisées contenant 10% de veines et veinules mm à cm de quartz-carbonate de 20 à 170°AC (pendage opposé). La pyrite se retrouve principalement associée aux zones d'épontes des veinules sous forme de cristaux grossiers (2mm) et d'amas mm à cm. Contact supérieur principal franc à 45°AC. Contact inférieur principal broyé par la foreuse. Les proportions sont décrites dans les échantillons.						
		450.10 - 450.40 60% VN, 40% I1D. 95% q, 3% tm, 1-2% c.	B56279	0.30	0.007	0.0005	0.0044	0.05
		450.40 - 451.80 95% VN, 5% I1D? Chl. 95% q, 3-5% c, 1-2% tm.	B56280	1.40	0.003	0.0006	0.0007	0.05
		451.80 - 452.80 70% I1D? Chl. 30% VN & VL. 60% q, 35% c, 5% Py.	B56281	1.00	0.039	0.0005	0.0115	0.05
		452.80 - 454.20 65% VN, 35% I1D? Chl. 90% q, 5% c, 3-5% tm, tr. Cp.	B56282	1.40	0.003	0.0033	0.0038	0.05
		454.20 - 454.50 Éponte inférieure. 1% VL c.	B56283	0.30	0.003	0.0003	0.0130	0.20
		461.70 - 462.00 Éponte supérieure. 3% VL cq.	B56284	0.30	0.021	0.0010	0.0031	0.05
		462.00 - 462.10 VNqcCp,Fit VEINE DE QUARTZ-CARBONATE-CHALCOPPYRITE, FAILLE Veine de quartz-carbonate à 5-10°AC contenant 3% de chalcoppyrite. Le carbonate est souvent dissout. Traces de bornite et de pyrite. Contact supérieur faillé, niveau mm de boue de faille à 5-10°AC.						
		462.00 - 462.30 2-3% VL cq. 3% VL cqCpBoPy.	B56285	0.30	0.164	0.0251	0.0029	0.20
		462.30 - 462.60 Éponte inférieure. 2-3% VL cq.	B56286	0.30	0.014	0.0005	0.0034	0.05
		462.80 - 462.90 Sil? ROCHE D'ASPECT SILICIFIÉ? Altération forte en silice? Intervalle grisâtre, très siliceux. Contacts francs mais irréguliers à 35°AC. Pourrait être dyke felsique aphanitique.						
		470.70 - 471.00 Éponte supérieure. <1% Frc c.	B56287	0.30	0.097	0.1066	0.0043	0.20
		471.00 - 471.80 VNqcCp,StgCp VEINES DE QUARTZ-CARBONATE-CHALCOPPYRITE, CHALCOPPYRITE 5% de veines de quartz cm de 40 à 60°AC, deux veines cm (2%) de carbonate±quartz à 40°AC et une veinule mm (<1%) de quartz-carbonate-chalcoppyrite à 10°AC. Aussi, présence de chalcoppyrite (2%) sous forme de "stringers" recoupant la roche et une veine de quartz-carbonate.						
		471.00 - 471.80 8-10%VL. Voir géologie.	B56288	0.80	0.071	0.0772	0.0051	0.20

From (m)	To (m)	Description	Sample No.	Length (m)	Au_avg (g/t)	Cu_avg (%)	Zn_avg (%)	Ag_avg (g/t)
		471.80 - 472.10 Éponte inférieure. <1% Frc c.	B56289	0.30	0.007	0.0069	0.0049	0.05
		473.00 - 477.40 Sil,Hem ROCHE D'ASPECT SILICIFIÉ, HÉMATISATION Altération moyenne en silice ainsi que faible et intermittente en hématite. Intervalle dur, vitreux et localement rosâtre.						
		475.90 - 485.10 mg-cg GRAINS MOYENS À GROSSIERS Granulométrie plus grossière. Composition dioritique.						
		477.40 - 477.70 Epl ÉPIDOTISATION Altération moyenne en épidote, altération des cristaux de plagioclase. Intervalle jaunâtre.						
		478.70 - 479.20 Chi CHLORITISATION Altération moyenne en chlorite verte. Textures primaires partiellement oblitérées, intervalle de couleur vert moyen à foncé et à grains plus fins. Altération centrée sur une structure (fracture?) à 25°AC à 479,1m. La fraction en périphérie de la structure pourrait être un intrusif mafique.						
		483.00 - 484.30 Chi CHLORITISATION Similaire à précédent.						
		484.30 - 485.10 IID TONALITE Xénolite tonalitique (encaissant). Contact supérieur franc à 60°AC. Contact inférieur franc à 25-30°AC.						
		485.10 - 489.40 I3A,Mag,Chi,Car,Pbl-ca GABBRO, MAGNÉTIQUE, CHLORITISATION, CARBONATISATION, PORPHYROBLASTES DE CALCITE Massif, homogène, équi-granulaire, de couleur vert foncé, très légèrement magnétique et moyennement carbonatisé. Jusqu'à 30% de porphyroblastes mm de calcite de couleur blanchâtre à translucide. Aucune minéralisation visible. Altération dominante en chlorite verte et calcite. Épidotisation très légère. Schistosité inexistante. Recoupé par de rares veinules mm de carbonate à 135°AC (pendage opposé p/r au contact inférieur). Contact supérieur franc à 30-35°AC. Le premier 30cm montre une texture sphérolitique?, 70% d'amas sphériques de dimension mm à cm, mal définis, de couleur jaunâtre (épidote) baignant dans une mésostase de couleur vert foncé. Contact inférieur franc à 50°AC recoupé par une fracture (faille mineure) à 160°AC (pendage opposé).						
		492.70 - 493.40 I3A,Mag,Car,Chi GABBRO, MAGNÉTIQUE, CHLORITISATION, CARBONATISATION Idem à 485,1 à 489,4m. Altération très forte en calcite et forte en chlorite verte. Contact supérieur flou à 75°AC. Contact inférieur franc à 5°AC.						
		508.00 - 508.30 Éponte supérieure. 2% VL cqPy.	B56290	0.30	0.003	0.0005	0.0056	0.05

From (m)	To (m)	Description	Sample No.	Length (m)	Au_avg (g/t)	Cu_avg (%)	Zn_avg (%)	Ag_avg (g/t)
		508.30 - 508.90 VNqc VEINES DE QUARTZ-CARBONATE 30% de veines et veinules mm à cm de quartz-carbonate variant de 10-15 à 150°AC (pendage opposé). <1% de pyrite automorphe associée aux veinules.						
		508.30 - 508.90 Voir géologie.	B56291	0.60	0.003	0.0039	0.0035	0.20
		508.90 - 509.70 SII,VLcq ROCHE D'ASPECT SILICIFIÉ, VEINULES DE CARBONATE-QUARTZ 40% de zones moyennement altérées en silice. Intervalles cm à dm, de couleur blanchâtre et durs. 3% de veinules mm de carbonate variant de 5 à 110°AC (pendage inverse).						
		508.90 - 509.70 Éponte inférieure. 3% VL cq.	B56292	0.80	0.003	0.0017	0.0041	0.20
		509.70 - 510.00 2% VL cq.	B56293	0.30	0.003	0.0003	0.0075	0.05
		510.00 - 511.10 Hem HÉMATISATION Altération faible en hématite. Mésostase légèrement rosâtre.						
		510.00 - 511.10 Zone Hem.	B56294	1.10	0.003	0.0005	0.0050	0.05
		511.10 - 511.60 3-5% VL qcPy(2-3%).	B56295	0.50	0.003	0.0010	0.0115	0.20
		511.60 - 511.70 VLqcPyCp VEINULE DE QUARTZ±CARBONATE-PYRITE-CHALCOPYRITE Veinule de 1cm de quartz±carbonate à 20°AC. 1% de pyrite et 1% de chalcopryrite associées à la veinule.						
		511.60 - 511.90 8-10% de matériel de veine.	B56296	0.30	0.040	0.0461	0.0064	0.20
		511.90 - 513.10 Éponte supérieure. 2% VL cq.	B56297	1.20	0.003	0.0067	0.0103	0.05
		513.10 - 513.90 Tic,VNqcPy,VLtm TALQUEUX, VEINE DE QUARTZ-CARBONATE-PYRITE, VEINULES DE TOURMALINE 85% de matériel de veines. 70% de quartz blanc laiteux et 25% de carbonate blanchâtre. 2-3% de tourmaline sous forme de veinules irrégulières, <1mm ou de fractures à 85°AC. Rares traces de pyrite. Contact supérieur franc à 30°AC. Contact inférieur irrégulier à 30-35°AC. Épentes talqueuses.						
		513.10 - 513.90 Voir géologie.	B56298	0.80	0.003	0.0009	0.0035	0.05
		513.90 - 514.20 Éponte inférieure. 3-5% VL cq.	B56299	0.30	0.003	0.0012	0.0065	0.05
		522.20 - 523.90 Ser,Chi,Epi SÉRICITISATION, CHLORITISATION, ÉPIDOTISATION Alternance d'altération en chlorite-séricite et en épidote. Textures primaires partiellement oblitérées. Couleur variant de vert jaunâtre à vert moyen. Intervalle de dureté faible à moyenne.						
		529.30 - 530.90 I3A,Chi GABBRO, CHLORITISATION Similaire à précédent. 1-2% d'amas mm de chlorite verte alignés selon la schistosité à 30-35°AC. Altération moyenne à forte en chlorite verte et faible à moyenne en séricite. Contact supérieur franc à 40-45°AC. Contact inférieur franc à 25°AC. Xénotite de tonalite de 529,5 à 529,7m.						

From (m)	To (m)	Description	Sample No.	Length (m)	Au_avg (g/t)	Cu_avg (%)	Zn_avg (%)	Ag_avg (g/t)
		530.60 - 530.90 Éponte supérieure. I3A, IHem.	B56300	0.30	0.003	0.0019	0.0028	0.05
530.90 - 552.10		BKChI CHLORITE NOIRE Altération faible en chlorite noire, sous forme d'amas mm (2%) de couleur noirâtre.						
530.90 - 531.00		Ser,Hem,VNqcPy SÉRICITISATION, HÉMATISATION, VEINE DE QUARTZ-CARBONATE-PYRITE Veine cm de quartz-carbonate à 20-25°AC. 2-3% de pyrite sous forme de dissémination dans le quartz et d'amas mm à cm. Veine bréchifiée par un phénomène de séricitisation et d'hématisation.						
		530.90 - 531.20 Zone Hem,Ser. 25% de VN.	B56301	0.30	0.003	0.0029	0.0025	0.05
		531.20 - 531.50 Éponte inférieure. I1D ChI noire.	B56302	0.30	0.003	0.0002	0.0045	0.20
		541.70 - 542.00 Éponte supérieure. I1D ChI noire.	B56303	0.30	0.003	0.0038	0.0056	0.05
542.00 - 544.20		Ser,VLcqPy SÉRICITISATION, VEINULES DE CARBONATE±QUARTZ-PYRITE Altération moyenne et intermittente en séricite, intervalle localement jaunâtre à beige et mou. 10-15% de veinules et fragments de veinules mm à cm, zonées, de carbonate±quartz de 20 à 120°AC (pendage opposé) contenant jusqu'à 15% de pyrite automorphe. 90% de carbonate blanchâtre, 5-7% de quartz gris pâle localisé au centre des injections.						
		542.00 - 543.50 Voir géologie. 3% Py.	B56304	1.50	0.003	0.0019	0.0045	0.20
		543.50 - 544.20 Voir géologie.	B56305	0.70	0.003	0.0034	0.0046	0.20
		544.20 - 544.50 2% VN.	B56306	0.30	0.003	0.0078	0.0065	0.30
		544.50 - 545.50 3% VN.	B56307	1.00	0.003	0.0027	0.0051	0.05
		545.50 - 545.80 Éponte supérieure. 5% VN. Rares plans serpentinisés.	B56308	0.30	0.003	0.0053	0.0061	0.40
545.80 - 546.10		VNcq,VLtm VEINE DE CARBONATE±QUARTZ, VEINULES DE TOURMALINE Veine de carbonate de couleur blanchâtre à beige, >3cm n'occupant que la moitié de la carotte. Contact supérieur à 15°AC. Contact intermédiaire à 165 et 30°AC. Contact inférieur à 170°AC. La veine est en forme de "W". Recoupé par des veinules (3%) mm de quartz grisâtre à 40 à 120°AC (pendage opposé) limitées à la veine de carbonate. 1% de tourmaline remplissant des fractures 15°AC.						
		545.80 - 546.10 50% de VN.	B56309	0.30	0.003	0.0012	0.0075	0.05
		546.10 - 546.40 Éponte inférieure. 1-2% VL c.	B56310	0.30	0.003	0.0008	0.0050	0.05
548.30 - 550.10		Ser,ChI SÉRICITISATION, CHLORITISATION Altération faible et intermittente en séricite. Intervalle localement jaunâtre. Chlorite verte très localement présente.						
		551.20 - 551.50 5-7% de VN.	B56311	0.30	0.003	0.0005	0.0032	0.05

From (m)	To (m)	Description	Sample No.	Length (m)	Au_avg (g/t)	Cu_avg (%)	Zn_avg (%)	Ag_avg (g/t)	
552.10	609.80	551.50 - 552.10 Ser,Hem,VNcq SÉRICITISATION, HÉMATISATION, VEINES DE CARBONATE-QUARTZ Légèrement séricitisé et hématisé selon 65°AC. Intervalle localement rosé et jaunâtre. 3-5% de veinules mm à cm de carbonate-quartz de localement contorsionnées. 70% de quartz grisâtre, 30% de carbonate blanchâtre. Le quartz bréchifie le carbonate. Aucune minéralisation visible.							
		551.50 - 552.10 Voir géologie.	B56312	0.60	0.003	0.0008	0.0023	0.05	
		V2J,Mas,Mag,Chl ANDÉSITE MASSIVE, MAGNÉTIQUE, CHLORITISÉE Unité massive, de couleur vert foncé, à grains fins, très souvent magnétique, homogène, équigranaulaire, non carbonatisée. 1-3% de cristaux <1mm de magnétite 1-2% de pyrite automorphe disséminée. Altération dominante en chlorite de couleur vert foncé (moyen à fort) et en séricite (faible). Carbonatation locale d'intensité variant de faible à forte. Recoupée par de rares veinules de carbonate blanchâtre de 0 à 45°AC. À tous les 1-2m, niveaux dm chloritisés contenant jusqu'à 50% de veinules de carbonate de 55 à 75°AC. Aucun niveau amygdalaire. L'angle des veinules et des niveaux chloritisés est relativement constant. Schistosité faible à 65°AC. Contact supérieur franc occupé par une veine de quartz à 60°AC.							
		552.10 - 552.60 VNqc VEINES DE QUARTZ-CARBONATE 55% de veines cm de 10 à 60°AC, 45% d'épontes chloritisées. 90% de quartz blanchâtre à grisâtre. 10% de carbonate blanchâtre. Épontes légèrement séricitisées.							
		552.10 - 552.60 Voir géologie.	B56313	0.50	0.003	0.0059	0.0028	0.30	
		552.60 - 553.20 5-7% VN.	B56314	0.60	0.003	0.0011	0.0025	0.05	
		553.10 - 553.20 VNqc,Py VEINES DE QUARTZ-CARBONATE, PYRITE 70% de veines cm de 50 à 65°AC. 60% de quartz grisâtre, 40% de carbonate blanchâtre. 5% de pyrite disséminée à l'éponte supérieure.							
		553.20 - 553.50 Éponte inférieure. 2-3% VL.	B56315	0.30	0.003	0.0002	0.0031	0.05	
		560.40 - 563.70 Car CARBONATISATION Altération moyenne en calcite, réaction à l'acide chloridrique.							
		563.70 - 566.10 Mas,Py MASSIF, PYRITE Intervalle très massif. Aucune évidence de coulée. Légèrement silicifié et chloritisé. Jusqu'à 10% de pyrite finement disséminée.							
565.80 - 566.10 Éponte supérieure. 2-3% Frc chl.	B56316	0.30	0.003	0.0017	0.0055	0.05			
566.10 - 566.60 Bre,Chl,VLc BRÈCHE, CHLORITISATION, VEINULES DE CARBONATE 5-7% de veinules ou fragments de veinules de carbonate et carbonate-quartz de 55 à 130°AC (pendage opposé). Aspect bréchique dû à une chloritisation moyenne et locale. Fragments mm à cm, sub-arrondis et carbonatisés de couleur bleuté à blanchâtre. Matrice aphanitique de couleur vert foncé.									

From (m)	To (m)	Description	Sample No.	Length (m)	Au_avg (g/t)	Cu_avg (%)	Zn_avg (%)	Ag_avg (g/t)
		566.10 - 566.60 Voir géologie.	B56317	0.50	0.003	0.0014	0.0042	0.05
		566.60 - 566.90 Éponte inférieure. 2% VL c. 2-3% Frc chl.	B56318	0.30	0.003	0.0002	0.0035	0.05
		568.20 - 568.50 Éponte supérieure.	B56319	0.30	0.003	0.0013	0.0045	0.05
		568.50 - 569.70 VLcSutm VEINULES DE CARBONATE-SULFURES-TOURMALINE 8-10% de veinules et fragments de veinules variant de 35 à 80°AC. Carbonate de couleur blanchâtre. Rares traces de pyrite, de chalcopryrite et de tourmaline.						
		568.50 - 569.70 Voir géologie.	B56320	1.20	0.003	0.0034	0.0057	0.05
		569.70 - 570.50 1-2% VL c.	B56321	0.80	0.003	0.0001	0.0041	0.05
		570.50 - 570.90 Ser,VLcPyCp,Py SÉRICITISATION, VEINULES DE CARBONATE-PYRITE-CHALCOPRYRITE, PYRITE 5% de veinules mm à cm de carbonate-quartz. 90% de carbonate blanchâtre, 5% de quartz grisâtre, 2-3% pyrite et 1-2% chalcopryrite. 1% de pyrite automorphe disséminée dans la roche altérée en séricite.						
		570.50 - 570.90 Voir géologie.	B56322	0.40	0.003	0.0042	0.0042	0.05
		570.90 - 571.70 2% VL c.	B56323	0.80	0.003	0.0009	0.0050	0.05
		571.70 - 573.10 Chi,VLcPy,Py CHLORITISATION, VEINULES DE CARBONATE-PYRITE, PYRITE 15% de veinules et fragments de veinules de carbonate variant de 10 à 80°AC. Carbonate de couleur blanchâtre contenant 1% de pyrite automorphe. Traces de pyrite automorphe disséminée dans la roche chloritisée. Brèche hydraulique.						
		571.70 - 572.60 8-10% VL c.	B56324	0.90	0.003	0.0069	0.0044	0.10
		572.60 - 573.10 20% VL c.	B56325	0.50	0.003	0.0079	0.0029	0.30
		573.10 - 574.10 Mag,VLc MAGNÉTIQUE, VEINULES DE CARBONATE Similaire à précédent sauf que l'intervalle est magnétique.						
		573.10 - 574.10 Voir géologie.	B56326	1.00	0.003	0.0063	0.0042	0.20
		574.10 - 575.30 Mag MAGNÉTIQUE Intervalle très magnétique.						
		574.10 - 574.40 Éponte inférieure. 1-2% VL c.	B56327	0.30	0.003	0.0038	0.0046	0.10
		576.40 - 578.80 Mag MAGNÉTIQUE Intervalle moyennement magnétique.						
		579.50 - 582.80 Mag MAGNÉTIQUE Intervalle moyennement magnétique.						

From (m)	To (m)	Description	Sample No.	Length (m)	Au_avg (g/t)	Cu_avg (%)	Zn_avg (%)	Ag_avg (g/t)
582.80 - 588.80		Bre,Pom,Mag BRÉCHIQUE, POLYGÉNIQUE, MAGNÉTIQUE 30% de fragments mm à dm, aphanitiques, anguleux, de couleur gris foncé à noirâtre, non triés, non jointifs de composition intermédiaire à felsique, ±alignés selon la schistosité (35-40°AC). 70% de portion matricielle chloritisée, similaire à l'unité encaissante (I3/V3). Magnétisme moyen à fort. Les fragments ressemblent à l'intrusif felsique à intermédiaire magnétique rencontré sur Louvex (314-22, 23, 24).						
588.80 - 590.10		I2,Glo-fp,Car INTRUSIF INTERMÉDIAIRE, GLOMÉROPORPHYRES DE PLAGIOCLASE, CARBONATISATION Unité massive, de couleur gris moyen à vert moyen, non magnétique contenant 3-5% de plagioclase hypidiomorphe cm, de couleur blanchâtre à jaunâtre (séricite). Aucun sulfure visible. Altération dominante en calcite, roche réagissant assez bien avec l'acide. Recoupée par quelques veinules mm de carbonate de 0 à 70°AC. Contact supérieur franc à 30°AC. Contact inférieur franc à 45°AC.						
	588.80 - 589.80	3% VL c.	B56328	1.00	0.003	0.0002	0.0047	0.05
	589.80 - 590.10	Contact. 2-3% VL c.	B56329	0.30	0.003	0.0003	0.0047	0.05
590.10 - 610.20		I2J,Mag,fg MAGNETIC DIORITE Unité massive de couleur gris pâle à moyen localement noirâtre, à grains fins, homogène, équi-granulaire, de dureté moyenne à élevée et non carbonatisée. Magnétisme moyen à très fort. Jusqu'à 5-7% de taches mm de carbonate. 1-2% de magnétite <1mm et <1% de pyrite automorphe disséminée. Altération dominante en chlorite verte (faible). Silicification faible à moyenne localement. Recoupée par quelques veinules mm de carbonate à 50°AC. Schistosité absente ou très faible à 50°AC. Contact supérieur franc à 45°AC. Quelques unités cm à dm de laves andésitiques.						
	590.10 - 590.40	Contact. <1% VL c.	B56330	0.30	0.003	0.0018	0.0041	0.05
	590.40 - 591.90	<1% VL c.	B56331	1.50	0.003	0.0007	0.0036	0.05
594.00 - 598.40		SII ROCHE D'ASPECT SILICIFIÉ Altération moyenne à forte en silice, intervalle vitreux et très dure.						
	598.60 - 598.90	Éponte supérieure. 2-3% VL.	B56332	0.30	0.011	0.0014	0.0029	0.05
598.90 - 599.30		VNcqPy VEINES DE CARBONATE-QUARTZ-PYRITE, PYRITE 15% de veines cm de carbonate-quartz de 20 à 140°AC (pendage inverse). 3-5% de pyrite automorphe et traces de chalcopryrite associées aux veines. 2-3% de pyrite automorphe disséminée dans la roche.						
	598.90 - 599.30	Voir géologie.	B56333	0.40	0.093	0.0131	0.0040	0.30
	599.30 - 599.60	Éponte inférieure. 2-3% VL.	B56334	0.30	0.010	0.0019	0.0032	0.05
	607.20 - 607.50	Éponte supérieure. 3% VL.	B56335	0.30	0.026	0.0016	0.0084	0.05

From (m)	To (m)	Description	Sample No.	Length (m)	Au_avg (g/t)	Cu_avg (%)	Zn_avg (%)	Ag_avg (g/t)
		607.50 - 607.60 VNqcPy VEINE DE QUARTZ-CARBONATE-PYRITE Veine de quartz-calcite de 3cm à 45-50°AC contenant 15% de fragment d'épentes chloritisées. 20% de quartz gris pâle clairement recoupé par 55% de carbonate blanchâtre. 10% de pyrite en amas mm associés au carbonate.						
		607.50 - 607.80 15-20% VL.	B56336	0.30	0.166	0.0029	0.0045	0.30
		607.80 - 608.10 Épente inférieure. Tr. VL.	B56337	0.30	0.003	0.0004	0.0037	0.05
609.80	668.50	V2J,Bre,Frg,(Mas) ANDÉSITE FRAGMENTAIRE À BRÉCHIQUE Unité bréchique à fragmentaire, non litée et non granoclassée, hétérogène, de composition intermédiaire à mafique, de couleur vert moyen, non magnétique et non carbonatisée. Jusqu'à 20% de fragments mm à cm, de couleur beige à jaunâtre, aphanitiques, sub-arrondis, altérés en carbonate et réagissant fortement à l'acide. Jusqu'à 10% de fragments cm à rarement mm, sub-anguleux à sub-arrondis, aphanitiques, d'aspect plus felsique, de couleur grisâtre à verdâtre et rosâtre, souvent altérés en carbonate, en séricite ou en hématite. 5% de fragments cm, à grains fins, de couleur vert foncé à noirâtre, de composition mafique et sub-anguleux. <1% de pyrite disséminée, moyenne à grossière. On note souvent une zonation des fragments de dimension plus importante (>2cm) et d'aspect plus felsique. Leur périphérie est souvent plus affectée par le carbonate. Il ne semble avoir aucun tri, ni de granoclassement au niveau des fragments. 85% de matrice de couleur vert moyen, à grains fins. Altération dominante en chlorite verte. Épidotisation locale et intermittente. Schistosité faible à 40°AC basé sur l'alignement très local des fragments. Recoupée par de rares veinules mm à cm de calcite variant de 20 à 160°AC (pendage inverse). Contact supérieur franc à 50°AC.						
		614.20 - 618.80 Mas,Mag,Chi MASSIF, MAGNÉTIQUE, CHLORITISATION Altération forte en chlorite verte, intervalle d'aspect massif, de couleur vert moyen et mou. Schistosité absente. Contact supérieur pas trop évident basé sur la différence de magnétisme et sur la présence d'une structure (faille). Contact inférieur franc à 30°AC.						
		614.20 - 614.80 Mas MASSIF Aspect plus massif, intervalle sans fragments apparents.						
		614.80 - 616.30 Chi CHLORITISATION Altération plus intense en chlorite verte, intervalle vert foncé et mou.						
		616.30 - 616.40 Fit FAILLE Niveau pluri-mm de boue de faille à 50°AC.						
		618.80 - 621.00 Sil ROCHE D'ASPECT SILICIFIÉ Altération légère en silice, intervalle bréchique, de couleur grisâtre et plus dur.						

From (m)	To (m)	Description	Sample No.	Length (m)	Au_avg (g/t)	Cu_avg (%)	Zn_avg (%)	Ag_avg (g/t)
		622.10 - 624.60 Car,Epi CARBONATISATION, ÉPIDOTISATION Altération moyenne à intense et intermittente en épidoite. Carbonatation intense, réaction violente à l'acide.						
		625.00 - 631.40 Mag MAGNÉTIQUE Intervalle légèrement magnétique, jusqu'à 3% de cristaux de magnétite <1mm.						
		626.90 - 627.90 Chi CHLORITISATION Altération intense en chlorite verte, intervalle de couleur vert foncé et mou.						
		630.70 - 631.80 Chi CHLORITISATION Altération intense en chlorite verte, intervalle de couleur vert foncé. Schistosité pratiquement absente (faible à 40°AC).						
		635.00 - 636.80 Chi,BKChi?,Mag CHLORITISATION, CHLORITE NOIRE?, MAGNÉTIQUE Altération faible à moyenne en chlorite noire?, intervalle magnétique (faiblement à fortement) montrant 5% de fragments cm de couleur vert foncé à noirâtre alignés selon 50°AC.						
		637.30 - 638.10 Mas MASSIF Aspect massif, aucun fragment évident. Altération en chlorite verte.						
		640.60 - 641.40 I2-1? INTRUSIF INTERMÉDIAIRE À FELSIQUE? Massif, de couleur gris moyen, de dureté faible à moyenne, homogène, aphanitique, non carbonatisé. Aucune minéralisation visible. Quelques fractures carbonatisées et chloritisées (chlorite verte) à 50°AC. Contacts francs à 45°AC.						
		644.20 - 645.60 Mag MAGNÉTIQUE Intervalle légèrement magnétique.						
		645.60 - 656.10 Chi,BKChi,Mas,Mag CHLORITISATION, CHLORITE NOIRE, MASSIF, MAGNÉTIQUE Portion plus massive. Niveau dm à m bréchique. Les brèches semblent cependant d'origine hydrothermale i.e. que la matrice est composée d'injections carbonatisées. Aucun fragment felsique tel qu'observé auparavant. Altération intense en chlorite verte, intervalle de couleur vert moyen à foncé et très mou. 2-3% d'amas mm à cm de chlorite noire? (lorsque rayés, la poudre est vert foncé). Intervalle très magnétique, jusqu'à 5% de cristaux <1mm de magnétite.						
		656.10 - 663.00 BKChi CHLORITE NOIRE 1-2% d'amas mm de chlorite noire.						

From (m)	To (m)	Description	Sample No.	Length (m)	Au_avg (g/t)	Cu_avg (%)	Zn_avg (%)	Ag_avg (g/t)
		662.20 - 666.90 Ser SÉRICITISATION Altération en séricite légèrement plus importante des fragments.						
		666.90 - 668.50 Chl,Mag CHLORITISATION, MAGNÉTIQUE Altération plus intense en chlorite verte, intervalle de couleur vert foncé et très magnétique. Fragments toujours visibles localement.						
		668.20 - 668.50 Contact. 2% Mt.	B56338	0.30	0.003	0.0005	0.0071	0.05
668.50	691.20	I2J,Mag,fg,Por-fp DIORITE MAGNÉTIQUE AVEC LOCALEMENT PORPHYRIQUE Massif, de couleur gris moyen à noirâtre, de dureté moyenne à forte, aphanitique, non carbonaté et moyennement à fortement magnétique. 2% de phénocristaux de feldspath (carbonate?) de couleur grisâtre à blanchâtre <1mm. Jusqu'à 2% de cristaux <1mm de magnétite. Rares pyrite en amas mm à cm disséminée. Altération moyenne en silice, roche vitreuse et dure. Recoupé par de rares veinules mm de calcite de plusieurs directions. Schistosité peu développée à 65°AC basée sur l'alignement subtile des phénocristaux. Contact supérieur subtile à 30°AC.						
		668.50 - 673.00 I2-1,Mag INTRUSIF INTERMÉDIAIRE À FELSIQUE, MAGNÉTIQUE Unité massive, de couleur grise, de dureté moyenne, aphanitique moyennement magnétique contenant 1-3% de porphyroblastes mm de carbonate de couleur beige à blanchâtre alignés selon la schistosité. Schistosité faible à 50°AC. Aucune minéralisation visible. Plusieurs micro-fractures carbonatées de plusieurs orientations. Quelques veinules de carbonate variant de 25 à 155°AC. Contacts francs à 50°AC.						
		668.50 - 668.80 Contact. 1% Mt.	B56339	0.30	0.003	0.0007	0.0039	0.05
		672.70 - 673.00 Sil,Hem ROCHE D'ASPECT SILICIFIÉ, HÉMATISATION Altération moyenne à intense en silice, faible à moyenne en séricite et faible en hématite. Intervalle assez dur, de couleur grisâtre à beige et localement rosâtre.						
		672.70 - 673.00 Zone Sil,Ser,Hem. Tr. Py.	B56340	0.30	0.059	0.0072	0.0040	0.05
		673.00 - 674.30 V3/13,Bre,Chl VOLCANITE? MAFIQUE, BRÉCHIQUE, CHLORITISATION Éponte de roche encaissante. 3-5% de "fragments" plus felsiques, de couleur grisâtre à beige toujours présents. <1% de pyrite automorphe disséminée. Altération en moyenne à intense en chlorite verte. Carbonatation sous forme de veinules discontinues à 55°AC. Contact supérieur franc à 30-35°AC occupé par une veine cm de quartz-carbonate montrant des traces de pyrite. Contact inférieur franc à 35°AC.						
		673.00 - 673.30 15-20% VN.	B56341	0.30	0.007	0.0013	0.0067	0.05
		673.30 - 674.00 2% VN. <1% Py.	B56342	0.70	0.003	0.0003	0.0073	0.05
		674.00 - 674.30 Tr. VL.	B56343	0.30	0.003	0.0003	0.0069	0.05
		674.30 - 674.60 Tr. VL.	B56344	0.30	0.003	0.0003	0.0035	0.05
		687.40 - 687.70 Contact. 1% VL. Tr. CpPy.	B56345	0.30	0.003	0.0013	0.0042	0.05

From (m)	To (m)	Description	Sample No.	Length (m)	Au_avg (g/t)	Cu_avg (%)	Zn_avg (%)	Ag_avg (g/t)
691.20	772.40	687.70 - 688.60 V3M3,Ser,Fit VOLCANITE? MAFIQUE, SÉRICITISATION, FAILLES Similaire à précédent. Cependant, aucun fragment n'est perceptible. Altération moyenne en séricite. 1-2% de chlorite noire en amas mm. <1% de pyrite grossière disséminée. Niveaux mm de boue de faille à 55°AC aux deux contacts.						
		687.70 - 688.60 Voir géologie.	B56346	0.90	0.003	0.0003	0.0067	0.05
		688.60 - 688.90 Contact. 2% VL. 2% Mt, 1-2% Py.	B56347	0.30	0.003	0.0008	0.0029	0.05
		690.90 - 691.20 Contact. 3% VL c.	B56348	0.30	0.003	0.0006	0.0024	0.05
691.20	772.40	V2J-T2L,Het,Frg,Mag,(Amy) ANDÉSITE FRAGMENTAIRE À BRÉCHIQUE ET/OU TUF Unité similaire à 610.2 - 668.5m. Les fragments de volcanite de couleur vert pâle à moyen sont cm à dm et montrent des quantités variables (0 à 30%) d'amygdales mm de quartz et/ou chlorite. Jusqu'à 30% de veinules et "fragments" mm à cm carbonatisés de couleur beige, montrant des périphéries (contacts) irrégulières. Quelques uns ressemblent à des porphyroblastes. Ceux-ci semblent toujours être secondaires, issus d'un processus d'altération. Quelques (2%) "fragments" cm de composition plus felsique. Mésostase aphanitique de couleur vert moyen. 1-3% de cristaux <1mm de magnétite. Altération dominante en chlorite verte et intermittente en chlorite noire sous forme d'amas mm. Recoupée par de rares veinules mm à cm de calcite de 5 à 60°AC. Contact supérieur franc à 55-60°AC. Vers 720m, les "fragments" de composition plus felsique deviennent plus abondants (40%). Ils sont de couleur beige à rosâtre et montrent des périphéries diffuses.						
		691.20 - 708.70 BKChI,Mag CHLORITE NOIRE, MAGNÉTIQUE Altération légère à moyenne mais locale en chlorite noire. Portions intersticielles montrant quelques amas mm de chlorite noire. Magnétisme moyen à fort.						
		691.20 - 691.50 Contact. 1-2% Py.	B56349	0.30	0.003	0.0003	0.0074	0.05
		693.90 - 694.10 I2,Glo-fp,Ser INTRUSIF INTERMÉDIAIRE, GLOMÉROPORPHYRES DE PLAGIOCLASE, SÉRICITISATION Unité massive, de couleur vert-jaunâtre, non magnétique et non carbonatisée. 40% de cristaux mm à cm de plagioclase généralement automorphes et localement sub-automorphes. Leur couleur varie de gris moyen à verdâtre. 60% de mésostase aphanitique, de couleur vert-jaunâtre altérée en séricite. Aucun sulfure visible. Altération dominante en séricite. Recoupée par une veinule mm de calcite à 5°AC recoupant et l'intrusif et la roche encaissante. Contacts francs à 60°AC.						
		706.00 - 706.60 I2-1,Mag,Lam INTRUSIF INTERMÉDIAIRE À FELSIQUE, MAGNÉTIQUE, LAMINATIONS Unité de couleur gris pâle à vert pâle, aphanitique, magnétique, non carbonatisée. 1-2% de porphyroblastes <1mm de carbonate de couleur beige (aucune réaction à l'acide). Laminations? mm à 60°AC. Rares traces de pyrite automorphe disséminée. Altération dominante en séricite (faible). <1% de cristaux <1mm de magnétite. Schistosité faible à moyenne à 60°AC basé sur l'alignement des cristaux de carbonate et de l'attitude des laminations? Contact supérieur franc à 55°AC. Contact inférieur franc à 60°AC.						

From (m)	To (m)	Description	Sample No.	Length (m)	Au_avg (g/t)	Cu_avg (%)	Zn_avg (%)	Ag_avg (g/t)
	707.20 - 708.00	I2-1, Mag, Lam INTRUSIF INTERMÉDIAIRE À FELSIQUE, MAGNÉTIQUE, LAMINATIONS Idem à précédent. Contact supérieur subtile, parallèle à la schistosité (60°AC). Contact inférieur franc à 55-60°AC.						
	708.70 - 717.80	BKChI CHLORITE NOIRE Idem à précédent sauf au niveau du magnétisme (nul).						
	719.10 - 719.40	Éponte supérieure.	B56350	0.30	0.003	0.0002	0.0049	0.05
	719.40 - 719.50	VN cq, Frc tm? VEINE DE QUARTZ-CARBONATE, FRACTURES DE TOURMALINE? Veine cm de quartz grisâtre à 20°AC. Injection de carbonate bréchifiant le quartz. 2% de tourmaline? noire associée aux fractures dans la veine. Aucun sulfure présent. Cristaux de tourmaline? très petits, aucune aiguille ou clivage pour confirmer.						
	719.40 - 719.70	15-20% VN.	B56351	0.30	0.003	0.0004	0.0047	0.05
	719.70 - 720.00	Éponte inférieure.	B56352	0.30	0.003	0.0002	0.0052	0.05
	724.90 - 727.00	Mag MAGNÉTIQUE Intervalle moyennement magnétique.						
	732.40 - 741.40	Mag MAGNÉTIQUE Intervalle légèrement à fortement magnétique.						
	736.20 - 736.50	Contact. 8-10% de VN.	B56353	0.30	0.003	0.0019	0.0072	0.05
	736.50 - 739.40	I2-1, Mag, Amy? INTRUSIF INTERMÉDIAIRE À FELSIQUE, MAGNÉTIQUE, AMYGDALAIRE? Idem à 706,0 - 706,6m. 5-7% de porphyroblastes mm de carbonate de couleur beige. Localement, des textures mm à -cm, de forme circulaire ressemblent à des amygdales. On peut y observer une zonation minéralogique. Le centre peut être occupé par de la séricite ou du quartz accompagné parfois de pyrite automorphe tandis que la périphérie est composée de carbonate. Mésostase aphanitique, de couleur vert jaunâtre. Traces de pyrite grossière disséminée. Schistosité très faible à 40°AC. Contact supérieur occupé par une veine de quartz-carbonate-tourmaline? à 35°AC. Un grain de chalcopryrite visible dans la veine. Le carbonate bréchifie le quartz. Tout comme plus haut, les cristaux de tourmaline sont trop petits pour être identifiés formellement. Contact inférieur franc à 50°AC.						
	736.50 - 736.80	Contact. 1-2% Py.	B56354	0.30	0.003	0.0007	0.0046	0.30
	739.10 - 739.40	Contact. 1% VL c.	B56355	0.30	0.003	0.0016	0.0075	0.05

From (m)	To (m)	Description	Sample No.	Length (m)	Au_avg (g/t)	Cu_avg (%)	Zn_avg (%)	Ag_avg (g/t)
		739.40 - 741.70 Chl,VNcqPyCp,VLtm CHLORITISATION, VEINE DE QUARTZ-CARBONATE-PYRITE-CHALCOPYRITE, VEINULES DE TOURMALINE Altération moyenne à forte en chlorite verte. Fragments et/ou autre altération(s) masqué(s)(es). 2-3% de veines et veinules mm à cm de quartz-carbonate de 30 à 50°AC. 1-3% de pyrite et <1% de chalcopryrite associées aux veines. Traces de chalcopryrite et de pyrite associées aux éponges. Le carbonate bréchifié le quartz. 5% de veinules de tourmaline parallèles aux veines de quartz-carbonate.						
		739.40 - 739.90 Zone Chl. 2-3% Cp diss. Tr. Py.	B56356	0.50	0.018	0.0429	0.0094	0.30
		739.90 - 740.40 Zone Chl. 2-3% VL. 2% Cp diss. 1% Py.	B56357	0.50	0.029	0.0672	0.0087	0.30
		740.40 - 740.70 Zone Chl. 15% VN. 1% Cp diss.	B56358	0.30	0.017	0.0365	0.0073	0.20
		740.70 - 741.40 Zone ±Chl. 1-2% Cp diss. <1% Py.	B56359	0.70	0.022	0.0029	0.0085	0.05
		741.40 - 741.70 Zone ±Chl. 15% VN.	B56360	0.30	0.006	0.0149	0.0062	0.05
		741.70 - 742.00 Éponge inférieure. 1% VL.	B56361	0.30	0.003	0.0003	0.0050	0.30
		743.60 - 744.40 Chl CHLORITISATION Altération plus intense en chlorite verte. Absence de texture et/ou de structure primaire.						
		748.00 - 748.80 Bri BRÈCHE HYDRAULIQUE Intervalle bréchique. Niveaux cm à dm de carbonates, de couleur beige à verdâtre bréchifiant la roche encaissante. Fragments cm à dm, in situ, sub-anguleux à anguleux, de lave mafique.						
		749.50 - 749.80 Éponge supérieure.	B56362	0.30	0.003	0.0014	0.0118	0.05
		749.80 - 752.70 Chl,BKChl?,Cp,Fit CHLORITISATION, CHLORITE NOIRE?, CHALCOPYRITE, FAILLES Altération plus intense en chlorite verte. Présence de chlorite noire? Lorsque grattée, la poudre est de couleur vert moyen. 2% de chalcopryrite disséminée. Textures et structures primaires détruites. Quelques niveaux mm de boue de faille à 25-30°AC à la fin de l'intervalle. Le dernier tiers est légèrement magnétique.						
		749.80 - 751.30 Voir géologie.	B56363	1.50	0.003	0.0005	0.0116	0.05
		751.30 - 752.70 Voir géologie.	B56364	1.40	0.005	0.0220	0.0110	0.20
		752.70 - 755.20 Chl,Mag,Py CHLORITISATION, MAGNÉTIQUE, PYRITE Altération moyenne à intense mais intermittente en chlorite verte. Intervalle de couleur vert foncé et mou. 1-3% de pyrite automorphe disséminée. Intervalle moyennement magnétique.						
		752.70 - 753.00 Éponge inférieure. 2% VL c.	B56365	0.30	0.005	0.0194	0.0107	0.20
		753.00 - 754.20 Voir géologie.	B56366	1.20	0.014	0.0507	0.0101	0.30
		754.20 - 755.20 Voir géologie.	B56367	1.00	0.003	0.0039	0.0076	0.05

From (m)	To (m)	Description	Sample No.	Length (m)	Au_avg (g/t)	Cu_avg (%)	Zn_avg (%)	Ag_avg (g/t)
		755.20 - 756.50 Bre BRÈCHE HYDRAULIQUE Idem à 748,0 - 748,8m. Niveaux cm à dm de carbonates, de couleur beige à verdâtre bréchifiant la roche encaissante. Fragments cm à dm, in situ, sub-anguleux à anguleux, de lave mafique. Outre cette fragmentation, aucun autre type de fragment n'est perceptible au-delà de cet intervalle.						
		759.50 - 762.50 BKChl, VNcqPy CHLORITISATION, CHLORITE NOIRE, VEINULES DE CARBONATE-QUARTZ-PYRITE Altération intense mais intermittente en chlorite verte. Présence de chlorite noire. 5% de veinules et fragments de veinules mm à cm de carbonate-quartz à 35°AC. 1-2% de pyrite associée aux fractures dans les veinules et disséminée dans les épontes.						
		759.50 - 759.80 Zone Chl. 2% Frc et VL c.	B56368	0.30	0.003	0.0033	0.0081	0.05
		759.80 - 760.10 Zone Chl. 12-15% VL. 3% Py.	B56369	0.30	0.003	0.0197	0.0062	0.05
		760.10 - 761.60 Zone ±Chl. <1% Py, Tr. VL c.	B56370	1.50	0.003	0.0033	0.0082	0.05
		761.60 - 762.70 Zone ±Chl. Tr. Py, Tr VL c.	B56371	1.10	0.003	0.0005	0.0093	0.05
		762.50 - 768.60 I2-1, Mag, Amy? INTRUSIF INTERMÉDIAIRE À FELSIQUE, MAGNÉTIQUE, AMYGDALAIRE? Similaire à 736,5 - 739,4m. Massif, aphanitique, de couleur gris moyen à verdâtre, non carbonatisé et moyennement magnétique. 5% de taches mm à cm localement zonées. Le centre est occupé souvent par de la séricite et le pourtour, par du carbonate. Vers 765,8m, on voit bien que cette relation n'est pas constante. La séricite recoupe d'un bord à l'autre, un amas circulaire de carbonate (porphyroblastes?). Mésostase à grains fins à aphanitique, de couleur gris moyen. Altération dominante en séricite (très faible). Traces de cristaux <1mm de magnétite. Rares traces de pyrite automorphe disséminée. Recoupé par de rares veinules de carbonate de 0 à 10°AC. Schistosité inexistante. Contact supérieur franc occupé par une veinule de quartz-carbonate à 45°AC. Contact inférieur franc à 25-30°AC.						
		762.70 - 763.00 Contact. Zone Chl et Car.	B56372	0.30	0.003	0.0006	0.0065	0.05
		763.00 - 763.30 Contact. 3-5% VL cq.	B56373	0.30	0.003	0.0017	0.0054	0.05
		768.30 - 768.60 Éponte supérieure. 2-3% VL c.	B56374	0.30	0.003	0.0008	0.0059	0.05
		768.60 - 770.30 Mag, Chl MAGNÉTIQUE, CHLORITISATION Altération moyenne à forte en chlorite verte. Intervalle très magnétique, 3-5% de magnétite <1mm.						
		768.60 - 769.00 Zone Chl. 10% VL c. 2% Py.	B56375	0.40	0.003	0.0024	0.0062	0.05
		769.00 - 769.30 Zone Chl. 2% VL c. 1-2% Py.	B56376	0.30	0.003	0.0010	0.0083	0.05
		769.30 - 770.00 Zone Chl. Tr. Py.	B56377	0.70	0.003	0.0005	0.0075	0.05
		770.00 - 770.30 Zone Chl. 2% Py.	B56378	0.30	0.003	0.0208	0.0090	0.05

From (m)	To (m)	Description	Sample No.	Length (m)	Au_avg (g/t)	Cu_avg (%)	Zn_avg (%)	Ag_avg (g/t)
772.40	842.40	770.30 - 772.40 I2J,Mag,fg INTRUSIF INTERMÉDIAIRE À FELSIQUE, MAGNÉTIQUE Massif, de couleur gris pâle à moyen, de dureté moyenne à forte, homogène, aphanitique à grains fins, magnétique et non carbonatisé. 2-3% de porphyroblastes <1mm de carbonate de couleur beige. 1% de cristaux <1mm de magnétite. Traces de chalcopryrite disséminée. Schistosité très faible à 60°AC. Recoupé par de rares veinules (1-2%) mm à cm de carbonate de couleur blanchâtre de 20 à 50°AC et recoupant la schistosité. Contacts francs à 60°AC.						
		770.30 - 770.60 Éponte inférieure. 3-5% VN c.	B56379	0.30	0.003	0.0024	0.0034	0.05
		772.10 - 772.40 Éponte supérieure. <1% Cp.	B56380	0.30	0.005	0.0178	0.0027	0.30
		V2J,Frg,Bre ANDÉSITE FRAGMENTAIRE À BRÉCHIQUE Unité similaire à précédente. Aspect général bréchique, non magnétique. 20% de fragments sub-arrondis à sub-anguleux et cm à dm, altérés en séricite. Présence de 2-3% de fragments d'aspect aphanitique, de couleur beige à brunâtre dépourvus d'amygdales. Ils montrent aussi des bordures beaucoup plus subtiles et irrégulières (altération en séricite?). Mésostase de couleur vert moyen, séricitisée, chloritisée et carbonatisée. Aucun sulfure visible. Recoupée par de rares veinules de carbonate de 5 à 160°AC (pendage inverse). Contact supérieur franc à 60°AC occupé par un intrusif intermédiaire à felsique. Quelques sections cm à dm contenant des intrusifs intermédiaires (dykes/sills et/ou fragments?) avec phénocristaux de feldspath idiomorphes à hypidiomorphes (texture porphyrique variablement diffuse) concentrés dans les derniers mètres de l'unité. Après 809,8m, la chlorite verte domine.						
		772.40 - 773.20 ChI,Mag CHLORITISATION, MAGNÉTIQUE Intervalle magnétique, 2-3% de cristaux <1mm de magnétite. Altération moyenne en chlorite verte, roche molle.						
		772.40 - 773.20 Zone IChI,Ser. 2-3% VL c.	B56381	0.80	0.003	0.0022	0.0074	0.05
		773.20 - 773.50 Zone ISer. 3-5% VL c.	B56382	0.30	0.006	0.0368	0.0051	0.50
		777.90 - 779.00 Car CARBONATISATION Altération moyenne à intense en carbonate, réaction forte à l'acide. Les amygdales sont cependant plus subtiles.						
		779.00 - 780.00 I2-1,Mag INTRUSIF INTERMÉDIAIRE À FELSIQUE, MAGNÉTIQUE Similaire à 770,3 - 772,4m. Contacts francs à 60-65°AC.						
		781.00 - 781.40 I2-1,Car INTRUSIF INTERMÉDIAIRE À FELSIQUE, CARBONATISATION Similaire à précédent. Aucun magnétisme. Altération faible en carbonate, réaction légère à l'acide. Contacts francs à 60-65°AC.						
		782.20 - 782.50 I2-1,Car INTRUSIF INTERMÉDIAIRE À FELSIQUE, CARBONATISATION Idem à précédent.						

From (m)	To (m)	Description	Sample No.	Length (m)	Au_avg (g/t)	Cu_avg (%)	Zn_avg (%)	Ag_avg (g/t)
		783.70 - 784.10 I2-1,Car INTRUSIF INTERMÉDIAIRE À FELSIQUE, CARBONATISATION Idem à précédent.						
		785.90 - 787.40 I2-1,Mag,Car INTRUSIF INTERMÉDIAIRE À FELSIQUE, MAGNÉTIQUE, CARBONATISATION Similaire à précédent. Magnétisme moyen. 1-2% de cristaux de magnétite de 1mm.						
		791.10 - 791.60 Chl CHLORITISATION Altération moyenne en chlorite verte. Intervalle mou, de couleur vert moyen à foncé. 791.30 - 791.60 Zone Chl. 1-2% VL c.	B56383	0.30	0.003	0.0018	0.0205	0.05
		791.60 - 792.40 I1D,Pbl-q TONALITE, PORPHYROBLASTES DE QUARTZ Unité massive, de couleur gris moyen à vert moyen, à grains fins, non magnétique, homogène, non carbonatisée, de dureté moyenne et contenant <1% de cristaux <1mm de quartz bleuté. Très rares traces de pyrite automorphe disséminée. Altération dominante en chlorite verte (très faible). Recoupée par quelques veinules mm à cm de carbonate-quartz à 20°AC pouvant contenir des traces de pyrite. Contact supérieur irrégulier à 50°AC. Contact inférieur irrégulier à 20°AC. Intrusion de type Bevcon? 791.60 - 792.40 Voir géologie. 792.40 - 792.90 Zone Chl. 3-5% VL c.	B56384 B56385	0.80 0.50	0.003 0.003	0.0007 0.0003	0.0068 0.0184	0.05 0.05
		792.90 - 795.10 I1D,Pbl-q TONALITE, PORPHYROBLASTES DE QUARTZ Unité de couleur gris moyen à vert moyen, à grains fins, non magnétique, homogène, non carbonatisée, de dureté moyenne contenant <1% de cristaux <1mm de quartz bleuté. Très rares traces de pyrite automorphe disséminée. Altération dominante en chlorite verte (très faible). Recoupée par quelques veinules mm à cm de carbonate-quartz à 20°AC pouvant contenir des traces de pyrite. Contact supérieur franc à 50°AC. Contact inférieur irrégulier à 50°AC. Intrusion de type Bevcon? 792.90 - 794.40 Voir géologie. 794.40 - 795.10 Voir géologie. 3% VN c.	B56386 B56387	1.50 0.70	0.003 0.003	0.0008 0.0005	0.0067 0.0079	0.05 0.05
		795.10 - 796.90 Chl CHLORITISATION Altération moyenne en chlorite verte. Les structures primaires sont toujours perceptibles. 795.10 - 795.40 Éponte inférieure. Zone Chl. 2% VL c.	B56388	0.30	0.003	0.0004	0.0167	0.05
		796.90 - 809.80 Car CARBONATISATION Altération moyenne à forte en carbonate. Réaction forte à l'acide.						

From (m)	To (m)	Description	Sample No.	Length (m)	Au_avg (g/t)	Cu_avg (%)	Zn_avg (%)	Ag_avg (g/t)
		809.80 - 811.30 Chi,Py CHLORITISATION, PYRITE Altération légèrement plus intense en chlorite verte. Localement, jusqu'à 2% de pyrite automorphe disséminée. 809.80 - 811.30 Voir géologie.	B56389	1.50	0.003	0.0061	0.0091	0.05
		816.40 - 823.70 Mag MAGNÉTIQUE Intervalle variant de faiblement à fortement magnétique. Jusqu'à 2% de magnétite <1mm.						
		816.40 - 818.50 Chi,Py CHLORITISATION, PYRITE Altération légèrement plus intense en chlorite verte. Quelques niveaux dm contenant jusqu'à 2% de pyrite automorphe disséminée. 816.40 - 817.90 Voir géologie. 817.90 - 818.50 Voir géologie. 821.50 - 821.80 Éponte supérieure. 10-15% de VN qcprPy.	B56390 B56391 B56392	1.50 0.60 0.30	0.003 0.003 0.003	0.0010 0.0006 0.0063	0.0102 0.0102 0.0083	0.05 0.05 0.05
		821.80 - 822.80 Sil?,VNqcpr ROCHE D'ASPECT SILICIFIÉ?, VEINULES DE QUARTZ-CARBONATE-PYROPHYLLITE Altération très légère en silice? Intervalle de couleur grisâtre. Quelques fractures mm de chlorite verte contenant jusqu'à 5% de pyrite automorphe. Contact supérieur occupé par une veine cm de quartz-carbonate-pyrophyllite-pyrite à 55°AC. Un minéral brunâtre représentant 5% de la veine est spatialement associé au carbonate (carbonate de fer, sidérite?). Aucun cristal de quartz bleuté n'a été observé. 821.80 - 822.80 Zone Sil? 2% VL cqPy. 1% Frc ChiPy. 822.80 - 823.70 5% VL cqPy. 823.70 - 824.10 8-10% VL cq. Zone Fit.	B56393 B56394 B56395	1.00 0.90 0.40	0.003 0.003 0.003	0.0029 0.0005 0.0005	0.0037 0.0083 0.0083	0.05 0.05 0.05
		824.00 - 824.10 Fit FAILLES Quelques niveaux mm de boue et de broyage de 55 à 70°AC. 824.10 - 824.70 Contact. 5-7% VL cq.	B56396	0.60	0.003	0.0004	0.0078	0.05
		824.70 - 830.20 HD?,Pbl-q,Mag TONALITE?, PORPHYROBLASTES DE QUARTZ, MAGNÉTIQUE Unité de couleur gris moyen à vert moyen, aphanitique à grains fins, magnétique, homogène, non carbonatisée, de dureté moyenne contenant <1% de cristaux <1mm de quartz bleuté. Très rares traces de pyrite automorphe disséminée et ~1% de cristaux <1mm de magnétite. Altération dominante en chlorite verte (très faible). Recoupée par quelques veinules mm à cm de carbonate-quartz-pyrophyllite (locale) à 20°AC pouvant contenir des traces de pyrite et de chalcopyrite. Quelques micro-fractures faiblement hématisées parallèles à la schistosité. Contact supérieur franc à 75°AC. Contact inférieur franc à 60°AC. Intrusion de type Bevcon? 824.70 - 825.20 Contact. 15-20% VN et VL qcprPy. 825.20 - 825.50 Éponte inférieure. 3-5% VL cq.	B56397 B56398	0.50 0.30	0.003 0.003	0.0014 0.0014	0.0035 0.0045	0.05 0.05

From (m)	To (m)	Description	Sample No.	Length (m)	Au_avg (g/t)	Cu_avg (%)	Zn_avg (%)	Ag_avg (g/t)
		<p>832.90 - 835.60 I2,Glo-fp,BKChI INTRUSIF INTERMÉDIAIRE, GLOMÉROPORPHYRES DE PAGIOCLASE, CHLORITE NOIRE Unité d'aspect massif, de couleur vert moyen à noirâtre et non magnétique. Jusqu'à 40% de cristaux de plagioclase mm à cm, majoritairement idiomorphiques, de couleur blanchâtre à vert-jaunâtre lorsque séricitisés et verdâtre lorsque saussuricitisés. Mésostase aphanitique, altérée en chlorite noire et / ou chlorite verte. Carbonatation locale mais intégrale de l'unité (mésos. et plagioc.). Localement, on note une séricitisation de la mésostase faisant apparaître des pseudo-fragments mm à cm, de couleur brunâtre à beige montrant des contours flous et / ou irréguliers. Aucun sulfure visible. Schistosité moyenne à 60°AC. Contact supérieur broyé par la foreuse. Contact inférieur franc à 50-55°AC.</p>						
		<p>835.60 - 837.00 V3,Mas,ChI,Pbl-c VOLCANITE MAFIQUE, MASSIVE, CHLORITISATION, PORPHYROBLASTES DE CARBONATE Portion très massive, aphanitique, de couleur vert moyen à foncé. Aucune texture et / ou structure primaire évidente. Jusqu'à 2% de porphyroblastes <1mm de carbonate de couleur beige. Localement, jusqu'à 1-2% de pyrite automorphe disséminée. Altération en chlorite verte, intervalle mou. Contact supérieur franc mais subtile à 45°AC. Contact inférieur franc à 55°AC.</p>						
		<p>837.00 - 839.00 Bre,Mag,Py,Mt BRÉCHIQUE, MAGNÉTIQUE, PYRITE, MAGNÉTITE Aspect bréchique, magnétisme moyen à fort. Fragments mm à dm de volcanite mafique chloritisée, aphanitique, de couleur vert foncé. Matrice aphanitique, de couleur vert pâle à blanchâtre, moyennement altérée en carbonate. 1-2% de pyrite automorphe et jusqu'à 2% de magnétite <1mm tous deux disséminées et associées autant à la portion matricielle qu'aux fragments. Ressemble à une brèche hydraulique (altération en carbonate).</p>						
		<p>839.00 - 840.10 V3,Mas VOLCANITE MAFIQUE, MASSIVE Portion très massive, idem à 835,6 - 837,0m.</p>						
		<p>840.10 - 842.40 Por-fp,ChI PHÉNOCRISTAUX DE PLAGIOCLASE, CHLORITISATION Aspect massif, de couleur vert moyen à foncé et de dureté faible. Jusqu'à 5% de plagioclase mm, de couleur blanchâtre. Mésostase aphanitique. Portion supérieure de l'intrusif glomérophyrique?</p>						
842.40	913.30	<p>T2X/I2,Por-fp,IdI,(BKChI) TUF À CRISTAUX ET / OU INTRUSIF PORPHYRITIQUE INTERMÉDIAIRE AVEC FELDSPATH HYPIDIOMORPHE À IDIOMORPHE Unité de couleur vert moyen à noirâtre, non magnétique. Jusqu'à 40% de cristaux de plagioclase mm à cm, majoritairement idiomorphiques, de couleur blanchâtre à vert-jaunâtre lorsque séricitisés et verdâtre lorsque saussuricitisés. L'altération en épidoles des plagioclases peut être aussi accompagnée d'une carbonatation (cf 845,9m). Mésostase aphanitique altérée en chlorite verte ou en séricite. Présence de chlorite noire? dans la portion matricielle sous forme de pseudo-fragments mm à cm mous de couleur noire. Carbonatation locale et intégrale de l'unité (mésos. et plagioc.). Localement, on note une séricitisation de la mésostase faisant apparaître des pseudo-fragments mm à cm, de couleur brunâtre à beige montrant des contours flous et / ou irréguliers. Aucun sulfure visible. Très rares veinules et veines de carbonate à 45°AC. Schistosité absente à faible à 60°AC. Contact supérieur subtile à 40-45°AC.</p> <p>Note : la distribution des phénocristaux et la texture porphyrique souvent diffuse (altération) rendre cette unité assez hétérogène.</p>						

From (m)	To (m)	Description	Sample No.	Length (m)	Au_avg (g/t)	Cu_avg (%)	Zn_avg (%)	Ag_avg (g/t)
		843.60 - 844.10 Ser,Car SÉRICITISATION, CARBONATISATION Altération en séricite des plagioclase. Ceux-ci y sont très mals définis. Carbonatation de la mésostase.						
		844.10 - 873.00 Frg? FRAGMENTAIRE? Apparition de taches ou fragments mm à cm de couleur brunâtre. Les contacts de ces "fragments" sont flous et irréguliers. Ils constituent de 2 à 15% de l'unité. Localement, on note une très faible hématisation de ces "fragments".						
		846.00 - 846.60 Ser,Car SÉRICITISATION, CARBONATISATION Idem à précédent (843,6 - 844,1m).						
		848.80 - 849.60 Chl CHLORITISATION Altération moyenne et intermittente en chlorite verte. Destruction partielle des textures primaires. Les cristaux de plagioclase sont partiellement visibles.						
		849.60 - 849.70 Ser,Car SÉRICITISATION, CARBONATISATION Idem à 843,6 - 844,1m.						
		850.30 - 850.60 I2,Glo-fp,Sil,Ser INTRUSIF, GLOMÉROPORPHYRES DE PLAGIOCLASE, ROCHE D'ASPECT SILICIFIÉ, SÉRICITISATION Altération moyenne des plagioclases en séricite. Cristaux cm mal définis. Altération faible à moyenne en silice de la mésostase. Intervalle de couleur grisâtre. Les textures primaires sont affectées.						
		851.50 - 851.70 I2,Glo-fp,Sil,Ser INTRUSIF INTERMÉDIAIRE, GLOMÉROPORPHYRES DE PLAGIOCLASE, ROCHE D'ASPECT SILICIFIÉ, SÉRICITISATION Idem à 850,3 - 850,6m.						
		853.10 - 854.10 I2,Glo-fp,Sil,Ser,Car INTRUSIF INTERMÉDIAIRE, GLOMÉROPORPHYRES DE PLAGIOCLASE, ROCHE D'ASPECT SILICIFIÉ, SÉRICITISATION, CARBONATISATION Alternance de niveaux dm altérés, similaires à précédent (850,3 - 850,6m) et de niveaux dm à métriques préservés. Carbonatation surimposant la silice et la séricite.						
		855.40 - 855.60 Sil,Ser ROCHE D'ASPECT SILICIFIÉ, SÉRICITISATION Similaire à 850,3 - 850,6m.						
		857.90 - 859.10 Ser,Sil SÉRICITISATION, ROCHE D'ASPECT SILICIFIÉ Alternance de niveaux dm altérés et dm à métriques de roche plus fraîche. Altération moyenne en séricite et faible en silice. Textures primaires attaquées.						

From (m)	To (m)	Description	Sample No.	Length (m)	Au_avg (g/t)	Cu_avg (%)	Zn_avg (%)	Ag_avg (g/t)
		860.70 - 860.90 Sil,Ser ROCHE D'ASPECT SILICIFIÉ, SÉRICITISATION Idem à 850,3 - 850,6m.						
		860.90 - 861.20 Éponte supérieure.	B56399	0.30	0.003	0.0018	0.0089	0.05
		861.20 - 861.30 Car,Cp CARBONATISATION, CHALCOPYRITE Altération forte en carbonate (calcite - ankérite). Textures primaires détruites. Intervalle beige à blanchâtre réagissant violemment à l'acide. 2-3% de chalcopryrite disséminée.						
		861.20 - 861.50 50% Zone Car. 1-2% Cp.	B56400	0.30	0.013	0.3457	0.0065	0.70
		861.50 - 861.80 Éponte inférieure.	B56401	0.30	0.003	0.0185	0.0105	0.20
		862.40 - 862.50 Ser,Sil SÉRICITISATION, ROCHE D'ASPECT SILICIFIÉ Idem à 860,7 - 860,9m.						
		865.10 - 866.70 Sil,Ser SÉRICITISATION, ROCHE D'ASPECT SILICIFIÉ Altération intermittente. Textures partiellement oblitérées.						
		866.90 - 869.20 Sil,Ser SÉRICITISATION, ROCHE D'ASPECT SILICIFIÉ Idem à précédent.						
		869.20 - 869.40 Sil ROCHE D'ASPECT SILICIFIÉ Altération moyenne en silice, intervalle de couleur vert moyen à noirâtre, de dureté moyenne. Les contacts sont irréguliers et flous.						
		872.00 - 873.00 Ser,Car,Pbl-ca SÉRICITISATION, CARBONATISATION, PORPHYROBLASTES DE CALCITE Similaire à 846,0 - 846,6m. 2-3% de porphyroblastes mm de calcite.						
		873.00 - 880.60 Frg?,Ser FRAGMENTAIRE?, SÉRICITISATION Similaire à précédent. Altération moyenne à forte mais locale en séricite formant tantôt des pseudo-fragments mm à cm, tantôt n'altérant que la partie matricielle et contournant les gloméroporphyres de plagioclase. La séricite est beige-brunâtre à crème. Les gloméroporphyres cm de plagioclase sont de couleur grisâtre et représentent près de 50% de l'unité. Alignement local des bâtonnets de plagioclase selon 45 à 60°AC.						
		879.40 - 879.50 Fit FAILLE Faille mineure. Broyage mécanique par la foreuse mais présence de boue de faille.						

From (m)	To (m)	Description	Sample No.	Length (m)	Au_avg (g/t)	Cu_avg (%)	Zn_avg (%)	Ag_avg (g/t)
		880.60 - 892.80 Frg? FRAGMENTAIRE? Idem à 844,1 - 873,0m.						
		883.30 - 883.60 Contact. 1-2% VL c.	B56402	0.30	0.003	0.0007	0.0110	0.05
		883.60 - 886.30 I2-1, Por-fp, Mag INTRUSIF INTERMÉDIAIRE À FELSIQUE, PORPHYRES DE PLAGIOCLASE, MAGNÉTIQUE Massif, vitreux, de dureté moyenne à forte, faiblement à moyennement magnétique et non carbonatisé. 2-3% de cristaux de plagioclase saussuricités et légèrement carbonatisés. Mésostase à grains fins, de couleur vert foncé à noirâtre. <1% de magnétite ainsi que traces de pyrite et de chalcoppyrite disséminées. Altération dominante en silice. Recoupé par quelques veines et veinules de carbonate de 5 à 160°AC (pendage inverse). Les épontes de veines sont souvent chloritisées, séricitisées ou épidotisées. Contact supérieur franc à 45°AC. Contact inférieur franc à 50-55°AC.						
		883.60 - 883.90 Contact. 1% VL c.	B56403	0.30	0.003	0.0221	0.0080	0.05
		886.00 - 886.30 Contact. 2% VL cPyCp.	B56404	0.30	0.003	0.0142	0.0069	0.20
		886.30 - 886.60 Contact. <1% Frc c.	B56405	0.30	0.003	0.0005	0.0090	0.05
		887.40 - 887.80 Chl, Sch CHLORITISATION, SCHISTEUX Altération forte en chlorite verte. Intervalle de couleur vert foncé et mou montrant une schistosité à 55°AC.						
		889.30 - 889.70 Ser SÉRICITISATION Altération forte en séricite. Les plagioclases ne sont que très peu distinguables. Ils sont sous forme de rares cristaux tabulaires et de taches cm grisâtres souvent carbonatisés et baignant dans une mésostase aphanitique, de couleur vert-jaunâtre. Traces de pyrite grossière automorphe disséminée.						
		898.40 - 902.90 Car CARBONATISATION Altération faible à moyenne en carbonate. Réaction à l'acide d'intensité moyenne (plagioclases et de la mésostase).						
		901.20 - 913.30 Frg? FRAGMENTAIRE? Réapparition des pseudo-fragments cm, de couleur beige à rosâtre (séricite, ±hématite). Certains d'entre-eux montrent des éléments circulaires ressemblant beaucoup à des amygdales mm. Les contours sont souvent irréguliers mais bien définis. L'intervalle compte environ 35% de "fragments". Augmentation de la proportion des "fragments" rosâtres à partir 905,3m. Aucun tri ou autre structure sédimentaire soupçonné. En général, les plagioclases plus grossiers sont très difficiles à distinguer. Ils se retrouvent sous forme d'amas xénomorphes à hypidiomorphes de 3-5mm de couleur vert clair. On note aussi que des phénocristaux de plagioclase de 1mm de couleur blanchâtre constituent 3-5% de l'unité.						
		903.60 - 903.90 Contact.	B56406	0.30	0.003	0.0004	0.0105	0.05

From (m)	To (m)	Description	Sample No.	Length (m)	Au_avg (g/t)	Cu_avg (%)	Zn_avg (%)	Ag_avg (g/t)
		903.90 - 905.30 I2-1, Por-fp, Mag INTRUSIF INTERMÉDIAIRE À FELSIQUE, PORPHYRES DE PLAGIOCLASE, MAGNÉTIQUE Similaire à 883,6 - 886,3m. Massif, de dureté moyenne, faiblement magnétique et non carbonatisé. 2-3% de plagioclase hypidiomorphe de couleur blanchâtre à jaunâtre (localement saussuricitisés). Mésostase à grains fins, de couleur gris moyen à vert moyen. Altération dominante en silice? (faible). Recoupé par quelques veinules ±continues de carbonate de 0 à 65°AC pouvant contenir jusqu'à 30% de chalcopryrite et 1% de bornite. Schistosité absente. Contact supérieur franc à 55°AC. Contact inférieur franc à 55-60°AC occupé par des veines de quartz-carbonate.						
		903.90 - 904.20 Contact. 1-2% VL cCpBn.	B56407	0.30	0.003	0.0282	0.0063	0.05
		904.20 - 905.00 2% VL c. <1% Cp et traces Sp? avec une des veinules.	B56408	0.80	0.003	0.0033	0.0065	0.05
		905.00 - 905.30 Contact. 1% VL c. 2% Frc Chl.	B56409	0.30	0.003	0.0004	0.0067	0.05
		905.30 - 905.60 Contact. 15% VN cq. Traces Cp.	B56410	0.30	0.003	0.0006	0.0100	0.05
913.30	933.80	V2J, Bre, Frg, (Mas) ANDÉSITE BRÉCHIQUE Unité de couleur gris moyen à vert moyen, aphanitique, de dureté faible, de composition mafique à intermédiaire, homogène, non magnétique et carbonatisée. 15-20% de "fragments" mm à dm, mal définis, leucocrates, sub-arrondis, de couleur grisâtre à vert-jaunâtre et altérés en carbonate ou séricite. Matrice de couleur vert moyen, altérée en chlorite verte. Traces à 2% de pyrite automorphe finement disséminée. Altération dominante en chlorite verte et en carbonate. Altération locale en chlorite noire sous forme de fragments ou d'amas mm de couleur noire. Recoupée par de rares veinules ±continues de carbonate±quartz de 25 à 50°AC pouvant contenir des quantités très variables de pyrite. Quelques fractures chloritisées (chlorite verte) à 50°AC. Contact supérieur occupé par un intrusif intermédiaire à felsique.						
		913.30 - 917.10 I2-1, Por-fp, Mag INTRUSIF INTERMÉDIAIRE À FELSIQUE, PORPHYRES DE PLAGIOCLASE, MAGNÉTIQUE Similaire à 883,6 - 886,3m. Unité massive, de dureté moyenne, faiblement à moyennement magnétique et non carbonatisée. 2-3% de plagioclase hypidiomorphe de couleur blanchâtre. Mésostase à grains fins, de couleur gris moyen à vert moyen. 1% de pyrite automorphe grossière disséminée. Altération dominante en silice? (faible). Recoupé par quelques veinules ±continues de carbonate de 20 à 65°AC pouvant contenir des traces de chalcopryrite. Schistosité absente. Contact supérieur franc à 55°AC. Contact inférieur broyé par la foreuse.						
		914.70 - 915.90 V3-2, Bre VOLCANITE MAFIQUE À INTERMÉDIAIRE, BRÉCHIQUE Idem à 913,3 - 933,8m.						
		916.90 - 917.20 Contact. 1-2% VL cPy.	B56411	0.30	0.003	0.0513	0.0068	0.20
		917.20 - 917.50 Contact. <1% VL c. <1% Py.	B56412	0.30	0.003	0.0071	0.0124	0.05
		920.50 - 922.00 Mag, Mt MAGNÉTIQUE, MAGNÉTITE Traces à 1% de magnétite <1mm disséminée.						
		922.30 - 922.50 Mas MASSIF Intervalle massif, aucun fragment visible.						

From (m)	To (m)	Description	Sample No.	Length (m)	Au_avg (g/t)	Cu_avg (%)	Zn_avg (%)	Ag_avg (g/t)
		925.40 - 925.50 Ft FAILLE Niveaux mm de boue de faille à 45°AC.						
		926.00 - 931.70 Pbl-c PORPHYROBLASTES DE CARBONATE Jusqu'à 15% de porphyroblastes mm et idiomorphes, de calcite de couleur blanchâtre. Les textures primaires sont partiellement oblitérées. La lave est à prédominance massive. On note que lorsqu'on peut apercevoir l'aspect bréchique de la lave, les porphyroblastes sont concentrés dans la portion matricielle n'affectant que très rarement les fragments.						
		926.30 - 926.70 Sll ROCHE D'ASPECT SILICIFIÉ Altération moyenne en silice. Intervalle grisâtre de dureté plus élevée.						
		933.50 - 933.80 Contact. 1-2% VL c. 1-2% Frc chl.	B56413	0.30	0.003	0.0097	0.0102	0.20
933.80	1 027.70	T2L,(V2J,Bre),(BkChi) TUF À LAPILLI INTERMÉDIAIRE Similaire à 842,4 - 913,3m. Jusqu'à 40% de cristaux de plagioclase mm à cm, majoritairement xénomorphes. On les retrouve plutôt sous forme d'amas cm blanchâtres à verdâtres sur des intervalles restreints (cm à m). Localement, les pseudo-fragments mm à cm de couleur blanchâtre à brunâtre représentent jusqu'à 40% de l'unité. Leurs contours sont toujours aussi flous. Les "fragments" mm chloriteux sont présents mais non uniformément distribués. Aucun sulfure visible. Altération dominante en séricite et en carbonate. Très rares veinules et veines de carbonate à 45°AC. Schistosité faible à 50-55°AC basé sur l'alignement des pseudo-fragments. Contact supérieur franc à 50°AC. Quelques intervalles de coulée andésitique bréchique.						
		933.80 - 937.20 Pbl-c PORPHYROBLASTES DE CARBONATE Jusqu'à 20% de porphyroblastes mm de carbonate, de couleur blanchâtre à beige.						
		933.80 - 934.10 Contact. Tr. Frc chl.	B56414	0.30	0.003	0.0003	0.0117	0.05
		948.30 - 950.20 Mag,Mt,Su MAGNÉTIQUE, MAGNÉTITE, SULFURES Intervalle magnétique. <1% de chalcopryrite ainsi que traces de pyrite et de magnétite finement disséminée.						
		949.90 - 950.20 2-3% VL c. 2% Py. Tr. Mt.	B56415	0.30	0.003	0.0017	0.0138	0.05
		950.20 - 951.20 I2J,Py,VLc DIORITE, PYRITE, VEINULES DE CARBONATE Intervalle massif, de couleur gris moyen, homogène, de dureté moyenne, de composition intermédiaire, non magnétique et non carbonatisé. Jusqu'à 3% de pyrite finement disséminée ou jusqu'à 10% de pyrite automorphe disséminée mais concentrée selon 65-70°AC. Il ne s'agit pas de "stringers" puisque les grains ne sont pas jointifs. 5-7% de veinules mm à cm de carbonate à 50, 70 et 160°AC contenant des quantités variables de chalcopryrite (tr. à 2%). Contact supérieur franc à 60°AC. Contact inférieur franc à 70°AC.						
		950.20 - 951.20 Voir géologie.	B56416	1.00	0.003	0.0022	0.0109	0.30
		951.20 - 951.50 Contact. 15% VN cCp(1%).	B56417	0.30	0.009	0.0901	0.0160	0.80

From (m)	To (m)	Description	Sample No.	Length (m)	Au_avg (g/t)	Cu_avg (%)	Zn_avg (%)	Ag_avg (g/t)
		954.50 - 954.80 Éponte supérieure. 2% VL c±qCp.	B56418	0.30	0.006	0.0328	0.0187	0.50
		954.80 - 955.30 VLqcCp VEINULES DE QUARTZ-CARBONATE-CHALCOPYRITE Deux veinules mm de quartz-carbonate de 0 à 10°AC contenant 2-3% de chalcopyrite.						
		954.80 - 955.30 Voir géologie. 1-2% Cp sur l'intervalle dû au faible angle AC.	B56419	0.50	0.008	0.0590	0.0188	0.70
		955.30 - 955.60 Éponte inférieure.	B56420	0.30	0.003	0.0006	0.0148	0.05
		955.60 - 956.70 Tr. VL c±qCp.	B56421	1.10	0.003	0.0194	0.0212	0.30
		956.70 - 957.10 Ser,Chl SÉRICITISATION, CHLORITISATION Altération moyenne en séricite et chlorite verte. Intervalle vert pâle à moyen, de dureté faible.						
		956.70 - 957.10 Contact. 1-2% VL cCp. 1-2% Py diss.	B56422	0.40	0.025	0.1446	0.0275	1.60
		957.10 - 958.10 I2J DIORITE Idem à précédent. 1-2% de veinules ±continues de carbonate de 30 à 50°AC. Jusqu'à 1-2% de pyrite finement disséminée. Contact supérieur franc à 60°AC. Contact inférieur à 55-60°AC.						
		957.10 - 958.10 Voir géologie.	B56423	1.00	0.003	0.0078	0.0166	0.40
		958.10 - 960.70 Hem HÉMATISATION Altération faible en hématite localisée au niveau des pseudo-fragments cm séricitisés. Ils sont désormais de teinte rosâtre.						
		958.10 - 958.40 Contact.	B56424	0.30	0.018	0.0006	0.0117	0.20
		964.80 - 965.10 Contact supérieur. 1% VL c.	B56425	0.30	0.003	0.0014	0.0171	0.05
		965.10 - 966.40 I2-1, Mag INTRUSIF INTERMÉDIAIRE À FELSIQUE, MAGNÉTIQUE Massif, de couleur gris foncé, vitreux, principalement aphanitique, de dureté moyenne à élevée, magnétique et non carbonatisé. Il y a des amas mm, xénomorphes, de couleur blanchâtre (~1%), qui semblent se développer (plagioclase?). <1% de cristaux <1mm, de magnétite de couleur grisâtre. Recoupé par quelques veinules ±continues et mm à cm de carbonate à faible angle avec la carotte (5 à 20°AC) et pouvant contenir jusqu'à 2% de chalcopyrite. Présence de <1% de pyrite automorphe mm disséminée dans la roche et dans les veinules. La pyrite semble tardive. Schistosité absente. Contact supérieur franc à 65°AC. Contact inférieur franc à 60°AC.						
		965.10 - 966.40 2% VL cCp. <1% Py diss.	B56426	1.30	0.005	0.0402	0.0122	0.40

From (m)	To (m)	Description	Sample No.	Length (m)	Au_avg (g/t)	Cu_avg (%)	Zn_avg (%)	Ag_avg (g/t)
966.40 - 985.00		Hem HÉMATISATION Altération faible en hématite. 2-3% de pseudo-fragments cm, à contacts diffus, possédant une légère teinte rosâtre. Les niveaux glomérporphyriques sont plutôt rares dans ce secteur. Les fragments sont majoritairement dm et montrent jusqu'à 40% de plagioclase de couleur grisâtre. Leur fréquence est de l'ordre du décimètre. Les premiers dix mètres montrent des structures ressemblant beaucoup à des amygdales. On note cependant qu'il y a des sphères mm grisâtres ressemblant drôlement à des cristaux mm et tabulaires de plagioclase de couleur grisâtre qui sont présents dans le même secteur. Ils se peut que toutes les amygdales identifiées dans cette unité ne soient en réalité que des cristaux ayant subi une érosion magmatique (résorption).						
	966.40 - 966.70	Contact inférieur. Tr. VL c.	B56427	0.30	0.008	0.0200	0.0173	0.20
	970.30 - 970.60	Contact supérieur. 8-10% VN cq±Cp.	B56428	0.30	0.003	0.0099	0.0151	0.30
	970.60 - 971.00	1% VL c±Cp.	B56429	0.40	0.003	0.0109	0.0167	0.30
971.00 - 971.30		I2-1, Mag INTRUSIF INTERMÉDIAIRE À FELSIQUE, MAGNÉTIQUE Idem à précédent. 1% de magnétite. Amas blanchâtres toujours présents (plagioc?). Contact supérieur occupé par une veine de 5cm de carbonate±quartz à 65°AC contenant <1% Cp. Quelques veinules <1mm de tourmaline noire recoupant la veine. La tourmaline représente 3% de la veine. Éponte supérieure séricitisée. Traces de pyrite. Contact inférieur franc à 55-60°AC.						
	971.00 - 971.30	Contact inférieur. 2% VL cq±Cp.	B56430	0.30	0.003	0.0014	0.0242	0.05
974.60 - 975.30		Mas MASSIF Intervalle d'aspect massif, de couleur gris moyen. Aucun fragment et/ou plagioclase visible. Les contacts semblent graduels.						
975.50 - 975.70		Mas MASSIF Idem à précédent.						
976.20 - 976.30		Mas MASSIF Idem à précédent.						
977.30 - 980.60		Mag, Mt MAGNÉTIQUE, MAGNÉTITE Intervalle fortement magnétique. 2-3% de magnétite <1mm finement disséminée. La portion centrale (978,5 à 979,5m) montre 15-20% de fragments? cm à dm de veines de carbonate-quartz contenant des traces de chalcopryrite et de pyrite. Ces "fragments" sont majoritairement zonés. Le quartz se retrouve le plus souvent au centre tandis que le carbonate se retrouve surtout en périphérie et sous forme de fragments anguleux à l'intérieur des zones plus riches en quartz. 1% de filaments mm de tourmaline noire recoupant ou juxtaposés aux "fragments" de carbonate-quartz. Ressemble à une brèche hydraulique.						
	978.20 - 978.50	Éponte supérieure. 1-2% VL cq.	B56431	0.30	0.003	0.0012	0.0266	0.05

From (m)	To (m)	Description	Sample No.	Length (m)	Au_avg (g/t)	Cu_avg (%)	Zn_avg (%)	Ag_avg (g/t)
		978.50 - 979.50 Voir géologie.	B56432	1.00	0.025	0.0071	0.0278	0.20
		979.50 - 979.80 Éponte inférieure. 5-7% VL cq.	B56433	0.30	0.011	0.0069	0.0238	0.20
		989.60 - 989.90 Éponte supérieure. 3% VL cq.	B56434	0.30	0.003	0.0062	0.0193	0.20
		989.90 - 991.30 I2J7,Mag						
		DIORITE?, MAGNÉTIQUE						
		Similaire à précédent (965,1 et 971,0m). Roche de couleur gris moyen, de dureté moyenne, magnétique, à grains fins, de composition intermédiaire. Les amas mm de couleur blanchâtre sont toujours présents (plagioc?). 1-2% de magnétite <1mm et traces de chalcopryrite disséminées. Contact supérieur ondulant mais franc (-50°AC) occupé par une veine cm de quartz-carbonate de même attitude contenant <1% de chalcopryrite et des traces de pyrite. Contact inférieur franc à 55°AC. Il semble qu'il s'agisse de la même unité qu'auparavant, silicification et aspect vitreux en moins.						
		989.90 - 991.30 Contient 0,2m de lithog. Traces VL cq.	B56435	1.40	0.006	0.0216	0.0146	0.30
		991.30 - 992.00 1% VL cq.	B56436	0.70	0.003	0.0006	0.0181	0.10
		992.00 - 993.50 I2J7,Mag						
		DIORITE?, MAGNÉTIQUE						
		Idem à précédent. Contact supérieur franc à 65°AC. Contact inférieur franc à 55°AC.						
		992.00 - 993.00 3% VL cq.	B56437	1.00	0.003	0.0108	0.0142	0.30
		993.00 - 994.10 Traces VL cq.	B56438	1.10	0.003	0.0005	0.0145	0.05
		994.10 - 995.20 I2J?						
		DIORITE?						
		Idem à précédent. Magnétisme absent. Contact supérieur franc à 50-55°AC. Recoupé par 5% de veines mm à cm de 25 à 115°AC (pendage inverse). Contact inférieur franc occupé par une veine cm discontinue et une brèche carbonatisée de quartz-carbonate contenant 2% pyrite à 65°AC.						
		994.10 - 995.20 Voir géologie.	B56439	1.10	0.003	0.0106	0.0131	0.20
		995.20 - 995.50 Éponte inférieure. 10% VN cqPy.	B56440	0.30	0.003	0.0104	0.0124	0.20
		998.00 - 998.50 Bri,VNcq						
		BRÈCHE HYDRAULIQUE, VEINES DE CARBONATE-QUARTZ						
		Similaire à 978,5 à 979,5m. 15-20% de carbonate-quartz localement zonés sous forme de pseudo-fragments mm à cm et de veines cm de 25 à 40°AC pouvant contenir des traces de pyrite. Fragments d'épentes anguleux pratiquement imbricables.						
		998.00 - 998.50 Voir géologie.	B56441	0.50	0.003	0.0055	0.0108	0.05
		1 003.40 - 1 003.70 Contact. 2-3% VL cqCp.	B56442	0.30	0.012	0.0220	0.0103	0.30
		1 003.70 - 1 006.50 I2J?,Fit						
		DIORITE?, FAILLES						
		Idem à 989,9 - 991,3m et 992,0 - 993,5m. Altération légère en silice, roche un peu vitreuse et de dureté faible à moyenne. Éponte supérieure légèrement silicifiée et bréchifiée. Éponte inférieure montrant deux plans mm de boue de faille à 55°AC. Contacts francs à 55°AC.						

From (m)	To (m)	Description	Sample No.	Length (m)	Au_avg (g/t)	Cu_avg (%)	Zn_avg (%)	Ag_avg (g/t)
		1 003.70 - 1 004.00 Contact. 2% VL cqPy.	B56443	0.30	0.007	0.0112	0.0074	0.30
		1 006.20 - 1 006.50 Contact. 1% VL c.	B56444	0.30	0.005	0.0071	0.0114	0.30
		1 006.50 - 1 006.90 VLcq VEINULES DE CARBONATE-QUARTZ 20% d'injections ±continues de carbonate (80%) recoupant et fragmentant le quartz (20%). Veinules de 45 à 55°AC. Traces de pyrite dans les veinules ainsi que disséminée dans les épontes.						
		1 006.50 - 1 006.90 Contact. Voir géologie.	B56445	0.40	0.003	0.0026	0.0094	0.05
		1 006.90 - 1 007.20 Contact. 1-2% VL c.	B56446	0.30	0.014	0.0214	0.0159	0.20
		1 007.70 - 1 011.80 Mag MAGNÉTIQUE Intervalle faiblement à moyennement magnétique. Présence de <1% de magnétite <1mm.						
		1 011.80 - 1 012.10 Contact. Traces VL c.	B56447	0.30	0.013	0.0190	0.0160	0.05
		1 011.90 - 1 012.00 Fit FAILLE Plan mm de boue à 65°AC.						
		1 012.10 - 1 013.90 I2J? DIORITE? Idem à 1003,7 - 1006,5m. Contact supérieur franc à 55-60°AC. Contact inférieur franc 65°AC.						
		1 012.10 - 1 012.40 Contact. 1% VL et Frc c.	B56448	0.30	0.017	0.0211	0.0119	0.05
		1 013.60 - 1 013.90 Contact. <1% VL cq.	B56449	0.30	0.018	0.0321	0.0138	0.30
		1 013.90 - 1 014.20 Contact. <1% VL cq.	B56450	0.30	0.012	0.0172	0.0130	0.50
		1 016.00 - 1 023.00 Hem HÉMATISATION Altération légère et intermittente en hématite. Fragments leucocrates légèrement rosâtres.						
		1 016.30 - 1 016.60 Contact. 1% VL c.	B56451	0.30	0.013	0.0073	0.0111	0.40
		1 016.60 - 1 017.10 I2J?,Lam DIORITE?, LAMINATIONS Similaire à précédent. Laminations mm leucocrates (grisâtres) à 65-70°AC. Densité des laminations = 1/cm. Contacts francs à 65-70°AC occupés chacun par une veinule <1cm de carbonate avec traces de pyrite.						
		1 016.60 - 1 017.10 Voir géologie.	B56452	0.50	0.018	0.0380	0.0101	0.05
		1 017.10 - 1 017.40 Contact. 2% VL c.	B56453	0.30	0.007	0.0063	0.0097	0.05
		1 020.90 - 1 021.40 Mag MAGNÉTIQUE Intervalle faiblement magnétique. Traces de magnétite <1mm disséminée.						
		1 021.10 - 1 021.40 Éponte supérieure.	B56454	0.30	0.010	0.0458	0.0094	0.40

From (m)	To (m)	Description	Sample No.	Length (m)	Au_avg (g/t)	Cu_avg (%)	Zn_avg (%)	Ag_avg (g/t)
		<p>1 021.40 - 1 021.80 VNcqPyCp VEINES DE CARBONATE-QUARTZ-PYRITE-CHALCOPYRITE 20% de veines cm de carbonate (80%) de couleur blanchâtre à beige recoupées? par des veinules mm de quartz (~20%) perpendiculaires aux épointes. Les veines de carbonate varient de 20 à 125°AC (pendage inverse). 1% de chalcopryrite spatialement associée au quartz ainsi que 1-2% de pyrite automorphe dans les veines et disséminée dans l'encaissant.</p> <p>1 021.40 - 1 021.80 Voir géologie.</p>	B56455	0.40	0.012	0.0364	0.0089	0.50
		<p>1 021.80 - 1 022.50 Mag MAGNÉTIQUE Intervalle faiblement magnétique. Traces de magnétite <1mm disséminée.</p> <p>1 021.80 - 1 022.10 Épointe inférieure.</p>	B56456	0.30	0.003	0.0084	0.0079	0.30
		<p>1 026.20 - 1 046.60 Hem HÉMATISATION Altération faible à moyenne en hématite. Intervalle comprenant des fragments leucocrates cm à dm, de teintes variant de rosâtre à rosée. De 1027,7 à 1031,9m, l'hématisation se fait plus persistante. Une partie de la matrice ainsi que des bordures de fragments sont localement plus altérées.</p>						
1 027.70	1 084.20	<p>V2J,Bre,Frg,(Mas)/T2L ANDÉSITE FRAGMENTAIRE ET / OU TUF À LAPILLI Unité d'aspect hétérogène, de couleur gris moyen à pâle, non magnétique et non carbonatisée. 40% de fragments cm à rarement dm, sub-anguleux à sub-arrondis, leucocrates variant de gris à blanchâtres pouvant montrer jusqu'à 5% d'amygdales mm de quartz. Aussi, 10% de "fragments" cm sub-arrondis, de couleur beige. Ces derniers sont riches en carbonate et contiennent des quantités variables de pyrite automorphe. Ils sont aussi similaires à quelques veinules de carbonate. Il se pourrait très bien qu'ils soient le résultat d'un phénomène d'altération en carbonate. On note aussi la présence d'amas mm (1 à 5%), de couleur vert foncé, anguleux et localement tabulaires (plagioclases chloritisés?). Près de 50% de portion matricielle de couleur vert moyen. La quasi-totalité des fragments montrent des contours flous et diffus (dents de scie, graduels...). Altération faible en chlorite verte et séricite de la matrice. Présence de chlorite noire jusqu'à 1016,0m sous forme d'amas mm (5%). Sulfure rares, traces de pyrite disséminée. Recoupée par de très rares veinules mm de carbonate±quartz de 20 à 50°AC contenant que très rarement des traces de chalcopryrite et de pyrite. Schistosité peu évidente à 50°AC basé sur l'alignement des fragments. Contact supérieur basé sur l'absence de niveaux glomérophyriques tel que rencontrés régulièrement auparavant.</p> <p>Un tri grossier est observable. De 1003,7 à 1027,0m, on note que les fragments cm forment 70% de l'unité. À 1026,5m, on observe une zonation d'altération (silice-hématite) à l'intérieur même d'un fragment.</p> <p>De 1027,0 à 1042,4m, ceux-ci sont plus gros (dm) et constituent environ 20% de l'intervalle.</p> <p>De 1042,4 à 1084,2m, Les fragments sont cm et forment 10 à 20% de l'intervalle. Ils sont plus vitreux, plus durs, de couleur gris pâle à noirâtre. Ils montrent aussi des intensités variables de carbonatation sous forme d'amas (porphyroblastes) et de fractures. La portion matricielle est plus chloritisée et montre aussi une carbonatation plus régulière.</p>						

From (m)	To (m)	Description	Sample No.	Length (m)	Au_avg (g/t)	Cu_avg (%)	Zn_avg (%)	Ag_avg (g/t)
1 028.10 - 1 028.30		Mag,Mt MAGNÉTIQUE, MAGNÉTITE Intervalle faiblement magnétique, <1% de magnétite disséminée <1mm. Aussi, présence de magnétite associée à quelques veinules mm de carbonate-quartz.						
1 030.60 - 1 033.30		Mag MAGNÉTIQUE, MAGNÉTITE Intervalle faiblement magnétique. <1% de magnétite finement disséminée. Magnétite présente aussi avec les veinules mm de quartz-carbonate.						
1 037.70 - 1 038.20		Sil ROCHE D'ASPECT SILICIFIÉ Altération faible à moyenne en silice. On voit des niveaux bréchiques (brèches hydrauliques) ayant de la silice comme matrice. Aussi, l'intervalle est légèrement plus dur.						
1 038.40 - 1 039.50		Mag MAGNÉTIQUE Intervalle faiblement magnétique, <1% de magnétite finement disséminée.						
1 040.40 - 1 040.70		Mag MAGNÉTIQUE Faiblement magnétique. <1% de magnétite disséminée <1mm.						
1 041.10 - 1 041.40		Bri,Sil,Car BRÈCHE HYDRAULIQUE, ROCHE D'ASPECT SILICIFIÉ, CARBONATISATION Brèche hydraulique. Matrice de couleur vert pâle composé de silice et de carbonate. Matrice de dureté moyenne et réagissant faiblement avec l'acide.						
		1 041.70 - 1 042.00 Éponte supérieure.	B56457	0.30	0.003	0.0058	0.0099	0.20
1 042.00 - 1 042.10		VNq VEINE DE QUARTZ Veine de 10cm de quartz de couleur blanc laiteux à 135°AC (pendage inverse p/r à la schistosité). Le centre de la veine montre une faible hématisation. Aucun sulfure visible.						
		1 042.00 - 1 042.30 35% de matériel de veine.	B56458	0.30	0.003	0.0023	0.0054	0.05
		1 042.30 - 1 042.60 Éponte inférieure.	B56459	0.30	0.011	0.0422	0.0094	0.60
1 042.40 - 1 043.50		Mag MAGNÉTIQUE Légèrement magnétique.						
1 046.60 - 1 064.20		Ch,Sil CHLORITISATION, ROCHE D'ASPECT SILICIFIÉ Altération plus importante en chlorite de la portion matricielle. Les fragments sont de composition plus felsique ou sont plus altérés en silice. Ils sont vitreux, de couleur noirâtre à grisâtre et durs. Ils ressemblent beaucoup aux fragments rencontrés à la fin du forage 303-28B (1419,0m).						

From (m)	To (m)	Description	Sample No.	Length (m)	Au_avg (g/t)	Cu_avg (%)	Zn_avg (%)	Ag_avg (g/t)
		1 050.00 - 1 050.30 Éponte supérieure.	B56460	0.30	0.003	0.0023	0.0135	0.05
		1 050.30 - 1 050.40 VNqCp VEINE DE QUARTZ-CHALCOPYRITE Veine de 8cm de puissance de quartz de couleur blanc laiteux. 8% de chalcopryrite dans la veine. La chalcopryrite est sous forme massive, forme un amas de 0,8cm X 3-4cm localisé à une fracture parallèle à la veine et localisée dans le quartz (injections successives?).						
		1 050.30 - 1 050.60 30% de matériel de veine.	B56461	0.30	0.008	0.2210	0.0087	0.30
		1 050.60 - 1 050.90 Éponte inférieure.	B56462	0.30	0.003	0.0061	0.0113	0.05
		1 056.60 - 1 056.90 Éponte supérieure.	B56463	0.30	0.003	0.0043	0.0125	0.20
		1 056.90 - 1 057.00 VNq VEINE DE QUARTZ Quartz blanc laiteux à 60°AC. Aucun sulfure.						
		1 056.90 - 1 057.20 30% de matériel de veine.	B56464	0.30	0.003	0.0042	0.0100	0.30
		1 057.20 - 1 057.50 Éponte inférieure.	B56465	0.30	0.003	0.0119	0.0116	0.20
		1 061.90 - 1 062.20 Contact supérieur.	B56466	0.30	0.010	0.0057	0.0113	0.30
		1 062.20 - 1 062.40 I2-3,Sch,chl INTRUSIF INTERMÉDIAIRE À MAFIQUE, SCHISTEUX, CHLORITE Unité massive, de couleur vert-jaunâtre, non magnétique et non carbonatisée. 5% d'amas mm et amorphes de séricite-chlorite alignés selon la schistosité. Mésostase aphanitique, altérée en séricite et contenant 1% de pyrite grossière automorphe. Contacts et schistosité (faible à moyenne) à 50-55°AC. "Salt & Pepper Dyke".						
		1 062.20 - 1 062.60 <1% Py.	B56467	0.40	0.003	0.0006	0.0139	0.05
		1 062.60 - 1 062.70 VLcPy,VLtm VEINULES DE CARBONATE-QUARTZ-PYRITE, VEINULES DE TOURMALINE Une veinule mm de carbonate de couleur blanchâtre et localement dissout à 60°AC et recoupant une veinule de ~1cm de quartz grisâtre de même attitude. 10% de pyrite associée aux deux types d'injections. Les épontes sont séricitisées. Plusieurs micro-veinules de tourmaline noire à 60°AC recoupant le tout.						
		1 062.60 - 1 062.90 8-10% Py.5-7% VL c. 2% VL tm.	B56468	0.30	0.010	0.0026	0.0076	0.70
		1 062.70 - 1 062.80 Py PYRITE 20% de pyrite très fine, de couleur brunâtre, non jointive mais alignée selon 55-60°AC et bréchifiant l'encaissant.						
		1 062.90 - 1 063.20 Éponte inférieure. 1% VL c.	B56469	0.30	0.003	0.0013	0.0133	0.30
		1 063.20 - 1 063.80 1-2% VL c.	B56470	0.60	0.007	0.0079	0.0129	0.40
		1 063.80 - 1 064.20 Éponte supérieure. 3-5% VL cq.	B56471	0.40	0.005	0.0171	0.0181	0.05

From (m)	To (m)	Description	Sample No.	Length (m)	Au_avg (g/t)	Cu_avg (%)	Zn_avg (%)	Ag_avg (g/t)
		1 064.20 - 1 064.70 Bre,VNc BRÉCHIQUE, VEINES DE CARBONATE 20% de veines cm et fragments de veines de carbonate-quartz. Alignement général à 5°AC. 95% de carbonate blanchâtre bréchifiant 5% de quartz gris pâle. Les injections sont discontinues par des plans mm chloriteux de 60 à 80°AC semblant se limiter aux zones d'injections. Traces de chalcopryrite associée à des fractures dans le carbonate.						
		1 064.20 - 1 064.70 Voir géologie.	B56472	0.50	0.003	0.0063	0.0175	0.05
		1 064.70 - 1 065.00 Éponte inférieure. 3-5% VL c.	B56473	0.30	0.003	0.0166	0.0192	0.20
		1 067.70 - 1 068.00 Ser,VLcqPy SÉRICITISATION, VEINULE DE CARBONATE-QUARTZ-PYRITE Altération moyenne à forte en séricite sous forme de lamines et de front graduel donnant un aspect bréchiforme à l'intervalle. La séricite semble surimposer une silicification antérieure. Une veinule de carbonate-quartz contenant un amas cm de pyrite massive vient recouper le tout selon 85°AC. La carbonate (60%) bréchifie le quartz (35%). La pyrite représente 5% de la veinule.						
		1 067.70 - 1 068.00 3-5% VL cqPy.	B56474	0.30	0.003	0.0043	0.0113	0.05
		1 068.00 - 1 068.10 I2-3,Sch,chl,Flt INTRUSIF INTERMÉDIAIRE À MAFIQUE, SCHISTEUX, CHLORITE, FAILLE Idem à 1062,6 - 1062,7m. Contact supérieur ondulé mais franc à 85°AC. Contact inférieur faillé, boue mm de faille à 85°AC. "Salt & Pepper Dyke".						
		1 068.00 - 1 068.30 40% I2-3Sch.	B56475	0.30	0.003	0.0083	0.0232	0.05
		1 070.40 - 1 070.50 Stg? Py VEINULES? DE PYRITE Deux niveaux mm de pyrite selon 60 et 70-75°AC constitués de pyrite automorphe sub-jointive. Il n'est pas évident qu'il s'agisse de minéralisation de type VSM puisqu'il n'y a aucune altération associée. Localement, on note la présence de carbonate associé à la pyrite. <1% de sphalérite brune.						
		1 070.40 - 1 070.70 2-3% Py.	B56476	0.30	0.008	0.0086	0.0373	0.40
		1 070.50 - 1 071.40 Bre,Car? BRÈCHE, CARBONATISATION? Altération forte mais locale en carbonate? bréchifiant de façon importante l'éponte. Matrice de couleur blanchâtre à verdâtre ne réagissant pas avec l'acide froid. Fragments mm à cm d'éponte de forme sub-arrondis.						
		1 071.10 - 1 071.40 Contact.	B56477	0.30	0.003	0.0088	0.0337	0.20
		1 071.40 - 1 071.80 I2-3,Sch,chl INTRUSIF INTERMÉDIAIRE À MAFIQUE, SCHISTEUX, CHLORITE Idem à 1062,6 - 1062,7m. Contact supérieur broyé par la foreuse. Contact inférieur à 60-65°AC. "Salt & Pepper Dyke".						
		1 071.40 - 1 071.80 Voir géologie.	B56478	0.40	0.003	0.0012	0.0244	0.05

From (m)	To (m)	Description	Sample No.	Length (m)	Au_avg (g/t)	Cu_avg (%)	Zn_avg (%)	Ag_avg (g/t)
		1 071.80 - 1 072.60 Brs,Car? BRÈCHE, CARBONATISATION? idem à précédent.						
		1 071.80 - 1 072.60 Contact.	B56479	0.80	0.011	0.0559	0.0276	0.50
		1 072.60 - 1 081.00 12J DIORITE Unité massive, de couleur vert moyen, à grains fins, non magnétique et non carbonatisée. Rares traces de plagioclase hypidiomorphique de couleur blanchâtre. Très rares cristaux mm de pyrite. Altération très faible en chlorite verte. Aucune schistosité. Recoupée par de rares veinules mm de carbonate-quartz de 30 à 50°AC. Le carbonate bréchifie le quartz ou occupe la périphérie des veinules. Contact supérieur franc à 60°AC. Contact inférieur moins évident, basé sur l'apparition de fragments cm, sub-arrondis et très flous.						
		1 072.60 - 1 072.90 Bri,VLqc BRÈCHE HYDRAULIQUE, VEINULES DE QUARTZ-CARBONATE 15-20% de veinules mm à cm de quartz-carbonate de toutes directions. Le carbonate occupe la partie centrale des veines. Elles peuvent contenir de la pyrite automorphe mais cette dernière semble être une incorporation de la pyrite disséminée présente dans l'éponte (remobilisation).						
		1 072.60 - 1 072.90 Contact. Voir géologie.	B56480	0.30	0.010	0.0490	0.0261	1.40
		1 072.90 - 1 073.30 Hem HÉMATISATION Altération faible en hématite, intervalle légèrement rosâtre.						
		1 072.90 - 1 073.30 Zone Hem. Voir géologie.	B56481	0.40	0.011	0.0422	0.0243	0.05
		1 077.20 - 1 077.50 Éponte. 1% VL.	B56482	0.30	0.006	0.0170	0.0197	0.05
		1 077.50 - 1 078.20 VNcCp VEINE DE CARBONATE-CHALCOPYRITE Veine de carbonate blanchâtre de 30cm de puissance à 20°AC contenant 3% de chalcopryrite dans les fractures et 3% de fragments d'éponte. Cristaux cm de carbonate.						
		1 077.50 - 1 078.20 75% de veine. 25% d'éponte.	B56483	0.70	0.110	0.1858	0.0089	0.05
		1 078.20 - 1 078.50 Éponte. 1% VL.	B56484	0.30	0.011	0.0150	0.0176	0.05
		1 080.70 - 1 081.00 Contact? 5% VL.	B56485	0.30	0.006	0.0100	0.0121	0.05
		1 081.00 - 1 081.30 Contact? Traces VL.	B56486	0.30	0.007	0.0114	0.0194	0.05
		1 083.20 - 1 083.50 VLchIPy VEINULE DE CHLORITE-PYRITE Une veinule variant de 1 à 5mm à 15°AC. 70% de chlorite verte, 25% de carbonate et 5% de pyrite automorphe.						
		1 083.20 - 1 083.50 3% VL chIPy, 3% VL qc.	B56487	0.30	0.025	0.1428	0.0166	0.05

From (m)	To (m)	Description	Sample No.	Length (m)	Au_avg (g/t)	Cu_avg (%)	Zn_avg (%)	Ag_avg (g/t)
1 084.20	1 196.80	V2J,Bre ANDÉSITE BRÉCHIQUE Similaire à précédent. Les fragments sont plus grossiers, de l'ordre du dm et semblent généralement monomictiques. Ceux-ci forment environ 30% de l'unité. Ils sont aphanitiques, de couleur grisâtre à rarement rosâtre et peuvent montrer jusqu'à 5% d'amygdales mm de chlorite verte ou de quartz pouvant contenir du carbonate et de la pyrite. La chlorite et la séricite représentent les altérations principales (faibles). Une zonation d'altération (silice?) peut être aussi présente en périphérie de ces fragments. Présence de 10 à 20% de fragments cm, aphanitiques, sub-anguleux à sub-arrondis, de couleur grisâtre à vert-jaunâtre. Une bonne proportion des fragments, surtout les fragments cm, montre très souvent des contacts flous avec la portion matricielle. La matrice constitue près de 50 à 60% de l'unité. Elle est altérée en chlorite verte et en séricite. Localement on observe une légère altération en silice. Localement, cette dernière apporte un aspect bréchique à la roche (cf. 1085,0 à 1085,3m). Rares veinules de carbonate à 50°AC. Schistosité faible à moyenne à 50°AC basée sur l'alignement préférentiel des fragments. Contact supérieur graduel basé sur la proportion de fragments plus grossiers.						
		1 091.10 - 1 091.70 Fr FRACTURATION Broyage intense par la foreuse. Fragments majoritairement cm et anguleux. Aucun niveau de boue.						
		1 094.50 - 1 094.80 Contact. 8-10 VL.	B56488	0.30	0.006	0.0131	0.0147	0.05
		1 094.80 - 1 095.30 I2J,Por-fp DIORITE, PORPHYRES DE PLAGIOCLASE Similaire à précédent. <1% de plagioclase hypidiomorphe plus évident que précédemment. <1% de pyrite. Altération légèrement plus intense en chlorite verte. Contact supérieur franc occupé par quelques veinules de quartz-carbonate à 55°AC contenant 3% de pyrite automorphe. Contact inférieur franc à 55°AC.						
		1 094.80 - 1 095.30 Voir géologie.	B56489	0.50	0.003	0.0023	0.0151	0.05
		1 095.30 - 1 095.80 Contact. Tr. VL.	B56490	0.30	0.003	0.0491	0.0161	0.20
		1 097.10 - 1 097.40 Contact.	B56491	0.30	0.003	0.0009	0.0128	0.05
		1 097.40 - 1 100.00 I2J DIORITE Idem à précédent. Contact supérieur franc à 55°AC. Contact inférieur franc à 45°AC.						
		1 097.40 - 1 098.50 1% VL c.	B56492	1.10	0.003	0.0004	0.0129	0.05
		1 098.50 - 1 098.90 VNqcCp VEINE DE QUARTZ-CARBONATE-CHALCOPYRITE Veine de quartz de 20-25cm de puissance à 15-20°AC. 65% de quartz blanchâtre à légèrement grisâtre, 20% de carbonate blanchâtre à beige, 8-10% de fragments de quartz moyennement hématisé et 3-5% de chalcoppyrite sous forme de disséminations et en remplissage de fractures. Traces de pyrite associée à la chalcoppyrite. Contacts très irréguliers montrant de la chlorite verte. Aussi, chlorite verte dans quelques fractures. Altération intense mais locale en silice, épontes localement blanchies et dures.						
		1 098.50 - 1 098.90 Voir géologie. 80% de matériel de veine.	B56493	0.40	0.050	0.2998	0.0061	1.40
		1 098.90 - 1 100.00 1-2% VL c. 1% VL chl.	B56494	1.10	0.003	0.0013	0.0115	0.05

From (m)	To (m)	Description	Sample No.	Length (m)	Au_avg (g/t)	Cu_avg (%)	Zn_avg (%)	Ag_avg (g/t)
		1 100.00 - 1 100.10 Bri?, VL BRÈCHE HYDRAULIQUE?, VEINULES DE QUARTZ-HÉMATITE-CARBONATE-PYRITE 30% de fragments de quartz-hématite, 3-5% de pyrite dans le quartz et interstitielle, bréchifiant le quartz. 5-7% de matrice composée de carbonate de couleur beige (localement dissout). Le carbonate donne un aspect bréchique à l'intervalle. Il y a aussi des veinules (5%) de quartz-carbonate à 160°AC (pendage inverse) qui, localement, recoupent le tout. Contacts de la brèche à 45°AC.						
		1 100.00 - 1 100.30 Contact. 8-10% VL.	B56495	0.30	0.003	0.0028	0.0106	0.05
		1 100.30 - 1 100.60 Éponte.	B56496	0.30	0.003	0.0056	0.0128	0.20
		1 102.90 - 1 103.20 Éponte supérieure.	B56497	0.30	0.003	0.0005	0.0128	0.05
		1 103.20 - 1 103.30 VN cqPy, VLtm VEINE DE CARBONATE-QUARTZ-PYRITE, VEINULE DE TOURMALINE Veine de 3cm de puissance de carbonate-quartz-pyrite à 50-55°AC. Le carbonate (70%) est de couleur beige et recoupe le quartz (10%) de couleur grisâtre. 5% de pyrite automorphe alignée selon la veine. Une micro-veinule irrégulière de tourmaline noire occupe la portion centrale de la veine.						
		1 103.20 - 1 103.50 15% VN.	B56498	0.30	0.003	0.0029	0.0125	0.05
		1 103.50 - 1 103.80 Éponte inférieure. 1-2% VL c.	B56499	0.30	0.003	0.0044	0.0157	0.05
		1 105.40 - 1 106.80 Sil, Bri ROCHE D'ASPECT SILICIFIÉ, BRÈCHE HYDRAULIQUE Altération moyenne à intense mais locale en silice donnant l'aspect bréchiforme. Les fragments de la roche encaissante sont mésocrates, de couleur vert foncé, plutôt anguleux, mm à rarement dm et pratiquement in situ. Aucune minéralisation associée.						
		1 106.80 - 1 107.60 Mas? MASSIF? Aspect plus massif de l'unité. Les fragments leucocrates, tels qu'habituellement rencontrés, y sont absents. Cependant, une silicification locale est présente, bréchifiant légèrement l'intervalle.						
		1 107.80 - 1 108.10 Éponte supérieure.	B56500	0.30	0.003	0.0143	0.0141	0.20
		1 108.10 - 1 108.20 VNqcCpSp VEINE DE QUARTZ-CARBONATE-CHALCOPYRITE-SPHALÉRITE-BORNITE Veine de quartz 3-4 cm à 25°AC. 80% de quartz blanchâtre à grisâtre. La portion centrale est occupée par une veinule <1cm de carbonate se transformant en brèche carbonatisée. Le carbonate, de couleur beige, compte pour 15% des constituants de la veine. Jusqu'à 4% de chalcopryrite et 1% de pyrite associées plus souvent au carbonate qu'au quartz. Présence de sphalérite (1%) spatialement associée à la chalcopryrite lorsque présente dans les zones de carbonate. Le carbonate recoupe et bréchifie le quartz. Les contacts du quartz sont très irréguliers.						
		1 108.10 - 1 108.40 20% de matériel de veine.	B56501	0.30	0.011	0.1231	0.0234	2.00
		1 108.40 - 1 109.80 Éponte.	B56502	1.40	0.003	0.0112	0.0248	1.00

From (m)	To (m)	Description	Sample No.	Length (m)	Au_avg (g/t)	Cu_avg (%)	Zn_avg (%)	Ag_avg (g/t)
		1 109.80 - 1 109.90 Su,VLqcSu SULFURES, VEINULES DE QUARTZ-CARBONATE-SULFURES Veinules mm à cm de quartz-carbonate à 55-60°AC contenant 5% de chalcopryrite, 2-3% de sphalérite et 1-2% de pyrite. On remarque souvent une relation spatiale entre le carbonate et les sulfures. Aussi, 2% de chalcopryrite et 1-2% de pyrite disséminées. La zone minéralisée est difficile à décrire puisque la carotte a été broyée en partie et enduite de graisse par les foreurs. 10% de matériel de veine sur l'intervalle.						
		1 109.80 - 1 110.20 Voir géologie.	B56503	0.40	0.038	0.4605	0.0274	6.30
		1 110.20 - 1 110.60 2% Py diss.	B56504	0.40	0.003	0.0060	0.0205	0.30
		1 110.60 - 1 110.80 VNcSu VEINE DE CARBONATE-SULFURES Veinules mm à cm de carbonate blanchâtre à 60 et 150°AC (pendage inverse). Elles contiennent jusqu'à 2% de chalcopryrite et 1% de pyrite. 1-2% de pyrite et traces de chalcopryrite dans les épontes environnantes lorsqu'il y a une faible carbonatation.						
		1 110.60 - 1 110.90 10% de matériel de veine.	B56505	0.30	0.011	0.1323	0.0238	2.30
		1 110.90 - 1 111.20 Éponte inférieure.	B56506	0.30	0.007	0.0217	0.0271	0.20
		1 113.40 - 1 113.70 Éponte supérieur.	B56507	0.30	0.003	0.0035	0.0225	0.05
		1 113.70 - 1 113.80 Fit,VNcSu FAILLE, VEINE DE CARBONATE-SULFURES, VEINULE DE TOURMALINE Une veine cm de carbonate à 55°AC. 15% de pyrite et <1% de chalcopryrite spatialement associées à la veine. Il semble toutefois que les sulfures soient tardifs p/r à la veine puisqu'il y a surimposition des sulfures dans les épontes. Une veinule de tourmaline <1mm occupant la partie centrale de la veine de carbonate et recoupant la pyrite. Traces de sphalérite? Éponte supérieure faillée à 55°AC.						
		1 113.70 - 1 114.00 7% de matériel de veine.	B56508	0.30	0.003	0.0255	0.0232	0.30
		1 114.00 - 1 115.40 Éponte.	B56509	1.40	0.003	0.0016	0.0180	0.05
		1 115.40 - 1 115.60 VNq VEINE DE QUARTZ Veine de quartz de 15cm de puissance, de couleur blanc laiteux à 30°AC. Traces de pyrite automorphe.						
		1 115.40 - 1 115.70 60% VN.	B56510	0.30	0.010	0.0012	0.0067	0.05
		1 115.70 - 1 116.00 Éponte inférieure.	B56511	0.30	0.006	0.0021	0.0143	0.05
		1 119.20 - 1 119.50 Éponte supérieure.	B56512	0.30	0.003	0.0006	0.0159	0.05
		1 119.50 - 1 120.00 VNqc VEINE DE QUARTZ-CARBONATE Veine de quartz. 70% de quartz de couleur blanchâtre à grisâtre, 20% de fragments d'épontes localement altérées en chlorite et en fuchsite? (teinte vert pistache). 10% de carbonate sous forme de fragments? cm isolés dans la veine. Traces de chalcopryrite et, plus rarement, de pyrite associées à des fragments d'éponte chloritisée inclus dans la veine. Contact supérieur à 35-40°AC. Contact inférieur broyé.						
		1 119.50 - 1 120.00 Voir géologie.	B56513	0.50	0.006	0.0389	0.0038	0.40
		1 120.00 - 1 120.30 Éponte inférieure.	B56514	0.30	0.003	0.0030	0.0136	0.05

From (m)	To (m)	Description	Sample No.	Length (m)	Au_avg (g/t)	Cu_avg (%)	Zn_avg (%)	Ag_avg (g/t)
		1 142.30 - 1 145.00 Mas7,Ser MASSIF?, SÉRICITISATION Aspect plus massif. Les fragments leucocrates ne sont pas visibles. 3% d'arnas mm amorphes chloriteux, de couleur vert foncé. Altération plus importante en séricite, intervalle de couleur vert pâle à jaunâtre. Contacts graduels.						
		1 172.40 - 1 172.70 Éponte supérieure.	B56515	0.30	0.007	0.0066	0.0093	0.05
		1 172.70 - 1 172.90 VLqcPy VEINULE DE QUARTZ-CHALCOPYRITE Veinules de 3-4mm de puissance à 5°AC contenant 1-2% de chalcopryrite et des traces de pyrite. Traces de sphalérite rouge? Quartz de couleur grisâtre. <1% de chalcopryrite et pyrite disséminée dans l'encaissant.						
		1 172.70 - 1 173.00 10% de matériel de veine.	B56516	0.30	0.014	0.0406	0.0079	0.20
		1 173.00 - 1 173.30 Éponte inférieure.	B56517	0.30	0.006	0.0134	0.0093	0.05
		1 174.80 - 1 176.00 I2J,Mag DIORITE, MAGNÉTIQUE Unité massive de couleur gris foncé, de dureté moyenne, moyennement magnétique et non carbonatisée. 1-2% de plagioclase hypidiomorphique de 1mm, de couleur blanchâtre baignant dans une mésostase à grains fins. <1% de chalcopryrite et traces de magnétite <1mm disséminées. Altération faible en silice et chlorite. Localement, aspect vitreux de l'unité. Recoupée par de rares veinules mm de carbonate et de quartz-carbonate variant de 20 à 40°AC. Schistosité absente. Contact supérieur franc broyé par la foreuse. Légère hématisation de l'éponte. Contact inférieur faillé à 50°AC. À 1174,9m, veine de 3cm de chlorite verte à 30°AC contenant des traces de chalcopryrite. Épontes enrichies en magnétite sur les premiers mm (30% sur le premier 2mm). Le centre de la chlorite est occupé par une veinule irrégulière de quartz.						
		1 180.60 - 1 181.20 Alb? ALBITISATION? Altération de la portion matricielle en albite? Intervalle blanchi mais la dureté est plutôt moyenne. Les textures primaires sont atténuées, les fragments sont encore visibles mais plus flous. L'albite pourrait être accompagnée d'une faible séricitisation.						
		1 181.70 - 1 182.00 Éponte.	B56518	0.30	0.003	0.0028	0.0149	0.05
		1 182.00 - 1 182.30 15% de matériel de veines.	B56519	0.30	0.003	0.0078	0.0089	0.05
		1 182.10 - 1 182.30 VLcqtm VEINULES DE CARBONATE-QUARTZ-TOURMALINE 40% de veinules mm à cm de quartz-carbonate de 65 à 75°AC. Rares traces de chalcopryrite et de pyrite. Épontes légèrement séricitisées. Deux micro-veinules de tourmaline noire recoupent une veinule de carbonate-quartz parallèlement à cette dernière.						
		1 182.30 - 1 184.10 I2J DIORITE Similaire à précédent. Très rares cristaux <1mm de plagioclase surtout localisés près du contact supérieur. Altération dominante en chlorite verte. (faible). Silicification très faible. Schistosité absente. Contact supérieur occupé par une veine de 1cm de quartz-carbonate-tourmaline. Contact inférieur franc mais irrégulier à 25°AC.						

From (m)	To (m)	Description	Sample No.	Length (m)	Au_avg (g/t)	Cu_avg (%)	Zn_avg (%)	Ag_avg (g/t)
		1 182.30 - 1 182.60 Contact. 3% de VL.	B56520	0.30	0.003	0.0004	0.0115	0.05
		1 183.80 - 1 184.10 4% VL.	B56521	0.30	0.006	0.0018	0.0142	0.05
		1 184.10 - 1 185.10 Contact. 2% VL.	B56522	1.00	0.007	0.0045	0.0170	0.05
		1 185.10 - 1 185.50 Contact. 1% VL.	B56523	0.40	0.009	0.0145	0.0153	0.05
		1 185.50 - 1 185.80 Contact.	B56524	0.30	0.003	0.0026	0.0124	0.05
		1 186.10 - 1 186.50 I2J DIORITE Similaire à précédent. Magnétisme très faible. Altération plus intense en chlorite verte. Carbonatisation locale donnant un aspect légèrement bréchiq. Contact supérieur franc à 45°AC. Contact inférieur franc à 60°AC.						
		1 191.00 - 1 193.70 Car CARBONATISATION Altération en calcite. Réaction à l'acide.						
		1 195.30 - 1 196.80 Chi,Hem CHLORITISATION, HÉMATISATION Altération légèrement plus intense de la matrice en chlorite verte. Hématisation plus persistante.						
		1 196.50 - 1 196.80 Contact. 5-7% VN c.	B56525	0.30	0.003	0.0032	0.0078	0.05
1 196.80	1 249.40	V1D-Ti,Mag,(Amy) DACITE RICHE EN TITANE Unité massive de couleur gris moyen à vert moyen, à grains fins, non carbonatisée. Magnétisme moyen à fort sur les premiers 10 mètres. 2-3% de plagioclase hypidiomorphique <1mm de couleur blanchâtre. Aussi, 3% d'amas mm chloriteux amorphes alignés selon la schistosité. La mésostase est faiblement hématisée. Rares traces de pyrite et/ou chalcopryrite disséminées. Altération dominante en chlorite verte et en hématite. Schistosité faible à 50-55°AC. Recoupée par de rares veinules de quartz-carbonate parallèles à la schistosité. Quelques veinules mm de chlorite verte à 20°AC pouvant contenir des traces de pyrite et/ou de chalcopryrite. Contact supérieur franc à 50-55°AC.						
		1 196.80 - 1 199.10 Car CARBONATISATION Altération faible en calcite. Réaction faible à l'acide chloridrique.						
		1 196.80 - 1 197.60 Contact. Zone Car. 3-5% Frc chl.	B56526	0.80	0.003	0.0004	0.0064	0.05
		1 197.60 - 1 207.80 Hem,Sil HÉMATISATION, ROCHE D'ASPECT SILICIFIÉ Altération moyenne en hématite. L'altération est tantôt intégrale mais faible, tantôt forte mais restreinte, contrôlée par des plans de 60 à 80°AC. L'intervalle montre une teinte rosâtre. Une silicification accompagne localement l'hématite.						
		1 197.60 - 1 199.10 Zone Hem. 2-3% VL c.	B56527	1.50	0.003	0.0018	0.0049	0.05
		1 199.10 - 1 200.60 Zone Hem. 2% VL c.	B56528	1.50	0.003	0.0089	0.0083	0.05
		1 200.60 - 1 202.10 Zone Hem. <1% VL c.	B56529	1.50	0.003	0.0040	0.0074	0.05
		1 202.10 - 1 203.00 Zone Hem. Tr. VL c.	B56530	0.90	0.003	0.0027	0.0059	0.05

From (m)	To (m)	Description	Sample No.	Length (m)	Au_avg (g/t)	Cu_avg (%)	Zn_avg (%)	Ag_avg (g/t)
		1 203.00 - 1 204.80 Frc FRACTURES CARBONATISÉES 8-10% de micro-fractures <1mm de carbonate de 20, 0 et 160 °AC (pendage inverse). Aucune minéralisation visible avec le carbonate.						
		1 203.00 - 1 204.50 Voir géologie.	B56531	1.50	0.003	0.0016	0.0066	0.05
		1 204.50 - 1 204.80 Voir géologie.	B56532	0.30	0.003	0.0017	0.0063	0.05
		1 204.80 - 1 206.30 V2,Bre,VLcq VOLCANITE?, BRÉCHIQUE, VEINULES DE QUARTZ-CARBONATE Xénolite de volcanite? Aspect bréchique. Fragments cm à dm hématisés et matrice chloritisée. 5% de veinules mm de quartz-carbonate à 60°AC. Aussi, rares amas mm à cm de pyrite disséminée.						
		1 204.80 - 1 206.30 Voir géologie.	B56533	1.50	0.008	0.0219	0.0101	0.30
		1 206.30 - 1 207.60 V2,Bre,BKCh VOLCANITE, BRÉCHIQUE, CHLORITE NOIRE Similaire à précédent, veinules en moins. Portion matricielle moyennement altérée en chlorite noire. Les fragments rosâtres sont toujours présents.						
		1 206.30 - 1 207.80 Zone Hem. 1% VL.	B56534	1.50	0.014	0.0806	0.0144	0.30
		1 215.00 - 1 217.40 Mag MAGNÉTIQUE Intervalle moyennement magnétique. Traces de magnétite <1mm disséminée.						
		1 220.50 - 1 220.80 Éponte supérieure.	B56535	0.30	0.003	0.0028	0.0163	0.05
		1 220.80 - 1 221.10 V2/2 VOLCANITE? INTERMÉDIAIRE Voir description plus loin. Contact supérieur franc à 65°AC. Contact inférieur occupé par des veines.						
		1 220.80 - 1 221.10 Voir géologie.	B56536	0.30	0.003	0.0017	0.0115	0.05
		1 221.10 - 1 221.50 VN c VEINE DE CARBONATE 40% de veines mm à dm de 0, 50 et 110°AC (pendage inverse). Présence de veinules mm de quartz blanchâtre à grisâtre perpendiculairement aux épontes des veines de carbonate (150°AC). Quelques grains de pyrite et de chalcoppyrite dans les fractures. <1% de pyrite disséminée dans les épontes. Épontes légèrement hématisées, séricitisées et chloritisées.						
		1 221.10 - 1 221.50 Voir géologie.	B56537	0.40	0.009	0.0072	0.0142	0.05
		1 221.50 - 1 222.50 V2/2 VOLCANITE? INTERMÉDIAIRE Voir description plus loin. Contact supérieur occupé par des veines. Contact inférieur franc à 45-50°AC.						
		1 221.50 - 1 221.80 Éponte inférieure. 5-7% VL cq.	B56538	0.30	0.007	0.0193	0.0136	0.05
		1 223.50 - 1 223.80 Éponte supérieure. 2% VL.	B56539	0.30	0.003	0.0008	0.0077	0.05

From (m)	To (m)	Description	Sample No.	Length (m)	Au_avg (g/t)	Cu_avg (%)	Zn_avg (%)	Ag_avg (g/t)
	1 223.80 - 1 224.30	Chi,Brt,VNc,Fit CHLORITISATION, BRÈCHE TECTONIQUE, VEINES DE CARBONATE, FAILLE Altération forte en chlorite verte. Brèche tectonique, 10-15% de fragments de veines et de veinules de carbonate±quartz. Aucune minéralisation visible. Niveau mm de boue de faille à 70°AC. Altération d'intensité moyenne en hématite mais très localisée, près des fragments.						
	1 223.80 - 1 224.30	Voir géologie.	B56540	0.50	0.003	0.0008	0.0138	0.05
	1 224.30 - 1 224.60	Contact. 60% zones Ser-Sil.	B56541	0.30	0.003	0.0011	0.0052	0.05
	1 224.40 - 1 224.60	Sil,Ser ROCHE D'ASPECT SILICIFIÉ, SÉRICITISATION Altération moyenne en séricite et en silice au contact inférieur de l'intrusif. Intervalle jaunâtre et de dureté élevée.						
	1 224.60 - 1 229.90	Contact.	B56542	5.30	0.003	0.0007	0.0078	0.05
	1 230.20 - 1 243.00	Hem HÉMATISATION Altération d'intensité faible à moyenne en hématite. Ce sont des pseudo-fragments qui sont de teinte rosée. L'hématite est antérieure à la chlorite puisqu'elle est recoupée par celle-ci qui bréchifie le tout.						
	1 230.20 - 1 231.70	Zone lHem. 1% VL cq.	B56543	1.50	0.003	0.0010	0.0073	0.05
	1 231.70 - 1 232.50	Idem. 3% VL cqPy à 55°AC.	B56544	0.80	0.003	0.0030	0.0073	0.05
	1 232.50 - 1 237.70	Hem HÉMATISATION Altération plus intense en hématite. Intervalle de couleur rougeâtre. On note que l'hématite prend même la place de la chlorite localement. Les amas chloriteux sont devenus maintenant de couleur rouge et de dureté faible.						
	1 232.50 - 1 234.00	Zone m-sHem. 1% VL cq.	B56545	1.50	0.005	0.0014	0.0058	0.05
	1 234.00 - 1 235.50	Idem. 1-2% VL cq.	B56546	1.50	0.008	0.0010	0.0079	0.05
	1 235.50 - 1 237.00	Idem.	B56547	1.50	0.006	0.0013	0.0070	0.05
	1 237.00 - 1 237.70	Idem.	B56548	0.70	0.003	0.0016	0.0065	0.05
	1 237.70 - 1 239.20	Zone lHem. <1% VL cq.	B56549	1.50	0.003	0.0009	0.0099	0.05
	1 239.20 - 1 240.70	Idem.	B56550	1.50	0.003	0.0017	0.0074	0.05
	1 240.70 - 1 242.20	Idem.	B56551	1.50	0.003	0.0033	0.0039	0.05
	1 242.20 - 1 243.00	Idem. 1% VL cq.	B56552	0.80	0.003	0.0051	0.0052	0.05
	1 247.90 - 1 248.20	Contact.	B56553	0.30	0.003	0.0110	0.0072	0.30
	1 248.20 - 1 248.50	l2-3,Sch,chi INTRUSIF INTERMÉDIAIRE À MAFIQUE, SCHISTEUX, CHLORITE Massif, de couleur grisâtre à vert-jaunâtre, homogène, à grains fins, de composition intermédiaire, non magnétique et non carbonatisé. Jusqu'à 30% de porphyroblastes <1mm de carbonate de fer? (aucune réaction à l'acide). Ceux-ci sont plus évident à la surface de la carotte qu'en cassures fraîches. 2% de plagioclase? <1mm, hypidiomorphique, de couleur blanchâtre. 2-3% d'amas mm, amorphes et chloriteux, alignés selon la schistosité. <1% de pyrite automorphe 1mm, disséminée. Altération dominante en séricite (mésostase). Schistosité faible à moyenne à 30-35°AC basé sur l'alignement des amas chloriteux. Contact supérieur franc mais irrégulier à 30-35°AC. Contact inférieur franc à 30-35°AC. "Salt & Pepper Dyke".						

From (m)	To (m)	Description	Sample No.	Length (m)	Au_avg (g/t)	Cu_avg (%)	Zn_avg (%)	Ag_avg (g/t)	
1 249.40	1 297.50	1 248.20 - 1 248.50 Voir géologie.	B56554	0.30	0.003	0.0105	0.0159	0.05	
		1 248.50 - 1 249.40 Contact.	B56555	0.90	0.003	0.0020	0.0077	0.05	
		V1D-Tl,Het,(I2J)/V2J,Het? DACITE RICHE EN TITANE ET / OU ANDÉSITE MASSIVE HÉTÉROGÈNE Unité de composition intermédiaire, d'aspect massif, non magnétique, aphanitique, de couleur gris pâle à gris moyen et non carbonatisée. Jusqu'à 30% de taches (ou fragments) mm de carbonate de couleur beige, alignés selon la schistosité et donnant localement un aspect fragmentaire à l'unité. Aucune réaction à l'acide. 3-5% de taches mm de chlorite verte alignées selon la schistosité. Aucune minéralisation visible. Altération dominante en chlorite verte et en séricite. Schistosité faible à 50-55°AC. Recoupée par de très rares veinules mm de carbonate parallèles à la schistosité. Contact supérieur franc à 50°AC.							
		1 249.40 - 1 252.60 I2-3,Sch,chl INTRUSIF INTERMÉDIAIRE À MAFIQUE, SCHISTEUX, CHLORITE Aspect massif, à grains très fins, de couleur vert pâle contenant 2% d'amas mm et amorphes de chlorite verte. <1% de pyrite disséminée. Altération très faible en séricite. Schistosité faible. "Salt & Pepper Dyke".							
		1 249.40 - 1 249.70 Voir géologie. Tr. VL c.	B56556	0.30	0.003	0.0009	0.0164	0.05	
		1 250.10 - 1 250.30 V2? VOLCANITE? INTERMÉDIAIRE Xénolite de roche encaissante.							
		1 251.90 - 1 252.20 Contact.	B56557	0.30	0.003	0.0029	0.0149	0.05	
		1 252.20 - 1 252.50 V2? VOLCANITE? INTERMÉDIAIRE Xénolite de roche encaissante. Altération locale mais intense en séricite brunâtre, sous forme de bandes cm diffuses à 75°AC.							
		1 252.20 - 1 252.60 Contact. 25% I2-3. 1-2% VL cqCp.	B56558	0.40	0.003	0.0196	0.0076	0.05	
		1 252.60 - 1 252.90 Contact. 2-3% VL c.	B56559	0.30	0.003	0.0191	0.0065	0.05	
		1 255.40 - 1 255.70 Contact. 1% VI cq.	B56560	0.30	0.003	0.0141	0.0085	0.05	
		1 255.70 - 1 256.00 Voir géologie.<1% Py diss.	B56561	0.30	0.003	0.0031	0.0151	0.05	
		1 256.00 - 1 256.30 Contact. Tr VL c.	B56562	0.30	0.003	0.0033	0.0053	0.05	
		1 256.70 - 1 257.10 I2-3,Sch,chl INTRUSIF INTERMÉDIAIRE À MAFIQUE, SCHISTEUX, CHLORITE Idem à précédent. Contacts francs à 30°AC.							
		1 262.90 - 1 263.20 Contact. 65% de zones alt.	B56563	0.30	0.005	0.0086	0.0039	0.05	
		1 263.00 - 1 263.20 Ser,Sil SÉRICITISATION, ROCHE D'ASPECT SILICIFIÉ, VEINES DE CARBONATE±QUARTZ, VEINULES DE TOURMALINE Altération moyenne en silice et faible en séricite. Intervalle de duraté moyenne, de couleur grisâtre à jaunâtre. Textures primaires oblitérées. 5-7% de veines mm à cm de carbonate±quartz à 60°AC. 1-2% de micro-veinules discontinues de tourmaline noire spatialement associées au carbonate.							

From (m)	To (m)	Description	Sample No.	Length (m)	Au_avg (g/t)	Cu_avg (%)	Zn_avg (%)	Ag_avg (g/t)
		1 263.20 - 1 263.50 Ser,Sil SÉRICITISATION, ROCHE D'ASPECT SILICIFIÉ, VEINES DE CARBONATE±QUARTZ Similaire à précédent. Altération moyenne en silice et faible en séricite. Intervalle de dureté moyenne, de couleur grisâtre à jaunâtre. Textures primaires oblitérées. 2-3% de veines mm à cm, localement discontinues, de carbonate±quartz à 60°AC.						
		1 263.20 - 1 263.50 Contact. Voir géologie.	B56564	0.30	0.003	0.0018	0.0039	0.05
		1 263.50 - 1 263.80 Éponte inférieure.	B56565	0.30	0.003	0.0114	0.0073	0.05
		1 267.30 - 1 267.60 Éponte supérieure.	B56566	0.30	0.003	0.0016	0.0029	0.05
		1 267.60 - 1 267.90 Ser,VNqc,VLtm SÉRICITISATION, VEINES DE QUARTZ±CARBONATE, VEINULES DE TOURMALINE Altération faible en séricite. Textures primaires oblitérées. Intervalle de couleur jaunâtre et mou. 15-20% de veines cm de quartz grisâtre de 25, 60 et 150°AC (pendage inverse). 75% de quartz grisâtre, 10% de carbonate blanchâtre et 3-4% de veinules mm de tourmaline noire à 60°AC, occupant l'éponte d'une veine de quartz-carbonate. <1% de pyrite, <1% de magnétite et traces de chalcopyrite dans les veines.						
		1 267.60 - 1 267.90 Voir géologie.	B56567	0.30	0.003	0.0048	0.0045	0.05
		1 267.90 - 1 268.70 1-2% VL c.	B56568	0.80	0.003	0.0006	0.0069	0.05
		1 268.70 - 1 269.20 Sil ROCHE D'ASPECT SILICIFIÉ Altération forte mais intermittente en silice. Intervalle dur, vitreux de couleur gris foncé à noir.						
		1 268.70 - 1 269.20 Zone ±Sil. 2% VL c±q.	B56569	0.50	0.003	0.0008	0.0062	0.05
		1 269.20 - 1 269.50 Éponte inférieure.	B56570	0.30	0.009	0.0088	0.0049	0.05
		1 272.10 - 1 275.40 Sil ROCHE D'ASPECT SILICIFIÉ Altération forte en silice. Roche vitreuse et très dure, de couleur gris pâle à noirâtre. Quelques niveaux cm à dm contenant jusqu'à 40% de taches sphériques de carbonate? de couleur blanchâtre à grisâtre. Aucune réaction à l'acide. Aspect sphérolitique localement.						
		1 272.10 - 1 273.60 Voir géologie.	B56571	1.50	0.003	0.0121	0.0045	0.05
		1 273.60 - 1 275.10 Idem.	B56572	1.50	0.009	0.0106	0.0050	0.20
		1 275.10 - 1 275.40 Idem.	B56573	0.30	0.003	0.0052	0.0052	0.05
		1 279.70 - 1 280.90 Sil,Por-fp ROCHE D'ASPECT SILICIFIÉ, PORPHYRES DE PLAGIOCLASE Altération moyenne à intense en silice. Intervalle de couleur noirâtre et très dur. Apparition de 2% de plagioclase hypidiomorphe de 1-2mm.						
		1 279.70 - 1 280.90 Idem.	B56574	1.20	0.006	0.0233	0.0035	0.05
		1 280.90 - 1 281.20 Car,Sil CARBONATISATION, ROCHE D'ASPECT SILICIFIÉ Altération moyenne en carbonate et forte en silice. Intervalle jaunâtre à beige (aucune réaction à l'acide). Dureté toujours élevée.						

From (m)	To (m)	Description	Sample No.	Length (m)	Au_avg (g/t)	Cu_avg (%)	Zn_avg (%)	Ag_avg (g/t)
		1 280.90 - 1 281.20 Idem.	B56575	0.30	0.003	0.0018	0.0044	0.05
		1 281.20 - 1 282.10 Zone lSer,lPor-fp	B56576	0.90	0.003	0.0074	0.0053	0.05
		1 282.10 - 1 283.40 Zone lChl,lSer	B56577	1.30	0.003	0.0053	0.0121	0.05
		1 283.40 - 1 284.40 Chl CHLORITISATION Altération moyenne en chlorite. Intervalle de dureté plus faible, de couleur vert pâle à moyen. 2% d'amas mm, amorphes et chloriteux. À 1283,7m, on note un amas chloriteux de forme tabulaire ce qui suggère que se sont les plagioclases qui sont altérés en chlorite verte.						
		1 283.40 - 1 284.90 Voir géologie.	B56578	1.50	0.007	0.0139	0.0075	0.05
		1 284.40 - 1 285.30 Sil,Por-fp ROCHE D'ASPECT SILICIFIÉ, PORPHYRES DE PLAGIOCLASE Altération intense en silice. Intervalle très dur, de couleur gris moyen à noirâtre et vitreux montrant jusqu'à 3% de plagioclase hypidiomorphique de couleur blanchâtre de 1-2mm.						
		1 284.90 - 1 285.30 Idem.	B56579	0.40	0.005	0.0090	0.0061	0.05
		1 285.30 - 1 293.10 VNqc VEINES DE QUARTZ±CARBONATE 20-25% de veines dm à cm de quartz blanchâtre variant de 10 à 30°AC. Quelques veines à 160°AC (pendage inverse). 10 à 40% de carbonate blanchâtre à beige occupant surtout la partie centrale des veines sous forme de fractures sub-perpendiculaires aux épontes. Très rares traces de chalcoppyrite et de pyrite automorphe en amas mm à cm. Légère chloritisation des épontes.						
		1 285.30 - 1 287.40 Sil,Hem,Por-fp ROCHE D'ASPECT SILICIFIÉ, HÉMATISATION, PORPHYRES DE PLAGIOCLASE Altération intense en silice et moyenne à intense en hématite. Intervalle de dureté élevée, très vitreux et de couleur rougeâtre. <1% de cristaux mm de plagioclase de couleur blanchâtre. 1-2% de taches mm xénomorphes de carbonate de couleur blanchâtre à beige (porphyroblastes). Traces très locale de chalcoppyrite disséminée.						
		1 285.30 - 1 285.60 80% VN qc.	B56580	0.30	0.003	0.0072	0.0023	0.05
		1 285.60 - 1 286.30 2-3% VN qc. 3% Frc c.	B56581	0.70	0.009	0.0038	0.0054	0.05
		1 286.30 - 1 286.80 10% VN qc±c.	B56582	0.50	0.003	0.0028	0.0018	0.05
		1 286.80 - 1 287.40 2% Frc c.	B56583	0.60	0.008	0.0145	0.0040	0.30
		1 287.40 - 1 288.10 Zone Chl. 3% VL c.	B56584	0.70	0.010	0.0080	0.0061	0.05
		1 288.10 - 1 289.70 Sil,Hem,Por-fp ROCHE D'ASPECT SILICIFIÉ, HÉMATISATION, PORPHYRES DE PLAGIOCLASE Altération intense en silice et moyenne mais intermittente en hématite. Couleur variant de gris moyen à noirâtre à rosée. Intervalle très dur et vitreux. 1-2% de plagioclase mm, de couleur blanchâtre. <1% de taches <1mm de carbonate beige.						
		1 288.10 - 1 288.90 2% VN qc±c. 3% VL c. <1% Cp diss.	B56585	0.80	0.008	0.0058	0.0051	0.05
		1 288.90 - 1 289.70 80-85% VN qc. <1% Cp diss.	B56586	0.80	0.005	0.0026	0.0056	0.05

From (m)	To (m)	Description	Sample No.	Length (m)	Au_avg (g/t)	Cu_avg (%)	Zn_avg (%)	Ag_avg (g/t)
		1 289.70 - 1 291.10 Chl CHLORITISATION Altération faible à moyenne en chlorite verte. Intervalle de couleur vert foncé montrant 2-3% d'amas mm et amorphes de chlorite verte. Dureté assez élevée.						
		1 289.70 - 1 290.60 10-15% VN q±c. Tr. Py.	B56587	0.90	0.003	0.0009	0.0045	0.05
		1 290.60 - 1 291.10 60% VN qc.	B56588	0.50	0.010	0.0110	0.0058	0.05
		1 291.10 - 1 293.10 Sil,Hem,Por-fp ROCHE D'ASPECT SILICIFIÉ, HÉMATISATION, PORPHYRES DE PLAGIOCLASE Intervalle de dureté élevée et rougeâtre. 3% de plagioclase hypidiomorphe mm, de couleur blanchâtre. 1% de carbonate.						
		1 291.10 - 1 291.40 35-40% VN qc.	B56589	0.30	0.003	0.0039	0.0035	0.05
		1 291.40 - 1 292.00 Zone Sil,IChl. 1% Frc c.	B56590	0.60	0.003	0.0045	0.0064	0.05
		1 292.00 - 1 292.30 35-40% VN q±c. Tr. Py.	B56591	0.30	0.007	0.0047	0.0050	0.20
		1 292.30 - 1 293.10 3% VN qc. 1% VL c.	B56592	0.80	0.008	0.0069	0.0048	0.05
		1 293.10 - 1 296.70 Chl CHLORITISATION Idem à 1289,7 - 1291,1m.						
		1 296.70 - 1 297.00 Sil,Por-fp ROCHE D'ASPECT SILICIFIÉ, PORPHYRES DE PLAGIOCLASE Altération forte en silice. Intervalle vitreux et très dur, de couleur noirâtre. 1% de plagioclase. 3% de taches mm de carbonate.						
		1 296.70 - 1 297.00 1-2% VL qc. 1% VL c.	B56593	0.30	0.003	0.0081	0.0034	0.20
		1 297.00 - 1 297.30 Zone IChl.	B56594	0.30	0.003	0.0052	0.0078	0.05
		1 297.30 - 1 297.50 Sil ROCHE D'ASPECT SILICIFIÉ Altération moyenne en silice. Intervalle dur mais moins vitreux. Rare plagioclase.						
		1 297.30 - 1 297.60 20-25% VN q±c.	B56595	0.30	0.003	0.0006	0.0045	0.50
1 297.50	1 347.20	VID-Tl,Mas DACITE RICHE EN TITANE Unité massive de couleur gris pâle à moyen, à grains fins, non carbonatisée et moyennement magnétique. Rares cristaux de plagioclase hypidiomorphe <1mm de couleur blanchâtre. Traces d'amygdales mm de quartz. 1% de magnétite disséminée. Altération dominante en chlorite verte et en séricite. Schistosité très faible et locale à 55°AC. Recoupée par de rares veinules de carbonate-quartz parallèles à la schistosité. Contact supérieur franc à 55-60°AC. Segments non magnétiques de 1269,5 à 1279,7m; 1308,8 à 1310,2m; 1311,2 à 1320,1m. 1% d'amygdales de carbonate à partir de 1346,2m.						

From (m)	To (m)	Description	Sample No.	Length (m)	Au_avg (g/t)	Cu_avg (%)	Zn_avg (%)	Ag_avg (g/t)
		1 302.70 - 1 303.60 VL cqPy VEINULES DE CARBONATE-QUARTZ-PYRITE 5-7% de veinules mm à rarement cm de carbonate-quartz de 20 à 50°AC contenant jusqu'à 10% de pyrite. 70% de carbonate blanchâtre à beige et 30% de quartz blanchâtre. 1% de pyrite sur l'intervalle.						
		1 302.70 - 1 303.60 Voir géologie.	B56596	0.90	0.005	0.0006	0.0045	0.05
		1 305.50 - 1 305.70 Sil ROCHE D'ASPECT SILICIFIÉ Altération intense en silice. Intervalle vitreux et très dur.						
		1 305.50 - 1 306.10 40% Zones Sil. 60% Zones Ser. 3% VL qc.	B56597	0.60	0.006	0.0117	0.0056	0.20
		1 305.70 - 1 306.10 Sil,Ser ROCHE D'ASPECT SILICIFIÉ, SÉRICITISATION Altération intense en silice et faible en séricite. Intervalle très dur, de couleur vert-jaunâtre.						
		1 306.10 - 1 308.80 Sil,Por-fp ROCHE D'ASPECT SILICIFIÉ, PORPHYRES DE PLAGIOCLASE Altération moyenne et intermittente en silice. Roche localement vitreuse et dure. Jusqu'à 1% de plagioclase hypidiomorphique, de couleur blanchâtre.						
		1 306.10 - 1 307.60 5% VN qc. 1% VL c±q.	B56598	1.50	0.003	0.0081	0.0063	0.05
		1 307.60 - 1 308.80 1% VL c±q.	B56599	1.20	0.005	0.0181	0.0117	0.20
		1 308.80 - 1 310.20 <1% VL c. Tr. Py diss.	B56600	1.40	0.003	0.0123	0.0128	0.05
		1 310.20 - 1 316.30 V2?,Sil,StgPy VOLCANITE? INTERMÉDIAIRE, ROCHE D'ASPECT SILICIFIÉ, VEINULES DE PYRITE Altération moyenne à intense mais intermittente en silice. Jusqu'à 1% de plagioclase blanchâtre lorsque plus silicifié. 3% de pyrite fine sous forme d'amas mm à rarement cm et sous forme de micro-veinules discontinues selon 40 à 65°AC. Pourrait être un xénotite de lave. On note aussi la présence d'un minéral rougeâtre et terreux sous forme de veinules mm discontinues à 20°AC ou spatialement associé à la pyrite.						
		1 310.20 - 1 311.50 Sil,Hem,Chl ROCHE D'ASPECT SILICIFIÉ, HÉMATISATION. CHLORITISATION Altération intense en silice, intervalle très dur. Hématisation locale, roche rosée localement. Altération locale en chlorite verte, 2-3% d'amas mm de chlorite lorsque moins silicifiée.						
		1 310.20 - 1 310.90 70% VN q±c.	B56601	0.70	0.003	0.0035	0.0085	0.05
		1 310.90 - 1 311.50 2-3% VL qc.	B56602	0.60	0.006	0.0391	0.0124	0.30
		1 311.50 - 1 313.00 2% Py. 1% VL cq.	B56603	1.50	0.006	0.0109	0.0096	0.20
		1 313.00 - 1 314.50 Hem HÉMATITE 1-2% d'hématite rouge sous forme d'amas <1mm et de veinules mm de 40 à 60°AC. Elle est souvent (mais pas toujours) en contact avec la pyrite.						
		1 313.00 - 1 314.40 1% hm. 2-3% Py.	B56604	1.40	0.006	0.0095	0.0069	0.30

From (m)	To (m)	Description	Sample No.	Length (m)	Au_avg (g/t)	Cu_avg (%)	Zn_avg (%)	Ag_avg (g/t)
		1 314.40 - 1 315.80 1-2% Py.	B56605	1.40	0.006	0.0132	0.0069	0.05
	1 315.80 - 1 316.30	Sil ROCHE D'ASPECT SILICIFIÉ Altération forte en silice. Intervalle très dur, vitreux et gris pâle.						
		1 315.80 - 1 316.30 2-3% Py.	B56606	0.50	0.005	0.0116	0.0044	0.30
	1 316.30 - 1 317.80	StgPy VEINULES? DE PYRITE Similaire à précédent, silicification en moins. 3-5% de pyrite sous forme d'amas mm à cm et de veinules continues de 50 à 75°AC.						
		1 316.30 - 1 316.90 2% Py.	B56607	0.60	0.003	0.0093	0.0085	0.20
		1 316.90 - 1 317.80 8-10% Py.	B56608	0.90	0.021	0.0297	0.0041	1.00
	1 317.80 - 1 318.20	Car,Py CARBONATISATION, PYRITE Altération moyenne en carbonate de fer (aucune réaction à l'acide). Aspect fragmentaire, 25% de fragments mm à cm, mal définis, de couleur blanchâtre. 3cm d'intense séricitisation contenant 15% de pyrite sous forme d'amas mm et de très fines disséminations au contact supérieur.						
		1 317.80 - 1 318.20 Zone Car. <1% Py.	B56609	0.40	0.003	0.0068	0.0037	0.05
		1 318.20 - 1 318.90 Tr. Py.	B56610	0.70	0.005	0.0038	0.0068	0.20
	1 318.90 - 1 323.60	Ser SÉRICITISATION Altération moyenne mais intermittente en séricite. Intervalles dm à métriques de couleur beige. Aspect fragmentaire localement. Cependant, les contacts graduels avec des portions clairement intrusives ainsi qu'un magnétisme intermittent (jusqu'à 2% de magnétite) suggèrent qu'il s'agit d'un phénomène d'altération plutôt que de laves.						
		1 318.90 - 1 320.40 Zone Ser. Tr. Py.	B56611	1.50	0.008	0.0163	0.0057	0.70
		1 320.40 - 1 321.10 Zone Ser. <1% Py.	B56612	0.70	0.006	0.0104	0.0050	0.05
	1 321.10 - 1 321.20	Fit,Chl,VLcq FAILLE, CHLORITISATION, VEINE DE CARBONATE-QUARTZ Une veine de carbonate-quartz à 70°AC. Le carbonate bréchifie le quartz qui est sous forme de fragments mm à cm. Altération forte en chlorite verte et schistosité bien développée à 70°AC aux épontes.						
		1 321.10 - 1 321.40 Zone Chl. Fit. 5-7% VN cq.	B56613	0.30	0.003	0.0040	0.0045	0.05
		1 321.40 - 1 322.10 2-3% VL c±q.	B56614	0.70	0.005	0.0013	0.0049	0.05
	1 322.10 - 1 322.80	Hem HÉMATISATION Altération faible à moyenne en hématite, intervalle légèrement rosé. Celle-ci est recoupée par une légère chloritisation qui se manifeste par des fractures mm de 40 à 65°AC.						
		1 322.10 - 1 322.80 Zone Hem. 5-7% VL c±q.	B56615	0.70	0.007	0.0118	0.0039	0.05

From (m)	To (m)	Description	Sample No.	Length (m)	Au_avg (g/t)	Cu_avg (%)	Zn_avg (%)	Ag_avg (g/t)
		1 329.10 - 1 329.40 Éponte supérieure.	B56616	0.30	0.006	0.0034	0.0064	0.05
		1 329.40 - 1 330.20 Sil,Hem ROCHE D'ASPECT SILICIFIÉ, HÉMATISATION Altération moyenne en silice et moyenne mais intermittente en hématite. Cette dernière est plus intense près du contact inférieur de la diorite. Intervalle de dureté moyenne à forte, de teinte rosâtre.						
		1 329.40 - 1 330.20 Contact. Zone HemSil.	B56617	0.80	0.005	0.0023	0.0045	0.05
		1 330.20 - 1 346.50 V2,Bre VOLCANITE INTERMÉDIAIRE, BRÉCHIQUE Unité intermédiaire, aphanitique, de couleur vert moyen, généralement homogène, équigranulaire, non magnétique et non carbonatisée. Aspect fragmentaire dû à la présence locale de 3-5% de fragments mm à dm et sub-anguleux, de couleur gris pâle à brunâtre, aphanitiques. Aussi, 2% de fragments dm, amygdalaires (2 à 25%), de couleur gris pâle souvent altérées en silice. Jusqu'à 40% de taches mm à rarement cm de carbonate de couleur beige. Ces dernières montrent des contacts graduels avec le reste de l'unité. Aucun tri ou granoclassement évident. Altération dominante en silice (faible à moyenne) et en séricite (faible). Traces très locales de pyrite automorphe disséminée. Recoupée par de rares veinules de carbonate-quartz de 35 à 45°AC. Schistosité très faible à 40°AC. Contact supérieur occupé par une veine dm de carbonate-quartz à 45°AC contenant <1% de pyrite et traces de chalcopryrite. Contact inférieur flou à 50-55°AC.						
		1 330.20 - 1 333.80 Hem,Mag HÉMATISATION, MAGNÉTIQUE Altération faible et intermittente en hématite. Intervalle de teinte rosâtre localement. Magnétisme faible.						
		1 330.20 - 1 330.50 Contact. 20-25% VN cq.	B56618	0.30	0.008	0.0164	0.0063	0.20
		1 334.30 - 1 334.70 3% Py.	B56619	0.40	0.038	0.0676	0.0062	0.40
		1 337.00 - 1 338.20 SII ROCHE D'ASPECT SILICIFIÉ Altération intense mais intermittente en silice. Intervalle dm, de couleur gris pâle à blanchâtre, amygdalaire et très dur.						
		1 338.20 - 1 338.50 Ft,VLcqCp FAILLE, VEINULES DE CARBONATE-QUARTZ-CHALCOPRYRITE Zone de broyage intense (foreuse). Fragments mm à cm de veines de carbonate-quartz contenant <1% de chalcopryrite. Présence de boue de faille dans la zone broyée.						
		1 341.80 - 1 343.30 SII ROCHE D'ASPECT SILICIFIÉ Altération intense mais intermittente en silice. Intervalle amygdalaire, de couleur gris pâle, de dureté élevée. On note à 1342,1m que la carbonatation recoupe la silicification.						
		1 343.30 - 1 343.60 Contact supérieur. 3% VN.	B56620	0.30	0.006	0.0035	0.0058	0.05

From (m)	To (m)	Description	Sample No.	Length (m)	Au_avg (g/t)	Cu_avg (%)	Zn_avg (%)	Ag_avg (g/t)
		1 343.60 - 1 344.70 I2J,Mag DIORITE, MAGNÉTIQUE Similaire à précédent. Magnétisme faible. Contact supérieur occupé par une veine de quartz-carbonate à 35°AC contenant 5-7% de cristaux de micas blancs (séricite?) 2-3% de bâtonnets d'amphiboles de couleur vert pâle (trémolite), de 2% d'aiguilles mm de tourmaline noire. Le carbonate a localement une teinte rosacée (rhodocrosite). Contact inférieur broyé.						
		1 343.60 - 1 344.70 I2J .	B56621	1.10	0.006	0.0100	0.0048	0.05
		1 344.70 - 1 345.30 SII,Bre ROCHE D'ASPECT SILICIFIÉ, BRÈCHE Altération intense et intermittente en silice. Aspect bréchiforme. Fragments cm à dm, sub-anguleux, silicifiés, de couleur grisâtre légèrement rosâtre. Matrice? altérée en séricite et, à un niveau moindre, en chlorite verte. On voit que la séricite et la chlorite verte recourent la silicification. Traces de chalcopryrite disséminée associée à la portion matricielle.						
		1 344.70 - 1 345.30 Contact.	B56622	0.60	0.006	0.0199	0.0029	0.30
		1 345.30 - 1 346.20 Contact. 10% de Zone Sil.	B56623	0.90	0.006	0.0252	0.0049	0.20
		1 346.00 - 1 346.20 SII ROCHE D'ASPECT SILICIFIÉ Altération intense en silice. Segment gris pâle et très dur. On voit bien que la silicification s'est effectuée in situ et non avant la déposition des "fragments". On distingue bien des amygdales dans l'unité ailleurs que dans le secteur altéré. On voit aussi les contacts très irréguliers et graduels de la silicification (front).						
		1 346.20 - 1 347.20 Contact.	B56624	1.00	0.006	0.0224	0.0065	0.05
1 347.20	1 401.30	V1D-Ti,(Amy),(T2L?) DACITE RICHE EN TITANE, MASSIVE À LOCALEMENT AMYGDULAIRE Similaire à l'unité précédente mais localement apparence moucheté (4-5% de tâches mm (carbonate et /ou feldspath). Loc. présence de petite unité fragmentaire ainsi que d'unité amygdulaire. De 1379,2 à 1388.6m, 1-2% d'amas mm de chlorite verte (plagioclases altérés?). Roche de dureté moindre.						
		1 347.20 - 1 347.50 Amy AMYGDALAIRE, FRACTURE DE CHLORITE-CHALCOPYRITE 3-5% d'amygdales mm et sub-arrondies de carbonate contenant de rares traces de chalcopryrite. Présence de traces de chalcopryrite disséminée. Une fracture chloritisée (verte foncé) montrant un placage de chalcopryrite.						
		1 347.20 - 1 347.60 3% Amy. 1 Frc chlCp. Tr. Cp diss.	B56625	0.40	0.007	0.0346	0.0047	0.05
		1 350.40 - 1 352.20 Amy AMYGDALAIRE Similaire à précédent. Très rares traces de chalcopryrite observées.						
		1 352.60 - 1 353.40 Ser SÉRICITISATION Altération moyenne en séricite. Intervalle de couleur grisâtre à jaunâtre, de dureté faible.						

From (m)	To (m)	Description	Sample No.	Length (m)	Au_avg (g/t)	Cu_avg (%)	Zn_avg (%)	Ag_avg (g/t)
		1 354.70 - 1 355.00 Amy AMYGDALAIRE 2-3% d'amygdales mm à cm de carbonate. Très rares traces de chalcopyrite avec le carbonate.						
		1 356.10 - 1 356.80 Amy AMYGDALAIRE Similaire à précédent. 1-2% d'amygdales mm à cm de carbonate montrant <1% de chalcopyrite.						
		1 356.80 - 1 364.50 Bio BIOTISATION Apparition de cristaux <1mm de biotite dans la mésostase. Jusqu'à 2% de biotite très finement disséminée.						
		1 358.90 - 1 360.10 VLbt VEINULES DE BIOTITE Veinules mm à cm de biotite de 40 à 60°AC contenant de 0 à 10% de carbonate et de 0 à 3% de pyrite. 1 358.90 - 1 360.10 Voir géologie.	B56626	1.20	0.024	0.0012	0.0043	0.05
		1 360.10 - 1 361.80 Car?,bt,chl CARBONATISATION?, BIOTITE, CHLORITE Aspect bréchiforme. Altération en carbonate? Intervalle de couleur grisâtre ne réagissant pas à l'acide. Jusqu'à 10% d'amas mm à cm de chlorite-biotite.						
		1 361.80 - 1 367.60 Amy? AMYGDALAIRE? 3-5% d'amygdales? mm de carbonate. Les amygdales ne sont pas circulaires et montrent des contours plutôt flous avec la mésostase.						
		1 367.60 - 1 371.50 Car,Amy? CARBONATISATION, AMYGDALAIRE? Présence constante des amygdales? telles que décrites plus haut. Altération faible en carbonate de fer sous forme d'amas mm diffus de couleur jaunâtre et, plus localement, sous forme de veinules plus ou moins bien définies et variant de 0 à 20°AC donnant un aspect bréchiq à la roche. De 1368,6 à 1368,9m, on note le caractère recoupant du carbonate.						
		1 371.50 - 1 379.20 V2,Bre/T2 VOLCANITE INTERMÉDIAIRE, BRÉCHIQUE / TUFF Unité d'apparence fragmentaire, de couleur vert-jaunâtre, non magnétique, aphanitique. Jusqu'à 10% de fragments leucocrates variant de grisâtre à noirâtre. Ceux-ci sont généralement sub-anguleux, mm à rarement cm, aphanitiques et siliceux. Ils ont des bordures généralement franches mais parfois très irrégulières (dents de scie). La mésostase est aphanitique, de couleur vert-jaunâtre. Aucun tri, granoclassement ou autre structure sédimentaire n'est observable à l'échelle de la carotte. Jusqu'à 1% de cristaux <1mm de magnétite, au début de l'intervalle seulement. Traces de pyrite automorphe disséminée. Altération dominante de la mésostase en séricite (faible) et en carbonate sous forme de taches mm à cm de couleur beige. À 1375,1m, on note aussi le caractère recoupant du carbonate. La carbonatation, sous forme de pseudo-veinules, recoupe partiellement un fragment grisâtre. Schistosité bien définie à 70°AC. Contact supérieur arbitraire basé sur l'apparition de fragments. Contact inférieur basé sur la disparition des fragments.						

From (m)	To (m)	Description	Sample No.	Length (m)	Au_avg (g/t)	Cu_avg (%)	Zn_avg (%)	Ag_avg (g/t)
	1 373.50 - 1 377.40	Ser,Sch,Fit SÉRICITISATION, SCHISTEUX, FAILLES Altération plus intense en séricite. Intervalle de couleur jaunâtre et mou. Schistosité mieux développée et quelques niveaux mm de boue de faille (mineure) à 70°AC entre 1375,1 et 1376,2m.						
	1 389.60 - 1 391.20	Amy? AMYGDALAIRE? 2% d'amas mm à rarement cm de carbonate de couleur blanchâtre, alignés et déformés selon 70°AC. On note qu'il peut y avoir aussi de la chlorite verte associée mais elle n'est pas distribuée de façon uniforme et concentrique.						
	1 394.60 - 1 396.80	Ser,Car,Sch SÉRICITISATION, CARBONATISATION, SCHISTEUX Altérations faibles à moyennes en carbonate et séricite. Aucune réaction à l'acide. Intervalle de couleur jaunâtre à beige. Schistosité légèrement plus importante à 70°AC.						
	1 397.80 - 1 398.10	Bre,Car BRÉCHIQUE, CARBONATISATION Apparition de fragments majoritairement mm et anguleux, de couleur gris pâle à gris foncé représentant 60% de l'intervalle. Quelques fragments cm. Matrice de couleur beige, formée de carbonate de fer. Aucune réaction à l'acide. Aucun sulfure visible. Brèche hydraulique.						
		1 397.80 - 1 398.10 Voir géologie.	B56627	0.30	0.022	0.0319	0.0055	0.40
		1 399.80 - 1 400.20 Contact. 2% VL c±q.	B56628	0.40	0.013	0.0227	0.0050	0.20
	1 400.20 - 1 401.30	Sch SCHISTEUX Schistosité mieux développée à 75°AC. Quelques veinules mm (3%) de carbonate±quartz de 60 à 75°AC pouvant contenir de rares traces de pyrite fine.						
		1 400.20 - 1 400.50 Contact. Zone Sch. 3% VL c±q.	B56629	0.30	0.015	0.0217	0.0075	0.20
		1 400.50 - 1 401.30 Zone Sch. 3-5% VL c±q.	B56630	0.80	0.009	0.0141	0.0067	0.30

From (m)	To (m)	Description	Sample No.	Length (m)	Au_avg (g/t)	Cu_avg (%)	Zn_avg (%)	Ag_avg (g/t)	
1 401.30	1 538.10	<p>VID-Ti,Bre,Frg,Mag/T2L DACITE RICHE EN TITANE, BRÉCHIQUE ET FRAGMENTAIRE Approx. 60% de sections fragmentaires à bréchiq (métrique à decamétrique) alternant avec des sections massives. Localement présence possible de sections tufacées. Parfois la matrice est riche en feldspath.</p> <p>55-57% de fragments mm à rarement dm, de composition intermédiaire, aphanitiques, de couleur variant de gris pâle à gris foncé légèrement bleuté, ressemblant drôlement à l'intrusif dioritique. De plus, il sont faiblement magnétiques. Aussi, 3-5% de fragments cm et sub-arrondis, de couleur beige possédant des contours flous. Aucune amygdale ni bordure de trempé visible au niveau des fragments. Les fragments sont non jointifs et aucun tri n'est perceptible. 40% de matrice aphanitique, de couleur vert moyen (chlorite) à beige (carbonate). Aucune minéralisation visible. Altération dominante de la matrice en chlorite verte (faible à moyenne). Carbonatation faible à moyenne autant au niveau des fragments que de la matrice. Recoupé par de rares veinules mm à cm de carbonate-quartz majoritairement à 60°AC. Contact supérieur arbitraire basé sur l'apparition subtile de fragments et la présence d'une veine de carbonate±quartz de 1cm à 75-80°AC.</p> <p>De 1408,6 à 1408,9m, on note la présence de fragments cm, de couleur beige. Les contacts sont plutôt flous. On remarque aussi que les contacts d'un fragment cm de couleur gris moyen sont attaqués par une carbonatation. Une couronne de couleur beige y est observable.</p> <p>1 403.60 - 1 404.20 Ser,Hem,Sch,Fit SÉRICITISATION, HÉMATISATION, SCHISTEUX, FAILLES Altération plus intense en séricite. Intervalle de couleur vert-jaunâtre et plus mou. Altération faible et locale en hématite, teinte rosâtre localement. Plusieurs niveaux mm de boue de faille parallèlement à la schistosité. Schistosité d'intensité moyenne à forte à 65°AC.</p> <p>1 403.60 - 1 404.20 Voir géologie.</p> <p>1 404.20 - 1 404.60 Brt,Hem BRÈCHE TECTONIQUE, HÉMATISATION, CALCÉDOÏNE Niveau de brèche tectonique. Fragments mm à dm, sub-anguleux à sub-arrondis, altérés en hématite, de couleur rosâtre à orangé. La matrice ainsi que quelques fragments hématisés sont injectés de silice hydratée de teinte variant de vert kaki à turquoise (calcédoïne?). Ce phénomène semble refléter une zonation minéralogique soulignée par la variation de couleur. Aspect vraiment opalescent. La couleur turquoise est peut-être donnée par des impuretés de cuivre.</p> <p>1 404.20 - 1 404.60 Voir géologie. 1 415.70 - 1 416.00 Contact. 1% Frc c.</p> <p>1 416.00 - 1 416.90 I2J,Mag DIORITE, MAGNÉTIQUE Voir description ci-bas. Contact supérieur ±franc à 50-55°AC. Contact inférieur ±franc occupé par une veine de 1cm de carbonate±quartz à 55°AC.</p> <p>1 416.00 - 1 416.90 Contact. 1-2% VL c. 1 416.90 - 1 417.20 Contact. 5-7% VL c±q. 1 423.40 - 1 423.70 Contact. 1% Frc c.</p>							
			B56631	0.60	0.011	0.0110	0.0041	0.05	
			B56632	0.40	0.007	0.0045	0.0055	0.05	
			B56633	0.30	0.006	0.0078	0.0144	0.05	
			B56634	0.90	0.005	0.0025	0.0193	0.05	
			B56635	0.30	0.013	0.0202	0.0092	0.50	
			B56636	0.30	0.006	0.0084	0.0050	0.05	

From (m)	To (m)	Description	Sample No.	Length (m)	Au_avg (g/t)	Cu_avg (%)	Zn_avg (%)	Ag_avg (g/t)
	1 423.70 - 1 426.70	I2J, Mag DIORITE, MAGNÉTIQUE Unité massive, de couleur gris moyen, à grains fins, homogène, de dureté faible à moyenne, légèrement vitreuse, moyennement à fortement magnétique et non carbonatisée (aucune réaction à l'acide). Jusqu'à 5% de magnétite (moyenne 2%) et jusqu'à 2% de carbonate de fer (pas de réaction à l'acide) sous forme d'amas mm à cm et alignés selon 65-70°AC pouvant être confondus avec des amygdales. Le contour de ceux-ci n'est pas régulier ni franc. Altération dominante en silice (faible à moyenne) et en chlorite verte (très faible). Aucune minéralisation visible. Aucune schistosité apparente. Contact supérieur graduel à 65°AC.						
		1 423.70 - 1 424.00 Contact. 2% VL c.	B56637	0.30	0.003	0.0029	0.0041	0.05
		1 426.40 - 1 426.70 Contact. 3% VL c.	B56638	0.30	0.003	0.0041	0.0061	0.05
		1 426.70 - 1 427.00 Contact. 1% Frc c.	B56639	0.30	0.006	0.0038	0.0056	0.05
		1 432.70 - 1 433.00 Contact.	B56640	0.30	0.003	0.0013	0.0054	0.05
	1 433.00 - 1 437.40	I2J, Mag DIORITE, MAGNÉTIQUE Similaire à précédent. Jusqu'à 2% d'amas amorphes chloriteux à la marge du contact supérieur. Magnétisme faible à moyen. Jusqu'à 2% de pyrite automorphe. <1% de magnétite <1mm. Aspect très frais et non déformé. Aucune schistosité. Rares veinules mm à cm de quartz±carbonate à 65°AC. Contact supérieur occupé par une veinule de 2mm de quartz±carbonate à 65°AC. Contact inférieur franc à 70°AC.						
		1 433.00 - 1 433.30 Contact. 3-5% VL c±q.	B56641	0.30	0.005	0.0052	0.0048	0.05
		1 437.10 - 1 437.40 Contact. <1% Frc c.	B56642	0.30	0.012	0.0106	0.0074	0.05
		1 437.40 - 1 437.70 Contact. <1% Frc c.	B56643	0.30	0.015	0.0144	0.0052	0.20
1 538.10		End of hole.						

From (m)	To (m)	Description	Length (m)	Sample No.	Cu_ppm (ppm)	Cu_pct (%)	Cu_avg (%)	Zn_ppm (ppm)	Zn_pct (%)	Zn_avg (%)	Ag_gt (g/t)	Ag_gt1 (g/t)	Ag_avg (g/t)	Au30 (ppb)	Au_gt (g/t)	Au_gt1 (g/t)	Au_gt2 (g/t)	Au_ms (g/t)	Au_avg (g/t)	As (ppm)	Pb (ppm)	Sb (ppm)
423.20	423.50	Éponte supérieure. 3-5% VL.	0.30	B56273	6	ns	0.0006	42	ns	0.0042	0.05	ns	0.05	3	ns	ns	ns	ns	0.003	ns	ns	ns
423.50	423.80	5% Py.	0.30	B56274	65	ns	0.0065	38	ns	0.0038	0.05	ns	0.05	11	ns	ns	ns	ns	0.011	ns	ns	ns
423.80	424.10	Éponte inférieure. 3-5% VL.	0.30	B56275	14	ns	0.0014	40	ns	0.0040	0.05	ns	0.05	3	ns	ns	ns	ns	0.003	ns	ns	ns
447.70	449.20	Zone Hem. 10-12% VL c. 1% Py, 1% Cp, <1% Cc.	1.50	B56276	65	ns	0.0065	58	ns	0.0058	0.05	ns	0.05	10	ns	ns	ns	ns	0.010	ns	ns	ns
449.20	449.80	1% VL c.	0.60	B56277	19	ns	0.0019	68	ns	0.0068	0.05	ns	0.05	3	ns	ns	ns	ns	0.003	ns	ns	ns
449.80	450.10	Éponte supérieure. Aucune VL.	0.30	B56278	42	ns	0.0042	67	ns	0.0067	0.05	ns	0.05	6	ns	ns	ns	ns	0.006	ns	ns	ns
450.10	450.40	60% VN, 40% l1D. 95% q, 3% tm, 1-2% c.	0.30	B56279	5	ns	0.0005	44	ns	0.0044	0.05	ns	0.05	7	ns	ns	ns	ns	0.007	ns	ns	ns
450.40	451.80	95% VN, 5% l1D? Chl. 95% q, 3-5% c, 1-2% tm.	1.40	B56280	6	ns	0.0006	7	ns	0.0007	0.05	ns	0.05	3	ns	ns	ns	ns	0.003	ns	ns	ns
451.80	452.80	70% l1D? Chl. 30% VN & VL. 60% q, 35% c, 5% Py.	1.00	B56281	5	ns	0.0005	115	ns	0.0115	0.05	ns	0.05	39	ns	ns	ns	ns	0.039	ns	ns	ns
452.80	454.20	65% VN, 35% l1D? Chl. 90% q, 5% c, 3-5% tm, tr. Cp.	1.40	B56282	33	ns	0.0033	38	ns	0.0038	0.05	ns	0.05	3	ns	ns	ns	ns	0.003	ns	ns	ns
454.20	454.50	Éponte inférieure. 1% VL c.	0.30	B56283	3	ns	0.0003	130	ns	0.0130	0.20	ns	0.20	3	ns	ns	ns	ns	0.003	ns	ns	ns
461.70	462.00	Éponte supérieure. 3% VL cq.	0.30	B56284	10	ns	0.0010	31	ns	0.0031	0.05	ns	0.05	21	ns	ns	ns	ns	0.021	ns	ns	ns
462.00	462.30	2-3% VL cq. 3% VL cqCpBoPy.	0.30	B56285	251	ns	0.0251	29	ns	0.0029	0.20	ns	0.20	164	ns	ns	ns	ns	0.164	ns	ns	ns
462.30	462.60	Éponte inférieure. 2-3% VL cq.	0.30	B56286	5	ns	0.0005	34	ns	0.0034	0.05	ns	0.05	14	ns	ns	ns	ns	0.014	ns	ns	ns
470.70	471.00	Éponte supérieure. <1% Frc c.	0.30	B56287	1066	ns	0.1066	43	ns	0.0043	0.20	ns	0.20	97	ns	ns	ns	ns	0.097	ns	ns	ns
471.00	471.80	8-10%VL. Voir géologie.	0.80	B56288	772	ns	0.0772	51	ns	0.0051	0.20	ns	0.20	71	ns	ns	ns	ns	0.071	ns	ns	ns
471.80	472.10	Éponte inférieure. <1% Frc c.	0.30	B56289	69	ns	0.0069	49	ns	0.0049	0.05	ns	0.05	7	ns	ns	ns	ns	0.007	ns	ns	ns
508.00	508.30	Éponte supérieure. 2% VL cqPy.	0.30	B56290	5	ns	0.0005	56	ns	0.0056	0.05	ns	0.05	3	ns	ns	ns	ns	0.003	ns	ns	ns
508.30	508.90	Voir géologie.	0.60	B56291	39	ns	0.0039	35	ns	0.0035	0.20	ns	0.20	3	ns	ns	ns	ns	0.003	ns	ns	ns
508.90	509.70	Éponte inférieure. 3% VL cq.	0.80	B56292	17	ns	0.0017	41	ns	0.0041	0.20	ns	0.20	3	ns	ns	ns	ns	0.003	ns	ns	ns

From (m)	To (m)	Description	Length (m)	Sample No.	Cu_ppm (ppm)	Cu_pct (%)	Cu_avg (%)	Zn_ppm (ppm)	Zn_pct (%)	Zn_avg (%)	Ag_gt (g/t)	Ag_gt1 (g/t)	Ag_avg (g/t)	Au30 (ppb)	Au_gt (g/t)	Au_gt1 (g/t)	Au_gt2 (g/t)	Au_ms (g/t)	Au_avg (g/t)	As (ppm)	Pb (ppm)	Sb (ppm)
509.70	510.00	2% VL cq.	0.30	B56293	3	ns	0.0003	75	ns	0.0075	0.05	ns	0.05	3	ns	ns	ns	ns	0.003	ns	ns	ns
510.00	511.10	Zone Hem.	1.10	B56294	5	ns	0.0005	50	ns	0.0050	0.05	ns	0.05	3	ns	ns	ns	ns	0.003	ns	ns	ns
511.10	511.60	3-5% VL qcPy(2-3%).	0.50	B56295	10	ns	0.0010	115	ns	0.0115	0.20	ns	0.20	3	ns	ns	ns	ns	0.003	ns	ns	ns
511.60	511.90	8-10% de matériel de veine.	0.30	B56296	461	ns	0.0461	64	ns	0.0064	0.20	ns	0.20	40	ns	ns	ns	ns	0.040	ns	ns	ns
511.90	513.10	Éponte supérieure. 2% VL cq.	1.20	B56297	67	ns	0.0067	103	ns	0.0103	0.05	ns	0.05	3	ns	ns	ns	ns	0.003	ns	ns	ns
513.10	513.90	Voir géologie.	0.80	B56298	9	ns	0.0009	35	ns	0.0035	0.05	ns	0.05	3	ns	ns	ns	ns	0.003	ns	ns	ns
513.90	514.20	Éponte inférieure. 3-5% VL cq.	0.30	B56299	12	ns	0.0012	65	ns	0.0065	0.05	ns	0.05	3	ns	ns	ns	ns	0.003	ns	ns	ns
530.60	530.90	Éponte supérieure. I3A, IHem.	0.30	B56300	19	ns	0.0019	28	ns	0.0028	0.05	ns	0.05	3	ns	ns	ns	ns	0.003	ns	ns	ns
530.90	531.20	Zone Hem, Ser. 25% de VN.	0.30	B56301	29	ns	0.0029	25	ns	0.0025	0.05	ns	0.05	3	ns	ns	ns	ns	0.003	ns	ns	ns
531.20	531.50	Éponte inférieure. I1D Chl noire.	0.30	B56302	2	ns	0.0002	45	ns	0.0045	0.20	ns	0.20	3	ns	ns	ns	ns	0.003	ns	ns	ns
541.70	542.00	Éponte supérieure. I1D Chl noire.	0.30	B56303	38	ns	0.0038	56	ns	0.0056	0.05	ns	0.05	3	ns	ns	ns	ns	0.003	ns	ns	ns
542.00	543.50	Voir géologie. 3% Py.	1.50	B56304	19	ns	0.0019	45	ns	0.0045	0.20	ns	0.20	3	ns	ns	ns	ns	0.003	ns	ns	ns
543.50	544.20	Voir géologie.	0.70	B56305	34	ns	0.0034	46	ns	0.0046	0.20	ns	0.20	3	ns	ns	ns	ns	0.003	ns	ns	ns
544.20	544.50	2% VN.	0.30	B56306	78	ns	0.0078	65	ns	0.0065	0.30	ns	0.30	3	ns	ns	ns	ns	0.003	ns	ns	ns
544.50	545.50	3% VN.	1.00	B56307	27	ns	0.0027	51	ns	0.0051	0.05	ns	0.05	3	ns	ns	ns	ns	0.003	ns	ns	ns
545.50	545.80	Éponte supérieure. 5% VN. Rares plans serpentinisés.	0.30	B56308	53	ns	0.0053	61	ns	0.0061	0.40	ns	0.40	3	ns	ns	ns	ns	0.003	ns	ns	ns
545.80	546.10	50% de VN.	0.30	B56309	12	ns	0.0012	75	ns	0.0075	0.05	ns	0.05	3	ns	ns	ns	ns	0.003	ns	ns	ns
546.10	546.40	Éponte inférieure. 1-2% VL c.	0.30	B56310	8	ns	0.0008	50	ns	0.0050	0.05	ns	0.05	3	ns	ns	ns	ns	0.003	ns	ns	ns
551.20	551.50	5-7% de VN.	0.30	B56311	5	ns	0.0005	32	ns	0.0032	0.05	ns	0.05	3	ns	ns	ns	ns	0.003	ns	ns	ns
551.50	552.10	Voir géologie.	0.60	B56312	8	ns	0.0008	23	ns	0.0023	0.05	ns	0.05	3	ns	ns	ns	ns	0.003	ns	ns	ns
552.10	552.60	Voir géologie.	0.50	B56313	59	ns	0.0059	28	ns	0.0028	0.30	ns	0.30	3	ns	ns	ns	ns	0.003	ns	ns	ns

From (m)	To (m)	Description	Length (m)	Sample No.	Cu_ppm (ppm)	Cu_pct (%)	Cu_avg (%)	Zn_ppm (ppm)	Zn_pct (%)	Zn_avg (%)	Ag_gt (g/t)	Ag_gt1 (g/t)	Ag_avg (g/t)	Au30 (ppb)	Au_gt (g/t)	Au_gt1 (g/t)	Au_gt2 (g/t)	Au_ms (g/t)	Au_avg (g/t)	As (ppm)	Pb (ppm)	Sb (ppm)
552.60	553.20	5-7% VN.	0.60	B56314	11	ns	0.0011	25	ns	0.0025	0.05	ns	0.05	3	ns	ns	ns	ns	0.003	ns	ns	ns
553.20	553.50	Éponte inférieure. 2-3% VL.	0.30	B56315	2	ns	0.0002	31	ns	0.0031	0.05	ns	0.05	3	ns	ns	ns	ns	0.003	ns	ns	ns
565.80	566.10	Éponte supérieure. 2-3% Frc chl.	0.30	B56316	17	ns	0.0017	55	ns	0.0055	0.05	ns	0.05	3	ns	ns	ns	ns	0.003	ns	ns	ns
566.10	566.60	Voir géologie.	0.50	B56317	14	ns	0.0014	42	ns	0.0042	0.05	ns	0.05	3	ns	ns	ns	ns	0.003	ns	ns	ns
566.60	566.90	Éponte inférieure. 2% VL c. 2-3% Frc chl.	0.30	B56318	2	ns	0.0002	35	ns	0.0035	0.05	ns	0.05	3	ns	ns	ns	ns	0.003	ns	ns	ns
568.20	568.50	Éponte supérieure.	0.30	B56319	13	ns	0.0013	45	ns	0.0045	0.05	ns	0.05	3	ns	ns	ns	ns	0.003	ns	ns	ns
568.50	569.70	Voir géologie.	1.20	B56320	34	ns	0.0034	57	ns	0.0057	0.05	ns	0.05	3	ns	ns	ns	ns	0.003	ns	ns	ns
569.70	570.50	1-2% VL c.	0.80	B56321	1	ns	0.0001	41	ns	0.0041	0.05	ns	0.05	3	ns	ns	ns	ns	0.003	ns	ns	ns
570.50	570.90	Voir géologie.	0.40	B56322	42	ns	0.0042	42	ns	0.0042	0.05	ns	0.05	3	ns	ns	ns	ns	0.003	ns	ns	ns
570.90	571.70	2% VL c.	0.80	B56323	9	ns	0.0009	50	ns	0.0050	0.05	ns	0.05	3	ns	ns	ns	ns	0.003	ns	ns	ns
571.70	572.60	8-10% VL c.	0.90	B56324	69	ns	0.0069	44	ns	0.0044	0.10	ns	0.10	3	ns	ns	ns	ns	0.003	ns	ns	ns
572.60	573.10	20% VL c.	0.50	B56325	79	ns	0.0079	29	ns	0.0029	0.30	ns	0.30	3	ns	ns	ns	ns	0.003	ns	ns	ns
573.10	574.10	Voir géologie.	1.00	B56326	63	ns	0.0063	42	ns	0.0042	0.20	ns	0.20	3	ns	ns	ns	ns	0.003	ns	ns	ns
574.10	574.40	Éponte inférieure. 1-2% VL c.	0.30	B56327	38	ns	0.0038	46	ns	0.0046	0.10	ns	0.10	3	ns	ns	ns	ns	0.003	ns	ns	ns
588.80	589.80	3% VL c.	1.00	B56328	2	ns	0.0002	47	ns	0.0047	0.05	ns	0.05	3	ns	ns	ns	ns	0.003	ns	ns	ns
589.80	590.10	Contact. 2-3% VL c.	0.30	B56329	3	ns	0.0003	47	ns	0.0047	0.05	ns	0.05	3	ns	ns	ns	ns	0.003	ns	ns	ns
590.10	590.40	Contact. <1% VL c.	0.30	B56330	18	ns	0.0018	41	ns	0.0041	0.05	ns	0.05	3	ns	ns	ns	ns	0.003	ns	ns	ns
590.40	591.90	<1% VL c.	1.50	B56331	7	ns	0.0007	36	ns	0.0036	0.05	ns	0.05	3	ns	ns	ns	ns	0.003	ns	ns	ns
598.60	598.90	Éponte supérieure. 2-3% VL.	0.30	B56332	14	ns	0.0014	29	ns	0.0029	0.05	ns	0.05	11	ns	ns	ns	ns	0.011	ns	ns	ns
598.90	599.30	Voir géologie.	0.40	B56333	131	ns	0.0131	40	ns	0.0040	0.30	ns	0.30	93	ns	ns	ns	ns	0.093	ns	ns	ns
599.30	599.60	Éponte inférieure. 2-3% VL.	0.30	B56334	19	ns	0.0019	32	ns	0.0032	0.05	ns	0.05	10	ns	ns	ns	ns	0.010	ns	ns	ns
607.20	607.50	Éponte supérieure. 3% VL.	0.30	B56335	16	ns	0.0016	84	ns	0.0084	0.05	ns	0.05	26	ns	ns	ns	ns	0.026	ns	ns	ns

From (m)	To (m)	Description	Length (m)	Sample No.	Cu_ppm (ppm)	Cu_pct (%)	Cu_avg (%)	Zn_ppm (ppm)	Zn_pct (%)	Zn_avg (%)	Ag_gt (g/t)	Ag_gt1 (g/t)	Ag_avg (g/t)	Au30 (ppb)	Au_gt (g/t)	Au_gt1 (g/t)	Au_gt2 (g/t)	Au_ms (g/t)	Au_avg (g/t)	As (ppm)	Pb (ppm)	Sb (ppm)
607.50	607.80	15-20% VL.	0.30	B56336	29	ns	0.0029	45	ns	0.0045	0.30	ns	0.30	166	ns	ns	ns	ns	0.166	ns	ns	ns
607.80	608.10	Éponte inférieure. Tr. VL.	0.30	B56337	4	ns	0.0004	37	ns	0.0037	0.05	ns	0.05	3	ns	ns	ns	ns	0.003	ns	ns	ns
668.20	668.50	Contact. 2% Mt.	0.30	B56338	5	ns	0.0005	71	ns	0.0071	0.05	ns	0.05	3	ns	ns	ns	ns	0.003	ns	ns	ns
668.50	668.80	Contact. 1% Mt.	0.30	B56339	7	ns	0.0007	39	ns	0.0039	0.05	ns	0.05	3	ns	ns	ns	ns	0.003	ns	ns	ns
672.70	673.00	Zone Sil,Ser,Hem. Tr. Py.	0.30	B56340	72	ns	0.0072	40	ns	0.0040	0.05	ns	0.05	59	ns	ns	ns	ns	0.059	ns	ns	ns
673.00	673.30	15-20% VN.	0.30	B56341	13	ns	0.0013	67	ns	0.0067	0.05	ns	0.05	7	ns	ns	ns	ns	0.007	ns	ns	ns
673.30	674.00	2% VN. <1% Py.	0.70	B56342	3	ns	0.0003	73	ns	0.0073	0.05	ns	0.05	3	ns	ns	ns	ns	0.003	ns	ns	ns
674.00	674.30	Tr. VL.	0.30	B56343	3	ns	0.0003	69	ns	0.0069	0.05	ns	0.05	3	ns	ns	ns	ns	0.003	ns	ns	ns
674.30	674.60	Tr. VL.	0.30	B56344	3	ns	0.0003	35	ns	0.0035	0.05	ns	0.05	3	ns	ns	ns	ns	0.003	ns	ns	ns
687.40	687.70	Contact. 1% VL. Tr. CpPy.	0.30	B56345	13	ns	0.0013	42	ns	0.0042	0.05	ns	0.05	3	ns	ns	ns	ns	0.003	ns	ns	ns
687.70	688.60	Voir géologie.	0.90	B56346	3	ns	0.0003	67	ns	0.0067	0.05	ns	0.05	3	ns	ns	ns	ns	0.003	ns	ns	ns
688.60	688.90	Contact. 2% VL. 2% Mt, 1-2% Py.	0.30	B56347	8	ns	0.0008	29	ns	0.0029	0.05	ns	0.05	3	ns	ns	ns	ns	0.003	ns	ns	ns
690.90	691.20	Contact. 3% VL c.	0.30	B56348	6	ns	0.0006	24	ns	0.0024	0.05	ns	0.05	3	ns	ns	ns	ns	0.003	ns	ns	ns
691.20	691.50	Contact. 1-2% Py.	0.30	B56349	3	ns	0.0003	74	ns	0.0074	0.05	ns	0.05	3	ns	ns	ns	ns	0.003	ns	ns	ns
719.10	719.40	Éponte supérieure.	0.30	B56350	2	ns	0.0002	49	ns	0.0049	0.05	ns	0.05	3	ns	ns	ns	ns	0.003	ns	ns	ns
719.40	719.70	15-20% VN.	0.30	B56351	4	ns	0.0004	47	ns	0.0047	0.05	ns	0.05	3	ns	ns	ns	ns	0.003	ns	ns	ns
719.70	720.00	Éponte inférieure.	0.30	B56352	2	ns	0.0002	52	ns	0.0052	0.05	ns	0.05	3	ns	ns	ns	ns	0.003	ns	ns	ns
736.20	736.50	Contact. 8-10% de VN.	0.30	B56353	19	ns	0.0019	72	ns	0.0072	0.05	ns	0.05	3	ns	ns	ns	ns	0.003	ns	ns	ns
736.50	736.80	Contact. 1-2% Py.	0.30	B56354	7	ns	0.0007	46	ns	0.0046	0.30	ns	0.30	3	ns	ns	ns	ns	0.003	ns	ns	ns
739.10	739.40	Contact. 1% VL c.	0.30	B56355	16	ns	0.0016	75	ns	0.0075	0.05	ns	0.05	3	ns	ns	ns	ns	0.003	ns	ns	ns
739.40	739.90	Zone Chl. 2-3% Cp diss. Tr. Py.	0.50	B56356	429	ns	0.0429	94	ns	0.0094	0.30	ns	0.30	18	ns	ns	ns	ns	0.018	ns	ns	ns
739.90	740.40	Zone Chl. 2-3% VL. 2% Cp diss. 1% Py.	0.50	B56357	672	ns	0.0672	87	ns	0.0087	0.30	ns	0.30	29	ns	ns	ns	ns	0.029	ns	ns	ns

From (m)	To (m)	Description	Length (m)	Sample No.	Cu_ppm (ppm)	Cu_pct (%)	Cu_avg (%)	Zn_ppm (ppm)	Zn_pct (%)	Zn_avg (%)	Ag_gt (g/t)	Ag_gt1 (g/t)	Ag_avg (g/t)	Au30 (ppb)	Au_gt (g/t)	Au_gt1 (g/t)	Au_gt2 (g/t)	Au_ms (g/t)	Au_avg (g/t)	As (ppm)	Pb (ppm)	Sb (ppm)
740.40	740.70	Zone Chl. 15% VN. 1% Cp diss.	0.30	B56358	365	ns	0.0365	73	ns	0.0073	0.20	ns	0.20	17	ns	ns	ns	ns	0.017	ns	ns	ns
740.70	741.40	Zone ±Chl. 1-2% Cp diss. <1% Py.	0.70	B56359	29	ns	0.0029	85	ns	0.0085	0.05	ns	0.05	22	ns	ns	ns	ns	0.022	ns	ns	ns
741.40	741.70	Zone ±Chl. 15% VN.	0.30	B56360	149	ns	0.0149	62	ns	0.0062	0.05	ns	0.05	6	ns	ns	ns	ns	0.006	ns	ns	ns
741.70	742.00	Éponte inférieure. 1% VL.	0.30	B56361	3	ns	0.0003	50	ns	0.0050	0.30	ns	0.30	3	ns	ns	ns	ns	0.003	ns	ns	ns
749.50	749.80	Éponte supérieure.	0.30	B56362	14	ns	0.0014	118	ns	0.0118	0.05	ns	0.05	3	ns	ns	ns	ns	0.003	ns	ns	ns
749.80	751.30	Voir géologie.	1.50	B56363	5	ns	0.0005	116	ns	0.0116	0.05	ns	0.05	3	ns	ns	ns	ns	0.003	ns	ns	ns
751.30	752.70	Voir géologie.	1.40	B56364	220	ns	0.0220	110	ns	0.0110	0.20	ns	0.20	5	ns	ns	ns	ns	0.005	ns	ns	ns
752.70	753.00	Éponte inférieure. 2% VL c.	0.30	B56365	194	ns	0.0194	107	ns	0.0107	0.20	ns	0.20	5	ns	ns	ns	ns	0.005	ns	ns	ns
753.00	754.20	Voir géologie.	1.20	B56366	507	ns	0.0507	101	ns	0.0101	0.30	ns	0.30	14	ns	ns	ns	ns	0.014	ns	ns	ns
754.20	755.20	Voir géologie.	1.00	B56367	39	ns	0.0039	76	ns	0.0076	0.05	ns	0.05	3	ns	ns	ns	ns	0.003	ns	ns	ns
759.50	759.80	Zone Chl. 2% Frc et VL c.	0.30	B56368	33	ns	0.0033	81	ns	0.0081	0.05	ns	0.05	3	ns	ns	ns	ns	0.003	ns	ns	ns
759.80	760.10	Zone Chl. 12-15% VL. 3% Py.	0.30	B56369	197	ns	0.0197	62	ns	0.0062	0.05	ns	0.05	3	ns	ns	ns	ns	0.003	ns	ns	ns
760.10	761.60	Zone ±Chl. <1% Py, Tr. VL c.	1.50	B56370	33	ns	0.0033	82	ns	0.0082	0.05	ns	0.05	3	ns	ns	ns	ns	0.003	ns	ns	ns
761.60	762.70	Zone ±Chl. Tr. Py. Tr VL c.	1.10	B56371	5	ns	0.0005	93	ns	0.0093	0.05	ns	0.05	3	ns	ns	ns	ns	0.003	ns	ns	ns
762.70	763.00	Contact. Zone Chl et Car.	0.30	B56372	6	ns	0.0006	65	ns	0.0065	0.05	ns	0.05	3	ns	ns	ns	ns	0.003	ns	ns	ns
763.00	763.30	Contact. 3-5% VL cq.	0.30	B56373	17	ns	0.0017	54	ns	0.0054	0.05	ns	0.05	3	ns	ns	ns	ns	0.003	ns	ns	ns
768.30	768.60	Éponte supérieure. 2-3% VL c.	0.30	B56374	8	ns	0.0008	59	ns	0.0059	0.05	ns	0.05	3	ns	ns	ns	ns	0.003	ns	ns	ns
768.60	769.00	Zone Chl. 10% VL c. 2% Py.	0.40	B56375	24	ns	0.0024	62	ns	0.0062	0.05	ns	0.05	3	ns	ns	ns	ns	0.003	ns	ns	ns
769.00	769.30	Zone Chl. 2% VL c. 1-2% Py.	0.30	B56376	10	ns	0.0010	83	ns	0.0083	0.05	ns	0.05	3	ns	ns	ns	ns	0.003	ns	ns	ns
769.30	770.00	Zone Chl. Tr. Py.	0.70	B56377	5	ns	0.0005	75	ns	0.0075	0.05	ns	0.05	3	ns	ns	ns	ns	0.003	ns	ns	ns
770.00	770.30	Zone Chl. 2% Py.	0.30	B56378	208	ns	0.0208	90	ns	0.0090	0.05	ns	0.05	3	ns	ns	ns	ns	0.003	ns	ns	ns
770.30	770.60	Éponte inférieure. 3-5% VN c.	0.30	B56379	24	ns	0.0024	34	ns	0.0034	0.05	ns	0.05	3	ns	ns	ns	ns	0.003	ns	ns	ns

From (m)	To (m)	Description	Length (m)	Sample No.	Cu_ppm (ppm)	Cu_pct (%)	Cu_avg (%)	Zn_ppm (ppm)	Zn_pct (%)	Zn_avg (%)	Ag_gt (g/t)	Ag_gt1 (g/t)	Ag_avg (g/t)	Au30 (ppb)	Au_gt (g/t)	Au_gt1 (g/t)	Au_gt2 (g/t)	Au_ms (g/t)	Au_avg (g/t)	As (ppm)	Pb (ppm)	Sb (ppm)
772.10	772.40	Éponte supérieure. <1% Cp.	0.30	B56380	178	ns	0.0178	27	ns	0.0027	0.30	ns	0.30	5	ns	ns	ns	ns	0.005	ns	ns	ns
772.40	773.20	Zone IChI, Ser. 2-3% VL c.	0.80	B56381	22	ns	0.0022	74	ns	0.0074	0.05	ns	0.05	3	ns	ns	ns	ns	0.003	ns	ns	ns
773.20	773.50	Zone ISer. 3-5% VL c.	0.30	B56382	368	ns	0.0368	51	ns	0.0051	0.50	ns	0.50	6	ns	ns	ns	ns	0.006	ns	ns	ns
791.30	791.60	Zone ChI. 1-2% VL c.	0.30	B56383	18	ns	0.0018	205	ns	0.0205	0.05	ns	0.05	3	ns	ns	ns	ns	0.003	ns	ns	ns
791.60	792.40	Voir géologie.	0.80	B56384	7	ns	0.0007	68	ns	0.0068	0.05	ns	0.05	3	ns	ns	ns	ns	0.003	ns	ns	ns
792.40	792.90	Zone ChI. 3-5% VL c.	0.50	B56385	3	ns	0.0003	184	ns	0.0184	0.05	ns	0.05	3	ns	ns	ns	ns	0.003	ns	ns	ns
792.90	794.40	Voir géologie.	1.50	B56386	8	ns	0.0008	67	ns	0.0067	0.05	ns	0.05	3	ns	ns	ns	ns	0.003	ns	ns	ns
794.40	795.10	Voir géologie. 3% VN c.	0.70	B56387	5	ns	0.0005	79	ns	0.0079	0.05	ns	0.05	3	ns	ns	ns	ns	0.003	ns	ns	ns
795.10	795.40	Éponte inférieure. Zone ChI. 2% VL c.	0.30	B56388	4	ns	0.0004	167	ns	0.0167	0.05	ns	0.05	3	ns	ns	ns	ns	0.003	ns	ns	ns
809.80	811.30	Voir géologie.	1.50	B56389	61	ns	0.0061	91	ns	0.0091	0.05	ns	0.05	3	ns	ns	ns	ns	0.003	ns	ns	ns
816.40	817.90	Voir géologie.	1.50	B56390	10	ns	0.0010	102	ns	0.0102	0.05	ns	0.05	3	ns	ns	ns	ns	0.003	ns	ns	ns
817.90	818.50	Voir géologie.	0.60	B56391	6	ns	0.0006	102	ns	0.0102	0.05	ns	0.05	3	ns	ns	ns	ns	0.003	ns	ns	ns
821.50	821.80	Éponte supérieure. 10-15% de VN qcprPy.	0.30	B56392	63	ns	0.0063	83	ns	0.0083	0.05	ns	0.05	3	ns	ns	ns	ns	0.003	ns	ns	ns
821.80	822.80	Zone Sil? 2% VL cqPy. 1% Frc ChI Py.	1.00	B56393	29	ns	0.0029	37	ns	0.0037	0.05	ns	0.05	3	ns	ns	ns	ns	0.003	ns	ns	ns
822.80	823.70	5% VL cqPy.	0.90	B56394	5	ns	0.0005	83	ns	0.0083	0.05	ns	0.05	3	ns	ns	ns	ns	0.003	ns	ns	ns
823.70	824.10	8-10% VL cq. Zone Fit.	0.40	B56395	5	ns	0.0005	83	ns	0.0083	0.05	ns	0.05	3	ns	ns	ns	ns	0.003	ns	ns	ns
824.10	824.70	Contact. 5-7% VL cq.	0.60	B56396	4	ns	0.0004	78	ns	0.0078	0.05	ns	0.05	3	ns	ns	ns	ns	0.003	ns	ns	ns
824.70	825.20	Contact. 15-20% VN et VL qcprPy.	0.50	B56397	14	ns	0.0014	35	ns	0.0035	0.05	ns	0.05	3	ns	ns	ns	ns	0.003	ns	ns	ns
825.20	825.50	Éponte inférieure. 3-5% VL cq.	0.30	B56398	14	ns	0.0014	45	ns	0.0045	0.05	ns	0.05	3	ns	ns	ns	ns	0.003	ns	ns	ns
860.90	861.20	Éponte supérieure.	0.30	B56399	18	ns	0.0018	89	ns	0.0089	0.05	ns	0.05	3	ns	ns	ns	ns	0.003	ns	ns	ns
861.20	861.50	50% Zone Car. 1-2% Cp.	0.30	B56400	3457	ns	0.3457	65	ns	0.0065	0.70	ns	0.70	13	ns	ns	ns	ns	0.013	ns	ns	ns
861.50	861.80	Éponte inférieure.	0.30	B56401	185	ns	0.0185	105	ns	0.0105	0.20	ns	0.20	3	ns	ns	ns	ns	0.003	ns	ns	ns

From (m)	To (m)	Description	Length (m)	Sample No.	Cu_ppm (ppm)	Cu_pct (%)	Cu_avg (%)	Zn_ppm (ppm)	Zn_pct (%)	Zn_avg (%)	Ag_gt (g/t)	Ag_gt1 (g/t)	Ag_avg (g/t)	Au30 (ppb)	Au_gt (g/t)	Au_gt1 (g/t)	Au_gt2 (g/t)	Au_ms (g/t)	Au_avg (g/t)	As (ppm)	Pb (ppm)	Sb (ppm)
883.30	883.60	Contact. 1-2% VL c.	0.30	B56402	7	ns	0.0007	110	ns	0.0110	0.05	ns	0.05	3	ns	ns	ns	ns	0.003	ns	ns	ns
883.60	883.90	Contact. 1% VL c.	0.30	B56403	221	ns	0.0221	80	ns	0.0080	0.05	ns	0.05	3	ns	ns	ns	ns	0.003	ns	ns	ns
886.00	886.30	Contact. 2% VL cPyCp.	0.30	B56404	142	ns	0.0142	69	ns	0.0069	0.20	ns	0.20	3	ns	ns	ns	ns	0.003	ns	ns	ns
886.30	886.60	Contact. <1% Frc c.	0.30	B56405	5	ns	0.0005	90	ns	0.0090	0.05	ns	0.05	3	ns	ns	ns	ns	0.003	ns	ns	ns
903.60	903.90	Contact.	0.30	B56406	4	ns	0.0004	105	ns	0.0105	0.05	ns	0.05	3	ns	ns	ns	ns	0.003	ns	ns	ns
903.90	904.20	Contact. 1-2% VL cCpBn.	0.30	B56407	282	ns	0.0282	63	ns	0.0063	0.05	ns	0.05	3	ns	ns	ns	ns	0.003	ns	ns	ns
904.20	905.00	2% VL c. <1% Cp et traces Sp? avec une des veinules.	0.80	B56408	33	ns	0.0033	65	ns	0.0065	0.05	ns	0.05	3	ns	ns	ns	ns	0.003	ns	ns	ns
905.00	905.30	Contact. 1% VL c. 2% Frc chl.	0.30	B56409	4	ns	0.0004	67	ns	0.0067	0.05	ns	0.05	3	ns	ns	ns	ns	0.003	ns	ns	ns
905.30	905.60	Contact. 15% VN eq. Traces Cp.	0.30	B56410	6	ns	0.0006	100	ns	0.0100	0.05	ns	0.05	3	ns	ns	ns	ns	0.003	ns	ns	ns
916.90	917.20	Contact. 1-2% VL cPy.	0.30	B56411	513	ns	0.0513	68	ns	0.0068	0.20	ns	0.20	3	ns	ns	ns	ns	0.003	ns	ns	ns
917.20	917.50	Contact. <1% VL c. <1% Py.	0.30	B56412	71	ns	0.0071	124	ns	0.0124	0.05	ns	0.05	3	ns	ns	ns	ns	0.003	ns	ns	ns
933.50	933.80	Contact. 1-2% VL c. 1-2% Frc chl.	0.30	B56413	97	ns	0.0097	102	ns	0.0102	0.20	ns	0.20	3	ns	ns	ns	ns	0.003	ns	ns	ns
933.80	934.10	Contact. Tr. Frc chl.	0.30	B56414	3	ns	0.0003	117	ns	0.0117	0.05	ns	0.05	3	ns	ns	ns	ns	0.003	ns	ns	ns
949.90	950.20	2-3% VL c. 2% Py. Tr. Mt.	0.30	B56415	17	ns	0.0017	138	ns	0.0138	0.05	ns	0.05	3	ns	ns	ns	ns	0.003	ns	ns	ns
950.20	951.20	Voir géologie.	1.00	B56416	22	ns	0.0022	109	ns	0.0109	0.30	ns	0.30	3	ns	ns	ns	ns	0.003	ns	ns	ns
951.20	951.50	Contact. 15% VN cCp(1%).	0.30	B56417	901	ns	0.0901	160	ns	0.0160	0.80	ns	0.80	9	ns	ns	ns	ns	0.009	ns	ns	ns
954.50	954.80	Éponte supérieure. 2% VL c±qCp.	0.30	B56418	328	ns	0.0328	187	ns	0.0187	0.50	ns	0.50	6	ns	ns	ns	ns	0.006	ns	ns	ns
954.80	955.30	Voir géologie. 1-2% Cp sur l'intervalle dû au faible angle AC.	0.50	B56419	590	ns	0.0590	188	ns	0.0188	0.70	ns	0.70	8	ns	ns	ns	ns	0.008	ns	ns	ns
955.30	955.60	Éponte inférieure.	0.30	B56420	6	ns	0.0006	148	ns	0.0148	0.05	ns	0.05	3	ns	ns	ns	ns	0.003	ns	ns	ns
955.60	956.70	Tr. VL c±qCp.	1.10	B56421	194	ns	0.0194	212	ns	0.0212	0.30	ns	0.30	3	ns	ns	ns	ns	0.003	ns	ns	ns
956.70	957.10	Contact. 1-2% VL cCp. 1-2% Py diss.	0.40	B56422	1446	ns	0.1446	275	ns	0.0275	1.60	ns	1.60	25	ns	ns	ns	ns	0.025	ns	ns	ns

From (m)	To (m)	Description	Length (m)	Sample No.	Cu_ppm (ppm)	Cu_pct (%)	Cu_avg (%)	Zn_ppm (ppm)	Zn_pct (%)	Zn_avg (%)	Ag_gt (g/t)	Ag_gt1 (g/t)	Ag_avg (g/t)	Au30 (ppb)	Au_gt (g/t)	Au_gt1 (g/t)	Au_gt2 (g/t)	Au_ms (g/t)	Au_avg (g/t)	As (ppm)	Pb (ppm)	Sb (ppm)
957.10	958.10	Voir géologie.	1.00	B56423	78	ns	0.0078	166	ns	0.0166	0.40	ns	0.40	3	ns	ns	ns	ns	0.003	ns	ns	ns
958.10	958.40	Contact.	0.30	B56424	6	ns	0.0006	117	ns	0.0117	0.20	ns	0.20	18	ns	ns	ns	ns	0.018	ns	ns	ns
964.80	965.10	Contact supérieur. 1% VL c.	0.30	B56425	14	ns	0.0014	171	ns	0.0171	0.05	ns	0.05	3	ns	ns	ns	ns	0.003	ns	ns	ns
965.10	966.40	2% VL cCp. <1% Py diss.	1.30	B56426	402	ns	0.0402	122	ns	0.0122	0.40	ns	0.40	5	ns	ns	ns	ns	0.005	ns	ns	ns
966.40	966.70	Contact inférieur. Tr. VL c.	0.30	B56427	200	ns	0.0200	173	ns	0.0173	0.20	ns	0.20	8	ns	ns	ns	ns	0.008	ns	ns	ns
970.30	970.60	Contact supérieur. 8-10% VN cq±Cp.	0.30	B56428	99	ns	0.0099	151	ns	0.0151	0.30	ns	0.30	3	ns	ns	ns	ns	0.003	ns	ns	ns
970.60	971.00	1% VL c±Cp.	0.40	B56429	109	ns	0.0109	167	ns	0.0167	0.30	ns	0.30	3	ns	ns	ns	ns	0.003	ns	ns	ns
971.00	971.30	Contact inférieur. 2% VL cq±Cp.	0.30	B56430	14	ns	0.0014	242	ns	0.0242	0.05	ns	0.05	3	ns	ns	ns	ns	0.003	ns	ns	ns
978.20	978.50	Éponte supérieure. 1-2% VL cq.	0.30	B56431	12	ns	0.0012	266	ns	0.0266	0.05	ns	0.05	3	ns	ns	ns	ns	0.003	ns	ns	ns
978.50	979.50	Voir géologie.	1.00	B56432	71	ns	0.0071	278	ns	0.0278	0.20	ns	0.20	25	ns	ns	ns	ns	0.025	ns	ns	ns
979.50	979.80	Éponte inférieure. 5-7% VL cq.	0.30	B56433	69	ns	0.0069	238	ns	0.0238	0.20	ns	0.20	11	ns	ns	ns	ns	0.011	ns	ns	ns
989.60	989.90	Éponte supérieure. 3% VL cq.	0.30	B56434	62	ns	0.0062	193	ns	0.0193	0.20	ns	0.20	3	ns	ns	ns	ns	0.003	ns	ns	ns
989.90	991.30	Contient 0,2m de lithog. Traces VL cq.	1.40	B56435	216	ns	0.0216	146	ns	0.0146	0.30	ns	0.30	6	ns	ns	ns	ns	0.006	ns	ns	ns
991.30	992.00	1% VL cq.	0.70	B56436	6	ns	0.0006	181	ns	0.0181	0.10	ns	0.10	3	ns	ns	ns	ns	0.003	ns	ns	ns
992.00	993.00	3% VL cq.	1.00	B56437	108	ns	0.0108	142	ns	0.0142	0.30	ns	0.30	3	ns	ns	ns	ns	0.003	ns	ns	ns
993.00	994.10	Traces VL cq.	1.10	B56438	5	ns	0.0005	145	ns	0.0145	0.05	ns	0.05	3	ns	ns	ns	ns	0.003	ns	ns	ns
994.10	995.20	Voir géologie.	1.10	B56439	106	ns	0.0106	131	ns	0.0131	0.20	ns	0.20	3	ns	ns	ns	ns	0.003	ns	ns	ns
995.20	995.50	Éponte inférieure. 10% VN cqPy.	0.30	B56440	104	ns	0.0104	124	ns	0.0124	0.20	ns	0.20	3	ns	ns	ns	ns	0.003	ns	ns	ns
998.00	998.50	Voir géologie.	0.50	B56441	55	ns	0.0055	108	ns	0.0108	0.05	ns	0.05	3	ns	ns	ns	ns	0.003	ns	ns	ns
1003.40	1003.70	Contact. 2-3% VL cqCp.	0.30	B56442	220	ns	0.0220	103	ns	0.0103	0.30	ns	0.30	12	ns	ns	ns	ns	0.012	ns	ns	ns
1003.70	1004.00	Contact. 2% VL cqPy.	0.30	B56443	112	ns	0.0112	74	ns	0.0074	0.30	ns	0.30	7	ns	ns	ns	ns	0.007	ns	ns	ns
1006.20	1006.50	Contact. 1% VL c.	0.30	B56444	71	ns	0.0071	114	ns	0.0114	0.30	ns	0.30	5	ns	ns	ns	ns	0.005	ns	ns	ns

From (m)	To (m)	Description	Length (m)	Sample No.	Cu_ppm (ppm)	Cu_pct (%)	Cu_avg (%)	Zn_ppm (ppm)	Zn_pct (%)	Zn_avg (%)	Ag_gt (g/t)	Ag_gt1 (g/t)	Ag_avg (g/t)	Au30 (ppb)	Au_gt (g/t)	Au_gt1 (g/t)	Au_gt2 (g/t)	Au_ms (g/t)	Au_avg (g/t)	As (ppm)	Pb (ppm)	Sb (ppm)
1006.50	1006.90	Contact. Voir géologie.	0.40	B56445	26	ns	0.0026	94	ns	0.0094	0.05	ns	0.05	3	ns	ns	ns	ns	0.003	ns	ns	ns
1006.90	1007.20	Contact. 1-2% VL c.	0.30	B56446	214	ns	0.0214	159	ns	0.0159	0.20	ns	0.20	14	ns	ns	ns	ns	0.014	ns	ns	ns
1011.80	1012.10	Contact. Traces VL c.	0.30	B56447	190	ns	0.0190	160	ns	0.0160	0.05	ns	0.05	13	ns	ns	ns	ns	0.013	ns	ns	ns
1012.10	1012.40	Contact. 1% VL et Frc c.	0.30	B56448	211	ns	0.0211	119	ns	0.0119	0.05	ns	0.05	17	ns	ns	ns	ns	0.017	ns	ns	ns
1013.60	1013.90	Contact. <1% VL cq.	0.30	B56449	321	ns	0.0321	138	ns	0.0138	0.30	ns	0.30	18	ns	ns	ns	ns	0.018	ns	ns	ns
1013.90	1014.20	Contact. <1% VL cq.	0.30	B56450	172	ns	0.0172	130	ns	0.0130	0.50	ns	0.50	12	ns	ns	ns	ns	0.012	ns	ns	ns
1016.30	1016.60	Contact. 1% VL c.	0.30	B56451	73	ns	0.0073	111	ns	0.0111	0.40	ns	0.40	13	ns	ns	ns	ns	0.013	ns	ns	ns
1016.60	1017.10	Voir géologie.	0.50	B56452	380	ns	0.0380	101	ns	0.0101	0.05	ns	0.05	18	ns	ns	ns	ns	0.018	ns	ns	ns
1017.10	1017.40	Contact. 2% VL c.	0.30	B56453	63	ns	0.0063	97	ns	0.0097	0.05	ns	0.05	7	ns	ns	ns	ns	0.007	ns	ns	ns
1021.10	1021.40	Éponte supérieure.	0.30	B56454	458	ns	0.0458	94	ns	0.0094	0.40	ns	0.40	10	ns	ns	ns	ns	0.010	ns	ns	ns
1021.40	1021.80	Voir géologie.	0.40	B56455	364	ns	0.0364	89	ns	0.0089	0.50	ns	0.50	12	ns	ns	ns	ns	0.012	ns	ns	ns
1021.80	1022.10	Éponte inférieure.	0.30	B56456	84	ns	0.0084	79	ns	0.0079	0.30	ns	0.30	3	ns	ns	ns	ns	0.003	ns	ns	ns
1041.70	1042.00	Éponte supérieure.	0.30	B56457	58	ns	0.0058	99	ns	0.0099	0.20	ns	0.20	3	ns	ns	ns	ns	0.003	ns	ns	ns
1042.00	1042.30	35% de matériel de veine.	0.30	B56458	23	ns	0.0023	54	ns	0.0054	0.05	ns	0.05	3	ns	ns	ns	ns	0.003	ns	ns	ns
1042.30	1042.60	Éponte inférieure.	0.30	B56459	422	ns	0.0422	94	ns	0.0094	0.60	ns	0.60	11	ns	ns	ns	ns	0.011	ns	ns	ns
1050.00	1050.30	Éponte supérieure.	0.30	B56460	23	ns	0.0023	135	ns	0.0135	0.05	ns	0.05	3	ns	ns	ns	ns	0.003	ns	ns	ns
1050.30	1050.60	30% de matériel de veine.	0.30	B56461	2210	ns	0.2210	87	ns	0.0087	0.30	ns	0.30	8	ns	ns	ns	ns	0.008	ns	ns	ns
1050.60	1050.90	Éponte inférieure.	0.30	B56462	61	ns	0.0061	113	ns	0.0113	0.05	ns	0.05	3	ns	ns	ns	ns	0.003	ns	ns	ns
1056.60	1056.90	Éponte supérieure.	0.30	B56463	43	ns	0.0043	125	ns	0.0125	0.20	ns	0.20	3	ns	ns	ns	ns	0.003	ns	ns	ns
1056.90	1057.20	30% de matériel de veine.	0.30	B56464	42	ns	0.0042	100	ns	0.0100	0.30	ns	0.30	3	ns	ns	ns	ns	0.003	ns	ns	ns
1057.20	1057.50	Éponte inférieure.	0.30	B56465	119	ns	0.0119	116	ns	0.0116	0.20	ns	0.20	3	ns	ns	ns	ns	0.003	ns	ns	ns
1061.90	1062.20	Contact supérieur.	0.30	B56466	57	ns	0.0057	113	ns	0.0113	0.30	ns	0.30	10	ns	ns	ns	ns	0.010	ns	ns	ns

From (m)	To (m)	Description	Length (m)	Sample No.	Cu_ppm (ppm)	Cu_pct (%)	Cu_avg (%)	Zn_ppm (ppm)	Zn_pct (%)	Zn_avg (%)	Ag_gt (g/t)	Ag_gt1 (g/t)	Ag_avg (g/t)	Au30 (ppb)	Au_gt (g/t)	Au_gt1 (g/t)	Au_gt2 (g/t)	Au_ms (g/t)	Au_avg (g/t)	As (ppm)	Pb (ppm)	Sb (ppm)
1062.20	1062.60	<1% Py.	0.40	B56467	6	ns	0.0006	139	ns	0.0139	0.05	ns	0.05	3	ns	ns	ns	ns	0.003	ns	ns	ns
1062.60	1062.90	8-10% Py.5-7% VL c. 2% VL tm.	0.30	B56468	26	ns	0.0026	76	ns	0.0076	0.70	ns	0.70	10	ns	ns	ns	ns	0.010	ns	ns	ns
1062.90	1063.20	Éponte inférieure. 1% VL c.	0.30	B56469	13	ns	0.0013	133	ns	0.0133	0.30	ns	0.30	3	ns	ns	ns	ns	0.003	ns	ns	ns
1063.20	1063.80	1-2% VL c.	0.60	B56470	79	ns	0.0079	129	ns	0.0129	0.40	ns	0.40	7	ns	ns	ns	ns	0.007	ns	ns	ns
1063.80	1064.20	Éponte supérieure. 3-5% VL cq.	0.40	B56471	171	ns	0.0171	181	ns	0.0181	0.05	ns	0.05	5	ns	ns	ns	ns	0.005	ns	ns	ns
1064.20	1064.70	Voir géologie.	0.50	B56472	63	ns	0.0063	175	ns	0.0175	0.05	ns	0.05	3	ns	ns	ns	ns	0.003	ns	ns	ns
1064.70	1065.00	Éponte inférieure. 3-5% VL c.	0.30	B56473	166	ns	0.0166	192	ns	0.0192	0.20	ns	0.20	3	ns	ns	ns	ns	0.003	ns	ns	ns
1067.70	1068.00	3-5% VL cqPy.	0.30	B56474	43	ns	0.0043	113	ns	0.0113	0.05	ns	0.05	3	ns	ns	ns	ns	0.003	ns	ns	ns
1068.00	1068.30	40% I2-3Sch.	0.30	B56475	83	ns	0.0083	232	ns	0.0232	0.05	ns	0.05	3	ns	ns	ns	ns	0.003	ns	ns	ns
1070.40	1070.70	2-3% Py.	0.30	B56476	86	ns	0.0086	373	ns	0.0373	0.40	ns	0.40	8	ns	ns	ns	ns	0.008	ns	ns	ns
1071.10	1071.40	Contact.	0.30	B56477	88	ns	0.0088	337	ns	0.0337	0.20	ns	0.20	3	ns	ns	ns	ns	0.003	ns	ns	ns
1071.40	1071.80	Voir géologie.	0.40	B56478	12	ns	0.0012	244	ns	0.0244	0.05	ns	0.05	3	ns	ns	ns	ns	0.003	ns	ns	ns
1071.80	1072.60	Contact.	0.80	B56479	559	ns	0.0559	276	ns	0.0276	0.50	ns	0.50	11	ns	ns	ns	ns	0.011	ns	ns	ns
1072.60	1072.90	Contact. Voir géologie.	0.30	B56480	490	ns	0.0490	261	ns	0.0261	1.40	ns	1.40	10	ns	ns	ns	ns	0.010	ns	ns	ns
1072.90	1073.30	Zone Hem. Voir géologie.	0.40	B56481	422	ns	0.0422	243	ns	0.0243	0.05	ns	0.05	11	ns	ns	ns	ns	0.011	ns	ns	ns
1077.20	1077.50	Éponte. 1% VL.	0.30	B56482	170	ns	0.0170	197	ns	0.0197	0.05	ns	0.05	6	ns	ns	ns	ns	0.006	ns	ns	ns
1077.50	1078.20	75% de veine. 25% d'éponte.	0.70	B56483	1858	ns	0.1858	89	ns	0.0089	0.05	ns	0.05	110	ns	ns	ns	ns	0.110	ns	ns	ns
1078.20	1078.50	Éponte. 1% VL.	0.30	B56484	150	ns	0.0150	176	ns	0.0176	0.05	ns	0.05	11	ns	ns	ns	ns	0.011	ns	ns	ns
1080.70	1081.00	Contact? 5% VL.	0.30	B56485	100	ns	0.0100	121	ns	0.0121	0.05	ns	0.05	6	ns	ns	ns	ns	0.006	ns	ns	ns
1081.00	1081.30	Contact? Traces VL.	0.30	B56486	114	ns	0.0114	194	ns	0.0194	0.05	ns	0.05	7	ns	ns	ns	ns	0.007	ns	ns	ns
1083.20	1083.50	3% VL chiPy, 3% VL qc.	0.30	B56487	1428	ns	0.1428	166	ns	0.0166	0.05	ns	0.05	25	ns	ns	ns	ns	0.025	ns	ns	ns
1094.50	1094.80	Contact. 8-10 VL.	0.30	B56488	131	ns	0.0131	147	ns	0.0147	0.05	ns	0.05	6	ns	ns	ns	ns	0.006	ns	ns	ns

From (m)	To (m)	Description	Length (m)	Sample No.	Cu_ppm (ppm)	Cu_pct (%)	Cu_avg (%)	Zn_ppm (ppm)	Zn_pct (%)	Zn_avg (%)	Ag_gt (g/t)	Ag_gt1 (g/t)	Ag_avg (g/t)	Au30 (ppb)	Au_gt (g/t)	Au_gt1 (g/t)	Au_gt2 (g/t)	Au_ms (g/t)	Au_avg (g/t)	As (ppm)	Pb (ppm)	Sb (ppm)
1094.80	1095.30	Voir géologie.	0.50	B56489	23	ns	0.0023	151	ns	0.0151	0.05	ns	0.05	3	ns	ns	ns	ns	0.003	ns	ns	ns
1095.30	1095.60	Contact. Tr. VL.	0.30	B56490	491	ns	0.0491	161	ns	0.0161	0.20	ns	0.20	3	ns	ns	ns	ns	0.003	ns	ns	ns
1097.10	1097.40	Contact.	0.30	B56491	9	ns	0.0009	128	ns	0.0128	0.05	ns	0.05	3	ns	ns	ns	ns	0.003	ns	ns	ns
1097.40	1098.50	1% VL c.	1.10	B56492	4	ns	0.0004	129	ns	0.0129	0.05	ns	0.05	3	ns	ns	ns	ns	0.003	ns	ns	ns
1098.50	1098.90	Voir géologie. 80% de matériel de veine.	0.40	B56493	2998	ns	0.2998	61	ns	0.0061	1.40	ns	1.40	50	ns	ns	ns	ns	0.050	ns	ns	ns
1098.90	1100.00	1-2% VL c. 1% VL chl.	1.10	B56494	13	ns	0.0013	115	ns	0.0115	0.05	ns	0.05	3	ns	ns	ns	ns	0.003	ns	ns	ns
1100.00	1100.30	Contact. 8-10% VL.	0.30	B56495	28	ns	0.0028	106	ns	0.0106	0.05	ns	0.05	3	ns	ns	ns	ns	0.003	ns	ns	ns
1100.30	1100.60	Éponte.	0.30	B56496	56	ns	0.0056	128	ns	0.0128	0.20	ns	0.20	3	ns	ns	ns	ns	0.003	ns	ns	ns
1102.90	1103.20	Éponte supérieure.	0.30	B56497	5	ns	0.0005	128	ns	0.0128	0.05	ns	0.05	3	ns	ns	ns	ns	0.003	ns	ns	ns
1103.20	1103.50	15% VN.	0.30	B56498	29	ns	0.0029	125	ns	0.0125	0.05	ns	0.05	3	ns	ns	ns	ns	0.003	ns	ns	ns
1103.50	1103.80	Éponte inférieure. 1-2% VL c.	0.30	B56499	44	ns	0.0044	157	ns	0.0157	0.05	ns	0.05	3	ns	ns	ns	ns	0.003	ns	ns	ns
1107.80	1108.10	Éponte supérieure.	0.30	B56500	143	ns	0.0143	141	ns	0.0141	0.20	ns	0.20	3	ns	ns	ns	ns	0.003	ns	ns	ns
1108.10	1108.40	20% de matériel de veine.	0.30	B56501	1231	ns	0.1231	234	ns	0.0234	2.00	ns	2.00	11	ns	ns	ns	ns	0.011	ns	ns	ns
1108.40	1109.80	Éponte.	1.40	B56502	112	ns	0.0112	248	ns	0.0248	1.00	ns	1.00	3	ns	ns	ns	ns	0.003	ns	ns	ns
1109.80	1110.20	Voir géologie.	0.40	B56503	4605	ns	0.4605	274	ns	0.0274	6.30	ns	6.30	38	ns	ns	ns	ns	0.038	ns	ns	ns
1110.20	1110.60	2% Py diss.	0.40	B56504	60	ns	0.0060	205	ns	0.0205	0.30	ns	0.30	3	ns	ns	ns	ns	0.003	ns	ns	ns
1110.60	1110.90	10% de matériel de veine.	0.30	B56505	1323	ns	0.1323	238	ns	0.0238	2.30	ns	2.30	11	ns	ns	ns	ns	0.011	ns	ns	ns
1110.90	1111.20	Éponte inférieure.	0.30	B56506	217	ns	0.0217	271	ns	0.0271	0.20	ns	0.20	7	ns	ns	ns	ns	0.007	ns	ns	ns
1113.40	1113.70	Éponte supérieur.	0.30	B56507	35	ns	0.0035	225	ns	0.0225	0.05	ns	0.05	3	ns	ns	ns	ns	0.003	ns	ns	ns
1113.70	1114.00	7% de matériel de veine.	0.30	B56508	255	ns	0.0255	232	ns	0.0232	0.30	ns	0.30	3	ns	ns	ns	ns	0.003	ns	ns	ns
1114.00	1115.40	Éponte.	1.40	B56509	16	ns	0.0016	180	ns	0.0180	0.05	ns	0.05	3	ns	ns	ns	ns	0.003	ns	ns	ns
1115.40	1115.70	60% VN.	0.30	B56510	12	ns	0.0012	67	ns	0.0067	0.05	ns	0.05	10	ns	ns	ns	ns	0.010	ns	ns	ns

From (m)	To (m)	Description	Length (m)	Sample No.	Cu_ppm (ppm)	Cu_pct (%)	Cu_avg (%)	Zn_ppm (ppm)	Zn_pct (%)	Zn_avg (%)	Ag_gt (g/t)	Ag_gt1 (g/t)	Ag_avg (g/t)	Au30 (ppb)	Au_gt (g/t)	Au_gt1 (g/t)	Au_gt2 (g/t)	Au_ms (g/t)	Au_avg (g/t)	As (ppm)	Pb (ppm)	Sb (ppm)
1115.70	1116.00	Éponte inférieure.	0.30	B56511	21	ns	0.0021	143	ns	0.0143	0.05	ns	0.05	6	ns	ns	ns	ns	0.006	ns	ns	ns
1119.20	1119.50	Éponte supérieure.	0.30	B56512	6	ns	0.0006	159	ns	0.0159	0.05	ns	0.05	3	ns	ns	ns	ns	0.003	ns	ns	ns
1119.50	1120.00	Voir géologie.	0.50	B56513	389	ns	0.0389	38	ns	0.0038	0.40	ns	0.40	6	ns	ns	ns	ns	0.006	ns	ns	ns
1120.00	1120.30	Éponte inférieure.	0.30	B56514	30	ns	0.0030	136	ns	0.0136	0.05	ns	0.05	3	ns	ns	ns	ns	0.003	ns	ns	ns
1172.40	1172.70	Éponte supérieure.	0.30	B56515	66	ns	0.0066	93	ns	0.0093	0.05	ns	0.05	7	ns	ns	ns	ns	0.007	ns	ns	ns
1172.70	1173.00	10% de matériel de veine.	0.30	B56516	406	ns	0.0406	79	ns	0.0079	0.20	ns	0.20	14	ns	ns	ns	ns	0.014	ns	ns	ns
1173.00	1173.30	Éponte inférieure.	0.30	B56517	134	ns	0.0134	93	ns	0.0093	0.05	ns	0.05	6	ns	ns	ns	ns	0.006	ns	ns	ns
1181.70	1182.00	Éponte.	0.30	B56518	28	ns	0.0028	149	ns	0.0149	0.05	ns	0.05	3	ns	ns	ns	ns	0.003	ns	ns	ns
1182.00	1182.30	15% de matériel de veines.	0.30	B56519	78	ns	0.0078	89	ns	0.0089	0.05	ns	0.05	3	ns	ns	ns	ns	0.003	ns	ns	ns
1182.30	1182.60	Contact. 3% de VL.	0.30	B56520	4	ns	0.0004	115	ns	0.0115	0.05	ns	0.05	3	ns	ns	ns	ns	0.003	ns	ns	ns
1183.80	1184.10	4% VL.	0.30	B56521	18	ns	0.0018	142	ns	0.0142	0.05	ns	0.05	6	ns	ns	ns	ns	0.006	ns	ns	ns
1184.10	1185.10	Contact. 2% VL.	1.00	B56522	45	ns	0.0045	170	ns	0.0170	0.05	ns	0.05	7	ns	ns	ns	ns	0.007	ns	ns	ns
1185.10	1185.50	Contact. 1% VL.	0.40	B56523	145	ns	0.0145	153	ns	0.0153	0.05	ns	0.05	9	ns	ns	ns	ns	0.009	ns	ns	ns
1185.50	1185.80	Contact.	0.30	B56524	26	ns	0.0026	124	ns	0.0124	0.05	ns	0.05	3	ns	ns	ns	ns	0.003	ns	ns	ns
1196.50	1196.80	Contact. 5-7% VN c.	0.30	B56525	32	ns	0.0032	78	ns	0.0078	0.05	ns	0.05	3	ns	ns	ns	ns	0.003	ns	ns	ns
1196.80	1197.60	Contact. Zone Car. 3-5% Frc chl.	0.80	B56526	4	ns	0.0004	64	ns	0.0064	0.05	ns	0.05	3	ns	ns	ns	ns	0.003	ns	ns	ns
1197.60	1199.10	Zone Hem. 2-3% VL c.	1.50	B56527	18	ns	0.0018	49	ns	0.0049	0.05	ns	0.05	3	ns	ns	ns	ns	0.003	ns	ns	ns
1199.10	1200.60	Zone Hem. 2% VL c.	1.50	B56528	89	ns	0.0089	83	ns	0.0083	0.05	ns	0.05	3	ns	ns	ns	ns	0.003	ns	ns	ns
1200.60	1202.10	Zone Hem. <1% VL c.	1.50	B56529	40	ns	0.0040	74	ns	0.0074	0.05	ns	0.05	3	ns	ns	ns	ns	0.003	ns	ns	ns
1202.10	1203.00	Zone Hem. Tr. VL c.	0.90	B56530	27	ns	0.0027	59	ns	0.0059	0.05	ns	0.05	3	ns	ns	ns	ns	0.003	ns	ns	ns
1203.00	1204.50	Voir géologie.	1.50	B56531	16	ns	0.0016	66	ns	0.0066	0.05	ns	0.05	3	ns	ns	ns	ns	0.003	ns	ns	ns
1204.50	1204.80	Voir géologie.	0.30	B56532	17	ns	0.0017	63	ns	0.0063	0.05	ns	0.05	3	ns	ns	ns	ns	0.003	ns	ns	ns

From (m)	To (m)	Description	Length (m)	Sample No.	Cu_ppm (ppm)	Cu_pct (%)	Cu_avg (%)	Zn_ppm (ppm)	Zn_pct (%)	Zn_avg (%)	Ag_gt (g/t)	Ag_gt1 (g/t)	Ag_avg (g/t)	Au30 (ppb)	Au_gt (g/t)	Au_gt1 (g/t)	Au_gt2 (g/t)	Au_ms (g/t)	Au_avg (g/t)	As (ppm)	Pb (ppm)	Sb (ppm)
1204.80	1206.30	Voir géologie.	1.50	B56533	219	ns	0.0219	101	ns	0.0101	0.30	ns	0.30	8	ns	ns	ns	ns	0.008	ns	ns	ns
1206.30	1207.80	Zone Hem. 1% VL.	1.50	B56534	806	ns	0.0806	144	ns	0.0144	0.30	ns	0.30	14	ns	ns	ns	ns	0.014	ns	ns	ns
1220.50	1220.80	Éponte supérieure.	0.30	B56535	28	ns	0.0028	163	ns	0.0163	0.05	ns	0.05	3	ns	ns	ns	ns	0.003	ns	ns	ns
1220.80	1221.10	Voir géologie.	0.30	B56536	17	ns	0.0017	115	ns	0.0115	0.05	ns	0.05	3	ns	ns	ns	ns	0.003	ns	ns	ns
1221.10	1221.50	Voir géologie.	0.40	B56537	72	ns	0.0072	142	ns	0.0142	0.05	ns	0.05	9	ns	ns	ns	ns	0.009	ns	ns	ns
1221.50	1221.80	Éponte inférieure. 5-7% VL cq.	0.30	B56538	193	ns	0.0193	136	ns	0.0136	0.05	ns	0.05	7	ns	ns	ns	ns	0.007	ns	ns	ns
1223.50	1223.80	Éponte supérieure. 2% VL.	0.30	B56539	8	ns	0.0008	77	ns	0.0077	0.05	ns	0.05	3	ns	ns	ns	ns	0.003	ns	ns	ns
1223.80	1224.30	Voir géologie.	0.50	B56540	8	ns	0.0008	138	ns	0.0138	0.05	ns	0.05	3	ns	ns	ns	ns	0.003	ns	ns	ns
1224.30	1224.60	Contact. 60% zones Ser-Sil.	0.30	B56541	11	ns	0.0011	52	ns	0.0052	0.05	ns	0.05	3	ns	ns	ns	ns	0.003	ns	ns	ns
1224.60	1229.90	Contact.	5.30	B56542	7	ns	0.0007	78	ns	0.0078	0.05	ns	0.05	3	ns	ns	ns	ns	0.003	ns	ns	ns
1230.20	1231.70	Zone lHem. 1% VL cq.	1.50	B56543	10	ns	0.0010	73	ns	0.0073	0.05	ns	0.05	3	ns	ns	ns	ns	0.003	ns	ns	ns
1231.70	1232.50	Idem. 3% VL cqPy à 55°AC.	0.80	B56544	30	ns	0.0030	73	ns	0.0073	0.05	ns	0.05	3	ns	ns	ns	ns	0.003	ns	ns	ns
1232.50	1234.00	Zone m-sHem. 1% VL cq.	1.50	B56545	14	ns	0.0014	58	ns	0.0058	0.05	ns	0.05	5	ns	ns	ns	ns	0.005	ns	ns	ns
1234.00	1235.50	Idem. 1-2% VL cq.	1.50	B56546	10	ns	0.0010	79	ns	0.0079	0.05	ns	0.05	8	ns	ns	ns	ns	0.008	ns	ns	ns
1235.50	1237.00	Idem.	1.50	B56547	13	ns	0.0013	70	ns	0.0070	0.05	ns	0.05	6	ns	ns	ns	ns	0.006	ns	ns	ns
1237.00	1237.70	Idem.	0.70	B56548	16	ns	0.0016	65	ns	0.0065	0.05	ns	0.05	3	ns	ns	ns	ns	0.003	ns	ns	ns
1237.70	1239.20	Zone lHem. <1% VL cq.	1.50	B56549	9	ns	0.0009	99	ns	0.0099	0.05	ns	0.05	3	ns	ns	ns	ns	0.003	ns	ns	ns
1239.20	1240.70	Idem.	1.50	B56550	17	ns	0.0017	74	ns	0.0074	0.05	ns	0.05	3	ns	ns	ns	ns	0.003	ns	ns	ns
1240.70	1242.20	Idem.	1.50	B56551	33	ns	0.0033	39	ns	0.0039	0.05	ns	0.05	3	ns	ns	ns	ns	0.003	ns	ns	ns
1242.20	1243.00	Idem. 1% VL cq.	0.80	B56552	51	ns	0.0051	52	ns	0.0052	0.05	ns	0.05	3	ns	ns	ns	ns	0.003	ns	ns	ns
1247.90	1248.20	Contact.	0.30	B56553	110	ns	0.0110	72	ns	0.0072	0.30	ns	0.30	3	ns	ns	ns	ns	0.003	ns	ns	ns
1248.20	1248.50	Voir géologie.	0.30	B56554	105	ns	0.0105	159	ns	0.0159	0.05	ns	0.05	3	ns	ns	ns	ns	0.003	ns	ns	ns

From (m)	To (m)	Description	Length (m)	Sample No.	Cu_ppm (ppm)	Cu_pct (%)	Cu_avg (%)	Zn_ppm (ppm)	Zn_pct (%)	Zn_avg (%)	Ag_gt (g/t)	Ag_gt1 (g/t)	Ag_avg (g/t)	Au30 (ppb)	Au_gt (g/t)	Au_gt1 (g/t)	Au_gt2 (g/t)	Au_ms (g/t)	Au_avg (g/t)	As (ppm)	Pb (ppm)	Sb (ppm)
1248.50	1249.40	Contact.	0.90	B56555	20	ns	0.0020	77	ns	0.0077	0.05	ns	0.05	3	ns	ns	ns	ns	0.003	ns	ns	ns
1249.40	1249.70	Voir géologie. Tr. VL c.	0.30	B56556	9	ns	0.0009	164	ns	0.0164	0.05	ns	0.05	3	ns	ns	ns	ns	0.003	ns	ns	ns
1251.90	1252.20	Contact.	0.30	B56557	29	ns	0.0029	149	ns	0.0149	0.05	ns	0.05	3	ns	ns	ns	ns	0.003	ns	ns	ns
1252.20	1252.60	Contact. 25% l2-3. 1-2% VL cqCp.	0.40	B56558	196	ns	0.0196	76	ns	0.0076	0.05	ns	0.05	3	ns	ns	ns	ns	0.003	ns	ns	ns
1252.60	1252.90	Contact. 2-3% VL c.	0.30	B56559	191	ns	0.0191	65	ns	0.0065	0.05	ns	0.05	3	ns	ns	ns	ns	0.003	ns	ns	ns
1255.40	1255.70	Contact. 1% VI cq.	0.30	B56560	141	ns	0.0141	85	ns	0.0085	0.05	ns	0.05	3	ns	ns	ns	ns	0.003	ns	ns	ns
1255.70	1256.00	Voir géologie.<1% Py diss.	0.30	B56561	31	ns	0.0031	151	ns	0.0151	0.05	ns	0.05	3	ns	ns	ns	ns	0.003	ns	ns	ns
1256.00	1256.30	Contact. Tr VL c.	0.30	B56562	33	ns	0.0033	53	ns	0.0053	0.05	ns	0.05	3	ns	ns	ns	ns	0.003	ns	ns	ns
1262.90	1263.20	Contact. 65% de zones alt.	0.30	B56563	86	ns	0.0086	39	ns	0.0039	0.05	ns	0.05	5	ns	ns	ns	ns	0.005	ns	ns	ns
1263.20	1263.50	Contact. Voir géologie.	0.30	B56564	18	ns	0.0018	39	ns	0.0039	0.05	ns	0.05	3	ns	ns	ns	ns	0.003	ns	ns	ns
1263.50	1263.80	Éponte inférieure.	0.30	B56565	114	ns	0.0114	73	ns	0.0073	0.05	ns	0.05	3	ns	ns	ns	ns	0.003	ns	ns	ns
1267.30	1267.60	Éponte supérieure.	0.30	B56566	16	ns	0.0016	29	ns	0.0029	0.05	ns	0.05	3	ns	ns	ns	ns	0.003	ns	ns	ns
1267.60	1267.90	Voir géologie.	0.30	B56567	48	ns	0.0048	45	ns	0.0045	0.05	ns	0.05	3	ns	ns	ns	ns	0.003	ns	ns	ns
1267.90	1268.70	1-2% VL c.	0.80	B56568	6	ns	0.0006	69	ns	0.0069	0.05	ns	0.05	3	ns	ns	ns	ns	0.003	ns	ns	ns
1268.70	1269.20	Zone ±Sil. 2% VL c±q.	0.50	B56569	8	ns	0.0008	62	ns	0.0062	0.05	ns	0.05	3	ns	ns	ns	ns	0.003	ns	ns	ns
1269.20	1269.50	Éponte inférieure.	0.30	B56570	88	ns	0.0088	49	ns	0.0049	0.05	ns	0.05	9	ns	ns	ns	ns	0.009	ns	ns	ns
1272.10	1273.60	Voir géologie.	1.50	B56571	121	ns	0.0121	45	ns	0.0045	0.05	ns	0.05	3	ns	ns	ns	ns	0.003	ns	ns	ns
1273.60	1275.10	Idem.	1.50	B56572	106	ns	0.0106	50	ns	0.0050	0.20	ns	0.20	9	ns	ns	ns	ns	0.009	ns	ns	ns
1275.10	1275.40	Idem.	0.30	B56573	52	ns	0.0052	52	ns	0.0052	0.05	ns	0.05	3	ns	ns	ns	ns	0.003	ns	ns	ns
1279.70	1280.90	Idem.	1.20	B56574	233	ns	0.0233	35	ns	0.0035	0.05	ns	0.05	6	ns	ns	ns	ns	0.006	ns	ns	ns
1280.90	1281.20	Idem.	0.30	B56575	18	ns	0.0018	44	ns	0.0044	0.05	ns	0.05	3	ns	ns	ns	ns	0.003	ns	ns	ns
1281.20	1282.10	Zone lSer,lPor-fp	0.90	B56576	74	ns	0.0074	53	ns	0.0053	0.05	ns	0.05	3	ns	ns	ns	ns	0.003	ns	ns	ns

From (m)	To (m)	Description	Length (m)	Sample No.	Cu_ppm (ppm)	Cu_pct (%)	Cu_avg (%)	Zn_ppm (ppm)	Zn_pct (%)	Zn_avg (%)	Ag_gt (g/t)	Ag_gt1 (g/t)	Ag_avg (g/t)	Au30 (ppb)	Au_gt (g/t)	Au_gt1 (g/t)	Au_gt2 (g/t)	Au_ms (g/t)	Au_avg (g/t)	As (ppm)	Pb (ppm)	Sb (ppm)
1282.10	1283.40	Zone IChl,ISer	1.30	B56577	53	ns	0.0053	121	ns	0.0121	0.05	ns	0.05	3	ns	ns	ns	ns	0.003	ns	ns	ns
1283.40	1284.90	Voir géologie.	1.50	B56578	139	ns	0.0139	75	ns	0.0075	0.05	ns	0.05	7	ns	ns	ns	ns	0.007	ns	ns	ns
1284.90	1285.30	Idem.	0.40	B56579	90	ns	0.0090	61	ns	0.0061	0.05	ns	0.05	5	ns	ns	ns	ns	0.005	ns	ns	ns
1285.30	1285.60	80% VN qc.	0.30	B56580	72	ns	0.0072	23	ns	0.0023	0.05	ns	0.05	3	ns	ns	ns	ns	0.003	ns	ns	ns
1285.60	1286.30	2-3% VN qc. 3% Frc c.	0.70	B56581	38	ns	0.0038	54	ns	0.0054	0.05	ns	0.05	9	ns	ns	ns	ns	0.009	ns	ns	ns
1286.30	1286.80	10% VN q±c.	0.50	B56582	28	ns	0.0028	18	ns	0.0018	0.05	ns	0.05	3	ns	ns	ns	ns	0.003	ns	ns	ns
1286.80	1287.40	2% Frc c.	0.60	B56583	145	ns	0.0145	40	ns	0.0040	0.30	ns	0.30	8	ns	ns	ns	ns	0.008	ns	ns	ns
1287.40	1288.10	Zone Chl. 3% VL c.	0.70	B56584	80	ns	0.0080	61	ns	0.0061	0.05	ns	0.05	10	ns	ns	ns	ns	0.010	ns	ns	ns
1288.10	1288.90	2% VN q±c. 3% VL c. <1% Cp diss.	0.80	B56585	58	ns	0.0058	51	ns	0.0051	0.05	ns	0.05	8	ns	ns	ns	ns	0.008	ns	ns	ns
1288.90	1289.70	80-85% VN qc. <1% Cp diss.	0.80	B56586	26	ns	0.0026	56	ns	0.0056	0.05	ns	0.05	5	ns	ns	ns	ns	0.005	ns	ns	ns
1289.70	1290.60	10-15% VN q±c. Tr. Py.	0.90	B56587	9	ns	0.0009	45	ns	0.0045	0.05	ns	0.05	3	ns	ns	ns	ns	0.003	ns	ns	ns
1290.60	1291.10	60% VN qc.	0.50	B56588	110	ns	0.0110	58	ns	0.0058	0.05	ns	0.05	10	ns	ns	ns	ns	0.010	ns	ns	ns
1291.10	1291.40	35-40% VN qc.	0.30	B56589	39	ns	0.0039	35	ns	0.0035	0.05	ns	0.05	3	ns	ns	ns	ns	0.003	ns	ns	ns
1291.40	1292.00	Zone Sil, IChl. 1% Frc c.	0.60	B56590	45	ns	0.0045	64	ns	0.0064	0.05	ns	0.05	3	ns	ns	ns	ns	0.003	ns	ns	ns
1292.00	1292.30	35-40% VN q±c. Tr. Py.	0.30	B56591	47	ns	0.0047	50	ns	0.0050	0.20	ns	0.20	7	ns	ns	ns	ns	0.007	ns	ns	ns
1292.30	1293.10	3% VN qc. 1% VL c.	0.80	B56592	69	ns	0.0069	48	ns	0.0048	0.05	ns	0.05	8	ns	ns	ns	ns	0.008	ns	ns	ns
1296.70	1297.00	1-2% VL qc. 1% VL c.	0.30	B56593	81	ns	0.0081	34	ns	0.0034	0.20	ns	0.20	3	ns	ns	ns	ns	0.003	ns	ns	ns
1297.00	1297.30	Zone IChl.	0.30	B56594	52	ns	0.0052	78	ns	0.0078	0.05	ns	0.05	3	ns	ns	ns	ns	0.003	ns	ns	ns
1297.30	1297.60	20-25% VN q±c.	0.30	B56595	6	ns	0.0006	45	ns	0.0045	0.50	ns	0.50	3	ns	ns	ns	ns	0.003	ns	ns	ns
1302.70	1303.60	Voir géologie.	0.90	B56596	6	ns	0.0006	45	ns	0.0045	0.05	ns	0.05	5	ns	ns	ns	ns	0.005	ns	ns	ns
1305.50	1306.10	40% Zones Sil. 60% Zones Ser. 3% VL qc.	0.60	B56597	117	ns	0.0117	56	ns	0.0056	0.20	ns	0.20	6	ns	ns	ns	ns	0.006	ns	ns	ns
1306.10	1307.60	5% VN qc. 1% VL c±q.	1.50	B56598	81	ns	0.0081	63	ns	0.0063	0.05	ns	0.05	3	ns	ns	ns	ns	0.003	ns	ns	ns

From (m)	To (m)	Description	Length (m)	Sample No.	Cu_ppm (ppm)	Cu_pct (%)	Cu_avg (%)	Zn_ppm (ppm)	Zn_pct (%)	Zn_avg (%)	Ag_gt (g/t)	Ag_gt1 (g/t)	Ag_avg (g/t)	Au30 (ppb)	Au_gt (g/t)	Au_gt1 (g/t)	Au_gt2 (g/t)	Au_ms (g/t)	Au_avg (g/t)	As (ppm)	Pb (ppm)	Sb (ppm)
1307.60	1308.80	1% VL c±q.	1.20	B56599	181	ns	0.0181	117	ns	0.0117	0.20	ns	0.20	5	ns	ns	ns	ns	0.005	ns	ns	ns
1308.80	1310.20	<1% VL c. Tr. Py diss.	1.40	B56600	123	ns	0.0123	128	ns	0.0128	0.05	ns	0.05	3	ns	ns	ns	ns	0.003	ns	ns	ns
1310.20	1310.90	70% VN q±c.	0.70	B56601	35	ns	0.0035	85	ns	0.0085	0.05	ns	0.05	3	ns	ns	ns	ns	0.003	ns	ns	ns
1310.90	1311.50	2-3% VL qc.	0.60	B56602	391	ns	0.0391	124	ns	0.0124	0.30	ns	0.30	6	ns	ns	ns	ns	0.006	ns	ns	ns
1311.50	1313.00	2% Py. 1% VL cq.	1.50	B56603	109	ns	0.0109	96	ns	0.0096	0.20	ns	0.20	6	ns	ns	ns	ns	0.006	ns	ns	ns
1313.00	1314.40	1% hm. 2-3% Py.	1.40	B56604	95	ns	0.0095	69	ns	0.0069	0.30	ns	0.30	6	ns	ns	ns	ns	0.006	ns	ns	ns
1314.40	1315.80	1-2% Py.	1.40	B56605	132	ns	0.0132	69	ns	0.0069	0.05	ns	0.05	6	ns	ns	ns	ns	0.006	ns	ns	ns
1315.80	1316.30	2-3% Py.	0.50	B56606	116	ns	0.0116	44	ns	0.0044	0.30	ns	0.30	5	ns	ns	ns	ns	0.005	ns	ns	ns
1316.30	1316.90	2% Py.	0.60	B56607	93	ns	0.0093	85	ns	0.0085	0.20	ns	0.20	3	ns	ns	ns	ns	0.003	ns	ns	ns
1316.90	1317.80	8-10% Py.	0.90	B56608	297	ns	0.0297	41	ns	0.0041	1.00	ns	1.00	21	ns	ns	ns	ns	0.021	ns	ns	ns
1317.80	1318.20	Zone Car. <1% Py.	0.40	B56609	68	ns	0.0068	37	ns	0.0037	0.05	ns	0.05	3	ns	ns	ns	ns	0.003	ns	ns	ns
1318.20	1318.90	Tr. Py.	0.70	B56610	38	ns	0.0038	68	ns	0.0068	0.20	ns	0.20	5	ns	ns	ns	ns	0.005	ns	ns	ns
1318.90	1320.40	Zone Ser. Tr. Py.	1.50	B56611	163	ns	0.0163	57	ns	0.0057	0.70	ns	0.70	8	ns	ns	ns	ns	0.008	ns	ns	ns
1320.40	1321.10	Zone Ser. <1% Py.	0.70	B56612	104	ns	0.0104	50	ns	0.0050	0.05	ns	0.05	6	ns	ns	ns	ns	0.006	ns	ns	ns
1321.10	1321.40	Zone Chl. Flt. 5-7% VN cq.	0.30	B56613	40	ns	0.0040	45	ns	0.0045	0.05	ns	0.05	3	ns	ns	ns	ns	0.003	ns	ns	ns
1321.40	1322.10	2-3% VL c±q.	0.70	B56614	13	ns	0.0013	49	ns	0.0049	0.05	ns	0.05	5	ns	ns	ns	ns	0.005	ns	ns	ns
1322.10	1322.80	Zone Hem. 5-7% VL c±q.	0.70	B56615	118	ns	0.0118	39	ns	0.0039	0.05	ns	0.05	7	ns	ns	ns	ns	0.007	ns	ns	ns
1329.10	1329.40	Éponte supérieure.	0.30	B56616	34	ns	0.0034	64	ns	0.0064	0.05	ns	0.05	6	ns	ns	ns	ns	0.006	ns	ns	ns
1329.40	1330.20	Contact. Zone HemSil.	0.80	B56617	23	ns	0.0023	45	ns	0.0045	0.05	ns	0.05	5	ns	ns	ns	ns	0.005	ns	ns	ns
1330.20	1330.50	Contact. 20-25% VN cq.	0.30	B56618	164	ns	0.0164	63	ns	0.0063	0.20	ns	0.20	8	ns	ns	ns	ns	0.008	ns	ns	ns
1334.30	1334.70	3% Py.	0.40	B56619	676	ns	0.0676	62	ns	0.0062	0.40	ns	0.40	38	ns	ns	ns	ns	0.038	ns	ns	ns
1343.30	1343.60	Contact supérieur. 3% VN.	0.30	B56620	35	ns	0.0035	58	ns	0.0058	0.05	ns	0.05	6	ns	ns	ns	ns	0.006	ns	ns	ns

From (m)	To (m)	Description	Length (m)	Sample No.	Cu_ppm (ppm)	Cu_pct (%)	Cu_avg (%)	Zn_ppm (ppm)	Zn_pct (%)	Zn_avg (%)	Ag_gt (g/t)	Ag_gt1 (g/t)	Ag_avg (g/t)	Au30 (ppb)	Au_gt (g/t)	Au_gt1 (g/t)	Au_gt2 (g/t)	Au_ms (g/t)	Au_avg (g/t)	As (ppm)	Pb (ppm)	Sb (ppm)
1343.60	1344.70	I2J.	1.10	B56621	100	ns	0.0100	48	ns	0.0048	0.05	ns	0.05	6	ns	ns	ns	ns	0.006	ns	ns	ns
1344.70	1345.30	Contact.	0.60	B56622	199	ns	0.0199	29	ns	0.0029	0.30	ns	0.30	6	ns	ns	ns	ns	0.006	ns	ns	ns
1345.30	1346.20	Contact. 10% de Zone Sil.	0.90	B56623	252	ns	0.0252	49	ns	0.0049	0.20	ns	0.20	6	ns	ns	ns	ns	0.006	ns	ns	ns
1346.20	1347.20	Contact.	1.00	B56624	224	ns	0.0224	65	ns	0.0065	0.05	ns	0.05	6	ns	ns	ns	ns	0.006	ns	ns	ns
1347.20	1347.60	3% Amy. 1 Frc chlCp. Tr. Cp diss.	0.40	B56625	346	ns	0.0346	47	ns	0.0047	0.05	ns	0.05	7	ns	ns	ns	ns	0.007	ns	ns	ns
1358.90	1360.10	Voir géologie.	1.20	B56626	12	ns	0.0012	43	ns	0.0043	0.05	ns	0.05	24	ns	ns	ns	ns	0.024	ns	ns	ns
1397.80	1398.10	Voir géologie.	0.30	B56627	319	ns	0.0319	55	ns	0.0055	0.40	ns	0.40	22	ns	ns	ns	ns	0.022	ns	ns	ns
1399.80	1400.20	Contact. 2% VL c±q.	0.40	B56628	227	ns	0.0227	50	ns	0.0050	0.20	ns	0.20	13	ns	ns	ns	ns	0.013	ns	ns	ns
1400.20	1400.50	Contact. Zone Sch. 3% VL c±q.	0.30	B56629	217	ns	0.0217	75	ns	0.0075	0.20	ns	0.20	15	ns	ns	ns	ns	0.015	ns	ns	ns
1400.50	1401.30	Zone Sch. 3-5% VL c±q.	0.80	B56630	141	ns	0.0141	67	ns	0.0067	0.30	ns	0.30	9	ns	ns	ns	ns	0.009	ns	ns	ns
1403.60	1404.20	Voir géologie.	0.60	B56631	110	ns	0.0110	41	ns	0.0041	0.05	ns	0.05	11	ns	ns	ns	ns	0.011	ns	ns	ns
1404.20	1404.60	Voir géologie.	0.40	B56632	45	ns	0.0045	55	ns	0.0055	0.05	ns	0.05	7	ns	ns	ns	ns	0.007	ns	ns	ns
1415.70	1416.00	Contact. 1% Frc c.	0.30	B56633	78	ns	0.0078	144	ns	0.0144	0.05	ns	0.05	6	ns	ns	ns	ns	0.006	ns	ns	ns
1416.00	1416.90	Contact. 1-2% VL c.	0.90	B56634	25	ns	0.0025	193	ns	0.0193	0.05	ns	0.05	5	ns	ns	ns	ns	0.005	ns	ns	ns
1416.90	1417.20	Contact. 5-7% VL c±q.	0.30	B56635	202	ns	0.0202	92	ns	0.0092	0.50	ns	0.50	13	ns	ns	ns	ns	0.013	ns	ns	ns
1423.40	1423.70	Contact. 1% Frc c.	0.30	B56636	84	ns	0.0084	50	ns	0.0050	0.05	ns	0.05	6	ns	ns	ns	ns	0.006	ns	ns	ns
1423.70	1424.00	Contact. 2% VL c.	0.30	B56637	29	ns	0.0029	41	ns	0.0041	0.05	ns	0.05	3	ns	ns	ns	ns	0.003	ns	ns	ns
1426.40	1426.70	Contact. 3% VL c.	0.30	B56638	41	ns	0.0041	61	ns	0.0061	0.05	ns	0.05	3	ns	ns	ns	ns	0.003	ns	ns	ns
1426.70	1427.00	Contact. 1% Frc c.	0.30	B56639	38	ns	0.0038	56	ns	0.0056	0.05	ns	0.05	6	ns	ns	ns	ns	0.006	ns	ns	ns
1432.70	1433.00	Contact.	0.30	B56640	13	ns	0.0013	54	ns	0.0054	0.05	ns	0.05	3	ns	ns	ns	ns	0.003	ns	ns	ns
1433.00	1433.30	Contact. 3-5% VL c±q.	0.30	B56641	52	ns	0.0052	48	ns	0.0048	0.05	ns	0.05	5	ns	ns	ns	ns	0.005	ns	ns	ns
1437.10	1437.40	Contact. <1% Frc c.	0.30	B56642	106	ns	0.0106	74	ns	0.0074	0.05	ns	0.05	12	ns	ns	ns	ns	0.012	ns	ns	ns

From (m)	To (m)	Description	Length (m)	Sample No.	Cu_ppm (ppm)	Cu_pct (%)	Cu_avg (%)	Zn_ppm (ppm)	Zn_pct (%)	Zn_avg (%)	Ag_gt (g/t)	Ag_gt1 (g/t)	Ag_avg (g/t)	Au30 (ppb)	Au_gt (g/t)	Au_gt1 (g/t)	Au_gt2 (g/t)	Au_ms (g/t)	Au_avg (g/t)	As (ppm)	Pb (ppm)	Sb (ppm)
1437.40	1437.70	Contact. <1% Frc c.	0.30	B56643	144	ns	0.0144	52	ns	0.0052	0.20	ns	0.20	15	ns	ns	ns	ns	0.015	ns	ns	ns

From (m)	To (m)	Description	Length (m)	Sample No.	SiO2 (%)	TiO2 (%)	Al2O3 (%)	Fe2O3 (%)	MnO (%)	MgO (%)	CaO (%)	Na2O (%)	K2O (%)	P2O5 (%)	Cr2O3 (%)	LOI (%)	Total (%)
440.30	440.50	I1D, Por-q, lChl	0.20	B56012	58.00	1.04	16.43	7.59	0.07	4.63	2.83	3.89	0.64	0.30	0.02	4.27	99.72
482.50	482.70	I1D, lHem, lEpi	0.20	B56013	58.14	0.99	15.91	6.49	0.09	3.61	5.17	4.91	0.19	0.08	0.01	4.30	99.92
487.00	487.20	I3A, Mag, Chl, Car	0.20	B56014	45.51	1.13	12.27	9.82	0.16	6.23	11.97	1.66	0.03	0.67	0.02	9.82	99.30
536.80	537.00	I1D, Por-q, BKChl	0.20	B56015	65.15	0.99	14.91	7.35	0.05	2.34	2.79	3.37	0.44	0.22	0.02	2.43	100.09
557.00	557.20	I3/V3, Mag, 3%Mt, lChl	0.20	B56016	51.96	0.71	16.08	14.68	0.10	5.68	3.06	1.80	0.43	0.23	0.07	5.25	100.08
563.80	564.00	I3/V3, Sil, Chl, Pbl-q?	0.20	B56017	54.67	0.80	18.25	11.98	0.20	3.90	3.14	2.04	0.34	0.24	0.03	4.58	100.20
593.80	594.00	I2-1, Mag, 1-2%Pbl-ca, 2%Mt	0.20	B56018	67.23	0.74	14.36	7.24	0.07	1.68	1.11	4.24	0.93	0.17	0.02	2.08	99.90
622.60	622.80	V3/I3, Bre, Chl, Car	0.20	B56019	55.54	0.91	16.50	6.67	0.17	5.87	3.80	5.00	0.07	0.22	0.02	5.21	99.99
663.30	663.50	V3/I3, Bre, Chl, Ser, Car, lBKChl	0.20	B56020	50.00	0.85	16.34	7.88	0.19	5.17	9.20	2.90	0.17	0.22	0.02	7.21	100.16
680.60	680.80	I2-1, Mag, 1%Mt, 1%Py, Frc c	0.20	B56021	68.46	0.81	13.15	5.16	0.09	1.97	2.45	4.55	0.39	0.13	0.02	2.54	99.73
729.50	729.70	V3, Chl, Bre, 10% Frg c	0.20	B56022	54.54	0.78	17.94	7.09	0.13	4.49	5.53	4.71	0.26	0.17	0.03	4.40	100.09
765.50	765.70	I2-1, Pbl-ca, Amy. Tr. Mt	0.20	B56023	57.04	1.24	14.87	10.40	0.14	4.67	4.39	2.47	0.19	0.32	0.01	3.94	99.70
784.90	785.10	V3-2, Bre, sCar	0.20	B56024	48.01	0.64	14.07	6.93	0.25	5.49	11.30	2.34	0.19	0.16	0.05	10.57	100.02
828.50	828.70	I1D, Pbl-q, Chl, 1% Mt	0.20	B56025	69.63	0.76	13.14	6.01	0.09	2.53	1.90	2.49	0.81	0.16	0.01	2.06	99.60
842.80	843.00	T2/I2, Glo-fp. fpEpi	0.20	B56026	51.34	0.79	15.87	7.79	0.20	4.48	10.41	2.27	0.23	0.22	0.02	6.51	100.16
864.50	864.70	T2/I2, Por-fp, Sil, BKChl? 10% fpEpi	0.20	B56027	54.61	0.89	15.62	8.15	0.13	6.56	5.30	2.86	0.03	0.24	0.05	5.25	99.70
872.50	872.70	T2/I2, Glo-fp, Pbl-ca, Ser	0.20	B56028	49.93	0.85	17.07	6.09	0.15	7.14	5.34	4.57	0.40	0.25	0.06	8.02	99.90
885.70	885.90	T2/I2, Por-fp. fpEpiCar, 1% VL c	0.20	B56029	60.33	1.15	14.59	7.15	0.13	3.20	4.30	4.42	0.06	0.24	0.01	3.61	99.21
912.50	912.70	T2/I2, Por-fp. 35% pseudo-frg SerHem	0.20	B56030	54.24	0.89	15.53	7.05	0.17	5.82	5.47	3.13	0.46	0.32	0.04	6.69	99.85
923.10	923.30	V3-2, Bre, Chl. Tr. Py	0.20	B56031	57.01	0.92	15.87	10.80	0.15	5.62	1.45	0.23	2.12	0.29	0.03	5.10	99.65
973.80	974.00	T2/I2, Glo-fp(5-7%), Ser	0.20	B56032	52.98	0.96	15.16	6.32	0.24	4.86	6.82	2.27	1.04	0.30	0.02	8.89	99.90
990.40	990.60	I2J?, Mag. Tr. Mt	0.20	B56033	63.37	1.06	12.55	7.44	0.19	3.30	4.17	1.64	0.82	0.24	0.02	5.40	100.23

From (m)	To (m)	Description	Length (m)	Sample No.	SiO2 (%)	TiO2 (%)	Al2O3 (%)	Fe2O3 (%)	MnO (%)	MgO (%)	CaO (%)	Na2O (%)	K2O (%)	P2O5 (%)	Cr2O3 (%)	LOI (%)	Total (%)
1019.40	1019.60	T2?,ICh,I,Ser	0.20	B56034	52.20	0.92	15.36	6.22	0.16	4.18	7.12	1.66	1.59	0.27	0.02	10.23	100.00
1078.90	1079.10	I2J, Tr. Py	0.20	B56035	61.20	1.23	16.09	8.08	0.09	2.55	2.50	1.05	1.75	0.27	0.02	4.23	99.10
1089.30	1089.50	T2? 1-2% Py	0.20	B56036	57.92	1.06	13.95	6.83	0.18	3.41	5.21	1.35	1.12	0.27	0.01	7.83	99.17
1101.30	1101.50	T2,I,Car	0.20	B56037	56.33	1.05	13.49	6.57	0.21	3.55	6.52	1.61	0.80	0.27	0.01	9.27	99.72
1143.30	1143.50	T2 Mas?,I,Ser	0.20	B56038	52.16	0.78	13.92	6.05	0.16	4.08	7.86	1.55	1.26	0.16	0.02	11.36	99.42
1155.30	1155.50	T2,I,Ser,I,Chl. Tr. Py	0.20	B56039	49.43	0.70	15.33	6.46	0.14	4.00	8.79	1.99	1.16	0.16	0.02	11.65	99.87
1209.30	1209.50	I2J,ISil	0.20	B56040	60.00	1.13	13.85	7.15	0.20	3.83	3.96	1.62	1.11	0.26	0.01	6.68	99.83
1245.50	1245.70	V2?,I,Ch,I,Ser	0.20	B56041	65.79	0.83	14.09	5.00	0.07	2.20	3.24	0.76	1.65	0.19	0.01	5.85	99.72
1251.50	1251.70	I2-3,Sch,Ser,chl. <1% Py	0.20	B56042	43.17	0.78	10.69	8.12	0.17	7.80	10.05	0.43	1.33	0.37	0.07	16.84	99.87
1269.50	1269.70	I2J,Mag,I,Epi?. Tr. Cp	0.20	B56043	68.48	0.74	12.96	5.25	0.07	1.77	1.24	4.42	1.58	0.16	0.02	2.69	99.42
1325.20	1325.40	I2J,Mag,I,Ser	0.20	B56044	61.22	1.08	12.77	6.76	0.07	2.37	3.73	1.97	2.61	0.28	0.01	6.71	99.63
1336.50	1336.70	V2,Bre,Car. <1% Py. Tr. Cp	0.20	B56045	66.82	0.74	10.18	6.07	0.09	2.31	2.47	2.82	1.48	0.21	0.02	6.01	99.27
1349.30	1349.50	I2J,Mag. 1% Amy. Tr. Cp	0.20	B56046	60.32	1.29	12.99	6.62	0.10	2.39	3.88	1.99	3.01	0.35	0.01	6.79	99.78
1368.30	1368.50	I2J,I,Amy	0.20	B56047	62.31	0.87	12.21	5.25	0.10	2.12	4.27	2.67	2.57	0.23	0.01	7.03	99.68
1374.30	1374.50	V2,Bre/T2,Ser,Car	0.20	B56048	62.65	0.87	13.39	5.29	0.13	1.99	3.30	1.94	3.14	0.22	0.02	6.88	99.88
1398.30	1398.50	I2J,Mag,2%Mt	0.20	B56049	64.32	1.28	13.31	5.35	0.08	1.66	2.89	1.15	3.59	0.35	0.01	5.35	99.40
1405.70	1405.90	V2/T2,Mag,1-2%Mt	0.20	B56050	64.51	1.18	15.07	4.89	0.05	1.23	2.10	3.31	3.11	0.31	0.01	3.78	99.64
1425.90	1426.10	I2J,Mag,3-4%Mt,Tr. Cp	0.20	B56051	63.18	1.16	13.24	6.28	0.04	1.71	2.83	1.71	3.70	0.32	0.01	5.06	99.33
1439.80	1440.00	V2/T2,I,Ser,I,Mag	0.20	B56052	63.52	1.21	14.56	6.10	0.07	1.36	2.40	2.65	3.18	0.31	0.01	3.31	98.75
1518.20	1518.50	Ti-rich flow.	0.30	B56053	63.90	1.25	14.29	5.26	0.08	0.85	3.13	5.56	1.11	0.32	0.02	3.28	99.09

Sample No.	From (m)	To (m)	Length (m)	Ba (ppm)	Cr (ppm)	Sr (ppm)	Rb (ppm)	Zr (ppm)	Y (ppm)	Nb (ppm)	As (ppm)	Cu (ppm)	Zn (ppm)	Ag (ppm)	Au30 (ppb)	Sb (ppm)	Pb (ppm)	TiO2_Zr	Al2O3_TiO2	Zr_Y	IsH	CaO_MgO	Na2O_K2O	Aluminum
B56012	440.30	440.50	0.20	252	ns	124	19	111	21	4	2.3	3	37	0.1	3	0.4	3	94	16	5.3	44	0.61	6.08	2.23
B56013	482.50	482.70	0.20	169	ns	356	7	125	21	4	6.2	31	35	0.1	3	0.4	4	79	16	6.0	27	1.43	25.84	1.55
B56014	487.00	487.20	0.20	120	ns	704	1	131	29	6	8.7	17	65	0.1	3	0.7	7	86	11	4.5	31	1.92	55.33	0.90
B56015	536.80	537.00	0.20	225	ns	103	15	183	33	5	2.4	4	43	0.2	3	0.1	5	54	15	5.5	31	1.19	7.66	2.26
B56016	557.00	557.20	0.20	192	ns	79	15	115	19	5	2.3	3	75	0.1	3	0.1	6	62	23	6.1	56	0.54	4.19	3.04
B56017	563.80	564.00	0.20	176	ns	137	10	120	22	5	2.4	3	70	0.1	3	0.1	6	67	23	5.5	45	0.81	6.00	3.31
B56018	593.80	594.00	0.20	286	ns	79	25	220	24	6	5.5	3	35	0.1	3	0.1	4	34	19	9.2	33	0.66	4.56	2.29
B56019	622.60	622.80	0.20	107	ns	118	3	136	18	4	7.6	4	72	0.1	3	0.8	3	67	18	7.6	40	0.65	71.43	1.86
B56020	663.30	663.50	0.20	97	ns	145	5	132	27	4	4.1	3	49	0.1	3	0.6	5	64	19	4.9	31	1.78	17.06	1.33
B56021	680.60	680.80	0.20	146	ns	75	12	265	34	9	1.1	4	34	0.1	3	0.1	3	31	16	7.8	25	1.24	11.67	1.78
B56022	729.50	729.70	0.20	103	ns	144	8	118	22	4	4.5	2	49	0.1	3	0.7	4	66	23	5.4	32	1.23	18.12	1.71
B56023	765.50	765.70	0.20	170	ns	108	6	194	34	7	2.1	3	69	0.1	3	0.1	5	64	12	5.7	41	0.94	13.00	2.11
B56024	784.90	785.10	0.20	126	ns	136	6	101	22	3	2.1	2	94	0.1	3	0.1	6	63	22	4.6	29	2.06	12.32	1.02
B56025	828.50	828.70	0.20	245	ns	90	19	227	32	6	1.8	5	41	0.1	3	0.1	4	33	17	7.1	43	0.75	3.07	2.53
B56026	842.80	843.00	0.20	119	ns	177	7	132	29	4	2.2	4	65	0.1	3	0.4	6	60	20	4.6	27	2.32	9.87	1.23
B56027	864.50	864.70	0.20	119	ns	157	2	154	24	4	3.8	352	100	0.3	3	0.3	5	58	18	6.4	45	0.81	95.33	1.91
B56028	872.50	872.70	0.20	235	ns	125	11	160	23	4	1.8	3	95	0.1	3	0.4	4	53	20	7.0	43	0.75	11.43	1.66
B56029	885.70	885.90	0.20	147	ns	135	2	199	34	5	1.8	12	67	0.1	3	0.1	5	58	13	5.9	27	1.34	73.67	1.66
B56030	912.50	912.70	0.20	213	ns	103	12	174	22	7	2.0	10	92	0.1	3	0.1	5	51	17	7.9	42	0.94	6.80	1.71
B56031	923.10	923.30	0.20	593	ns	48	46	173	25	6	5.4	107	107	0.2	3	0.1	1	53	17	6.9	82	0.26	0.11	4.18
B56032	973.80	974.00	0.20	351	ns	110	28	202	28	6	1.9	18	205	0.2	3	0.1	5	48	16	7.2	39	1.40	2.18	1.50
B56033	990.40	990.60	0.20	316	ns	66	20	193	28	7	3.1	8	128	0.1	5	0.1	5	55	12	6.9	41	1.26	2.00	1.89
B56034	1019.40	1019.60	0.20	589	ns	135	37	180	25	6	2.8	13	87	0.1	3	0.4	4	51	17	7.2	40	1.70	1.04	1.48
B56035	1078.90	1079.10	0.20	492	ns	81	43	221	27	8	7.0	112	122	0.2	11	0.3	3	56	13	8.2	55	0.98	0.60	3.04
B56036	1089.30	1089.50	0.20	432	ns	75	26	205	28	5	3.1	16	109	0.2	3	0.1	4	52	13	7.3	41	1.53	1.21	1.82
B56037	1101.30	1101.50	0.20	298	ns	100	19	203	28	8	3.4	22	112	0.3	3	0.6	4	52	13	7.3	35	1.84	2.01	1.51
B56038	1143.30	1143.50	0.20	423	ns	91	30	125	19	3	2.6	159	109	0.2	7	0.1	5	62	18	6.6	36	1.93	1.23	1.30
B56039	1155.30	1155.50	0.20	374	ns	130	28	111	18	5	2.9	68	112	0.3	3	0.1	9	63	22	6.2	32	2.20	1.72	1.28
B56040	1209.30	1209.50	0.20	347	ns	76	24	182	26	5	1.3	4	131	0.1	3	0.1	3	62	12	7.0	47	1.03	1.46	2.07
B56041	1245.50	1245.70	0.20	487	ns	185	37	276	35	9	1.9	12	73	0.1	3	0.1	4	30	17	7.9	49	1.47	0.46	2.49
B56042	1251.50	1251.70	0.20	409	ns	287	31	119	18	5	1.2	6	150	0.1	6	0.5	6	66	14	6.6	47	1.29	0.32	0.91
B56043	1269.50	1269.70	0.20	342	ns	115	41	271	35	9	2.4	361	58	0.2	35	0.1	3	27	18	7.7	37	0.70	2.80	1.79
B56044	1325.20	1325.40	0.20	488	ns	68	56	201	27	6	2.1	57	50	0.1	12	0.1	4	54	12	7.4	47	1.57	0.75	1.54
B56045	1336.50	1336.70	0.20	425	ns	76	35	186	24	6	10.0	226	126	0.3	17	0.1	10	40	14	7.8	42	1.07	1.91	1.50
B56046	1349.30	1349.50	0.20	440	ns	114	63	247	34	8	0.5	155	48	0.1	12	0.3	8	52	10	7.3	48	1.62	0.66	1.46
B56047	1368.30	1368.50	0.20	439	ns	141	55	230	31	7	1.4	32	43	0.1	6	0.1	5	38	14	7.4	40	2.01	1.04	1.28
B56048	1374.30	1374.50	0.20	591	ns	78	65	234	31	9	1.4	103	76	0.1	5	0.1	5	37	15	7.5	49	1.66	0.62	1.60
B56049	1398.30	1398.50	0.20	589	ns	85	80	257	27	7	1.7	524	51	0.3	27	0.1	4	50	10	9.5	57	1.74	0.32	1.74
B56050	1405.70	1405.90	0.20	748	ns	108	77	223	28	8	4.0	41	43	0.1	5	0.1	4	53	13	8.0	45	1.71	1.06	1.77
B56051	1425.90	1426.10	0.20	705	ns	179	105	245	29	7	0.5	16	53	0.1	3	0.1	4	47	11	8.4	54	1.65	0.46	1.61
B56052	1439.80	1440.00	0.20	504	ns	146	79	257	39	9	0.5	46	80	0.1	6	0.1	4	47	12	6.6	47	1.76	0.83	1.77
B56053	1518.20	1518.50	0.30	374	ns	117	35	279	40	8	1.8	32	45	0.1	3	0.1	5	45	11	7.0	18	3.68	5.01	1.46

ANNEXE IV

Rapports d'analyse



CHIMITEC
BONDAR CLEGG



Certificat D'Analyse
Assay Lab Report

CLIENT : AJR RESSOURCES INC.

PROJET: 311

APPORT: C00-62981.0 (COMPLET)

DATE RECU: 21-AUG-00

DATE DE L'IMPRESSION: 22-AUG-00

PAGE 1 DE 1

NUMÉRO DE ÉCHANTILLON	ÉLÉMENT UNITÉS	Cu_ppm PPM	Zn_ppm PPM	Ag_gt G/T	Au30 PPB
B56146		77	40	0.2	46
B56147		12	49	0.2	25
B56148		5	40	<0.1	23
B56149		10	82	<0.1	10
B56150		13	53	<0.1	6
B56151		133	28	0.2	128
B56152		14	62	0.2	12
B56153		34	73	<0.1	28
B56154		17	112	<0.1	91
B56155		50	17	0.3	242
B56156		19	11	<0.1	105
B56157		5	17	<0.1	97
B56158		6	8	0.2	43
B56159		8	20	0.2	93
B56160		10	30	<0.1	8
B56161		5	25	0.2	43

311-29



CHIMITEC
BONDAR CLEGG



Certificat D'Analyse
Assay Lab Report

CLIENT : AUR RESSOURCES INC.
PPORT: C00-63021.0 (COMPLET)

DATE RECU: 23-AUG-00

PROJET: 311

DATE DE L'IMPRESSION: 24-AUG-00

PAGE 1 DE 1

NUMÉRO DE ÉCHANTILLON	ÉLÉMENT UNITÉS	Cu_ppm PPM	Zn_ppm PPM	Ag_gt G/T	Au30 PPB	NUMÉRO DE L'ÉCHANTILLON	ÉLÉMENT UNITÉS	Cu_ppm PPM	Zn_ppm PPM	Ag_gt G/T	Au30 PPB
B56101		21	80	0.2	<5	B56141		2	40	0.2	<5
B56102		29	72	<0.1	<5	B56142		5	38	<0.1	11
B56103		3	63	<0.1	<5	B56143		37	63	0.3	24
B56104		4	64	<0.1	<5	B56144		115	41	<0.1	18
B56105		4	31	<0.1	<5	B56145		322	72	<0.1	59
B56106		5	34	<0.1	<5						
B56107		4	31	<0.1	<5						
B56108		8	38	<0.1	12						
B56109		4	46	0.2	<5						
B56110		3	42	<0.1	<5						
B56111		3	33	0.2	<5						
B56112		3	23	<0.1	<5						
B56113		3	33	<0.1	<5						
B56114		3	38	<0.1	<5						
B56115		9	34	<0.1	5						
B56116		3	27	<0.1	<5						
B56117		4	15	<0.1	<5						
B56118		3	53	<0.1	<5						
B56119		3	89	0.2	<5						
B56120		6	86	<0.1	<5						
B56121		5	90	<0.1	<5						
B56122		4	92	0.1	<5						
B56123		4	133	0.2	<5						
B56124		4	103	0.2	<5						
B56125		4	54	<0.1	<5						
B56126		2	34	<0.1	<5						
B56127		4	40	<0.1	<5						
B56128		5	42	0.3	<5						
B56129		4	49	<0.1	<5						
B56130		134	47	<0.1	<5						
B56131		33	54	<0.1	19						
B56132		25	42	<0.1	19						
B56133		10	40	<0.1	<5						
B56134		3	48	<0.1	<5						
B56135		6	43	<0.1	12						
B56136		62	39	<0.1	<5						
B56137		11	60	<0.1	<5						
B56138		6	37	<0.1	<5						
B56139		3	37	<0.1	<5						
B56140		4	50	<0.1	<5						

311-29

Chimitec - Bondar Clegg

1322-B rue Harricana, Val d'Or, Québec, J9P 3X6

Tél: (819) 825-0178, Fax: (819) 825-0256

W. Beje



CHIMITEC
BONDAR CLEGG



Certificat D'Analyse
Assay Lab Report

CLIENT : AUR RESSOURCES INC.

PROJET: 311

APPORT: C00-63022.0 (COMPLET)

DATE RECU: 23-AUG-00

DATE DE L'IMPRESSION: 26-AUG-00

PAGE 1 DE 1

NUMÉRO DE ÉCHANTILLON	ÉLÉMENT UNITÉS	Cu_ppm PPM	Zn_ppm PPM	Ag_gt G/T	Au30 PPB
B56162		8	19	0.2	19
B56163		14	25	<0.1	10
B56164		74	63	0.2	107
B56165		29	32	<0.1	28
B56166		11	29	<0.1	<5
B56167		7	23	<0.1	<5
B56168		6	28	<0.1	<5
B56169		7	24	<0.1	<5
B56170		5	31	<0.1	43
B56171		6	18	<0.1	7
B56172		7	21	<0.1	8
B56173		11	19	<0.1	18
B56174		5	15	0.3	<5
B56175		149	23	<0.1	66
B56176		11	22	<0.1	<5
B56177		6	32	<0.1	<5
B56178		4	20	<0.1	<5
B56179		5	13	<0.1	<5
B56180		7	23	<0.1	<5
B56181		9	11	<0.1	<5
B56182		8	19	0.2	<5
B56183		6	22	<0.1	<5
B56184		8	12	<0.1	<5
B56185		5	22	<0.1	<5
B56186		7	30	<0.1	<5
B56187		6	26	<0.1	<5
B56188		15	23	0.2	<5
B56189		13	14	0.4	<5
B56190		8	23	<0.1	<5
B56191		13	31	0.5	<5
B56192		5	50	<0.1	<5
B56193		36	23	<0.1	<5
B56194		15	30	<0.1	<5
B56195		7	8	0.2	<5
B56196		13	22	0.2	<5
B56197		5	26	0.2	<5
B56198		8	95	<0.1	<5
B56199		4	16	<0.1	<5
B56200		4	38	<0.1	<5

311-29

Chimitec - Bondar Clegg

1322-B rue Harricana, Val d'Or, Québec, J9P 3X6

Tél: (819) 825-0178, Fax: (819) 825-0256

M. Bey



CLIENT : AUR RESSOURCES INC.

PROJET: 311

RAPPORT: C00-63019.0 (COMPLET)

DATE RECU: 23-AUG-00

DATE DE L'IMPRESSION: 24-AUG-00

PAGE 1 DE 1

NUMÉRO DE L'ÉCHANTILLON	ÉLÉMENT UNITÉS	Cu_ppm PPM	Zn_ppm PPM	Ag_gt G/T	Au30 PPB	Au_gt1 G/T
B56201		33	205	0.2	5	
B56202		10216	2367	11.1	1001	0.89
B56203		18	193	0.2	10	
B56204		42	55	0.2	11	
B56205		1374	53	0.9	23	
B56206		7	51	0.2	<5	

311-29



CHIMITEC
BONDAR CLEGG



Certificat D'Analyse
Assay Lab Report

CLIENT : AUR RESSOURCES INC.

PROJET: 311

APPORT: COO-63052.0 (COMPLET)

DATE RECU: 24-AUG-00

DATE DE L'IMPRESSION: 30-AUG-00

PAGE 1 DE 1

NUMÉRO DE ÉCHANTILLON	ÉLÉMENT UNITÉS	Cu_ppm PPM	Zn_ppm PPM	Ag_gt G/T	Au30 PPB
--------------------------	-------------------	---------------	---------------	--------------	-------------

B56207		64	25	0.2	<5
B56208		36	173	0.4	<5
B56209		16	16	0.2	<5
B56210		5	11	0.3	<5
B56211		4	54	0.2	<5

311-29

B56212		43	86	<0.1	<5
B56213		3	70	0.2	<5
B56214		25	70	0.2	<5
B56215		3	113	0.3	<5
B56216		36	32	0.3	<5

B56217		43	58	0.2	<5
--------	--	----	----	-----	----



CHIMITEC
BONDAR CLEGG



Certificat D'Analyse
Assay Lab Report

CLIENT : AUR RESSOURCES INC.
APPORT: C00-63115.0 (COMPLET)

DATE RECU: 25-AUG-00

PROJET: 311

DATE DE L'IMPRESSION: 29-AUG-00

PAGE 1 DE 1

NUMÉRO DE ÉCHANTILLON	ÉLÉMENT UNITÉS	Cu_ppm PPM	Zn_ppm PPM	Ag_gt G/T	Au30 PPB
B56218		4	20	<0.1	<5
B56219		335	23	0.2	<5
B56220		5	22	<0.1	<5
B56221		4	42	<0.1	<5
B56222		128	97	<0.1	<5
B56223		30	86	<0.1	<5
B56224		5	37	0.2	8
B56225		3	32	<0.1	<5
B56226		2	40	<0.1	<5
B56227		542	106	<0.1	6
B56228		379	52	<0.1	<5
B56229		5	54	<0.1	<5
B56230		19	100	<0.1	<5
B56231		3	61	<0.1	<5
B56232		80	53	<0.1	<5
B56233		131	52	<0.1	6
B56234		100	42	0.2	<5
B56235		126	45	<0.1	7
B56236		1421	50	0.3	13
B56237		34	40	<0.1	<5
B56238		4	22	<0.1	<5
B56239		526	67	<0.1	<5
B56240		5	25	<0.1	<5
B56241		2	25	<0.1	<5

311-29



CHIMITEC
BONDAR CLEGG



Certificat D'Analyse
Assay Lab Report

CLIENT : AUR RESSOURCES INC.

PROJET: 311

REPORT: C00-63181.0 (COMPLET)

DATE RECU: 31-AUG-00

DATE DE L'IMPRESSION: 6-SEP-00

PAGE 1 DE 1

NUMÉRO DE ÉCHANTILLON	ÉLÉMENT UNITÉS	Cu_ppm PPM	Zn_ppm PPM	Ag_gt G/T	Au30 PPB
B56242		319	48	0.4	36
B56243		13	25	0.1	<5
B56244		5	29	0.1	<5
B56245		9	27	0.2	<5
B56246		26	30	0.1	<5
B56247		35	44	<0.1	<5
B56248		6	28	<0.1	<5
B56249		8	21	<0.1	<5
B56250		161	44	0.7	9
B56251		6	23	0.1	<5
B56252		4	22	<0.1	<5
B56253		13	18	<0.1	<5
B56254		5	23	0.1	<5
B56255		5	38	0.1	<5
B56256		6	49	<0.1	<5
B56257		32	57	0.1	<5
B56258		20	61	0.5	30
B56259		5	72	0.1	<5
B56260		3	41	<0.1	6
B56261		4	50	<0.1	<5
B56262		5	38	0.1	<5
B56263		7	70	<0.1	<5
B56264		75	42	0.2	66
B56265		17	81	<0.1	<5
B56266		37	55	0.1	<5
B56267		6	44	0.1	<5
B56268		683	56	0.8	58
B56269		9	46	<0.1	<5

311-29A

↑
↓

311-29B



CHIMITEC
BONDAR CLEGG



Certificat D'Analyse
Assay Lab Report

CLIENT : AUR RESSOURCES INC.
APPORT: C00-63189.0 (COMPLET)

DATE RECU: 31-AUG-00

PROJET: 311

DATE DE L'IMPRESSION: 6-SEP-00

PAGE 1 DE 1

NUMÉRO DE ÉCHANTILLON	ÉLÉMENT UNITÉS	Cu_ppm PPM	Zn_ppm PPM	Ag_gt G/T	Au30 PPB	
B56270		8	53	<0.1	<5	311-29B
B56271		161	38	0.3	53	
B56272		9	38	0.2	<5	
B56273		6	42	<0.1	<5	311-29C
B56274		65	38	<0.1	11	
B56275		14	40	<0.1	<5	
B56276		65	58	<0.1	10	
B56277		19	68	<0.1	<5	
B56278		42	67	<0.1	6	
B56279		5	44	<0.1	7	
B56280		6	7	<0.1	<5	
B56281		5	115	<0.1	39	

Chimitec - Bondar Clegg

1322-B rue Harricana, Val d'Or, Québec, J9P 3X6

Tél: (819) 825-0178, Fax: (819) 825-0256



CHIMITEC
BONDAR CLEGG



Certificat D'Analyse Assay Lab Report

CLIENT : AUR RESSOURCES INC.

PROJET: 311

APPORT: C00-63237.0 (COMPLET)

DATE RECU: 05-SEP-00

DATE DE L'IMPRESSION: 8-SEP-00

PAGE 1 DE 1

NUMÉRO DE ÉCHANTILLON	ÉLÉMENT UNITÉS	Cu_ppm PPM	Zn_ppm PPM	Ag_gt G/T	Au30 PPB	NUMÉRO DE L'ÉCHANTILLON	ÉLÉMENT UNITÉS	Cu_ppm PPM	Zn_ppm PPM	Ag_gt G/T	Au30 PPB
B56283		3	130	0.2	<5	B56326		63	42	0.2	<5
B56284		10	31	<0.1	21	B56327		38	46	0.1	<5
B56285		251	29	0.2	164	B56328		2	47	<0.1	<5
B56286		5	34	<0.1	14	B56329		3	47	<0.1	<5
B56290		5	56	<0.1	<5	B56330		18	41	<0.1	<5
B56291		39	35	0.2	<5	B56331		7	36	<0.1	<5
B56292		17	41	0.2	<5						
B56293		3	75	<0.1	<5						
B56294		5	50	<0.1	<5						
B56295		10	115	0.2	<5						
B56296		461	64	0.2	40						
B56297		67	103	<0.1	<5						
B56298		9	35	<0.1	<5						
B56299		12	65	<0.1	<5						
B56300		19	28	<0.1	<5						
B56301		29	25	<0.1	<5						
B56302		2	45	0.2	<5						
B56303		38	56	<0.1	<5						
B56304		19	45	0.2	<5						
B56305		34	46	0.2	<5						
B56306		78	65	0.3	<5						
B56307		27	51	<0.1	<5						
B56308		53	61	0.4	<5						
B56309		12	75	<0.1	<5						
B56310		8	50	<0.1	<5						
B56311		5	32	<0.1	<5						
B56312		8	23	<0.1	<5						
B56313		59	28	0.3	<5						
B56314		11	25	<0.1	<5						
B56315		2	31	<0.1	<5						
B56316		17	55	<0.1	<5						
B56317		14	42	<0.1	<5						
B56318		2	35	<0.1	<5						
B56319		13	45	<0.1	<5						
B56320		34	57	<0.1	<5						
B56321		1	41	<0.1	<5						
B56322		42	42	<0.1	<5						
B56323		9	50	<0.1	<5						
B56324		69	44	0.1	<5						
B56325		79	29	0.3	<5						

*PN311
311-2ac*

Chimitec - Bondar Clegg

1322-B rue Harricana, Val d'Or, Québec, J9P 3X6

Tél: (819) 825-0178, Fax: (819) 825-0256



CHIMITEC
BONDAR CLEGG



Certificat D'Analyse Assay Lab Report

CLIENT : AUR RESSOURCES INC.
REPORT: C00-63225.0 (COMPLET)

PROJET: 311
DATE RECU: 05-SEP-00
DATE DE L'IMPRESSION: 6-SEP-00

PAGE 1 DE 1

NUMÉRO DE ÉCHANTILLON	ÉLÉMENT UNITÉS	Cu_ppm PPM	Zn_ppm PPM	Ag_gt G/T	Au30 PPB
B56282		33	38	<0.1	<5
B56287		1066	43	0.2	97
B56288		772	51	0.2	71
B56289		69	49	<0.1	7

*PN/311
311-29C*



CHIMITEC
BONDAR CLEGG



Certificat D'Analyse
Assay Lab Report

CLIENT : AJR RESSOURCES INC.

PROJET: 311

APPORT: C00-63295.0 (COMPLET)

DATE RECU: 07-SEP-00

DATE DE L'IMPRESSION: 11-SEP-00

PAGE 1 DE 1

NUMÉRO DE ÉCHANTILLON	ÉLÉMENT UNITÉS	Cu_ppm PPM	Zn_ppm PPM	Ag_gt G/T	Au30 PPB
B56335		16	84	<0.1	26
B56336		29	45	0.3	166
B56337		4	37	<0.1	<5
B56338		5	71	<0.1	<5
B56339		7	39	<0.1	<5
B56340		72	40	<0.1	59
B56341		13	67	<0.1	7
B56342		3	73	<0.1	<5
B56343		3	69	<0.1	<5
B56344		3	35	<0.1	<5
B56345		13	42	<0.1	<5
B56346		3	67	<0.1	<5
B56347		8	29	<0.1	<5
B56348		6	24	<0.1	<5
B56349		3	74	<0.1	<5
B56350		2	49	<0.1	<5
B56351		4	47	<0.1	<5
B56352		2	52	<0.1	<5
B56353		19	72	<0.1	<5
B56354		7	46	0.3	<5
B56355		16	75	<0.1	<5
B56356		429	94	0.3	18
B56357		672	87	0.3	29
B56358		365	73	0.2	17
B56359		29	85	<0.1	22
B56360		149	62	<0.1	6
B56361		3	50	0.3	<5

PN 311

311-2 AC

Chimitec - Bondar Clegg

1322-B rue Harricana, Val d'Or, Québec, J9P 3X6

Tél: (819) 825-0178, Fax: (819) 825-0256



CHIMITEC
BONDAR CLEGG



Certificat D'Analyse
Assay Lab Report

CLIENT : AUR RESSOURCES INC.
APPORT: C00-63293.0 (COMPLET)

PROJET: 316

DATE RECU: 07-SEP-00

DATE DE L'IMPRESSION: 11-SEP-00

PAGE 1 DE 1

NUMÉRO DE ÉCHANTILLON	ÉLÉMENT UNITÉS	Cu_ppm PPM	Zn_ppm PPM	Ag_gt G/T	Au30 PPB
856362		14	118	<0.1	<5
856363		5	116	<0.1	<5
856364		220	110	0.2	5
856365		194	107	0.2	5
856366		507	101	0.3	14
856367		39	76	<0.1	<5

311-29



CHIMITEC
BONDAR CLEGG



Certificat D'Analyse Assay Lab Report

CLIENT : AUR RESSOURCES INC.

PROJET: 311

APPORT: C00-63366.0 (COMPLET)

DATE RECU: 14-SEP-00

DATE DE L'IMPRESSION: 21-SEP-00

PAGE 1 DE 1

NUMÉRO DE ÉCHANTILLON	ÉLÉMENT UNITÉS	Cu_ppm PPM	Zn_ppm PPM	Ag_gt G/T	Au30 PPB	NUMÉRO DE L'ÉCHANTILLON	ÉLÉMENT UNITÉS	Cu_ppm PPM	Zn_ppm PPM	Ag_gt G/T	Au30 PPB
B56368		33	81	<0.1	<5	B56409		4	67	<0.1	<5
B56369		197	62	<0.1	<5	B56410		6	100	<0.1	<5
B56370		33	82	<0.1	<5	B56411		513	68	0.2	<5
B56371		5	93	<0.1	<5	B56412		71	124	<0.1	<5
B56372		6	65	<0.1	<5	B56413		97	102	0.2	<5
B56373		17	54	<0.1	<5	B56414		3	117	<0.1	<5
B56374		8	59	<0.1	<5	B56415		17	138	<0.1	<5
B56375		24	62	<0.1	<5	B56416		22	109	0.3	<5
B56376		10	83	<0.1	<5	B56417		901	160	0.8	9
B56377		5	75	<0.1	<5						
B56378		208	90	<0.1	<5						
B56379		24	34	<0.1	<5						
B56380		178	27	0.3	5						
B56381		22	74	<0.1	<5						
B56382		368	51	0.5	6						
B56383		18	205	<0.1	<5						
B56384		7	68	<0.1	<5						
B56385		3	184	<0.1	<5						
B56386		8	67	<0.1	<5						
B56387		5	79	<0.1	<5						
B56388		4	167	<0.1	<5						
B56389		61	91	<0.1	<5						
B56390		10	102	<0.1	<5						
B56391		6	102	<0.1	<5						
B56392		63	83	<0.1	<5						
B56393		29	37	<0.1	<5						
B56394/B56395		5	83	<0.1	<5						
B56396		4	78	<0.1	<5						
B56397		14	35	<0.1	<5						
B56398		14	45	<0.1	<5						
B56399		18	89	<0.1	<5						
B56400		3457	65	0.7	13						
B56401		185	105	0.2	<5						
B56402		7	110	<0.1	<5						
B56403		221	80	<0.1	<5						
B56404		142	69	0.2	<5						
B56405		5	90	<0.1	<5						
B56406		4	105	<0.1	<5						
B56407		282	63	<0.1	<5						
B56408		33	65	<0.1	<5						

311-29C

Chimitec - Bondar Clegg

1322-B rue Harricana, Val d'Or, Québec, J9P 3X6

Tél: (819) 825-0178, Fax: (819) 825-0256



CHIMITEC
BONDAR CLEGG



Certificat D'Analyse Assay Lab Report

CLIENT : AUR RESSOURCES INC.
REPORT: C00-63399.0 (COMPLET)

PROJET: 311

DATE RECU: 18-SEP-00

DATE DE L'IMPRESSION: 19-SEP-00

PAGE 1 DE 1

NUMÉRO DE L'ÉCHANTILLON	ÉLÉMENT UNITÉS	Cu_ppm PPM	Zn_ppm PPM	Ag_gt G/T	Au30 PPB	NUMÉRO DE L'ÉCHANTILLON	ÉLÉMENT UNITÉS	Cu_ppm PPM	Zn_ppm PPM	Ag_gt G/T	Au30 PPB
B56418		328	187	0.5	6	B56458		23	54	<0.1	<5
B56419		590	188	0.7	8	B56459		422	94	0.6	11
B56420		6	148	<0.1	<5	B56460		23	135	<0.1	<5
B56421		194	212	0.3	<5	B56461		2210	87	0.3	8
B56422		1446	275	1.6	25	B56462		61	113	<0.1	<5
B56423		78	166	0.4	<5	B56463		43	125	0.2	<5
B56424		6	117	0.2	18	B56464		42	100	0.3	<5
B56425		14	171	<0.1	<5	B56465		119	116	0.2	<5
B56426		402	122	0.4	5	B56466		57	113	0.3	10
B56427		200	173	0.2	8	B56467		6	139	<0.1	<5
B56428		99	151	0.3	<5	B56468		26	76	0.7	10
B56429		109	167	0.3	<5	B56469		13	133	0.3	<5
B56430		14	242	<0.1	<5	B56470		79	129	0.4	7
B56431		12	266	<0.1	<5						
B56432		71	278	0.2	25						
B56433		69	238	0.2	11						
B56434		62	193	0.2	<5						
B56435		216	146	0.3	6						
B56436		6	181	0.1	<5						
B56437		108	142	0.3	<5						
B56438		5	145	<0.1	<5						
B56439		106	131	0.2	<5						
B56440		104	124	0.2	<5						
B56441		55	108	<0.1	<5						
B56442		220	103	0.3	12						
B56443		112	74	0.3	7						
B56444		71	114	0.3	5						
B56445		26	94	<0.1	<5						
B56446		214	159	0.2	14						
B56447		190	160	<0.1	13						
B56448		211	119	<0.1	17						
B56449		321	138	0.3	18						
B56450		172	130	0.5	12						
B56451		73	111	0.4	13						
B56452		380	101	<0.1	18						
B56453		63	97	<0.1	7						
B56454		458	94	0.4	10						
B56455		364	89	0.5	12						
B56456		84	79	0.3	<5						
B56457		58	99	0.2	<5						

p11316
311-29c

Chimitec - Bondar Clegg

1322-B rue Harricana, Val d'Or, Québec, J9P 3X6

Tél: (819) 825-0178, Fax: (819) 825-0256



CHIMITEC
BONDAR CLEGG



Certificat D'Analyse
Assay Lab Report

CLIENT : AUR RESSOURCES INC.
PPORT: C00-63432.0 (COMPLET)

PROJET: 316
DATE RECU: 20-SEP-00 DATE DE L'IMPRESSION: 21-SEP-00

PAGE 1 DE 1

NUMÉRO DE ÉCHANTILLON	ÉLÉMENT UNITÉS	Cu_ppm PPM	Zn_ppm PPM	Ag_gt G/T	Au30 PPB	NUMÉRO DE L'ÉCHANTILLON	ÉLÉMENT UNITÉS	Cu_ppm PPM	Zn_ppm PPM	Ag_gt G/T	Au30 PPB
B56471		171	181	<0.1	5	B56511		21	143	<0.1	6
B56472		63	175	<0.1	<5	B56512		6	159	<0.1	<5
B56473		166	192	0.2	<5	B56513		389	38	0.4	6
B56474		43	113	<0.1	<5	B56514		30	136	<0.1	<5
B56475		83	232	<0.1	<5	B56515		66	93	<0.1	7
B56476		86	373	0.4	8	B56516		406	79	0.2	14
B56477		88	337	0.2	<5	B56517		134	93	<0.1	6
B56478		12	244	<0.1	<5	B56518		28	149	<0.1	<5
B56479		559	276	0.5	11	B56519		78	89	<0.1	<5
B56480		490	261	1.4	10	B56520		4	115	<0.1	<5
B56481		422	243	<0.1	11	B56521		18	142	<0.1	6
B56482		170	197	<0.1	6	B56522		45	170	<0.1	7
B56483		1858	89	<0.1	110	B56523		145	153	<0.1	9
B56484		150	176	<0.1	11	B56524		26	124	<0.1	<5
B56485		100	121	<0.1	6	B56525		32	78	<0.1	<5
B56486		114	194	<0.1	7	B56526		4	64	<0.1	<5
B56487		1428	166	<0.1	25	B56527		18	49	<0.1	<5
B56488		131	147	<0.1	6	B56528		89	83	<0.1	<5
B56489		23	151	<0.1	<5	B56529		40	74	<0.1	<5
B56490		491	161	0.2	<5						
B56491		9	128	<0.1	<5						
B56492		4	129	<0.1	<5						
B56493		2998	61	1.4	50						
B56494		13	115	<0.1	<5						
B56495		28	106	<0.1	<5						
B56496		56	128	0.2	<5						
B56497		5	128	<0.1	<5						
B56498		29	125	<0.1	<5						
B56499		44	157	<0.1	<5						
B56500		143	141	0.2	<5						
B56501		1231	234	2.0	11						
B56502		112	248	1.0	<5						
B56503		4605	274	6.3	38						
B56504		60	205	0.3	<5						
B56505		1323	238	2.3	11						
B56506		217	271	0.2	7						
B56507		35	225	<0.1	<5						
B56508		255	232	0.3	<5						
B56509		16	180	<0.1	<5						
B56510		12	67	<0.1	10						

Chimitec - Bondar Clegg

1322-B rue Harricana, Val d'Or, Québec, J9P 3X6

Tél: (819) 825-0178, Fax: (819) 825-0256

Handwritten signature



CHIMITEC
BONDAR CLEGG



Certificat D'Analyse Assay Lab Report

CLIENT : AUR RESSOURCES INC.

PROJET: 311

APPORT: C00-63474.0 (COMPLET)

DATE RECU: 22-SEP-00

DATE DE L'IMPRESSION: 27-SEP-00

PAGE 1 DE 1

NUMÉRO DE ÉCHANTILLON	ÉLÉMENT UNITÉS	Cu_ppm PPM	Zn_ppm PPM	Ag_gt G/T	Au30 PPB	NUMÉRO DE L'ÉCHANTILLON	ÉLÉMENT UNITÉS	Cu_ppm PPM	Zn_ppm PPM	Ag_gt G/T	Au30 PPB
B56530		27	59	<0.1	<5	B56570		88	49	<0.1	9
B56531		16	66	<0.1	<5	B56571		121	45	<0.1	<5
B56532		17	63	<0.1	<5	B56572		106	50	0.2	9
B56533		219	101	0.3	8	B56573		52	52	<0.1	<5
B56534		806	144	0.3	14	B56574		233	35	<0.1	6
B56535		28	163	<0.1	<5	B56575		18	44	<0.1	<5
B56536		17	115	<0.1	<5	B56576		74	53	<0.1	<5
B56537		72	142	<0.1	9	B56577		53	121	<0.1	<5
B56538		193	136	<0.1	7	B56578		139	75	<0.1	7
B56539		8	77	<0.1	<5	B56579		90	61	<0.1	5
B56540		8	138	<0.1	<5	B56580		72	23	<0.1	<5
B56541		11	52	<0.1	<5	B56581		38	54	<0.1	9
B56542		7	78	<0.1	<5	B56582		28	18	<0.1	<5
B56543		10	73	<0.1	<5	B56583		145	40	0.3	8
B56544		30	73	<0.1	<5	B56584		80	61	<0.1	10
B56545		14	58	<0.1	5	B56585		58	51	<0.1	8
B56546		10	79	<0.1	8	B56586		26	56	<0.1	5
B56547		13	70	<0.1	6	B56587		9	45	<0.1	<5
B56548		16	65	<0.1	<5	B56588		110	58	<0.1	10
B56549		9	99	<0.1	<5	B56589		39	35	<0.1	<5
B56550		17	74	<0.1	<5	B56590		45	64	<0.1	<5
B56551		33	39	<0.1	<5	B56591		47	50	0.2	7
B56552		51	52	<0.1	<5	B56592		69	48	<0.1	8
B56553		110	72	0.3	<5						
B56554		105	159	<0.1	<5						
B56555		20	77	<0.1	<5						
B56556		9	164	<0.1	<5						
B56557		29	149	<0.1	<5						
B56558		196	76	<0.1	<5						
B56559		191	65	<0.1	<5						
B56560		141	85	<0.1	<5						
B56561		31	151	<0.1	<5						
B56562		33	53	<0.1	<5						
B56563		86	39	<0.1	5						
B56564		18	39	<0.1	<5						
B56565		114	73	<0.1	<5						
B56566		16	29	<0.1	<5						
B56567		48	45	<0.1	<5						
B56568		6	69	<0.1	<5						
B56569		8	62	<0.1	<5						

311-290

Chimitec - Bondar Clegg

1322-B rue Harricana, Val d'Or, Québec, J9P 3X6

Tél: (819) 825-0178, Fax: (819) 825-0256



CHIMITEC
BONDAR CLEGG



Certificat D'Analyse Assay Lab Report

CLIENT : AUR RESSOURCES INC.

PROJET: 316

APPORT: C00-63517.0 (COMPLET)

DATE RECU: 27-SEP-00

DATE DE L'IMPRESSION: 27-SEP-00

PAGE 1 DE 1

NUMÉRO DE ÉCHANTILLON	ÉLÉMENT UNITÉS	Cu_ppm PPM	Zn_ppm PPM	Ag_gt G/T	Au30 PPB
B56593		81	34	0.2	<5
B56594		52	78	<0.1	<5
B56595		6	45	0.5	<5
B56596		6	45	<0.1	5
B56597		117	56	0.2	6
B56598		81	63	<0.1	<5
B56599		181	117	0.2	5
B56600		123	128	<0.1	<5
B56601		35	85	<0.1	<5
B56602		391	124	0.3	6
B56603		109	96	0.2	6
B56604		95	69	0.3	6
B56605		132	69	<0.1	6
B56606		116	44	0.3	5
B56607		93	85	0.2	<5
B56608		297	41	1.0	21
B56609		68	37	<0.1	<5
B56610		38	68	0.2	5
B56611		163	57	0.7	8
B56612		104	50	<0.1	6
B56613		40	45	<0.1	<5
B56614		13	49	<0.1	5
B56615		118	39	<0.1	7
B56616		34	64	<0.1	6
B56617		23	45	<0.1	5
B56618		164	63	0.2	8
B56619		676	62	0.4	38
B56620		35	58	<0.1	6
B56621		100	48	<0.1	6
B56622		199	29	0.3	6
B56623		252	49	0.2	6
B56624		224	65	<0.1	6
B56625		346	47	<0.1	7

311-29c



CHIMITEC
BONDAR CLEGG



Certificat D'Analyse
Assay Lab Report

CLIENT : AUR RESSOURCES INC.

PROJET: 316

APPORT: C00-63547.0 (COMPLET)

DATE RECU: 02-OCT-00

DATE DE L'IMPRESSION: 2-OCT-00

PAGE 1 DE 1

NUMÉRO DE ÉCHANTILLON	ÉLÉMENT UNITÉS	Cu_ppm PPM	Zn_ppm PPM	Ag_gt G/T	Au30 PPB
B56332		14	29	<0.1	11
B56333		131	40	0.3	93
B56334		19	32	<0.1	10
B56626		12	43	<0.1	24
B56627		319	55	0.4	22
B56628		227	50	0.2	13
B56629		217	75	0.2	15
B56630		141	67	0.3	9
B56631		110	41	<0.1	11
B56632		45	55	<0.1	7
B56633		78	144	<0.1	6
B56634		25	193	<0.1	5
B56635		202	92	0.5	13
B56636		84	50	<0.1	6
B56637		29	41	<0.1	<5
B56638		41	61	<0.1	<5
B56639		38	56	<0.1	6
B56640		13	54	<0.1	<5
B56641		52	48	<0.1	5
B56642		106	74	<0.1	12
B56643		144	52	0.2	15

311-29c

Projet #316

Chimitec - Bondar Clegg

1322-B rue Harricana, Val d'Or, Québec, J9P 3X6

Tél: (819) 825-0178, Fax: (819) 825-0256

CLIENT : ALR RESSOURCES INC.
RAPPORT: C00-63055.0 (COMPLET)

DATE RECU : 24-AUG-00

DATE DE L'IMPRESSION: 7-SEP-00

PROJET: 311

PAGE 1 DE 1

NUMÉRO DE L'ÉCHANTILLON	ÉLÉMENT UNITÉS	SiO2 PCT	TiO2 PCT	Al2O3 PCT	Fe2O3 PCT	MnO PCT	MgO PCT	CaO PCT	Na2O PCT	K2O PCT	P2O5 PCT	Cr2O3 PCT	LOI PCT	Total PCT	Ba PPM	Sr PPM	Rb PPM	Zr PPM	Y PPM	Nb PPM	As PPM	Cu PPM	Zn PPM	Ag PPM	Al2O3 PPB	Sb PPM	Pb PPM
B56001		51.45	0.66	15.06	7.74	.20	5.65	7.38	3.19	.24	0.20	0.05	7.82	99.65	120	110	8	113	23	4	2.3	2	74	<.1	<5	0.6	4
B56002		60.99	1.10	14.24	9.85	.11	3.66	1.54	2.97	.66	0.25	0.01	3.90	99.31	250	85	17	193	26	6	1.1	2	62	0.1	<5	0.4	4
B56003		52.70	0.81	15.99	6.34	.12	7.04	6.10	2.79	.11	0.25	0.04	7.27	99.57	120	223	5	141	23	5	1.6	2	53	0.1	9	<.2	4
B56004		69.47	0.66	13.25	5.61	.03	2.14	0.77	4.67	.48	0.15	0.02	2.28	99.55	180	40	13	240	32	6	<1.0	4	41	<.1	<5	<.2	3
B56005		68.07	0.60	13.73	2.70	.02	1.24	3.12	6.35	.38	0.14	0.02	3.41	99.80	160	112	12	157	29	6	4.1	2	19	<.1	<5	<.2	3
B56006		63.62	1.03	15.05	4.51	.03	2.56	2.76	5.59	.59	0.21	0.01	3.82	99.80	230	93	20	126	23	4	2.5	5	27	0.2	<5	0.5	4
B56007		54.48	0.79	15.15	5.14	.06	3.75	6.33	4.38	.45	0.18	0.02	8.97	99.72	170	205	13	96	20	5	3.0	2	18	<.1	<5	0.6	4

311-29





CLIENT : AUR RESSOURCES INC.
RAPPORT: C00-63294.0 (COMPLET)

DATE RECU : 07-SEP-00

DATE DE L'IMPRESSION: 21-SEP-00

PROJET: 311

PAGE 1 DE 1

NUMÉRO DE L'ÉCHANTILLON	ÉLÉMENT UNITÉS	SiO2	TiO2	Al2O3	Fe2O3	MnO	MgO	CaO	Na2O	K2O	P2O5	Cr2O3	LOI	Total	Ba	Sr	Rb	Zr	Y	Nb	As	Cu	Zn	Ag	Au30	Sb	Pb
		PCT	PCT	PCT	PCT	PCT	PCT	PCT	PCT	PCT	PCT	PCT	PCT	PCT	PCT	PPM	PPM	PPM	PPM	PPM	PPM	PPM	PPM	PPM	PPM	PPB	PPM
B56008		57.58	0.86	16.30	4.98	.06	3.98	5.20	4.32	.30	0.19	0.02	5.99	99.79	136	239	7	115	20	4	4.2	6	35	<.1	< 0.5	5	
B56009		48.55	0.99	18.29	9.73	.05	11.84	0.94	1.68	.50	0.25	0.01	6.88	99.74	259	73	14	94	24	5	2.4	4	86	<.1	< 0.3	5	
B56010		57.49	0.94	15.18	6.48	.06	3.90	7.08	3.35	.16	0.22	0.02	4.85	99.76	196	237	5	104	22	4	2.5	4	19	<.1	< <.2	7	
B56011		55.64	0.82	15.57	6.02	.06	3.44	5.91	3.89	.47	0.20	0.02	7.76	99.80	194	187	12	103	19	4	3.2	4	41	0.2	< 0.3	6	
B56012		58.00	1.04	16.43	7.59	.07	4.63	2.83	3.89	.64	0.30	0.02	4.27	99.72	252	124	19	111	21	4	2.3	3	37	<.1	< 0.4	3	
B56013		58.14	0.99	15.91	6.49	.09	3.61	5.17	4.91	.19	0.08	0.01	4.30	99.92	169	356	7	125	21	4	6.2	31	35	<.1	< 0.4	4	
B56014		45.51	1.13	12.27	9.82	.16	6.23	11.97	1.66	.03	0.67	0.02	9.82	99.30	120	704	<2	131	29	6	8.7	17	65	<.1	< 0.7	7	
B56015		65.15	0.99	14.91	7.35	.05	2.34	2.79	3.37	.44	0.22	0.02	2.43	100.09	225	103	15	183	33	5	2.4	4	43	0.2	< <.2	5	
B56016		51.96	0.71	16.08	14.68	.10	5.68	3.06	1.80	.43	0.23	0.07	5.25	100.08	192	79	15	115	19	5	2.3	3	75	<.1	< <.2	6	
B56017		54.68	0.80	18.25	11.98	.20	3.90	3.14	2.04	.34	0.24	0.03	4.58	100.20	176	137	10	120	22	5	2.4	3	70	<.1	< <.2	6	
B56018		67.23	0.74	14.36	7.24	.07	1.68	1.11	4.24	.93	0.17	0.02	2.08	99.90	286	79	25	220	24	6	5.5	3	35	<.1	< <.2	4	

5 } 311-29
 5 }
 7 } 311-29A
 6 } 311-29B
 3 }
 4 }
 7 }
 5 } 311-29C
 6 }
 6 }

311

5



CLIENT : AUR RESSOURCES INC.
RAPPORT: C00-63367.0 (COMPLET)

DATE RECU : 14-SEP-00

DATE DE L'IMPRESSION: 28-SEP-00

PROJET: 311-316

PAGE 1 DE 1

NUMÉRO DE L'ÉCHANTILLON	ÉLÉMENT UNITÉS	SiO2 PCT	TiO2 PCT	Al2O3 PCT	Fe2O3 PCT	MnO PCT	MgO PCT	CaO PCT	Na2O PCT	K2O PCT	P2O5 PCT	Cr2O3 PCT	LOI PCT	Total PCT	Ba PPM	Sr PPM	Rb PPM	Zr PPM	Y PPM	Nb PPM	As PPM	Cu PPM	Zn PPM	Ag PPM	Al2O3 PPB	Sb PPM	Pb PPM
B56019		55.54	0.91	16.50	6.67	.17	5.87	3.80	5.00	.07	0.22	0.02	5.21	99.99	107	118	3	136	18	4	7.6	4	72	<.1	<5	0.8	3
B56020		50.00	0.85	16.34	7.88	.19	5.17	9.20	2.90	.17	0.22	0.02	7.21	100.16	97	145	5	132	27	4	4.1	3	49	<.1	<5	0.6	5
B56021		68.46	0.81	13.15	5.16	.09	1.97	2.45	4.55	.39	0.13	0.02	2.54	99.73	146	75	12	265	34	9	1.1	4	34	<.1	<5	<.2	3
B56022		54.54	0.78	17.94	7.09	.13	4.49	5.53	4.71	.26	0.17	0.03	4.40	100.09	103	144	8	118	22	4	4.5	2	49	<.1	<5	0.7	4
B56023		57.04	1.24	14.87	10.40	.14	4.67	4.39	2.47	.19	0.32	0.01	3.94	99.70	170	108	6	194	34	7	2.1	3	69	<.1	<5	<.2	5
B56024		48.01	0.64	14.08	6.93	.25	5.49	11.30	2.34	.19	0.16	0.05	10.57	100.02	126	136	6	101	22	3	2.1	2	94	<.1	<5	<.2	6
B56025		69.63	0.76	13.14	6.01	.09	2.53	1.90	2.49	.81	0.16	0.01	2.06	99.60	245	90	19	227	32	6	1.8	5	41	<.1	<5	<.2	4
B56026		51.34	0.79	15.87	7.79	.20	4.48	10.41	2.27	.23	0.22	0.02	6.51	100.16	119	177	7	132	29	4	2.2	4	65	<.1	<5	0.4	6
B56027		54.61	0.89	15.62	8.15	.13	6.56	5.30	2.86	.03	0.24	0.05	5.25	99.70	119	157	2	154	24	4	3.8	352	100	0.3	<5	0.3	5
B56028		49.93	0.85	17.07	6.09	.15	7.14	5.34	4.57	.40	0.25	0.06	8.02	99.90	235	125	11	160	23	4	1.8	3	95	<.1	<5	0.4	4
B56029		60.33	1.15	14.59	7.15	.13	3.20	4.30	4.42	.06	0.24	0.01	3.61	99.21	147	135	2	199	34	5	1.8	12	67	<.1	<5	<.2	5

311-29c #311

311-29c #316



CLIENT : AUR RESSOURCES INC.
RAPPORT: C00-63433.0 (COMPLET)

DATE RECU : 20-SEP-00

DATE DE L'IMPRESSION: 6-OCT-00

PROJET: 316

PAGE 1 DE 1

NUMÉRO DE L'ÉCHANTILLON	ÉLÉMENT UNITÉS	SiO2 PCT	TiO2 PCT	Al2O3 PCT	Fe2O3 PCT	MnO PCT	MgO PCT	CaO PCT	Na2O PCT	K2O PCT	P2O5 PCT	Cr2O3 PCT	LOI PCT	Total PCT	Ba PPM	Sr PPM	Rb PPM	Zr PPM	Y PPM	Nb PPM	As PPM	Cu PPM	Zn PPM	Ag PPM	Au30 PPB	Sb PPM	Pb PPM
B56030		54.24	0.89	15.53	7.05	.17	5.82	5.47	3.13	0.46	0.32	0.04	6.69	99.85	213	103	12	174	22	7	2.0	10	92	<.1	<.2	<.2	5
B56031		57.01	0.92	15.87	10.80	.15	5.62	1.45	0.23	2.12	0.29	0.03	5.10	99.65	593	48	46	173	25	6	5.4	107	107	0.2	<.2	<.2	<.2
B56032		52.98	0.96	15.16	6.32	.24	4.86	6.82	2.27	1.04	0.30	0.02	8.89	99.90	351	110	28	202	28	6	1.9	18	205	0.2	<.2	<.2	5
B56033		63.37	1.06	12.55	7.44	.19	3.30	4.17	1.64	0.82	0.24	0.02	5.40	100.23	316	66	20	193	28	7	3.1	8	128	<.1	5	<.2	5
B56034		52.20	0.92	15.36	6.22	.16	4.18	7.12	1.66	1.59	0.27	0.02	10.23	100.00	589	135	37	180	25	6	2.8	13	87	<.1	<.2	0.4	4
B56035		61.20	1.23	16.09	8.08	.09	2.55	2.50	1.05	1.75	0.27	0.02	4.23	99.10	492	81	43	221	27	8	7.0	112	122	0.2	11	0.3	3
B56036		57.92	1.06	13.95	6.83	.18	3.41	5.21	1.35	1.12	0.27	0.01	7.83	99.17	432	75	26	205	28	5	3.1	16	109	0.2	<.2	<.2	4
B56037		56.33	1.05	13.49	6.57	.21	3.55	6.52	1.61	0.80	0.27	0.01	9.27	99.72	298	100	19	203	28	8	3.4	22	112	0.3	<.2	0.6	4
B56038		52.16	0.78	13.92	6.05	.16	4.08	7.86	1.55	1.26	0.16	0.02	11.36	99.42	423	91	30	125	19	3	2.6	159	109	0.2	7	<.2	5
B56039		49.43	0.70	15.33	6.46	.14	4.00	8.79	1.99	1.16	0.16	0.02	11.65	99.87	374	130	28	111	18	5	2.9	68	112	0.3	<.2	<.2	9

311-25c #316

ms



CLIENT : AUR RESSOURCES INC.
RAPPORT: C00-63548.0 (COMPLET)

DATE REQU : 02-OCT-00

DATE DE L'IMPRESSION: 16-OCT-00

PROJET: 316

PAGE 1 DE 1

NUMÉRO DE L'ÉCHANTILLON	ÉLÉMENT UNITÉS	SiO2	TiO2	Al2O3	Fe2O3	MnO	MgO	CaO	Na2O	K2O	P2O5	Cr2O3	LOI	Total	Ba	Sr	Rb	Zr	Y	Nb	As	Cu	Zn	Ag	Au30	Sb	Pb
		PCT	PCT	PCT	PCT	PCT	PCT	PCT	PCT	PCT	PCT	PCT	PCT	PCT	PCT	PPM	PPM	PPM	PPM	PPM	PPM	PPM	PPM	PPM	PPM	PPM	PPM
B56040		60.00	1.13	13.85	7.15	.20	3.83	3.96	1.62	1.11	0.26	0.01	6.68	99.83	347	76	24	182	26	5	1.3	4	131	<.1	<5	<.2	3
B56041		65.79	0.83	14.09	5.00	.07	2.20	3.24	0.76	1.65	0.19	0.01	5.85	99.72	487	185	37	276	35	9	1.9	12	73	<.1	<5	<.2	4
B56042		43.17	0.78	10.69	8.12	.17	7.80	10.05	0.43	1.33	0.37	0.07	16.84	99.87	409	287	31	119	18	5	1.2	6	150	<.1	6	0.5	6
B56043		68.48	0.74	12.96	5.25	.07	1.77	1.24	4.42	1.58	0.16	0.02	2.69	99.42	342	115	41	271	35	9	2.4	361	58	0.2	35	<.2	3
B56044		61.22	1.08	12.78	6.76	.07	2.37	3.73	1.97	2.61	0.28	0.01	6.71	99.63	488	68	56	201	27	6	2.1	57	50	<.1	12	<.2	4
B56045		66.82	0.74	10.18	6.07	.09	2.31	2.47	2.82	1.48	0.21	0.02	6.01	99.27	425	76	35	186	24	6	10.0	226	126	0.3	17	<.2	10
B56046		60.32	1.29	12.99	6.62	.10	2.39	3.88	1.99	3.01	0.35	0.01	6.79	99.78	440	114	63	247	34	8	<1.0	155	48	<.1	12	0.3	8
B56047		62.31	0.87	12.21	5.25	.10	2.12	4.27	2.67	2.57	0.23	0.01	7.03	99.68	439	141	55	230	31	7	1.4	32	43	<.1	6	<.2	5
B56048		62.65	0.87	13.39	5.29	.13	1.99	3.30	1.94	3.14	0.22	0.02	6.88	99.88	591	78	65	234	31	9	1.4	103	76	<.1	5	<.2	5
B56049		64.32	1.28	13.31	5.35	.08	1.66	2.89	1.15	3.59	0.35	0.01	5.35	99.40	589	85	80	257	27	7	1.7	524	51	0.3	27	<.2	4
B56050		64.51	1.18	15.07	4.89	.05	1.23	2.10	3.31	3.11	0.31	0.01	3.78	99.64	748	108	77	223	28	8	4.0	41	43	<.1	5	<.2	4
B56051		63.18	1.16	13.24	6.28	.04	1.71	2.83	1.71	3.70	0.32	0.01	5.06	99.33	705	179	105	245	29	7	<1.0	16	53	<.1	<5	<.2	4

311-29 ←

facture n° 210



CLIENT : AUR RESSOURCES INC.
RAPPORT: C00-63867.0 (COMPLET)

DATE RECU : 27-OCT-00

DATE DE L'IMPRESSION: 6-NOV-00

PROJET: 316

PAGE 1 DE 1

NUMÉRO DE L'ÉCHANTILLON	ÉLÉMENT UNITÉS	SiO2 PCT	TiO2 PCT	Al2O3 PCT	Fe2O3 PCT	MnO PCT	MgO PCT	CaO PCT	Na2O PCT	K2O PCT	P2O5 PCT	Cr2O3 PCT	LOI Total PCT	Ba PPM	Sr PPM	Rb PPM	Zr PPM	Y PPM	Nb PPM	As PPM	Cu PPM	Zn PPM	Ag PPM	Au30 PPB	Sb PPM	Pb PPM	
B 56052		63.52	1.21	14.56	6.10	.07	1.36	2.40	2.65	3.18	0.31	0.01	3.31	98.75	504	146	79	257	39	9	<1.0	46	80	<.1	6	<.2	4
B 56053		63.90	1.25	14.29	5.26	.08	0.85	3.13	5.56	1.11	0.32	0.02	3.28	99.09	374	117	35	279	40	8	1.8	32	45	<.1	5	<.2	5

] 311-29 c projet
316